

طرح تلفیق لایه‌های اطلاعاتی پایه و معرفی مناطق امیدبخش معدنی کشور

معاونت اکتشاف - مدیریت خدمات اکتشاف

گروه اکتشافات ژئوشیمیایی

اکتشافات ژئوشیمیایی و کانی سنگین در ورقه

۱:۱۰۰۰۰ رباط کریم

جلد اول

مجری طرح: ناصر عابدیان

نگارش:

حسن باستانی فرنوش فرجنده

۱۳۹۱ مهر

فهرست مطالب

صفحه	عنوان
۱	پیشگفتار
۲	بخش اول: کلیات
۳	مقدمه
۴	۱-۱- جغرافیای منطقه
۶	۱-۲- زمین شناسی عمومی
۶	۱-۲-۱- چینه شناسی منطقه
۹	۱-۲-۲- زمین شناسی ساختمانی و تکتونیک
۱۰	۱-۲-۳- زمین شناسی اقتصادی
۱۱	بخش دوم: اکتشافات ژئوشیمیایی
۱۲	فصل اول: نمونه برداری و آنالیز نمونه ها
۱۳	۲-۱-۱- انتخاب محیط نمونه برداری
۱۴	۲-۱-۲- طراحی محل نمونه ها
۱۵	۲-۱-۳- عملیات صحرایی نمونه برداری
۱۵	۲-۱-۴- آماده سازی و آنالیز نمونه ها
۱۶	فصل دوم: پردازش داده ها
۱۶	۲-۲-۱- فایل بندی داده های خام
۱۸	۲-۲-۲- پردازش داده های سنسورد
۱۸	۲-۲-۳- مطالعات آماری تک متغیره
۱۸	۲-۲-۳-۱- جدایش مقادیر خارج از رده
۱۸	۲-۲-۳-۲- محاسبه پارامترهای آماری و رسم منحنی های هیستوگرام تجمعی داده های خام
۱۸	الف- پارامترهای آماری
۲۱	ب- نرمال سازی

۲۱	ج-رسم نمودارها
۲۲	۲-۲-۳-۲-محاسبه و رسم و شرح ضرایب همبستگی
۲۷	۴-۲-۲-بررسی های آماری چند متغیره
۲۸	۱-۴-۲-۲-تجزیه و تحلیل خوش ای داده ها (Cluster Analysis)
۳۰	۲-۴-۲-تجزیه عاملی داده ها (Factor Analysis)
۳۷	فصل سوم: رسم نقشه های ناهنجاری
۳۷	۱-۳-۲-تکنیک رسم نقشه ها
۳۹	۲-۳-۲-شرح ناهنجاری های ژئوشیمیابی
۳۹	مقدمه
۴۰	نقره
۴۱	ارسنیک
۴۲	طلا
۴۳	باریم
۴۴	بیسموت
۴۵	کادمیوم
۴۶	کجالت
۴۷	کروم
۴۸	سزیم
۴۹	مس
۵۰	آهن
۵۱	جیوه
۵۲	لاتتانیم
۵۳	منگنز
۵۴	سدیم

۵۵	نیوبیوم
۵۶	سرب
۵۷	اسکاندیوم
۵۸	استرانسیوم
۵۹	تیتانیوم
۶۰	اورانیوم
۶۱	وانادیوم
۶۲	تنگستن
۶۳	روی
۶۴	فاکتور ۱
۶۵	فاکتور ۲
۶۶	فاکتور ۳
۶۷	فاکتور ۴
۶۸	فاکتور ۵
۶۹	بخش سوم: اکتشافات کانی سنگین
۷۰	۳-۳- نمونه برداری ، مطالعه و محاسبه گرم در تن کانیها
۷۰	۳-۱-۱- نمونه برداری
۷۱	۳-۱-۲- آماده سازی و مطالعه نمونه ها
۷۳	۳-۲- نتایج بدست آمده از مطالعات کانی سنگین
۷۳	مقدمه
۷۴	طلا و نقره
۷۸	کانیهای خانواده مس
۸۱	کانیهای خانواده سرب

۸۴	باریت
۸۷	گارنت
۸۹	خانواده آهن
۹۲	پیروولوزیت
۹۵	سلستین
۹۷	استیبنیت
۹۸	بخش چهارم: تعبیر، تفسیر و نتیجه گیری
۹۹	۱ - ۴ - تعبیر، تفسیر ، نتیجه گیری
۱۰۰	۲ - ۴ - معرفی مناطق امیدبخش
۱۰۶	۳ - ۴ - پیشنهاد
۱۰۷	منابع و مآخذ پیوست ها

فهرست نقشه ها

نقشه ای شماره ۱- نقشه ای زمین شناسی ورقه ای رباط کریم ۱:۱۰۰،۰۰

نقشه ای شماره ۲- نقشه ای نمونه برداری صحرایی

نقشه ای شماره ۳- نقشه ای ناهنجاری ژئوشیمیایی نقره

نقشه ای شماره ۴- نقشه ای ناهنجاری ژئوشیمیایی ارسنیک

نقشه ای شماره ۵- نقشه ای ناهنجاری ژئوشیمیایی طلا

نقشه ای شماره ۶- نقشه ای ناهنجاری ژئوشیمیایی باریم

نقشه ای شماره ۷- نقشه ای ناهنجاری ژئوشیمیایی بیسموت

نقشه ای شماره ۸- نقشه ای ناهنجاری ژئوشیمیایی کادمیوم

نقشه ای شماره ۹- نقشه ای ناهنجاری ژئوشیمیایی کبات

نقشه ای شماره ۱۰- نقشه ای ناهنجاری ژئوشیمیایی کروم

نقشه ای شماره ۱۱- نقشه ای ناهنجاری ژئوشیمیایی سرزم

نقشه ای شماره ۱۲- نقشه ای ناهنجاری ژئوشیمیایی مس

نقشه ای شماره ۱۳- نقشه ای ناهنجاری ژئوشیمیایی آهن

نقشه ای شماره ۱۴- نقشه ای ناهنجاری ژئوشیمیایی جیوه

نقشه ای شماره ۱۵- نقشه ای ناهنجاری ژئوشیمیایی پتاسیم

نقشه ای شماره ۱۶- نقشه ای ناهنجاری ژئوشیمیایی لانتانیم

نقشه ای شماره ۱۷- نقشه ای ناهنجاری ژئوشیمیایی منگنز

نقشه ای شماره ۱۸- نقشه ای ناهنجاری ژئوشیمیایی مولبیدن

نقشه ای شماره ۱۹- نقشه ای ناهنجاری ژئوشیمیایی سدیم

نقشه ای شماره ۲۰- نقشه ای ناهنجاری ژئوشیمیایی نیوبیوم

نقشه ای شماره ۲۱- نقشه ای ناهنجاری ژئوشیمیایی سرب

نقشه ای شماره ۲۲- نقشه ای ناهنجاری ژئوشیمیایی گوگرد

نقشه ای شماره ۲۳- نقشه ای ناهنجاری ژئوشیمیایی آنتیموان

نقشه‌ی شماره ۲۴- نقشه‌ی ناهنجاری ژئوشیمیایی اسکاندیوم

نقشه‌ی شماره ۲۵- نقشه‌ی ناهنجاری ژئوشیمیایی قلع

نقشه‌ی شماره ۲۶- نقشه‌ی ناهنجاری ژئوشیمیایی استرانسیوم

نقشه‌ی شماره ۲۷- نقشه‌ی ناهنجاری ژئوشیمیایی تیتانیوم

نقشه‌ی شماره ۲۸- نقشه‌ی ناهنجاری ژئوشیمیایی اورانیوم

نقشه‌ی شماره ۲۹- نقشه‌ی ناهنجاری ژئوشیمیایی وانادیوم

نقشه‌ی شماره ۳۰- نقشه‌ی ناهنجاری ژئوشیمیایی تنگستن

نقشه‌ی شماره ۳۱- نقشه‌ی ناهنجاری ژئوشیمیایی روی

نقشه‌ی شماره ۳۲- نقشه‌ی ناهنجاری ژئوشیمیایی زیرکونیوم

نقشه‌ی شماره ۳۳- نقشه‌ی ناهنجاری ژئوشیمیایی فاکتور ۱

نقشه‌ی شماره ۳۴- نقشه‌ی ناهنجاری ژئوشیمیایی فاکتور ۲

نقشه‌ی شماره ۳۵- نقشه‌ی ناهنجاری ژئوشیمیایی فاکتور ۳

نقشه‌ی شماره ۳۶- نقشه‌ی ناهنجاری ژئوشیمیایی فاکتور ۴

نقشه‌ی شماره ۳۷- نقشه‌ی ناهنجاری ژئوشیمیایی فاکتور ۵

نقشه‌ی شماره ۳۸- نقشه‌ی ناهنجاری های کانی سنگین

نقشه‌ی ناهنجاری کانی سنگین طلا و نقره

نقشه‌ی ناهنجاری کانی سنگین خانواده‌ی مس

نقشه‌ی ناهنجاری کانی سنگین خانواده‌ی سرب

نقشه‌ی ناهنجاری کانی سنگین باریت

نقشه‌ی ناهنجاری کانی سنگین خانواده‌ی آهن

نقشه‌ی ناهنجاری کانی سنگین پیروولوزیت

نقشه‌ی ناهنجاری کانی سنگین باریت

نقشه‌ی ناهنجاری کانی سنگین سلسیtin

نقشه‌ی مناطق ناهنجار اولویت دار معرفی شده

فهرست جدول ها

- ۲۰ جدول شماره ۱a : پارامترهای آماری داده های مراحل مختلف در ورقه ۱:۱۰۰،۰۰۰ رباط کریم
- ۲۰ جدول شماره ۱b : پارامترهای آماری داده های R+N در ورقه ۱:۱۰۰،۰۰۰ رباط کریم
- ۲۵-۲۶ جدول شماره ۲ : جدول محاسبه ضرایب همبستگی
- ۳۵ جدول شماره ۳: نمودار درختی داده ها در ورقه ۱:۱۰۰،۰۰۰ رباط کریم
- جدول شماره ۴: جدول محاسبه KMO و محاسبه واریانس کل درصد مشارکت مؤلفه ها در ورقه رباط کریم
- ۳۲ جدول شماره ۵: مقادیر مؤلفه های خام برای هر متغیر در ورقه رباط کریم
- ۳۳ جدول شماره ۶: مقادیر مؤلفه های چرخش یافته برای هر متغیر در ورقه رباط کریم
- ۳۴ جدول شماره ۷: مقادیر امتیاز متغیرها در عامل های سه گانه
- ۳۶ جدول شماره ۸: مقادیر $\bar{X} + nS$ برای هر متغیر در ورقه رباط کریم
- ۴۰ جدول شماره ۹: شرح ناهنجاری های متغیرنقره
- ۴۱ جدول شماره ۱۰: شرح ناهنجاری های متغیرارسینیک
- ۴۲ جدول شماره ۱۱: شرح ناهنجاری های متغیرطلا
- ۴۳ جدول شماره ۱۲: شرح ناهنجاری های متغیرباریم
- ۴۴ جدول شماره ۱۳: شرح ناهنجاری های متغیر بیسموت
- ۴۵ جدول شماره ۱۴: شرح ناهنجاری های متغیر کادمیوم
- ۴۶ جدول شماره ۱۵: شرح ناهنجاری های متغیر کبات
- ۴۷ جدول شماره ۱۶: شرح ناهنجاری های متغیر کروم
- ۴۸ جدول شماره ۱۷: شرح ناهنجاری های متغیر سزیم
- ۴۹ جدول شماره ۱۸: شرح ناهنجاری های متغیر مس
- ۵۰ جدول شماره ۱۹: شرح ناهنجاری های متغیر آهن
- ۵۱ جدول شماره ۲۰: شرح ناهنجاری های متغیر جیوه
- ۵۲ جدول شماره ۲۱: شرح ناهنجاری های متغیر لانتانیوم
- ۵۳ جدول شماره ۲۲: شرح ناهنجاری های متغیر منگنز

۵۴	جدول شماره ۲۳: شرح ناهنجاری های متغیر سدیم
۵۵	جدول شماره ۲۴: شرح ناهنجاری های متغیر نیوبیوم
۵۶	جدول شماره ۲۵: شرح ناهنجاری های متغیر سرب
۵۷	جدول شماره ۲۶: شرح ناهنجاری های متغیر اسکاندیوم
۵۸	جدول شماره ۲۷: شرح ناهنجاری های متغیر استرانسیوم
۵۹	جدول شماره ۲۸: شرح ناهنجاری های متغیر تیتانیوم
۶۰	جدول شماره ۲۹: شرح ناهنجاری های متغیر اورانیوم
۶۱	جدول شماره ۳۰: شرح ناهنجاری های متغیر وانادیوم
۶۲	جدول شماره ۳۱: شرح ناهنجاری های متغیر تنگستن
۶۳	جدول شماره ۳۲: شرح ناهنجاری های متغیر روی
۶۴	جدول شماره ۳۳: شرح ناهنجاری های فاکتور ۱
۶۵	جدول شماره ۳۴: شرح ناهنجاری های فاکتور ۲
۶۶	جدول شماره ۳۵: شرح ناهنجاری های فاکتور ۳
۶۷	جدول شماره ۳۶: شرح ناهنجاری های فاکتور ۴
۶۸	جدول شماره ۳۷: شرح ناهنجاری های فاکتور ۵
۷۴	جدول شماره ۳۸: شرح ناهنجاری های کانی سنگین طلا
۷۵	جدول شماره ۳۹: شرح ناهنجاری های کانی سنگین نقره در مرحله کنترل ناهنجاری
۷۷	جدول شماره ۴۰: شرح ناهنجاری های کانی سنگین خانواده مس
۷۸	جدول شماره ۴۱: شرح ناهنجاری های کانی سنگین خانواده مس در مرحله کنترل ناهنجاری
۸۰	جدول شماره ۴۲: شرح ناهنجاری های کانی سنگین خانواده سرب و روی
۸۱	جدول شماره ۴۳: شرح ناهنجاری های کانی سنگین خانواده سرب و روی در مرحله کنترل ناهنجاری
۸۳	جدول شماره ۴۴: شرح ناهنجاری های کانی سنگین باریت
۸۴	جدول شماره ۴۵: شرح ناهنجاری های کانی سنگین باریت در مرحله کنترل ناهنجاری
۸۶	جدول شماره ۴۶: شرح ناهنجاری های کانی سنگین گارنت

۵۴	جدول شماره ۲۳: شرح ناهنجاری های متغیر سدیم
۵۵	جدول شماره ۲۴: شرح ناهنجاری های متغیر نیوبیوم
۵۶	جدول شماره ۲۵: شرح ناهنجاری های متغیر سرب
۵۷	جدول شماره ۲۶: شرح ناهنجاری های متغیر اسکاندیوم
۵۸	جدول شماره ۲۷: شرح ناهنجاری های متغیر استرانسیوم
۵۹	جدول شماره ۲۸: شرح ناهنجاری های متغیر تیتانیوم
۶۰	جدول شماره ۲۹: شرح ناهنجاری های متغیر اورانیوم
۶۱	جدول شماره ۳۰: شرح ناهنجاری های متغیر وانادیوم
۶۲	جدول شماره ۳۱: شرح ناهنجاری های متغیر تنگستن
۶۳	جدول شماره ۳۲: شرح ناهنجاری های متغیر روی
۶۴	جدول شماره ۳۳: شرح ناهنجاری های فاکتور ۱
۶۵	جدول شماره ۳۴: شرح ناهنجاری های فاکتور ۲
۶۶	جدول شماره ۳۵: شرح ناهنجاری های فاکتور ۳
۶۷	جدول شماره ۳۶: شرح ناهنجاری های فاکتور ۴
۶۸	جدول شماره ۳۷: شرح ناهنجاری های فاکتور ۵
۷۴	جدول شماره ۳۸: شرح ناهنجاری های کانی سنگین طلا
۷۵	جدول شماره ۳۹: شرح ناهنجاری های کانی سنگین نقره در مرحله کنترل ناهنجاری
۷۷	جدول شماره ۴۰: شرح ناهنجاری های کانی سنگین خانواده مس
۷۸	جدول شماره ۴۱: شرح ناهنجاری های کانی سنگین خانواده مس در مرحله کنترل ناهنجاری
۸۰	جدول شماره ۴۲: شرح ناهنجاری های کانی سنگین خانواده سرب و روی
۸۱	جدول شماره ۴۳: شرح ناهنجاری های کانی سنگین خانواده سرب و روی در مرحله کنترل ناهنجاری
۸۳	جدول شماره ۴۴: شرح ناهنجاری های کانی سنگین باریت
۸۴	جدول شماره ۴۵: شرح ناهنجاری های کانی سنگین باریت در مرحله کنترل ناهنجاری
۸۶	جدول شماره ۴۶: شرح ناهنجاری های کانی سنگین گارنت

۸۸	جدول شماره ۴۷: شرح ناهنجاری های کانی سنگین خانواده آهن
۸۹	جدول شماره ۴۸: شرح ناهنجاری های کانی سنگین خانواده آهن در مرحله کنترل ناهنجاری
۹۱	جدول شماره ۴۹: شرح ناهنجاری های کانی سنگین پیرولوزیت
۹۲	جدول شماره ۵۰: شرح ناهنجاری های کانی سنگین پیرولوزیت در مرحله کنترل ناهنجاری
۹۴	جدول شماره ۵۰: شرح ناهنجاری های کانی سنگین سلسیتین
۹۵	جدول شماره ۵۲: شرح ناهنجاری های کانی سنگین سلسیتین در مرحله کنترل ناهنجاری
۹۷	جدول شماره ۵۳: شرح ناهنجاری های کانی سنگین استیبنیت در مرحله کنترل ناهنجاری

فهرست تصاویر

۴	تصویر شماره ۱: موقعیت برگه های ۱:۵۰،۰۰۰ ورقه رباط کریم
۲۶	تصویر شماره ۲: هیستوگرام های عناصر طلا و نقره داده های خام و نرمال شده
۷۵	تصویرشماره ۳: کانی نقره مشاهده شده در مطالعات کانی سنگین
۸۱	تصویرشماره ۴: کانی گارت مشاهده شده در مطالعات کانی سنگین
۹۲	تصویرشماره ۵: کانی پیرولوزیت در نمونه RAM 198A
۹۷	تصویرشماره ۶: کانی استیبنیت مشاهده شده در نمونه RAM 186B
۱۰۰	تصویر شماره ۷: نمایی از محدوده آنومالی منگنز، محدوده آنومالی ۱
۱۰۲	تصویر شماره ۸: آهک های فسیلدار(قالب داخلی گاستروپودا، الیگومیوسن) محدوده آنومالی ۱
۱۰۳	تصویر شماره ۹: تپه های منگنز ژیپس دار سیاهرنگ
۱۰۴	تصویر شماره ۱۰: زئولیت و کلسیت در محدوده آنومالی ۱
۱۰۴	تصویر شماره ۱۱: منطقه منگنز ژیپس دار سیاهرنگ
۱۰۴	تصویر شماره ۱۲: آخرین عکس منطقه دید بسمت شمال باختر

فهرست پیوست ها

پیوست شماره ۱ : نتایج تجزیه شیمیایی نمونه های ورقه ۱:۱۰۰،۰۰۰ رباط کریم همراه با مختصات نمونه ها

پیوست شماره ۲: نمودار های خطای خطا گیری داده های خام در ورقه ۱:۱۰۰،۰۰۰ رباط کریم

پیوست شماره ۳: هیستوگرام داده های خام و نرمال شده در ورقه ۱:۱۰۰،۰۰۰ رباط کریم

پیوست شماره ۴: نتایج مطالعات کیفی کانی سنگین در ورقه ۱:۱۰۰،۰۰۰ رباط کریم

پیوست شماره ۵: نتایج گرم در تن کانی سنگین در ورقه ۱:۱۰۰،۰۰۰ رباط کریم

پیوست شماره ۶: نتایج XRD نمونه های کنترل ناهنجاری

سپاسگزاری

لازمه اجرای یک پروژه اکتشافی و بویژه اکتشافات ژئوشیمیایی، گذر از گام های گوناگون همچون طرح و برنامه ریزی اولیه در جهت تعیین نواحی اولویت دار اکتشافی ، گرد آوری اطلاعات پایه ، انجام عملیات دفتری، عملیات صحرایی، آماده سازی نمونه ها، آنالیز و مطالعه نمونه ها، پردازش داده ها، کنترل ناهنجاری ها ای بدست آمده و در نهایت ارایه گزارش است.

پر واضح است که ارایه یک گزارش اکتشافی منحصر به عملکرد کارشناسان شرکت کننده در آن پروژه ای اکتشافی نبوده، بلکه همکاری و مساعدت بسیاری از افراد همکار در تهیه و تدوین مطلوب و بهینه گزارش نقشی اساسی و انکار ناپذیر را ایفا می نماید.

همکارانی که گروه کارشناسی را در مراحل مختلف این پروژه یاری گر بودند:

ریاست محترم سازمان زمین شناسی کشور جناب آقای مهندس کره ای که نهایت همکاری خود را در مسیر ارتقا و پیشرفت پرسنل سازمان و گروههای علمی فعال مصروف می نمایند.

معاونت محترم امور اکتشاف سازمان جناب آقای مهندس عابدیان که با مدیریت و حمایتهای بسیار خوب خود در سامان دهی گروههای صحرایی و تجهیز آنها، و نیز تشویق و ترغیب پرسنل این گروهها در بالا بردن کیفیت عملیات صحرایی و کارهای دفتری در تهیه و ارایه گزارش ها نهایت تلاش خویش را مبذول داشتند؛

مدیریت خدمات اکتشاف آقای مهندس شاهین که در این مسیر از هیچ نوع همکاری و حمایتی دریغ نورزیدند؛

آقای مهندس شمسا، مدیریت سابق خدمات اکتشاف در حمایت گروه؛

آقای دکتر اکبر پور مدیریت گروه اکتشافات ژئوشیمیایی که با پشتیبانی خود گروه را در پیشرفت کار این پروژه یاری نمودند؛

فهرست پیوست ها

پیوست شماره ۱ : نتایج تجزیه شیمیایی نمونه های ورقه ۱:۱۰۰،۰۰۰ رباط کریم همراه با مختصات نمونه ها

پیوست شماره ۲: نمودار های خطای خطا گیری داده های خام در ورقه ۱:۱۰۰،۰۰۰ رباط کریم

پیوست شماره ۳: هیستوگرام داده های خام و نرمال شده در ورقه ۱:۱۰۰،۰۰۰ رباط کریم

پیوست شماره ۴: نتایج مطالعات کیفی کانی سنگین در ورقه ۱:۱۰۰،۰۰۰ رباط کریم

پیوست شماره ۵: نتایج گرم در تن کانی سنگین در ورقه ۱:۱۰۰،۰۰۰ رباط کریم

پیوست شماره ۶: نتایج XRD نمونه های کنترل ناهنجاری

آقای مهندس مستعان مدیریت سابق گروه اکتشافات ژئوشیمیایی که در تمامی مراحل یاریگر دلسرور

گروه بودند؛

خانم مهندس صالحی مدیریت آزمایشگاه کانی سنگین، خانم مهندس مهربان؛ که مطالعه نمونه های کانی سنگین و تهیه ی عکس های نمونه های کانی سنگین را عهده دار بودند؛

آقای محمدحسن امامیان که آماده سازی نمونه های ژئوشیمی و شستشوی نمونه های کانی سنگین

را به عهده داشتند؛

ضمن ارج نهادن به تلاشها و حمایت های این بزرگواران و تمامی همکاران تلاشگر دیگر که نامشان برده نشد، گروه کارشناسی سپاس بی نهایت خود را تقدیم ایشان می کند.



پیشگفتار

شناسایی و معرفی مناطق امیدبخش معدنی بعنوان یکی از راه کارهای اساسی و شاخص در حفظ و گسترش توسعه پایدار به شمار می‌رود. شناسایی ثروتهای پنهان معدنی این آب و خاک و معرفی این نواحی به مسئولین امر اکتشاف در جهت استفاده بهینه در راستای ایجاد اشتغال و محرومیت زدایی می‌تواند بعنوان یکی از زیربنایی ترین سرمایه گذاریها در جهت و گسترش حفظ و آبادانی پهنه ایران زمین به شمار آید.

پیرو تصویب و تهیه ورقه های ۱:۱۰۰۰۰ ژئوشیمیایی در قالب طرح اکتشافات ژئوشیمیایی سرتاسری ایران و ارایه نتایج بدست آمده از آنالیز نمونه های ژئوشیمی و مطالعه نمونه های کانی سنگین به همراه اطلاعات زمین شناسی منطقه و در نهایت تلفیق این ۳ داده اکتشافی به عنوان یکی از لایه های اطلاعاتی شاخص و تعیین کننده مناطق امیدبخش معدنی، برداشت ورقه ۱:۱۰۰۰۰ رباط کریم در دستور کار مدیریت وقت اکتشاف قرار گرفت.



بخش اول : کلیات



مقدمه

نتایج حاصل از اکتشافات ژئوشیمیایی ناحیه ای بصورت انتشار محدوده های ناهنجار و انطباق روند این محدوده ها با روند همگانی گسلها و دیگر ساختارهای زمین شناسی و نیز انطباق گسترش عناصر کانسar ساز با واحدهای مختلف سنگی ، احتمال حضور مناطق امیدبخش معدنی را قوت می بخشد.

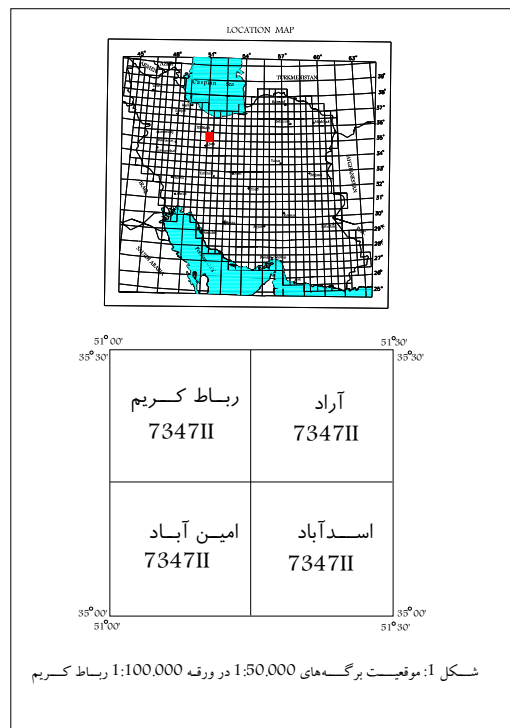
گزارش حاضر شرح عملیات اکتشافات ژئوشیمیایی و کانی سنگین در مقیاس ۱:۱۰۰۰۰۰ ورقه رباط کریم است که همراه با ۳۷ نقشه نمونه برداری، زمین شناسی، انتشار عناصر، نقشه های فاکتوری و زون های ناهنجاری کانی سنگین ارایه شده است.

Photoshop ME, Surfer 7, Cad map 2007, Excel 2003, جهت پردازش داده ها از نرم افزارهای **SPSS 11.5** استفاده شده است.

تجزیه و تحلیل داده ها و تعبیر و تفسیر نتایج با استفاده از روش های آمار کلاسیک و پیشرفته و... نیز روشهای محاسباتی صورت گرفته است.

۱- جغرافیای منطقه

ورقه رباط کریم در طول و عرض جغرافیایی به ترتیب "۳۰°، ۵۱° خاوری و "۳۵°، ۵۱° تا "۳۰° عرض شمالی واقع است. موقعیت برگه های ۱:۵۰۰۰۰ در ورقه ۱:۱۰۰۰۰ رباط کریم در شکل شماره ۱ آورده شده است.



شهرستان رباط کریم از خاور و جنوب به شهرستان ری، از شمال به شهرستان شهریار و از باختر به شهرستان ساوه محدود می شود. مهم ترین رودخانه های این شهرستان؛ رودشور و رود فصلی شاه چایی (شعبه ای از رودخانه کرج) است. آب و هوای این شهرستان؛ معتدل و خشک است. رباط کریم در مسیر جاده آسفالتی تهران - ساوه در ۳۵ کیلومتری جنوب باختری پایتخت، در فاصله ۳۸ کیلومتری جنوب خاوری شهر کرج و ۱۰۹ کیلومتری شمال خاوری ساوه قرار دارد. هم چنین یک راه آسفالتی رباط کریم را به درازای ۲۱ کیلومتر به سمت شمال به حوض علی شاه متصل می نماید. رباط کریم دارای ایستگاه راه آهن است و خط آهن تهران - خرم شهر و تهران - کرمان از این شهر می گذرد (اطلس گیتوشناسی استان های ایران).

خصوصیات آب و هوا و اقلیم منطقه

شهرستان رباط کریم تحت تاثیر آب و هوای بیابانی قرار گرفته به علت کاهش ارتفاع و مجاورت با مناطق کویری (قم - کویر نمک - رودشور- شمال دریاچه نمک) از اقلیم نیمه بیابانی برخوردار است و از نظر شرایط



شهرستان رباط کریم تحت تاثیر آب و هوای بیابانی قرار گرفته به علت کاهش ارتفاع و مجاورت با مناطق کویری (قم - کویر نمک - رودشور - شمال دریاچه نمک) از اقلیم نیمه بیابانی برخوردار است و از نظر شرایط اقلیمی در ماههای فروردین و اردیبهشت حالت نیمه خشک و شش ماه از سال هم در آن شرایط اقلیمی خشک حاکمیت دارد.

به دلیل شرایط نیمه بیابانی و خشکی هوا ، میزان بارندگی سالیانه کمتر از ۲۰۰ میلیمتر و بیشترین بارش در ماههای آبان تا اسفند صورت میگیرد بالاترین میزان بارش فصلی نیز در فصل زمستان با بیش از ۷۵ میلیمتر و سپس به ترتیب فصول پاییز ، بهار و تابستان در مراتب بعدی قرار میگیرند.

پوشش گیاهی این ورقه تابع شرایط آب و هوایی است که از نوع خارها و بوته استپ های صحرایی و نیمه صحرایی است که به ویژه در دامنه ارتفاعات دیده میشود.

بادهای مهم منطقه به ترتیب اهمیت عبارتند از :

- باد معروف شهریاری که جزو بادهای غربی است.
- باد جنوب
- باد شمال

طبق سرشماری سال ۱۳۷۵ جمعیت رباط کریم بالغ بر ۳۲۰۸۱۰ نفر بوده که از این مقدار ۱۲۱۶۱۲ نفر در مناطق شهری و ۱۹۹۱۹۸ نفر در مناطق روستایی ساکن بوده اند (پortal شهرداری رباط کریم، <http://www.robatkarm.ir/HomePage.aspx?TabID=4614&Site=DouranPortal&Lang=fa-IR>

منابع تامین کننده آب این شهرستان شامل موارد ذیل میباشد:

- آبهای سطح الارضی
- آبهای تحت الارضی
- کanal شهید نواب
- کanal فردیس رباط

کشاورزی منطقه ای رباط کریم بیشتر به صورت آبی بوده و از رونق خوبی برخوردار است. برای آبیاری زمین های تحت کشت و باغ های اطراف، از چاه های ژرف استفاده می شود. طریقه آبیاری به صورت کرت بندی است. به جز نواحی نزدیک شوره زار، بقیه زمین های این ناحیه برای کشاورزی مساعد است. محصولات عمده این ناحیه گندم، جو، یونجه، ذرت علوفه ای، گوجه فرنگی، خیار، انواع سبزی، سیب زمینی، گیاهان علوفه ای، انگور، چغندر قند و پنبه است. عمده ترین



فرآورده های کشاورزی و باغ داری عبارتند از: گندم، جو، تره بار، ذرت، تخمه آفتابگردان، انگور، سیب، گلابی و گیلاس. در این شهرستان پوشش گیاهی تنک جهت چرای دام موجود است. دام داری در منطقه هم به صورت سنتی و هم به روش صنعتی انجام می گیرد. محصولاتی مانند تره بار، انگور و شیر از مهم ترین تولیدات رباط کریم محسوب می شود. دام داری های صنعتی شامل واحدهای گاوداری از نژادهای اصیل خارجی است که به پرورش گاوهای شیرده اختصاص یافته و از بازدهی خوبی برخوردار شده است.

۱-۲- زمین شناسی عمومی

۱-۲-۱- چینه شناسی منطقه

در این منطقه گدازه ها و سنگهای آذرآواری متعلق به ائوسن بالایی گسترش قابل توجهی داشته و سنگهای قدیمی تر از این زمان رخمنوئی ندارند. سنگهای موجود تنوع قابل ملاحظه ای داشته و شامل انواع بازیک، میانه و اسیدی می باشند. بخش عمده ای این سنگها را آندزیت پیروکسن دار، آندزیت بازالتی، توفهای تراکیتی و رویلیتی وایگنبریت تشکیل می دهند. از نظر زمین شناسی ورقه رباط کریم متعلق به دوران ائوسن و کواترنری (دوران سوم و چهارم زمین شناسی) می باشد.

واحدهای موجود در محدوده ای ورقه ای ۱:۱۰۰،۰۰۰ و ۱:۲۵۰،۰۰۰ زمین شناسی تهران به ترتیب از قدیم به جدید بقرار زیر می باشد:

سنوزو~~و~~یک

ائوسن:

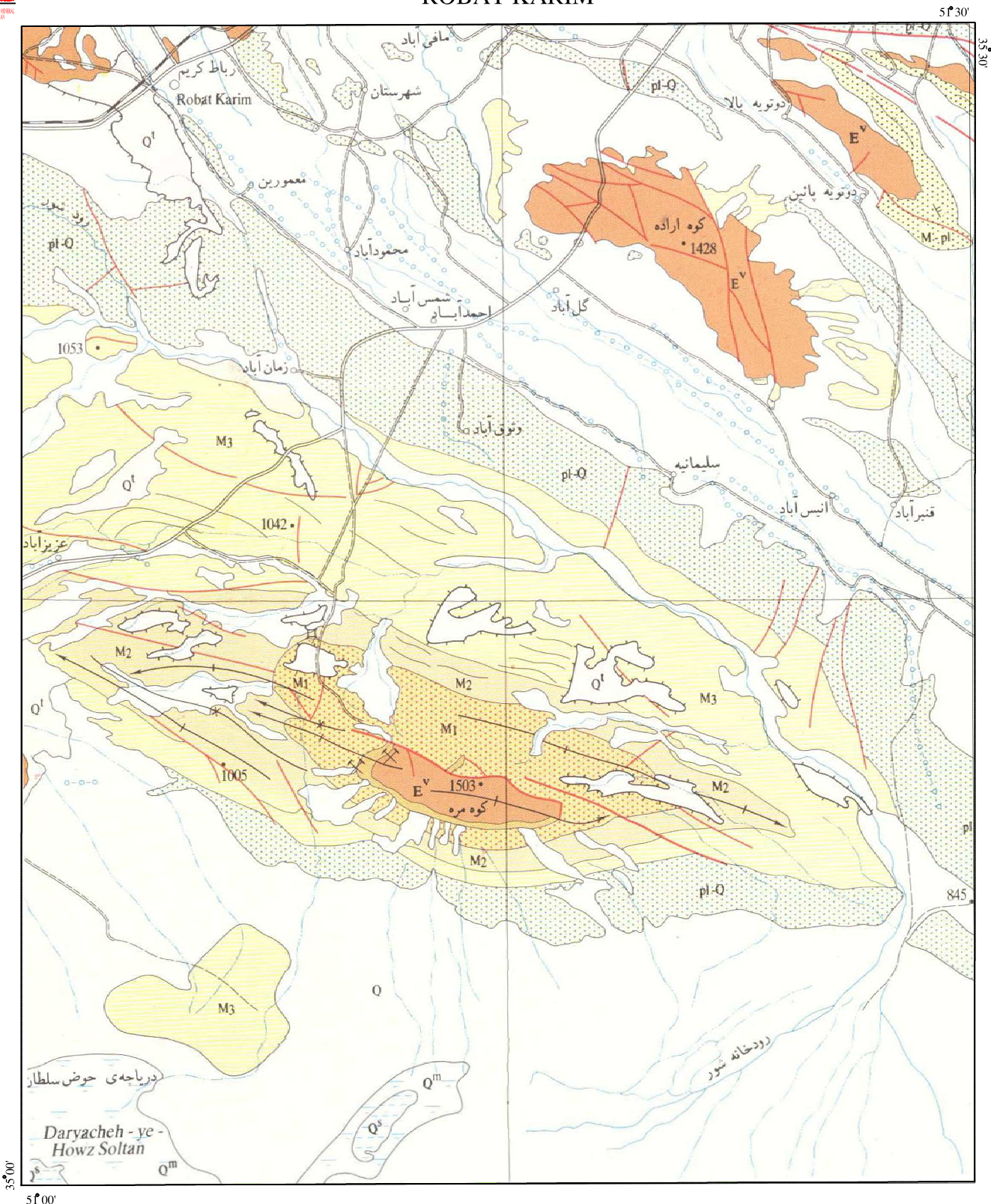
توده های بزرگی از گدازه ای آندزیتی و سنگهای آذرآواری مربوط به سازند کرج (E^v) با سن ائوسن پایانی و میانی در قسمت مرکز، شمال باختری و شمال خاوری ورقه ای یکصدهزارم رباط کریم دیده می شود. رنگ گدازهای آندزیتی تیره و توف های سازند کرج، سبز تا سبز تیره می باشد.

رسوبات نئوژن:

رسوبهای آواری قرمزنگ نئوژن که گاهی با کانیهای تبخیری همراهند تا ۲۰۰ متر ضخامت دارند. این رسوبها از باختر تا جنوب خاوری ورقه ای یکصدهزارم رباط کریم دیده می شود. ناحیه ای مذکور تحت تأثیر گسلش و چین خوردگی های متعددی واقع است.

سازند قرمز فوکانی **Upper Red Formation** با سن میوسن شامل سه بخش می باشد: شیل، ماسه سنگ، سنگهای تبخیری (M₁)، سنگ آهک و مارن (سازند قم، M₂، گلسنگ گچ دار M₃).

ROBAT KARIM



51°00'
35°00'

MINISTRY OF INDUSTRIES & MINES GEOLOGICAL SURVEY AND MINERAL EXPLORATION OF IRAN
Geochemical Exploration Department
Geological Map
After Geological Quadrangle Map (1:250,000) of TEHRAN

Map No.1

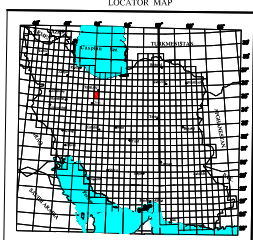
Date: 2009



5000 0 5000 10000 m

Coordinate System UTM (Hayford 1909)

LOCATOR MAP



راهنما

L E G E N D

Q ^{al}	Gravels	آبرفت پست رودخانه
Q ^m	Kavir (Q ^m : mudflat and saltflat; Q ^s : saltlake)	کویر (Q ^m : کفه‌های لای و نمک، Q ^s : دریاچه‌ی نمک)
Q	Alluvium (including TEHRAN ALLUVIUM)	آبرفت (و آبرفت تهران)
Q ^t	Alluvial terraces	پادگانهای آبرفتی
Q ^l	Landslide, rock fall	زمین لغزش، سنگ‌بریز
pl-Q	Conglomerate (including KAHRIZAK FORMATION: plio - pleistocene)	کنگلومرا (و سازند کهربزک: بیلو - پلیستوسن)
M-p	Conglomerate (including HEZARDARREH FORMATION; Mio - phiocene)	کنگلومرا (و سازند هزار دره: بیلو - پلیوسن)
M	Mudstone, gypsiferous; M: Undifferentiated Sandstone and mudstone	لای سنگ گچ دار: M: تقیک شده
M1-2	M1-2: Undifferentiated and Shale, siltstone, evaporite	ماسه سنگ و لای سنگ
O-M	Limestone and marl (QUM FORMATION)	M1-2: دو قسم تقیک شده
O ^f	Conglomerate	شیل، فوش سنگ، سنگهای تبخیری
O ^f #	Gypsum	سنگ آهک و مارن (سازند قم)
O ^f *	Salt	کنگلومرا
O ^f y	Andesitic/dacitic lava, agglomerate and tuff	سنگ گچ
O ^f	Sandstone, marl, shale, conglomerate and volcanics	سنگ نمک
E ^b	Gypsum	گذاره آندزیت - داسیتی، اکلومرا و توف
E ^v	Marl, limestone and gypsum	ماسه سنگ، مارن، کنگلومرا و سنگهای انتشاری
E ^v and E ^v	Upper Tuff Member: Andesite/dacite lava and pyroclastics, shale, marl, sandstone	سنگ آهک
E ^v	Äsära Shale Member; E ^b : Basaltic/andesitic lava	مارن، سنگ آهک و سنگ گچ
E ^b	Middle Tuff Member: Dacite, Pyroclastics and minor lava, shale, conglomerate	سنگ گچ
E ^m	E ^b : Andsite/dacite lava and pyroclastic marl	سنگ آهک
E ^m	E ^m : Mudstone, shale, dacite, Pyroclastics	سنگ آهک
E ^m	Lower shale Member: Shale, dacite lava and pyroclastics	سنگ آهک
E ^v	Limestone ; nummulitic (ZIÄRAT FORMATION)	سنگ آهک
E ^v	Gypsum	سنگ آهک
E ^v	Conglomerate and conglomeratic limestone (FÄJÄN FORMATION)	سنگ آهک
E ^b	Limestone	سنگ آهک
E ^b	K ^{l-m}	سنگ آهک و مارن
E ^b	K ^s	شیل، ماسه سنگ و کنگلومرا
E ^b	K ^l	سنگ آهک اریتولیدار (سازند تیزکوه: آسین - آلبین)
E ^b	K ^{l-m}	سنگ آهک (سنگ آهک لار)
E ^b	K ^s	سنگ آهک، مارن، آموخت دار (سازند دلیجانی)
E ^b	K ^l	شیل و ماسه سنگ زغال دار
E ^b	J ^l	بازالت
E ^b	J ^d	بازالت
E ^b	J ^l	بازالت
E ^b	D ^d	دolomit و سنگ آهک
E ^b	R ⁱ	سنگ آهک ورقه‌ای با آثار کرم
E ^b	R ^e	سنگ آهک (سازند روته)
PR	Limestone (RUTEH FORMATION)	ماسه سنگ و شیل (سازند دورود)
Pd	Sandstone and shale (DORUD FORMATION)	ماسه سنگ و شیل (سازند مبارک)
	Limestone (MOBARAK LIMESTONE)	سنگ آهک (سنگ آهک مبارک)
	Limestone, shale and sandstone with phosphatic layers	سنگ آهک، شیل و ماسه سنگ با لایه‌های فسفات دار
	Basalt	بازالت
	Dolomite and limestone	دolomit و سنگ آهک
	Limestone, platy; worm tracks	سنگ آهک ورقه‌ای با آثار کرم
	Limestone (RUTEH FORMATION)	سنگ آهک (سازند روته)
	Sandstone and shale (DORUD FORMATION)	ماسه سنگ و شیل (سازند دورود)
	Limestone and dolomite (MILA FORMATION)	سنگ آهک و dolomit (سازند میلا)
	Sandstone, quartzite on top (LALUN SANDSTONE)	ماسه سنگ، کوارتزیت در بالا (ماسه سنگ لاون)
	Shale and sandstone (ZAIGUN FORMATION) P ^c in general	شیل، ماسه سنگ (سازند زایگون) P ^c : تقیک شده
	Shale, sandstone, dolomite and limestone (BARUT FORMATION)	شیل، ماسه سنگ، dolomit و سنگ آهک (سازند باروت)
	Dolomite, shale (SOLTANIEH DOLOMITH with chapoglu shale member)	dolomit، شیل (dolomit سلطانیه با پخش شیل جیقاو)
	Sandstone, shale and dolomite (BAYANDOR FORMATION)	ماسه سنگ، شیل و dolomit (سازند بایندر)

سکه‌ای انتشاری صادر
DAMĀVND VOLCANICS (Quaternary)

۱:۱,۵



کنگلومرای سازند هزار دره (M_{pl}) با سن میو-پلیوسن که در شمال خاوری ورقه رخمنون دارد و کنگلومرای سازند کهربیزک (PIQ) با سن پلیو-پلیستوسن که از باخته تا جنوب خاوری ورقه گسترش دارد.

کواترنر

این رسوبات پادگانه های آبرفتی را تشکیل داده‌اند که از کنگلومرا و رسوبات رودخانه‌ای سست تشکیل گردیده با ساختمانهای رسوبی همچون چینه بندی مورب و طبقه‌بندی تدریجی می‌باشد. پادگانه های آبرفتی اکثراً بصورت افقی و دگرشیب روی تشکیلات قدیمی منطقه قرار گرفته‌اند و از سختی کم، سیمان سست و جورشدگی ضعیف برخوردارند.

Q_t : پادگانه آبرفتی

Q : آبرفت

Q_m : کله های لای و نمک

Q_s : دریاچه‌ی نمک

۲-۱-۲- زمین‌شناسی ساختمانی و تکتونیک

زون ساختاری ارومیه - دختر

بررسی تاریخچه تحول ساختاری منطقه نشان می دهد که این منطقه نیز به پیروی از زون ساختاری ارومیه-دختر تحت تاثیر یک سیستم برشی راستگرد تکوین یافته است. در سیستم مذکور گسل های مختلفی به وجود آمده است که تنها در یک مورد از نوع کششی است و راستای این دسته تقریباً شمالی-جنوبی (**N10-20W**) است. مقایسه انجام شده بین ساختار منطقه و راستای رگه های منگنز نشان می دهد که ضخیم ترین و اقتصادی ترین رگه های موجود، منطبق بر گسل های کششی منطقه بوده و رگه های دیگر نیز بر گسل های دیگر از جمله گسل های نوع **P** و **R** (از گسل های اصلی سیستم برشی راستگرد) انطباق دارند. ضخامت رگه های اخیر بسیار کم بوده و فقد ارزش اقتصادی اند. تحقیق حاضر نشان می دهد که ساختار منطقه نقشی مهم و اساسی در تمرکز ماده معدنی بر عهده داشته است و بنابراین توجه به ساختار منطقه در مناطق مشابه می تواند به عنوان ابزار مناسبی برای اکتشاف مدنظر قرار گیرد. این ابزار، به ویژه برای سایر کانسارهای رگه ای موجود در زون ارومیه-دختر حائز اهمیت است.

۲-۱-۲- گسلهای منطقه

بررسی تاریخچه تحول ساختاری منطقه نشان می دهد که این منطقه نیز به پیروی از زون ساختاری ارومیه-دختر تحت تاثیر یک سیستم برشی راستگرد تکوین یافته است. در سیستم مذکور گسل های مختلفی به وجود آمده است که تنها در یک مورد از نوع کششی است و راستای این دسته تقریباً شمالی-جنوبی (**N10-20W**) است. روند اصلی گسله ها و راندگی های



اصلی، شمال باختری - جنوب خاوری که منطبق بر روند آلبی ایران زمین می باشد و موازی محور اصلی چین خوردگی در منطقه قرار گرفته اند.

گاهما گسله ها با روند شمالی - جنوبی نیز در منطقه دیده می شد.

نزدیکترین و مهمترین گسلهای منطقه رباط کریم که از پتانسیل ایجاد زمین لرزه برخوردار میباشند عبارتند از گسل کهریزک، گسل شمالی، گسل جنوبی ری و گسل رباط کریم.

۲-۲-۱- چین ها

روند اصلی لایه های سنگی و سازندهای موجود در ورقه‌ی رباط کریم شمال باختری - جنوب خاوری است که منطبق بر روند آلبی ایران زمین می باشد.

چین ها در این منطقه اغلب از نوع عادی است. در طول تکوین ساختاری این ارتفاعات همواره راستای بیشترین کوتاه شدگی و بیشترین استرس انقباضی شمال خاوری - جنوب باختری بوده است. این چین ها موازی با امتداد محوری گسل های منطقه می باشد.

۲-۳- ۱- زمین شناسی اقتصادی

مهم ترین معدن این شهرستان معدن منگنز است که توسط شرکت ملی فولاد ایران مورد بهره برداری قرار می گیرد.

کانسار منگنز رباط کریم در فاصله ۶۰ کیلومتری جنوب غربی تهران، ۹ کیلومتری شمال باختر رباط کریم و در محدوده‌ی زون ساختاری ارومیه - دختر واقع شده است.

در این منطقه گدازه ها و سنگهای آذرآواری متعلق به ائوسن بالایی گسترش قابل توجهی داشته و سنگهای قدیمیتر از این زمان رخنمونی ندارند. سنگهای موجود تنوع قابل ملاحظه‌ای داشته و شامل انواع باریک، میانه و اسیدی می باشند. بخش عمده‌ی این سنگها را آندزیت پیروکسن دار، آندزیت بازالتی، توفهای تراکیتی و ریولیتی وایگنمبریت تشکیل می دهند. در محدوده‌ی کانسار واحدهای آذرآواری نیز گسترش وسیعی دارند. هر چند رگه های منگنز تقریباً در تمام امتدادها دیده می شوند، اما راستای بخش عمده رگه های ضخیم و اقتصادی تقریباً شمالی-جنوبی (**NO-10W**) و شیب آنها نزدیک به قائم است.



بخش دوم : اکتشافات ژئوشیمیایی



فصل اول: نمونه برداری و آنالیز نمونه ها

مقدمه

نمونه برداری را به عنوان انتخاب بهینه و برداشت جزء معرف از یک جامعه معرفی کرده اند. طبیعی است که در پژوهه های اکتشافی حقیقت یک پدیده کانی سازی را تا برداشت آخرین بخش کانی سازی نمی توان با قطعیت کامل ابراز نمود. بنابراین نمونه برداری نیز به عنوان یک پدیده احتمال پذیر همراه با ضریبی از خطا و سطحی از اعتبار معرفی می شود. تلاش کارشناسان در طراحی نمونه برداری و اجرای آن تا آنجا که می شود در پرهیز از بروز خطاهایی است که چنانچه در مجموعه خطای کل قرار گیرند، به طور یقین اعتبار داده پردازی و نتایج نهایی را مورد شک و تردید قرار می دهند.

اختلاف عمدۀ نمونه برداری و سرشماری، در آن است که در سرشماری همه اعضای جامعه مورد مطالعه، تحت آنالیز قرار می گیرند و در مجموع می توان با قطعیت درمورد این جامعه به بررسی و داوری نشست. اما در نمونه برداری که یک امر احتمال پذیر است، از دیدگاه یک نمونه معرف به داوری در مورد یک جامعه منتب به آن پرداخته می شود. بنابراین با توجه به تراکم و چگالی نمونه ها در این پژوهه اکتشافی، اهمیت طراحی نمونه ها با در نظر گرفتن عوامل مؤثر در آن، برداشت نمونه با حداکثر دقیق، اعمال نظر کارشناسی در تغییر محل نمونه در موقع ضروری، اضافه کردن یا حذف یک نمونه در موارد خاص و ذکر دلایل آن، همگی از مواردی هستند که جزو ملزمات یک پژوهه اکتشافی به شمار می آیند.

عملیات نمونه برداری به عنوان نخستین گام در راه کسب اطلاعات از پنهان زمین است و کارشناسان مسئول به راههای گوناگون کوشیده اند تا بهترین راهها را برای کسب این اطلاعات در پیش گیرند. این اطلاعات تا زمان انجام آنالیز ژئوشیمیایی به صورت نهان و خام در دل نمونه ها نهفته است. مراحلی گوناگون شامل مراحل آماده سازی صحراوی (انتخاب قطر بهینه ذرات، انتخاب وزن بهینه نمونه، خشک کردن احتمالی و ...) مراحل آماده سازی آزمایشگاهی (آسیاب کردن، پودر کردن، همگن کردن، تقسیم کردن، انتخاب نمونه مورد آزمایش و انتخاب نمونه باگانی و ...) بر روی نمونه ها انجام می شود تا نمونه از حالت خام به حالت پروردۀ در آمده و نتایج آن پس از سیر روند آنالیز به صورت کمی یا نیمه کمی و گاه کیفی در اختیار کارشناسان داده پرداز قرار گیرد.

هر کدام از این مراحل نیز در برگیرنده خطا است که در مجموعه خطای کلی نقش خواهد داشت، اما نتایج آنالیز با روش‌های گوناگونی تحت کنترل در می آید و تلاش بر آن است که با تکیه بر توانایی ها و محدودیت های دستگاهی در انتخاب بهترین روش آنالیز گام برداشت.



۱-۲-۱- انتخاب محیط نمونه برداری

بطورکلی در اکتشافات ژئوشیمیایی ناحیه ای با مقیاس ۱:۱۰۰۰ نمونه برداری از رسوبات آبراهه ای مدنظر است ، اما پیش از عملیات صحرایی برداشت نمونه و ارسال برای آنالیز نخست باید محیط مناسب نمونه برداری بررسی و سپس شبکه نمونه برداری طراحی و تهیه شود.

انتخاب محیط مناسب نمونه برداری از اهمیت به سزایی برخوردار است و همچنان که می دانیم در بررسیهای ژئوشیمیایی ناحیه ای بهترین مکان برای نمونه برداری، رسوبات رودخانه ای است که آن خود مولول شرایط مختلف آب و هوایی و وضعیت زمین شناسی، توپوگرافی، کانی سازی و همچنین شبکه آبراهه ها و شبکه کلی منطقه است. میزان بارندگی در محیط های مختلف عامل درجات متفاوتی از انواع فرسایش مکانیکی و شیمیایی و سرانجام میزان انتقال رسوبات است. شدت و نوع فرسایش و انتقال رسوبات حاصل از آن نیز در مناطق با ارتفاع گوناگون ناهمسان است. با بررسی کامل حوضه های آبریز، طراحی و برداشت نمونه ها، امکان بررسی نهایی و دستیابی به اطلاعات حوضه های بالا دست فراهم می آید و این خود راهنمایی برای رسیدن به ناهنجاری های احتمالی است.

روشن است که مناطق در بردارنده پتانسیل احتمالی، در شرایطی به وجود می آیند که کانی سازی (هاله های اولیه) در محیطی که رسوبات از آن منشاء گرفته اند، رخداده باشد. در غیر اینصورت ممکن است رسوبات حمل شده از مناطق فاقد کانی سازی، محیطی را بپوشانند که کانی سازی در آن صورت گرفته باشد، در واقع نمونه برداشت شده از رسوبات سطحی جدید فاقد کانی سازی است که این امر خود می تواند خطای ارزیابی ناهنجاری را به همراه داشته باشد. در ارتباط با این مسئله برای انتقال و حمل رسوبات از یک بخش یا محیط حوضه آبریز گسترده به بخش یا محیط دیگر، می توان چهار حالت را فرض نمود که عبارتند از:

۱- انتقال از یک بخش کانی سازی شده به بخش دیگر کانی سازی شده که در این حالت هم رسوبات سطحی و هم رسوبات و لایه های زیرین همراه با پتانسیل کانی سازی است و از خود ناهنجاری نشان می دهند.

۲- انتقال از یک بخش کانی سازی شده به بخش دیگر کانی سازی نشده که در این صورت فقط لایه رسوبات سطحی در بردارنده پتانسیل و ناهنجاری است.

۳- انتقال از یک بخش کانی سازی نشده به بخش دیگر کانی سازی شده که این نقل و انتقال باعث پوشش سطحی لایه کانی سازی شده و در صورت نمونه برداری از سطح، منطقه در ارزیابی، عقیم متصرور می شود.

۴- انتقال از یک بخش کانی سازی نشده به بخش دیگر کانی سازی نشده که در این حالت لایه های سطحی و زیرین بدون پتانسیل و ناهنجاری است.

درباره حالت اول و چهارم به تقریب وضعیت روشن و مشخص است، یعنی دستیابی به بخش در بردارنده پتانسیل و ناهنجاری (حالت اول) یا شناسایی منطقه ای که هیچگونه پتانسیل و ناهنجاری ندارد (حالت چهارم)، اما در مورد وضعیت دوم و



سوم بایستی تمهیداتی برای جلوگیری از خطا ورفع دشواری اندیشید. تشخیص اینکه فقط لایه سطحی در بردارنده پتانسیل و ناهنجاری است و لایه زیرین بدون پتانسیل و ناهنجاری است و عکس آن امر مهمی است که بایستی دقیق لازم برای شناخت لایه پوششی حوضه آبراهه ها به عمل آید.

۲-۱-۲- طراحی محل نمونه ها

یکی از مراحل مهم و اساسی هر فاز اکتشافی طراحی نقاط نمونه برداری است که به عنوان اساس و پایه کار بایستی بدون خطا و یا با کمترین خطا صورت گیرد. طراحی مذکور با بررسی و شناخت حوضه های آبریز و شبکه آبراهه ها و با هدف نمونه برداری از رسوبات رودخانه ای انجام می گیرد. البته عوامل مختلفی نیز می توانند در طراحی نمونه ها دخیل باشد، از آن جمله می توان به عدم گستردگی رخنمون سنگی، محدوده های وسیع از پوشش گیاهی، وجود دریا یا دریاچه، مزارع گستردگی و مناطق کشاورزی اشاره کرد.

در هر حال نخست با بررسی نقشه توپوگرافی ۱:۵۰۰۰۰ منطقه، محدوده حوضه های آبریز با در نظر گرفتن واحدهای سنگی مستعد کانی سازی، توده های نفوذی، همبریهای مهم سیستم گسلی، معادن قدیمی و فعلی و ... و همچنین با استفاده از نقشه ژئومغناطیسی هوایی و بررسی شواهد موجود در آن، از جمله گسله های پنهان و وضعیت توده های نفوذی نیمه عمیق (Shallow Magnetic Bodies) و سرانجام بررسی وضعیت جغرافیایی منطقه، راههای دسترسی و با توجه به زمان و بودجه پژوهه، امر طراحی نمونه ها در ورقه انجام می شود برای طراحی بهینه نمونه ها و انتخاب مناسبترین نقاط علاوه بر زمان و بودجه معیارهایی نیز بایستی مد نظر قرار گیرند.

- دستیابی به بیشترین توزیع یکنواخت نمونه ها در کل نقشه.

- رعایت چگالی نمونه برداری ژئوشیمیایی و کانی سنگین براساس استاندارهای جهانی و ویژگیهای هر نقشه.

- توزیع همگون و حتی الامکان یکنواخت نمونه ها متناسب با سطح حوضه آبریز و تعداد انشعابات آن.

- اولویت به رسوبات رودخانه ای که سنگ بستر خود راقطع می کنند.

- بررسی امکانات جاده ای و در نظر گرفتن شرایط اسکان موقت در مراکز روستایی و نزدیکترین محل به نقشه.

- واگذاری اختیار به کارشناسان نمونه بردار درباره حذف یا اضافه کردن نمونه هادر نقاط مورد نظر (این امر باید به گونه ای مستدل در گزارش صحرایی قید شود).

تعداد نمونه های طراحی شده برای ورقه های ۱:۱۰۰۰ در این پژوهه باستاندارد جهانی فاصله زیادی دارد. اما بنا به رعایت بعضی از موارد وبا توجه به مطالب بالا مرحله طراحی نمونه ها به انجام رسید. پس از آنکه مرحله طراحی نمونه ها به انجام رسید، نقشه های توپوگرافی مربوطه، برای رقومی شدن محل نمونه ها و پیش زمینه رقومی کردن آبراهه ها، جاده ها، روستاهای ... اسکن (Scan) شده و با کمک از نرم افزارهای Excel2003، Autocad Map 2007 لیست نمونه ها همراه با مختصات آنها در سیستم UTM (Hayford, 1909) تهیه و در اختیار گروههای صحرایی (نمونه برداران) قرار



گرفت. مختصات دقیق هر نمونه همراه با نقشه های نمونه برداری و دستگاه GPS کمک شایانی در تسهیل امر نمونه برداری می باشدند.

۳-۲-۱-۳- عملیات صحرایی نمونه برداری

بطورکلی مراحل مختلف اکتشافات ژئوشیمیایی همچون طراحی نمونه ها، نمونه برداری، آنالیز نمونه ها، داده پردازی، بررسی و تدوین گزارش همانند حلقه های زنجیر بهم پیوسته می باشند و از آنجا که داده های حاصل از آنالیز نمونه ها در مرحله داده پردازی و تعیین نواحی ناهنجاری نقش اساسی را برعهده دارند، لذا دقت در نمونه برداری همچون دیگر مراحل بسیار مهم است.

کارشناسان دست اندر کار در این پروژه به این واقعیت معتبرند که خطای نمونه برداری به تقریب جبران ناپذیر است و باعث اتلاف وقت و هزینه و در نهایت اخذ نتایج نادرست خواهد شد.

گروههای نمونه بردار با استفاده از نقشه توپوگرافی و دستگاه موقعیت یاب (GPS) برای یافتن مختصات نقاط ثبت شده، نمونه ها را برداشت کردند. نمونه ها پس از مرحله آماده سازی صحرایی در کیسه های مناسب و دو لایه ریخته و شماره آنها به صورت برچسب و همچنین به صورت اتیکت درون نمونه ها ثبت می شود. لیست نمونه های برداشت شده در پایان هر روز در محل کمپ صحرایی کنترل و با تبدیل شماره ها به شماره های نهایی و انتقال شماره نهایی به نقشه های اصلی پیشرفت کارآدامه می یابد.

نمونه های ژئوشیمی از بستر آبراهه ها و با استفاده از جزء زیر الک ۸۰ مش برداشت شده است که خود در واقع نوعی آماده سازی مقدماتی نیزتلقی می شود. وزن نمونه برداشت شده حدود ۱۵۰ گرم است.

رخدادهای قابل توجه در صحراء جمله دگرسانی، کانی سازی، گسله های بزرگ، معادن قدیمی و فعال که در نقشه های زمین شناسی ثبت نشده اند، نیز مد نظر گرفته شده و به صورت شرح مختصراً یاد داشت می شود. شماره نمونه ها به صورت رنگ اسپری، در محل مشخص می شوند تا در مراحل کنترل ناهنجاری و بازدید های بعدی، محل نمونه ها مشخص باشد.

۳-۲-۱-۴- آماده سازی و آنالیز نمونه ها

در حقیقت بخشی از مرحله آماده سازی نمونه ها، با انتخاب قطر بهینه ذرات بوسیله الک ۸۰ مش در صحراء انجام می گیرد که با توجه به موارد پرشماری که در نمونه برداری مورد نظر است یکی از بهترین اندازه ها برای نمونه ژئوشیمی است، مگر در موارد و اهداف خاص که از الکهای با درجات مختلف و به ویژه ۴۰ مش استفاده می شود.

نمونه ها پس از کنترل نهایی شماره همراه با لیست مربوطه برای آنالیزه آزمایشگاه ارسال می شود. سیر آماده سازی نمونه ها با خردایش آغاز، پس از همگن سازی اولیه در حجمی در حدود ۲۵ سانتی متر مکعب تا حدود ۲۰۰ مش پودر شده و مابقی بصورت بایگانی ذخیره می شود (لیست آنالیز عناصر همراه با مختصات نمونه ها در پیوست شماره ۱ آمده است).



نوع و تعیین روش آنالیز و عناصر مورد درخواست به گسترش واحدهای سنگی گوناگون، نوع کانی سازی موجود در ناحیه مورد مطالعه و دیگر عوامل بستگی دارد. الگوهای متداول در تجزیه شیمیایی عناصر را امروزه روش‌های اسپکترومتری، جذب اتمی، کالریمتری، اسپکتروگراف تابشی و فلورسانس اشعه X تشکیل می‌دهند. در طرح اکتشافات ژئوشیمیایی ناحیه‌ای در ورقه ۱۰۰۰، ۱:۱ رباط کریم، نمونه‌ها توسط آزمایشگاه شرکت توسعه‌ی علوم زمین و بروش مورد آنالیز قرار گرفت. عناصر **Na, Mo, Mn, Mg, Li, La, K, Hg, Fe, Cu, Cs, Cr, Ce, Cd, Ca, Bi, Be, Ba, As, Al, Ag, S, P, Nb, Pb, Ni, Rb, Sb, Sc, Sr, Te, Th, Ti, Tl, U, V, W, Y, Zn, Zr** بروش ICP-OES آنالیز شده‌اند.

داده‌های بالای عنصر **Au** طلا بروش جذب اتمی و مابقی داده‌های این عنصر بروش اسپکتروگراف نشری آنالیز شده است. روش آنالیز عنصر **Sn** قلع فلورسانس اشعه X می‌باشد. جدول حساسیت همراه آنالیز در پیوست ۱ آورده شده است.

فصل دوم : پردازش داده‌ها

زیر بنای اساسی همه گزارش‌هایی که بر مبنای داده‌های کمی پایه ریزی شده‌اند، اطمینان به درستی نتایج است و در پی آن بررسیهای داده پردازی همانند دست افزارهایی عمل خواهد کرد که دسترسی به اهداف اکتشافی را آسان خواهد نمود. مرحله پردازش داده‌ها طی فصول سلسله وار از فایل بندی داده‌های خام، مراحل شناسایی و جایگزینی داده‌های سنسورد تا مطالعات آماری تک متغیره و چند متغیره ادامه دارد و در این راه تداوم این سلسله و پیگیری نتایج هر مرحله در مرحله بعدی امری اجتناب ناپذیر می‌نماید. البته ناگفته نماند که وقتی نتایج حاصل از این پردازش داده‌ها کاملاً مفید و سودمند خواهد بود که با نتایج حاصل از روش‌های تکمیلی، همچون مطالعات کانیهای سنگین و کنترل ناهنجاریها جمع بندی شوند و بعد نتیجه گیری کلی انجام گیرد.

اصول پردازش داده‌ها، باهدف تفهیم آسانتر نتایج، نمایش بهینه داده‌های فراوان و متغیرهای گوناگون، تلفیق داده‌ها و اخذ بهترین نتیجه با استفاده از یک فضای **n** بعدی (در مراحل داده پردازی چند متغیره) و ... انجام خواهد شد، در این راستا اولین گام فایل بندی داده‌های آزمایشگاهی است.

۲-۲-۱ - فایل بندی داده‌های خام

در زمین آمار قبل از هر چیز مدیریت داده‌ها از اهمیت خاصی برخوردار است. داده‌های ارایه شده از آزمایشگاه نیاز به فایل بندی مناسب جهت انجام مراحل بعدی دارند بنابراین داده‌ها در یک محیط **Excel** مرتب شده و با مرور بر آنها داده‌های ناقص و داده‌های سنسورد جدا می‌شوند. در یک پروژه سیستماتیک قبل از انجام هرکاری خطأگیری و تحلیل دقیق آنالیزهای ژئوشیمیایی مدد نظر می‌باشد. کنترل کیفیت داده‌های آزمایشگاهی از اهمیت ویژه‌ای برخوردار است زیرا اول‌آمیزان اعتماد به داده‌ها را مشخص می‌کند و ثانیاً اگر خطای داده‌ها زیاد باشد بهتر است در تفسیر نتایج دقت بیشتری به عمل آورد. برای تعیین

دقت آزمایشگاه می توان یک سری نمونه های تکراری تهیه کرد و به همراه نمونه های اصلی به آزمایشگاه فرستاد و سپس دقیق اندازه گیری ها را محاسبه کرد. برای این منظور می توان از نمودارهای کنترل استفاده نمود که هیستوگرام های حاصل از خطای گیری (پیوست ۲) آورده شده است.

نمونه های تکراری آزمایشگاهی (**Lab Duplicate**) در واقع ۲ قسمت از یک نمونه ی آماده سازی شده ی آزمایشگاهی می باشند، در حالیکه نمونه های صحرایی تکراری (**Field Replicate**) ۲ آنالیز مجزا از ۲ نمونه ی صحرایی می باشد که بطور مجزا از یک محل برداشت شده اند. این نمونه ها باید تحت فرآیندهای مجزای نمونه برداری و آماده سازی (که شامل هردو نوع آزمایشگاهی و نمونه برداری است) قرار گیرند. این نمونه های تکراری در گزارش ها به نمونه های اصلی ارجاع داده می شوند تا بعدا در پردازش آماری داده ها مورد استفاده قرار گیرد. تامپسون و هوارث (۱۹۷۶، ۱۹۷۸) تشریح کردند که دقت آزمایشگاهی یکسری از داده ها می تواند توسط آنالیز نمونه های تکراری تخمین زده شود. آنان یک نمودار گرافیکی دقت را طرح نمودند که برای مجموعه داده های شامل ۵۰-۱ نمونه موثر می باشد.

در خطای گیری ها دقت اندازه گیری ها از طریق آنالیز جفت نمونه های تکراری بررسی می شود اگر تعداد جفت نمونه های تکراری به اندازه کافی باشند تغییرات انحراف معیار در دامنه مقادیر اندازه گیری شده را می توان محاسبه کرد. دامنه مجاز برای این تخمین کمتر از ۵۰ درصد مقادیر اندازه گیری شده می باشد اگر تعداد نمونه ها کمتر از ۵۰ نمونه باشد باید از روشی که تامپسون - هوارث بیان نموده اند استفاده کرد. در این روش از یک نمودار تمام لگاریتمی استفاده می شود که محور افقی آن میانگین دو اندازه گیری و محور قائم آن قدر مطلق اختلاف دو اندازه گیری می باشد. اگر میانگین دو مقدار اندازه گیری شده روی محور افقی و قدر مطلق دو مقدار اندازه گیری شده در روی محور عمودی پیاده شود، تلاقی این دو به صورت نقطه ای در دستگاه مختصات نمایش داده می شود. معمولاً در دستگاه مختصات مورد نظر دو خط مایل یکی برای ۱۰٪ و دیگری برای ۱٪ خط از قبل رسم شده است. اگر توزیع نقاط رسم شده در این دستگاه مختصات طوری باشد که ۹۰٪ آنها زیر خط ۹۹٪ آنها زیر خط ۱٪ قرار گیرند، خطای اندازه گیری ها (بعنوان دقت) برابر ۱۰ درصد برآورده می گردد (در نمودار خطای ۱٪).

در این پروژه تعداد ۴۱ نمونه تکراری صحرایی (**Field Replicate**) و ۲۵ نمونه تکراری آزمایشگاهی (**Duplicate**) برداشت شده است. خطای مورد اول عموما خطای مراحل آماده سازی و مورد دوم خطای آزمایشگاهی را نشان خواهد داد. نمودارهای خطای گیری بر اساس تامپسون و هوارث (۱۹۷۶) در دقتهای ۱۰٪ و ۲۰٪ تهیه شده است.

۱- براساس نمودارهای خطای گیری بر اساس تامپسون و هوارث (۱۹۷۶) مشاهده می شود که خطای مراحل آماده سازی

در مورد عنصرهای Al,Ba,Be,Ca,Ce,Fe,La,Mg,Mn,Ni,P,Sr در حد ۱۰٪ و برای



عنصر $\text{As}, \text{Co}, \text{Cr}, \text{Cs}, \text{Cu}, \text{Hg}, \text{Li}, \text{K}, \text{Na}, \text{Nb}, \text{Rb}, \text{Sc}, \text{Te}, \text{Th}, \text{Ti}, \text{Tl}, \text{U}, \text{V}, \text{W}, \text{Y}, \text{Zn}, \text{Zr}$ در حـد $\% < 20$

می باشد. در مورد عنصر $\text{Ag}, \text{Au}, \text{Bi}, \text{Cd}, \text{Mo}, \text{Pb}, \text{S}, \text{Sb}, \text{Sn}$ خطای آماده سازی بالاتر از 20% می باشد.

همچنین نمودارهای خطای آنالیز در مورد عنصرهای Al

در $\text{Ba}, \text{Be}, \text{Bi}, \text{Ca}, \text{Ce}, \text{Co}, \text{Cr}, \text{Fe}, \text{La}, \text{Li}, \text{Mg}, \text{Na}, \text{Nb}, \text{Ni}, \text{P}, \text{Rb}, \text{S}, \text{Sc}, \text{Sr}, \text{Th}, \text{Ti}, \text{Tl}, \text{V}, \text{Zn}$ در حـد

برای عنصر $\text{As}, \text{Cs}, \text{Cu}, \text{Hg}, \text{K}, \text{U}, \text{Y}, \text{Zr}$ در حـد $\% < 20$ می باشد. در مورد عنصر

خطای آنالیز بالاتر از 20% می باشد و نتایج حاصل از آنالیز از دقت کافی

برخوردار نیست.

۲-۲-۲- پردازش داده های سنسور

داده های سنسور به کلیه داده های اطلاع می شود که از حد حساسیت دستگاه آنالیز کننده پایین تر و یا بالاتر بوده و

بنابر این با علامت کوچکتر از حداقل ($\text{Min} < \text{Max}$) یا بزرگتر از حد اکثر ($\text{Max} > \text{Min}$) در مجموعه داده ها به نمایش در آمده اند. به

منظور معنادار کردن محیط داده ای معمولاً چنین داده هایی را به روش های گوناگون جایگزین می نمایند. باستی توجه داشت

اگر تعداد داده های سنسور یک جامعه آماری انقدر زیاد باشد که با جایگزینی یک زمینه کاذب بوجود آید این مجموعه آماری

دچار نقصان بوده و نمی توان به آن یک جامعه آماری گفت (در صورتیکه ده درصد جامعه داده های سنسور باشند). در کار

انجام شده داده های سنسور وجود نداشته است.

۳-۲-۲- مطالعات آماری تک متغیره

هدف از مطالعات آماری تک متغیره در نظر گرفتن تغییرات ناهنجاری هر متغیر مجزا از کلیه وابستگیهایی است که آن

متغیر می تواند در محیط با دیگر متغیرها داشته باشد.

بدین منظور نتایج بدست آمده برای هر متغیر در نمونه های مختلف بصورت کاملاً مجزا مورد آنالیز آماری قرار می گیرد.

در ذیل کلیه مراحل انجام گرفته بر روی یک جامعه آماری جهت مطالعات آماری تک متغیره آمده است.

۱-۲-۲-۲- جدایش مقادیر خارج از رده

همیشه تعدادی از داده ها در یک جامعه آماری در رده بالای ناهنجاری و تعدادی در بخش زمینه قرار می گیرند. به

منظور کاهش تاثیر چنین داده هایی بر کل جامعه معمولاً آنها را قبل از هر چیز از جامعه آماری جدا می نماییم. لازم به توجه

است که داده های سنسور نیز در صورتی که به جامعه آماری صدمه وارد کنند از جامعه حذف می شوند. هر چند گاهی این

داده ها خود جزو مقادیر خارج از رده پایین قرار می گیرند. به منظور جدایش این مقادیر سه روش تجربی و **Box Plot** و روش

محاسباتی وجود دارد. در روش تجربی بر اساس تخمین از روی هیستوگرام تجمعی داده های خام مقادیر خارج از رده جدا می

شود در حالی که در روش دوم این کار با استفاده از **SPSS** در محیط **Box Plot** انجام می شود و در روش محاسباتی با

استفاده از نمودار دورفل و فرمول $S_g + X_A > \bar{X}$ این کار انجام می گیرد. ذکر این نکته الزامی است که لزومی بر این نیست

که یک جامعه آماری حتماً مقدادیر خارج از رده بالا و پایین را توانماً داشته باشد. در داده های ورقه یکصد هزارم رباط کریم، مقدادیر خارج از رده به روش آزمون و خطاط (تجربی) جدا شده است.

۲-۳-۲- محاسبه پارامترهای آماری و رسـم منحنی های هیستوگرام تجمعی داده های خام

الف) پارامترهای آماری

کسب اطلاعات درباره چگونگی پراکندگی داده ها و دستیابی به پارامترهای آماری اولین گزینه ای است که بعنوان مهمترین و جامع ترین اطلاعات آماری فرآروی داده پردازان قرار می گیرد. این اطلاعات نحوه تمایل به میانگین، پراکندگی داده ها در حول میانگین، میزان چولگی و کشیدگی جامعه و تشابه یا تمایز آن با یک توزیع نرمال رابطه فشرده دریک جدول به نمایش می گذارد، همچنین حداقل و حداکثر عیار آنالیز شده نیز در جدول مذکور ارایه شده است. آماره های میانگین، میانه و مد بعنوان گروه اول آماره ها، که میزان و چگونگی تمایل به مرکز داده ها را نشان می دهد در سطح اول این جدول قرار دارند. گروه دوم این آماره ها که به نحوه پراکندگی و پراکنش داده ها از میانگین می پردازند شامل آماره های انحراف معیار و واریانس در سطوح بعدی این جدول ارایه شده اند. تمامی این اطلاعات در جدول ۱ نشان داده شده اند.

مواردی که در جدول پارامترهای آماری داده های خام (جدول شماره ۱a) به آنها اشاره شده عبارتست از:

- چولگی عناصر از **(Co) ۸.۱۲۹** تا **(Rb)-۰.۴۲** در نوسان است.

- کشیدگی داده ها که حالت خاصی از تیزی منحنی توزیع را نشان می دهد از **(Zr) ۲.۱۱۱** تا **(Co) ۹۲** در تغییر است.

دو پارامتر مذکور در صورت نزدیک شدن به مقدادیر **۰** برای چولگی و **۳** برای کشیدگی حاکی از یک توزیع نرمال است) کشیدگی بدست آمده از نرم افزار SPSS را باید با عدد **۳** جمع نمود.

برای مقایسه تغییرات در هر عنصر و میزان آن می توان به پارامترهای معرف پراکندگی داده ها رجوع کرد، بدیهی است که در جوامع لاغ نرمال، مقدادیر بالا با فراوانی اندک می توانند معرف پتانسیلهای اقتصادی باشند که خود بصورت چولگی با انحراف معیار بالا معرفی می شوند. میزان انحراف معیار در داده ها قابل مقایسه نیست و برای دستیابی به پارامتری که بتوان با تکیه بر آن میزان تغییرات را در همه داده ها مقایسه کرد، ضریب تغییرات (CV) محاسبه شده است، این ضریب با استفاده از رابطه زیر حاصل شده است:

$$CV\% = \frac{S}{x} * 100$$

انتظار یک ژئوشیمیست که در مقیاس ناحیه ای کار می کند داشتن جوامع لاغ نرمال با چولگی مثبت است. زیرا در این جوامع مقدادیر بالا با فراوانی اندک می توانند معرف پتانسیلهای اقتصادی باشند. جوامع لاغ نرمال به جوامعی گفته می شود که لگاریتم داده های آن جوامع دارای توزیع نرمال باشد. تعریف داده های با توزیع نرمال در بخش های بعدی خواهد آمد.

TABLE 1a : STATISTIC PARAMETERS OF RAW DATA IN ROBAT KARIM SHEET (1:100,000)

	Au	AG	AL	AS	BA	BE	BI	CA	CD	CE	CO	CR	CS	CU	FE	HG	K	LA	LI	MG	MN	MO
Mean	1.83	0.425065	62267.34	12.7946	725.39	1.56312	2.59076	82876.98	0.261	51.6304	17.851	75.375	6.8774	36.9633	62509.11	0.110488	18282.02	24.1082	29.372	9849.92	1157.13	1.48936
Median	1.75	0.4226	62490	12.355	682.35	1.5345	2.397	82470	0.257	50.915	15.44	65.11	5.739	32.585	52595	0.1059	18150	24.135	28.975	9418	1063	1.4415
Std. Deviation	0.44	0.11889	5924.45	5.7858	242.99	0.19337	1.44793	19738.82	0.114	6.8926	9.0322	43.911	4.4333	17.5164	31862.04	0.02090	3067.34	3.2099	5.4315	2220.64	361.07	0.64197
Skewness	0.759	0.606	-0.299	7.737	1.809	0.254	2.931	3.002	1.075	1.107	8.129	6.074	7.452	4.259	5.369	2.714	-0.074	0.29	0.369	1.823	2.795	1.874
Std. Error of Skewness	0.175	0.175	0.175	0.175	0.175	0.175	0.175	0.175	0.175	0.175	0.175	0.175	0.175	0.175	0.175	0.175	0.175	0.175	0.175	0.175	0.175	
Kurtosis(spss)	0.571	1.352	3.209	86.418	5.969	0.556	15.092	22.555	2.331	3.48	89	50.552	76.499	23.6	43.417	13.672	-0.44	1.334	0.283	5.164	10.765	7.27
Kurtosis	3.571	4.352	6.209	89.418	8.969	3.556	18.092	25.555	5.331	6.48	92	53.552	79.499	26.6	46.417	16.672	2.56	4.334	3.283	8.164	13.765	10.27
Std. Error of Kurtosis	0.349	0.349	0.349	0.349	0.349	0.349	0.349	0.349	0.349	0.349	0.349	0.349	0.349	0.349	0.349	0.349	0.349	0.349	0.349	0.349	0.349	
Minimum	1	0.195	39100	4.5	314	0.889	0.1	45160	0.1	30.69	9.72	37.8	3.83	22.17	37740	0.0821	9021	14.08	13.33	5947	669	0.54
Maximum	3	0.93	82350	78.34	2152	2.193	12.62	243600	0.8	81.33	120.84	502	55.5	169.9	364000	0.2566	24800	35.37	45.16	21070	3258	5.175

	NA	NB	NI	P	PB	RB	S	SB	SC	SN	SR	TE	TH	TI	TL	U	V	W	Y	ZN	ZR
Mean	18208.93	17.1516	29.1329	679.7	37.1085	63.8604	7246.31	1.88094	13.4465	3.23	829.48	0.201754	16.1991	6027.14	0.99512	5.5252	199.338	1.62171	25.6206	116.885	364.43
Median	16530	15.015	28.425	657.25	30.095	64.49	3893.5	1.689	12.77	3.2	632.25	0.1653	14.245	5142.5	0.93205	4.935	160.15	1.5615	25.69	103.3	354.15
Std. Deviation	7574.76	7.319	5.3802	128.25	23.4734	10.5981	10590.66	1.090949	2.938	0.78	977.81	0.1487	6.6993	3381.85	0.247716	2.0243	152.498	0.4298	2.4861	50.248	75.46
Skewness	3.999	4.935	1.732	1.035	3.916	-0.42	3.585	4.132	2.295	-0.057	6.739	6.782	4.681	6.797	6.346	3.976	6.829	1.333	-0.072	2.836	0.222
Std. Error of Skewness	0.175	0.175	0.175	0.175	0.175	0.175	0.175	0.175	0.175	0.175	0.175	0.175	0.175	0.175	0.175	0.175	0.175	0.175	0.175	0.175	
Kurtosis(spss)	19.551	37.275	8.744	1.163	23.09	0.386	17.57	28.656	8.046	0.746	56.703	66.122	33.534	67.008	61.21	26.658	66.14	3.631	0.695	10.311	-0.889
Kurtosis	22.551	40.275	11.744	4.163	26.09	3.386	20.57	31.656	11.046	3.746	59.703	69.122	36.534	70.008	64.21	29.658	69.14	6.631	3.695	13.311	2.111
Std. Error of Kurtosis	0.349	0.349	0.349	0.349	0.349	0.349	0.349	0.349	0.349	0.349	0.349	0.349	0.349	0.349	0.349	0.349	0.349	0.349	0.349	0.349	
Minimum	5982	9.43	17.46	465	11.7	24.42	303	0.482	9.34	0	293	0.0961	9.58	3133	0.7266	2.92	95	0.3	17.34	59	203
Maximum	65470	83.54	64.08	160	219.4	85.44	83120	11.15	30.48	5	10510	1.774	75.06	41940	3.57	22.5	1811.2	3.316	33.46	401	532

TABLE 1b : STATISTIC PARAMETERS OF R+N DATA IN ROBAT KARIM SHEET (1:100,000)

	LN_AU	LN_AG	LN_AS	LN_BA	BI	LN_CD	LN_CO	LN_CR	LN_CS	LN_CU	LN_FE	LN_HG	K	LA	LN_MN	LN_MO	NA	LN_NB	LN_NI	LN_P	LN_PB	LN_S
Mean	0.57639237	-0.89527179	2.49501392	6.53978274	2.59076	-1.43914643	2.8268852	4.2445187	1.8415469	3.54769246	10.9741742	-2.21741174	18282.02	24.1082	7.01833816	0.31742968	18208.93	2.78964246	3.35651961	6.50523866	3.4942578	8.13460901
Median	0.55920746	-0.86133726	2.51406076	6.52553776	2.397	-1.35809618	2.73696133	4.17607814	1.74727695	3.48385205	10.870376	-2.24526181	18150	24.135	6.96885038	0.36568418	16530	2.70904521	3.34726865	6.48806342	3.40435903	8.26706357
Std. Deviation	0.23270384	0.28745406	0.30882952	0.29825738	1.44793	0.45232881	0.28994242	0.34521754	0.36259896	0.31424269	0.33284067	0.16430231	3067.34	3.2099	0.24974933	0.40112988	7574.76	0.29386554	0.17304404	0.17886917	0.45354416	1.26638001
Skewness	0.135	-0.359	0.627	0.577	2.931	-0.368	2.267	1.989	1.895	2.049	1.756	1.369	-0.074	0.29	1.49	0.055	3.999	1.787	0.434	0.535	0.923	0.063
Std. Error of Skewness	0.175	0.175	0.175	0.175	0.175	0.175	0.175	0.175	0.175	0.175	0.175	0.175	0.175	0.175	0.175	0.175	0.175	0.175	0.175	0.175		
Kurtosis(spss)	-0.205	0.153	7.127	0.551	15.092	-0.116	10.707	7.183	6.684	5.96	5.105	4.167	-0.44	1.334	3.175	0.182	19.551	5.568	2.193	0.085	1.638	-0.78
Kurtosis	2.795	3.153	10.127	3.551	18.092	2.884	13.707	10.183	9.684	8.96	8.105	7.167	2.56	4.334	6.175	3.182	22.551	8.568	5.193	3.085	4.638	2.22
Std. Error of Kurtosis	0.349	0.349	0.349	0.349	0.349	0.349	0.349	0.349	0.349	0.349	0.349	0.349	0.349	0.349	0.349	0.349	0.349	0.349	0.349	0.349		
Minimum	0	-1.6347572	1.50318811	5.74939299	0.1	-2.35282631	2.27387693	3.63098548	1.3426648	3.09874002	10.5384758	-2.49981726	9021	14.08	6.50623239	-0.61600097	5982	2.24347183	2.85991255	6.14268236	2.45958884	5.71472241
Maximum	1.22377543	-0.07257069	4.36105833	7.67415292	12.62	-0.27958164	4.79446736	6.21860012	4.01638302	5.13521003	12.8049091	-1.36023683	24800	35.37	8.08886879	1.64383934	65470	4.42532556	4.1601323	7.05617528	5.39089655	11.3280406

	LN_SB	LN_SC	SN	LN_SR	LN_TI	LN_U	LN_V	W	LN_ZN	ZR
Mean	0.52176627	2.57932908	3.242	6.50249846	8.62948806	1.66483843	5.17096106	1.621711	4.69852536	364.43
Median	0.52412244	2.54709836	3.2	6.44924773	8.54529405	1.59635259	5.07610264	1.5615	4.63763738	354.15
Std. Deviation	0.45329576	0.18920144	0.762	0.54705144	0.34378545	0.27803867	0.4373876	0.429803	0.3288069	75.46
Skewness	0.266	1.292	0.23	1.711	1.694	1.398	1.522	1.333	1.33	0.222
Std. Error of Skewness	0.175	0.175	0.175	0.175	0.175	0.175	0.175	0.175	0.175	0.175
Kurtosis(spss)	1.892	2.734	-0.32	5.067	5.807	3.867	4.022	3.631	2.365	-0.889
Kurtosis	4.892	5.734	2.68	8.067	8.667	7.022	6.631	5.365	2.111	
Std. Error of Kurtosis	0.349	0.349	0.349	0.349	0.349	0.349	0.349	0.349	0.349	
Minimum	-0.72981116	2.23473443	1.3	5.67880649	8.04974629	1.06986982	4.5540874	0.3	4.07787637	203
Maximum	2.4114395	3.41707073	5.2	9.26008246	10.6439953	3.11351531	7.50174489	3.316	5.99396143	532

**ب) نرمال سازی:**

برای نرمال سازی داده های جوامع لاغ نرمال از چندین روش میتوان استفاده نمود. یکی از روشهای مرسوم روش گرفتن الگاریتم از داده های جوامع لاغ نرمال است. روش دیگر روش کاکس و باکس می باشد که در این روش قبل از هر چیز داده های بدون مقادیر خارج از رده با روش کاکس و باکس (Cox and Box) آنالیز شده و یک λ خروجی برای هر متغیر بدست آمد.

پس از بدست آمدن λ خروجی برای هر متغیر با استفاده از فرمول ذیل کلیه داده ها شامل داده های سنسورد و مقادیر خارج از رده (Outlier) تبدیل می شوند.

$$\begin{aligned} Z &= \ln x & \lambda &= 0, x > 0 \\ Z &= (X^\lambda - 1)/\lambda & \lambda &\neq 0 \end{aligned}$$

در نهایت از داده های نرمال شده به هر روش مقدار انحراف از معیار S و میانگین X را محاسبه نموده و نقشه های ناهنجاری ترسیم می شوند.

ج) رسم نمودارها

داده های تک متغیره با نمایش شماری از آرایه های یک بعدی در راستای یک خط مقیاس بندی شده ارایه می شوند. با هدف نمایش داده ها، اخذ نتایج و ارایه یک گزارش تفسیر مناسبتر، آماره های توصیفی بطور خلاصه در یک محیط نرم افزاری محاسبه شده در یک محیط گرافیکی مطلوب به تصویر در می آیند. سه ویژگی موقعیت، پراکندگی و شکل توسط هیستوگرام ها قابل بررسی و تفسیر است.

این ویژگیها به یک یا چند مقدار ثابت وابسته هستند که این مقادیر ثابت بنام پارامترهای جامعه و یا پارامترهای توزیع فراوانی نامیده می شوند. محاسبه ریاضی این پارامترها وابسته به میانگین و تغییرپذیری داده هاست، نمایش بصری (دیداری) یک جامعه با برآورد میانگین حسابی جامعه μ ، میانگین هندسی جامعه، میانه و مد امکانپذیر است.

محاسبه موقعیت (Location) در یک جامعه آماری با برآورد حد، انحراف درون چارکی، واریانس و انحراف معیار قابل بررسی است و در ارتباط با شکل (Shape) هیستوگرام می توان به تعداد مدهای جامعه و چولگی و کشیدگی اشاره نمود. این امر قابل تعمق است که نمونه برداریهای گوناگون از یک جامعه می تواند در بردارنده مقادیری گوناگون از هر آماره باشد و ما هرگز نخواهیم توانست که مقادیر واقعی را از پارامترهای جامعه بدست آوریم و همیشه نتایج جامعه نمونه برداری شده با احتساب آزمونهای کنترلی به جامعه واقعی منتنسب می شود. همچنان که مشخص است برای تحلیل و تفسیر در شاخه های گوناگون علوم زمین شناسی بویژه در اکتشافات ژئوشیمیایی، استفاده از هیستوگرام ها همیشه مشخص کننده راه و رسم و نشانگر بررسیهای بعدی خواهد بود.

میزان گروههای انتخابی هیستوگرام بر مبنای تابع توزیع و توسط خود نرم افزار اعمال شده است و فراوانی هر گروه در روی محور Y مشخص است. مقایسه فراوانی گروهها و کل هیستوگرام با هیستوگرام تابع نرمال می تواند بصورت نمایی،

اطلاعاتی را در زمینه جامعه توزیع بدست دهد. آماره های انحراف معیار، میانگین و شمار داده ها در سمت راست هیستوگرام برای مزید آگاهی آورده شده است.

از مشاهدات اولیه هیستوگرام می توان نوع تابع توزیع، وجود یا عدم وجود چولگی و میزان تقریبی آن و احتمال رخداد را در هر گروه بدست آورد. در اصل هیستوگرام ها نماینده تابع توزیع چگالی احتمال هستند، نه بیانگر واقعیات توزیع یک جامعه، با کمک از این گروهها می توان احتمال پیدایش آنها را بررسی کرد. در ضمن شکل تابع توزیع خود نیز میتواند گویای مقدار نسبی عنصر در نمونه باشد.

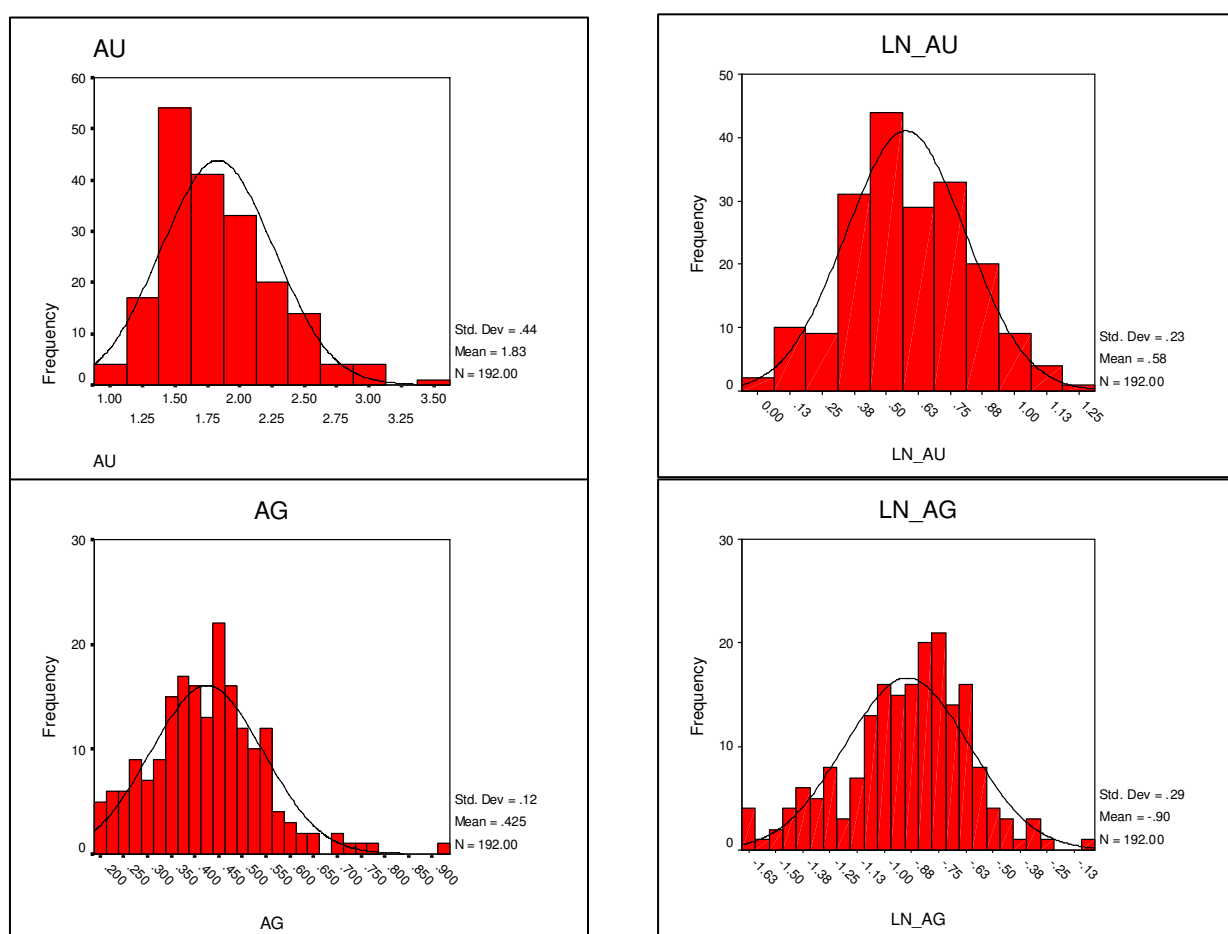
در اینجا ما از ۱۹۲ نمونه برای ترسیم هیستوگرام استفاده کرده ایم و هیستوگرام برای داده های خام، هیستوگرام برای مجموعه داده های خام و لگاریتمی ($r+ln$)، عناصر طلا و نقره در شکل شماره ۲ و بقیه عناصر در پیوست شماره ۳ آورده شده است.

طلا :

هیستوگرام عنصر طلا شامل ۱۱ کلاس است. در صورتی که روابط زیر بین میانگین، میانه و مدل حاکم باشد، تابع توزیع از نوع لاغ نرمال خواهد بود که نوع این روابط چولگی آن را مشخص می کند.

Fig 2: Histograms of Au, Ag for Raw data & Ln data in ROBAT KARIM

1:100,000 sheet





اگر مد <میانه> میانگین در این صورت تابع توزیع لاغ نرمال با چولگی منفی است.

اگر مد <میانه> میانگین در این صورت تابع توزیع لاغ نرمال با چولگی مثبت است.

حال در اینجا ملاحظه می شود که میانگین **1.83** ، میانه **1.75**، چولگی **0.759** و کشیدگی **3.571** میباشد (جدول

شماره ۱)، بنابراین معرف یک تابع توزیع لاغ نرمال با **2** خانواده و چولگی مثبت است.

نقره :

هیستوگرام عنصر نقره شامل **11** کلاس است. در صورتی که روابط زیر بین میانگین، میانه و مد حاکم باشد، تابع توزیع از نوع لاغ نرمال خواهد بود که نوع این روابط چولگی آن را مشخص می کند.

اگر مد <میانه> میانگین در این صورت تابع توزیع لاغ نرمال با چولگی منفی است.

اگر مد <میانه> میانگین در این صورت تابع توزیع لاغ نرمال با چولگی مثبت است.

حال در اینجا ملاحظه می شود که میانگین **0.425** ، میانه **0.423** .مد ، ضریب تغییرات ، چولگی **0.606** و کشیدگی

4.352 میباشد (جدول شماره ۱)، بنابراین معرف یک تابع توزیع لاغ نرمال با **3** خانواده و چولگی مثبت است.

در اینجا آنچه که مشخص است، این است که برخی از هیستوگرامها برای داده های خام از یک منحنی نرمال تعییت

نمیکنند، پس باید در مواردی که این تفاوت بارز است به نرمال سازی داده های خام پرداخت.

۲-۲-۳-۳- محاسبه، رسم و شرح ضرایب همبستگی

در بررسیهای تک متغیره که در سر فصل ۲-۳-۲ به شرح آن پرداخته شد، بررسی ها تنها بر روی توابع توزیع تک متغیره انجام می گرفت و هیچ گونه رابطه ای میان متغیرها در نظر گرفته نمی شد. در صورتیکه روابط ژنتیکی و ثانویه بسیار مهمی بین متغیرها برقرار است که در مبحث تک متغیره شناخت این روابط پوشیده می ماند. برای شناسایی این روابط و تجزیه و تحلیل آنها و استفاده از روابط آنها در مباحث زمین شناسی اقتصادی، بررسی های دو متغیره به عنوان نخستین گزینه انتخاب می شود، داده پردازی با بیان این روابط و ارایه کمیت هایی که در قالب آنها بتوان روابط مزبور را بیان داشت، ادامه می باید.

محاسبه ضریب همبستگی از راههای گوناگونی امکان پذیر است که حساسیت بعضی از این روشها به نرمال بودن تابع توزیع ، مانع کارایی آنها می شود. اگر تابع توزیع الزاما خطی (نرمال) نباشد مثلا رابطه متغیرها در نمودار پراکنش به شکل منحنی دیده شود، ضریب همبستگی پیرسون معیار مناسبی نخواهد بود. در این صورت می باید یکی از دو روش اسپیرمن یا کندال را در محاسبه ضریب همبستگی بکار برد. با توجه به اینکه ضریب همبستگی رتبه ای اسپیرمن مستقل از تابع توزیع است ، در محاسبه ضرایب همبستگی از این روش استفاده شود.

$$\text{ضریب همبستگی رتبه ای اسپیرمن} = r_{sp}$$

$$r_{sp} = \frac{\sum_{i=1}^n (R_i - \frac{n+1}{2})(S_i - \frac{n+1}{2})}{n(n^2 - 1)}$$

= رتبه متناظر با X_i (اولین متغیر)

= رتبه متناظر با y_i (دومین متغیر)



مقدار r در این فرمول شدت رابطه خطی بین x, y را اندازه می‌گیرد و علامت آن (+ یا -) نشان دهنده جهت این رابطه است.

ضرایب همبستگی بصورت ماتریس 32×32 بعنوان جدول سطح اعتماد این ضرایب با استفاده از ۱۹۲ داده در ورقه ۱:۱۰۰۰۰ رباط کریم در جدول (2a,2b) آورده شده است. عموماً در محاسبات همبستگی‌های در سطح اعتماد کمتر از ۹۰٪ را "بی اهمیت"، بین ۹۰-۹۵٪ را "احتمالاً بالهمیت"، بین ۹۵-۹۹٪ را "بالهمیت" و بیشتر از ۹۹٪ را "بسیاربسیار با اهمیت" تلقی می‌کنند. البته طبقه بندی فوق تا حدودی اختیاری است و تحت شرایط خاصی ممکن است سطح اعتماد ۹۰٪ را بالهمیت تلقی نمود.

با توجه به جدول ۲ و نکات فوق الذکر همبستگی‌های ذیل قابل استنباط است:

1- Ag, Bi, Co, Cr, Cs, Cu, Fe, Hg, Mn, Mo, Nb, Pb, Sb, Sc, Ti, U, V, W, Zn.

2-Cu, P, Sc, Zr

3- Pb, Sb.

4- K, Mo, P, Zr

TABLE 3 : Correlation Matrix of ROBAT KARIM sheet (1:100,000) in Spearman method

	AU	AG	AS	BA	BI	CD	CO	CR	CS	CU	FE	HG	K	LA	MN	MO	NA	NB	NI	P	PB	S	SB	SC	■	SN	SR	TI	U	V	W	ZN	ZR		
AU	Correlation Coefficient	1.000	.043	.131	.128	.190**	-.034	.154*	.086	.105	.230**	.133	.109	-.052	.147*	.184*	.087	.112	.134	-.010	.017	.023	.167*	.206**	.16	.080	.205**	.112	.170*	.150*	.119	.201**	.005		
	Sig. (2-tailed)		.551	.070	.076	.006	.640	.033	.234	.147	.001	.066	.131	.477	.042	.011	.229	.122	.063	.890	.819	.651	.029	.004	.02	.269	.004	.122	.019	.038	.101	.005	.945		
N			.192	.192	.192	.192	.192	.192	.192	.192	.192	.192	.192	.192	.192	.192	.192	.192	.192	.192	.192	.192	.192	.192	.192	.192	.192	.192	.192	.192	.192				
AG	Correlation Coefficient	.043	1.000	.087	.211**	.094	.013	.351**	.460**	.401**	.030	.312**	-.050	.261**	.263**	.377**	.192**	-.024	.372**	.125	.216*	-.002	.079	.128	.25	.076	.061	.380**	.458**	.394**	.222*	.240*	.243*		
	Sig. (2-tailed)		.551	.070	.076	.006	.640	.033	.234	.147	.001	.066	.131	.477	.042	.011	.229	.122	.063	.890	.819	.651	.029	.004	.02	.269	.004	.122	.019	.038	.101	.005	.945		
N			.192	.192	.192	.192	.192	.192	.192	.192	.192	.192	.192	.192	.192	.192	.192	.192	.192	.192	.192	.192	.192	.192	.192	.192	.192	.192	.192	.192	.192				
AS	Correlation Coefficient	-.131	.087	1.000	.213**	.031	-.135	.192**	.070	.040	.031	.219**	.056	-.138	.174*	.086	-.109	.106	.113	.336**	-.201**	.110	.342**	.057	.25	.008	.281**	.026	.091	.224*	.292**	.247*			
	Sig. (2-tailed)		.070	.230	.003	.196	.862	.000	.000	.684	.000	.494	.000	.000	.008	.744	.000	.084	.928	.001	.973	.278	.083	.001	.296	.399	.000	.000	.002	.001	.001	.001	.001	.001	
N			.192	.192	.192	.192	.192	.192	.192	.192	.192	.192	.192	.192	.192	.192	.192	.192	.192	.192	.192	.192	.192	.192	.192	.192	.192	.192	.192	.192	.192				
BA	Correlation Coefficient	.128	.211**	.213**	1.000	.271**	-.281**	.326**	.374**	.369**	.247**	.288*	.184*	.487**	-.070	.464**	.670*	.224*	.403**	-.028	.142*	.138	.318**	.453**	.191	.176*	.450*	.454**	.415**	.383**	.387**	.264*	.429*		
	Sig. (2-tailed)		.076	.003	.003	.196	.862	.000	.000	.684	.000	.494	.000	.000	.008	.744	.000	.084	.928	.001	.973	.278	.083	.001	.296	.399	.000	.000	.002	.001	.001	.001	.001	.001	
N			.192	.192	.192	.192	.192	.192	.192	.192	.192	.192	.192	.192	.192	.192	.192	.192	.192	.192	.192	.192	.192	.192	.192	.192	.192	.192	.192	.192	.192				
BI	Correlation Coefficient	-.199**	.094	.031	.271**	1.000	.115	.549**	.290**	.599**	.266**	.593*	.573**	-.196**	.276**	.444*	.267**	.053	.603**	-.053	.186**	.433**	.101	.723**	.301	.364*	.304*	.573**	.436**	.618*	.355*	.470*	.063		
	Sig. (2-tailed)		.006	.196	.668	.062	.008	.331	.584	.665	.002	.437	.056	.016	.235	.131	.144	.119	.000	.005	.130	.000	.434	.001	.918	.000	.721	.210	.207	.002	.000	.001	.001	.001	.001
N			.192	.192	.192	.192	.192	.192	.192	.192	.192	.192	.192	.192	.192	.192	.192	.192	.192	.192	.192	.192	.192	.192	.192	.192	.192	.192	.192	.192	.192				
CD	Correlation Coefficient	-.034	.013	-.135	-.281**	.115	1.000	.149*	-.002	.129	.107	.194*	-.053	.152**	.102	.117	.236*	-.018	.170*	.122	.041	.527**	-.456**	.070	.171	.196*	.249*	.069	.114	.164*	.221*	.325*			
	Sig. (2-tailed)		.640	.862	.062	.000	.113	.039	.976	.073	.140	.007	.466	.036	.158	.107	.001	.805	.018	.092	.569	.000	.000	.333	.011	.006	.000	.340	.340	.117	.023	.002	.000		
N			.192	.192	.192	.192	.192	.192	.192	.192	.192	.192	.192	.192	.192	.192	.192	.192	.192	.192	.192	.192	.192	.192	.192	.192	.192	.192	.192	.192	.192				
CO	Correlation Coefficient	.154*	.351**	.192**	.326*	.549**	1.000	.646**	.933**	.525**	.958*	.593**	.099	.125	.841**	.324*	.110	.961**	.309**	.221*	.264*	.025	.611**	.76	.421*	.248*	.930**	.850**	.942**	.574*	.765*	.261*			
	Sig. (2-tailed)		.033	.000	.008	.000	.000	.039	.000	.000	.000	.000	.170	.083	.000	.000	.129	.000	.000	.002	.000	.726	.000	.001	.000	.000	.000	.000	.000	.000	.000	.000			
N			.192	.192	.192	.192	.192	.192	.192	.192	.192	.192	.192	.192	.192	.192	.192	.192	.192	.192	.192	.192	.192	.192	.192	.192	.192	.192	.192	.192	.192				
CR	Correlation Coefficient	.086	.460**	.070	.374*	.290**	1.000	.646**	.699*	.188*	.566*	.292*	-.203**	.124	.519**	.489*	-.162*	.668*	.482*	.231*	.178*	.006	.451*	.411	.288*	.042	.715*	.578*	.655**	.316*	.340*	.442*			
	Sig. (2-tailed)		.234	.000	.331	.000	.000	.976	.000	.000	.009	.000	.005	.086	.000	.000	.025	.000	.000	.001	.013	.934	.000	.000	.000	.000	.000	.000	.000	.000	.000	.000			
N			.192	.192	.192	.192	.192	.192	.192	.192	.192	.192	.192	.192	.192	.192	.192	.192	.192	.192	.192	.192	.192	.192	.192	.192	.192	.192	.192	.192	.192				
CS	Correlation Coefficient	.105	.401*	.040	.369*	.598*	1.000	.933**	.690**	.1000	.387*	.921**	.562*	-.046	.106	.782*	.395*	-.034	.958*	.155*	.138	.306*	-.031	.653*	.60	.420*	.192*	.978*	.834*	.977*	.534*	.691*	.277*		
	Sig. (2-tailed)		.147	.000	.584	.000	.000	.073	.000	.000	.000	.000	.530	.145	.000	.000	.638	.000	.032	.056	.000	.667	.000	.001	.000	.008	.000	.000	.000	.000	.000	.000	.000		
N			.192	.192	.192	.192	.192	.192	.192	.192	.192	.192	.192	.192	.192	.192	.192	.192	.192	.192	.192	.192	.192	.192	.192	.192	.192	.192	.192	.192	.192				
CU	Correlation Coefficient	.230*	.030	.031	.247**	.266*	1.000	.525**	.188*	.387*	.100	.476*	.394*	-.228*	.176*	.674*	.400*	-.085	.511**	.186*	.566*	.245*	.034	.424*	.69	.353*	.129	.456*	.563**	.419*	.558*	.608*	.435*		
	Sig. (2-tailed)		.001	.684	.665	.001	.000	.140	.000	.009	.000	.000	.000	.001	.014	.000	.000	.242	.000	.010	.000	.639	.000	.001	.000	.000	.000	.000	.000	.000	.000	.000			
N			.192	.192	.192	.192	.192	.192	.192	.192	.192	.192	.192	.192	.192	.192	.192	.192	.192	.192	.192	.192	.192	.192	.192	.192	.192	.192	.192	.192	.192				
FE	Correlation Coefficient	.133	.312**	.219*	.289*	.593*	1.000	.858*	.566*	.921*	.476*	.200*	.600*	-.182*	.100	.787*	.245*	-.069	.952*	.243*	.115	.304*	.029	.624**	.75	.438*	.239*	.904*	.798*	.950*	.584*	.826*	.147*		
	Sig. (2-tailed)		.066	.000	.002	.000	.000	.007	.000	.000	.000	.000	.001	.011	.000	.000	.170	.000	.001	.001	.341	.000	.001	.000	.000	.000	.000	.000	.000	.000	.042				
N			.192	.192	.192	.192	.192	.192	.192	.192	.192	.192	.192	.192	.192	.192	.192	.192	.192	.192	.192	.192	.192	.192	.192	.192	.192	.192	.192	.192	.192				
HG	Correlation Coefficient	.109	.050	.056	.184*	.573**	.053*	.292**	.593**	.292**	.562**	.394*	.600*	1.000	-.262**	.161*	.480*	.288*	-.110	.601**	.171*	.019	.191*	.173*	.580*	.045	.369*	.356*	.577**	.455**	.586*	.305*	.466*	.129	
	Sig. (2-tailed)		.131	.494	.437	.011	.000	.466	.000	.000	.000	.000	.000	.000	.000	.000	.000	.000	.000	.000	.000	.000	.000	.000	.000	.000	.000	.000	.000	.000	.000	.075			
N			.192	.192	.192	.192	.192	.192	.192	.192	.192	.192	.192	.192	.192	.192	.192	.192	.192	.192	.192	.192	.192	.192	.192	.192	.192	.192	.192	.192	.192				
K	Correlation Coefficient	-.052	.251**	-.196*	.487**	-.099	.203*	-.046	.228*	-.182*	.262*	1.000	.029	.205*	-.053	.585*	.245*	-.003	.003	.037	.580*	.071	-.077	.040	-.031	.014	.127*	.038*	.144*	-.094	.189*	.043	.657*		
	Sig. (2-tailed)		.477	.000	.056	.000	.006	.036	.170	.005	.530	.001	.011	.000	.000	.687	.004	.000	.001	.969	.609	.000	.328	.288	.578*	.581	.844	.078	.604	.195	.009	.553	.000		
N			.192	.192	.192	.192	.192	.192	.192	.192	.192	.192	.192	.192	.192	.192	.192	.192	.192	.192	.192	.192	.192	.192	.192	.192	.192	.192	.192	.192	.192				
LA	Correlation Coefficient	-.147*	.263**</																																

TABLE 3 : Correlation Matrix of ROBAT KARIM sheet (1:100,000) in Pearson method

** Correlation is significant at the 0.01 level (2-tailed).

**. Correlation is significant at the 0.01 level (2-tailed).

۴-۲-۲-بررسی‌های آماری چند متغیره

روشهای آماری بخشی جدا از تحقیق علمی - مهندسی است و لذا کاربرد آنها خیلی زیاد است. به ویژه الگوهای چند متغیره مرتبأ در مسائلی که در علوم فیزیکی، اجتماعی، پژوهشی، اقتصاد بازرگانی، تعلیم و تربیت، هواشناسی، زمین‌شناسی و ... پیش می‌آیند، کاربرد دارند. گرچه در استفاده از روشهای چند متغیره در زمینه‌های مختلف بالا وضعیت‌های متفاوتی وجود دارد، ولی تحلیل داده‌ها در مورد بسیاری از مسائل یکسان بوده و یا اینکه خیلی شبیه هم هستند. تحلیل داده‌ها مانند بیشتر روشهای آماری به زمینه موضوع مورد بحث خاصی محدود نمی‌شود.

روشهای چند متغیره در واقع در برگیرنده روشهای استنباط آماری معمول هستند که به طور همزمان در مورد هر مشاهده اندازه‌گیری‌های متعددی را تجزیه و تحلیل می‌کنند. هر تجزیه و تحلیل همزمان بیش از دو متغیر، می‌تواند آنالیز چند متغیره تلقی شود. بسیاری از روشهای آماری چند متغیره در حقیقت بسط و توسعه آنالیزهای تک متغیره (تجزیه و تحلیل توزیع‌های یک متغیر) و دو متغیر (دسته بندی متقابل، همبستگی، آنالیز واریانس و رگرسیون ساده) هستند. به عنوان مثال در آنالیز دو متغیره، روش رگرسیون ساده دارای یک متغیر پیشگو می‌باشد، ولی در حالت چند متغیره این روش تعیین یافته، و چندین متغیر پیشگو را دربرمی‌گیرد. به همین ترتیب در آنالیز واریانس، یک متغیر وابسته وجود دارد ولی در آنالیز چند متغیره واریانس چندین متغیر وابسته در نظر گرفته می‌شود.

بسیاری از تکنیکهای آماری چند متغیره، تجزیه و تحلیل چندگانه را با بکارگیری تکنیکهای تک متغیره میسر می‌سازند. ولی روشهای چند متغیره دیگری وجود دارند که با موضوعات چند متغیره سروکار دارند، نظیر تجزیه عاملی (**Factor Analysis**) که از بین یک سری از متغیرها، متغیرهای کنترل کننده اصلی را شناسایی می‌کند و یا تحلیل ممیزی (**Discriminant Analysis**) که گروهها را بر مبنای یک سری از متغیرها از همدیگر تفکیک می‌نماید. در توصیف آنالیز چند متغیره اختلاف نظر وجود دارد. برخی تحلیل‌گران، اصطلاح چند متغیره را ارزیابی روابط میان بیش از دو متغیر تلقی می‌کنند. دیگران این اصطلاح را برای مواردی به کار می‌برند که تمامی متغیرهای چندگانه، دارای توزیع نرمال چند متغیره باشند. برخی مؤلفین عقیده دارند که هدف از تجزیه و تحلیل‌های چند متغیره، عبارت از اندازه‌گیری، توضیح و پیش‌گویی درجه روابط بین متغیرها است (ترکیبی از متغیرهای وزن دار شده). این ویژگی چند متغیره، مختص عده‌ای از متغیرها یا مشاهدات نمی‌باشد بلکه ترکیبات متعددی از متغیرها را دربر می‌گیرد. در نهایت شناخت روابط بین چند متغیر، اولین گام اساسی در فهم واقعی ماهیت تجزیه و تحلیل چند متغیره می‌باشد.

هرگروه معینی از عناصر نسبت به یک سری از شرایط محیطی، کم و بیش به طور مشابه حساسیت نشان می‌دهند. شناخت ارتباط و بستگی‌های ژنتیکی متقابل موجود بین عناصر گوناگون می‌تواند در شناخت دقیق‌تر تغییرات موجود در محیط‌های ژئوشیمیایی به کار گرفته شود. ضمناً تجمع ژنتیکی بعضی عناصر ممکن است به عنوان راهنمای مستقیمی در تفسیر نوع نهشت‌های که احتمالاً در ناحیه وجود دارد به کار رود و بر عکس، تجمع بعضی از عناصر نیز ممکن است دلالت بر وجود



ناهنجاریهای داشته باشند که بی اهمیت بوده و گمراه کننده‌اند. روی هم رفته، شناخت بستگی‌های ژنتیکی که در بین عناصر وجود دارد، اطلاعات لازم را در جهت تفسیر هرچه صحیح‌تر داده‌های ژئوشیمیابی در اختیار می‌گذارد. در این میان، آمار چند متغیره می‌تواند پاسخگوی مسایل فوق باشد.

تجربه نشان داده است که اگر ترکیبی از مقادیر یک گروه از عناصر معرف، به جای مقدار یک عنصر خاص به کار گرفته شود، هاله‌های ژئوشیمیابی در اطراف توده‌های کانساری بهتر مشخص می‌شوند و اثرات خطاهای تصادفی در آنها به حداقل می‌رسد. به طور کلی دو مزیت عمده در بررسیهای آماری چند متغیره وجود دارد. اول آنکه هاله‌های مرکبی که از روش‌های آماری چند متغیره بدست می‌آید، نسبت به سیمای ساختمانی، زمین شناسی و ماهیت ژنتیکی نهشته‌های کانساری رابطه نزدیکتری را نشان می‌دهد و در نتیجه ارتباط بین عناصر بهتر مشخص می‌شود. دوم آنکه بوسیله هاله‌های مرکب می‌توان خطاهای تصادفی، تعداد داده‌ها و نقشه‌ها را به حداقل رسانده و به نتایج کارآمدتری دست یافت.

در این پژوهه برای بیان ارتباط ژنتیکی بین متغیرها از تجزیه و تحلیل خوشه‌ای و تجزیه عاملی استفاده گردیده است. از روش تجزیه عاملی برای رسم نقشه‌های چند متغیره و نتایج کلی چند متغیره استفاده شده است.

(Cluster Analysis)

ساختر درختی مربوط به داده‌های ورقه ۱:۱۰۰۰۰ در شکل شماره ۳ ارایه شده است. نمودار مذکور برپایه داده‌های تجزیه ژئوشیمیابی به روش‌های مختلف ترسیم و سپس بهترین حالت گروه بندی (روش **Farthest neighbor**) انتخاب گردید. در ساختار درختی داده‌ها دو گروه اصلی مشاهده می‌شود.

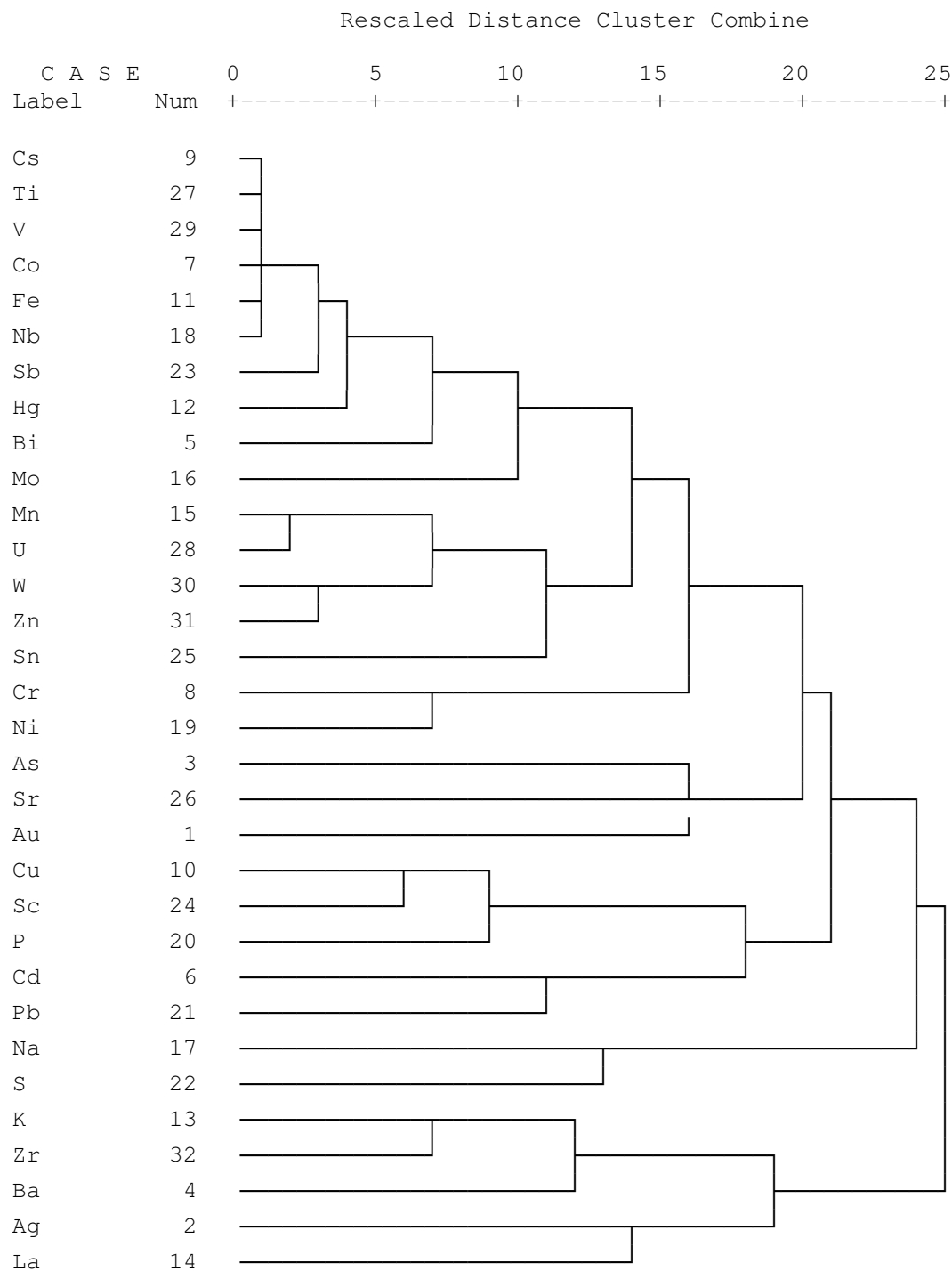
با توجه به همبودهای ژئوشیمیابی، عناصر هر گروه یا زیر گروه متعلق به یک تیپ کانی سازی یا به یک گروه سنگی و یا متأثر از عوامل زمین شناسی و سنگ شناسی خاص است. بنابراین هر گروه و زیر گروه را باید با هم دیگر تعبیرو تفسیر نمود. با توجه به ساختار درختی داده‌ها و همبودهای ژئوشیمیابی نتایج ذیل بدست می‌آید:

۱- گروه اول شامل: (Cs, Ti, V, Co, Fe, Nb, Sb, Hg, Bi, Mo, Mn, U, W, Zn, Sn, Cr, Ni, As,)
.(Sr, Au, Cu, Sc, P, Cd, Pb, Na, S, K, Zr, Ba, Ag, La
. ۲- گروه دوم شامل: (K, Zr, Ba, Ag,)

در زیر گروه اول قویترین ارتباط را (Cs, Ti, V, Co, Fe, Nb) و پس از آن به ترتیب عناصر Sb, Hg و سپس و Bi در فاصله ای دورتر ارتباط نشان می‌دهند. این مجموعه با مجموعه های (Mn, U) و Sn(W, Zn) و (Cd, Pb) هستند، می‌باشد. در نهایت آخرین گروهی است که به مجموعه ای اول می‌پیوندد و به طبع ضعیف ترین رابطه را هم با دیگران دارد.

زیرگروه دوم شامل عناصر پوسته ای (Ag, La) و Ba (K, Zr) است که با (Ag, La) ارتباط دارند.

Table 3: Dendrogram using Complete Linkage (Farthest neighbor) in ROBAT KARIM sheet (1:100,000)





۲-۴-۲-۲- تجزیه عاملی (Factor Analysis)

تجزیه عاملی نامی عمومی است که به گروهی از متدهای آماری چند متغیره اطلاق می شود و هدف اولیه آن تفسیر ساختار ماتریس واریانس - کواریانس مجموعه ای از داده های چند متغیره است. تجزیه عاملی بین مجموعه ای مشکل از متغیرهای گوناگون که به ظاهر بی ارتباط هستند، رابطه خاصی را تحت یک مدل فرضی بر قرار می کند. فرق میان این تکنیک و رگرسیون چند گانه در این است که:

۱- متغیرها بطور مستقیم در ساختار مدل ارتباطی ظاهر نمی شوند.

۲- شمار و تعداد عاملها (ترکیبی خطی از متغیرهای اصلی که ویژگی خاصی از ارتباط بین متغیرها را بیان می نمایند) به مراتب کمتر از شمار و تعداد متغیرهای اصلی هستند.

بنابراین یکی از اهداف اصلی تجزیه عاملی ، کاهش ابعاد داده هاست. فرض اساسی در بکار گیری این تکنیک ، وجود الگویی زیر بنایی یا مدلی خطی در تعیین مفاهیم پیچیده ارتباطی بین متغیرهاست. این ارتباط در قالب یک عامل در این مدل فرضی ظاهر می شود.

بطور کلی هدف از تجزیه عاملی عبارت است از:

۱- تعیین متغیرهای کنترل کننده اصلی در بین یک سری داده ژئوشیمیایی است. یا به عبارت دیگر یافتن کمترین تعداد متغیرهایی که بیشتر مشاهدات را در بین سری داده ها نشان بدهند.

۲- تعیین سهم نسبی هر یک از متغیرها در بوجود آمدن تغییرات توزیع عناصر.

بطور کلی در داده پردازیهای ژئوشیمیایی و تجزیه عاملی دو روش کلی محاسباتی وجود دارد.

تجزیه و تحلیل نوع R-Mode : هدف از این تجزیه و تحلیل ، مقایسه روابط و تعیین بستگی بین پارامترهای متغیرها (غلظت عناصر) در نمونه های مورد نظر است. از اینرو روش مذکور در تشخیص عناصر اصلی موجود در یک مجموعه ژئوشیمیایی بکار برده می شود.

تجزیه و تحلیل نوع Q-Mode : هدف از این تجزیه و تحلیل تعیین و تحلیل ترکیب شیمیایی سنگها یا مختصات جغرافیایی است. های گوناگون بر حسب تغییرهایی چون ترکیب شیمیایی سنگها یا مختصات جغرافیایی است.

در این مرحله از داده پردازی پس از نرمال سازی داده ها، فایل داده ها به نرم افزارهای **Statistica** ، **SPSS** منتقل و تکنیک تجزیه عاملی بر روی داده های نرمال اجرا و نتایج آن در ذیل آورده شده است:

الف - برای مشخص نمودن صحت و تایید تجزیه عاملی، ضریب **KMO** همراه با آزمون مربع کای (خی) محاسبه گردیده است. مقادیر بزرگ **KMO** دلالت بر تایید تجزیه عاملی و مقادیر کوچک آن دلالت بر عدم تایید تجزیه عاملی دارد. مقادیر حدود ۰/۹ این کمیت تجزیه عاملی را بسیار مناسب، مقادیر حدود ۰/۸ تجزیه عاملی را مناسب، مقادیر حدود ۰/۷ تجزیه عاملی را در حد تقریبا مناسب، مقادیر حدود ۰/۶ تجزیه عاملی را حد متوسط و مقادیر حدود ۰/۵ و پایین تر از آن تجزیه عاملی را نا مناسب جلوه می دهد. تمامی این مقادیر در صورتیکه آزمون مربع کای (خی) در سطح اعتماد ۹۵ درصد معتبر باشد، صحیح



تلقی می گردند. با توجه به جدول شماره (۴) مقادیر محاسبه شده ، مقدار **KMO** برابر **0.856** می باشد. با توجه به اعتبار آزمون مربع کای (خی) که سطح اعتماد آن کاملاً معتبر و درجه آزادی آن برابر **496** است . تجزیه عاملی را در رده مناسب قرار می دهد.

ب) مقادیر ویژه ، درصد واریانس و درصد تجمعی واریانس هر مولفه بطور جداگانه محاسبه شده است. با توجه به جدول شماره (۴) پنج مولفه انتخاب شده است .

از بررسیهای انجام شده در زمینه اکتشافات ژئوشیمیایی این نتیجه حاصل شده است که در صد تجمعی واریانس بالای ۷۵ درصد از یک جامعه ژئوشیمیایی می تواند معرف تقریبی جامعه باشد . حال با در نظر گرفتن پنج مولفه به تقریب ۷۰ / ۶۹۷ درصد واریانس تجمعی جامعه پوشش داده می شود که برای تجزیه و تحلیل مولفه ها تقریباً مناسب به نظر می رسد.

حال با توجه به جدول شماره (۴) مقادیر ویژه خام مولفه اول $13/409$ ، مولفه دوم $2/797$ ، مولفه سوم $2/446$ ، مولفه چهارم $2/254$ ، مولفه پنجم $1/717$ است. از طرفی مقادیر ویژه چرخش یافته مولفه اول $12/183$ ، مولفه دوم $3/143$ ، مولفه سوم $2/949$ — هارم $2/272$ ، مولفه پنجم $2/078$ است. بعد از این پنج مولفه، مقادیر ویژه تا حدود زیادی تنزل پیدا نموده است از این رو پنج مؤلفه برای تجزیه عاملی انتخاب شده است.

ج) پس از اینکه مولفه ها انتخاب شدند باید در نظر داشت که مولفه های خام (غیر چرخشی) نمی توانند تمامی تغییر پذیری واقعی جامعه را نشان دهند. چون در بسیاری از موارد تعدادی از متغیرها به یک عامل ویژه یا حتی به تعدادی از عاملها بستگی دارند و این تعبیر عوامل را با مشکل رو برو خواهد کرد.

از این رو روشهایی بوجود آمده است که بدون تغییر میزان اشتراک، باعث تعبیر ساده عوامل می شوند، این روشها همان دوران عاملها هستند. بنابراین مولفه های خام بایستی تحت تابع مشخص چرخش داده شوند تا بهترین واریانس جامعه عمومی بدست آید . در بررسیهای ژئوشیمیایی بیشتر از تابع وریمکس استفاده می شود. با انتخاب تابع وریمکس ، دورانی متعامد بر روی ضرایب عاملها صورت می گیرد. با این دوران تغییرات مرباعات عناصر ستونی، بر آورد ضرایب عاملها رابه حداکثر می رساند، این روش مقادیر نسبتاً بزرگ (از نظر قدر مطلق) یا صفر به ستونهای ماتریس ضرایب عاملها اختصاص می دهد، در نتیجه عواملی ایجاد می شود که یا شدیداً با متغیرها وابسته اند و یا مستقل از آنها هستند. این امر سبب ساده تر شدن تعبیر عاملها خواهد شد. مولفه های چرخش یافته جدیدی که بدین ترتیب بدست می آیند، مولفه های اصلی برای محاسبه امتیازات (**Score**) هستند(جدول شماره ۷)، مولفه های خام و چرخش یافته در جداول (۵) و (۶) آورده شده اند.

Table 4 :Total Variance Explained in ROBAT KARIM sheet (1:100,000)

Component	Initial Eigenvalues			Extraction Sums of Squared Loadings			Rotation Sums of Squared Loadings		
	Total	% of Variance	Cumulative %	Total	% of Variance	Cumulative %	Total	% of Variance	Cumulative %
1	13.409	41.903	41.903	13.409	41.903	41.903	12.183	38.073	38.073
2	2.797	8.74	50.644	2.797	8.74	50.644	3.143	9.821	47.894
3	2.446	7.644	58.288	2.446	7.644	58.288	2.949	9.216	57.11
4	2.254	7.044	65.331	2.254	7.044	65.331	2.27	7.093	64.203
5	1.717	5.366	70.697	1.717	5.366	70.697	2.078	6.494	70.697
6	1.269	3.966	74.664						
7	1.077	3.367	78.03						
8	0.962	3.006	81.036						
9	0.893	2.79	83.826						
10	0.867	2.71	86.536						
11	0.763	2.384	88.92						
12	0.633	1.978	90.898						
13	0.474	1.48	92.378						
14	0.473	1.479	93.857						
15	0.376	1.174	95.031						
16	0.329	1.029	96.06						
17	0.226	0.705	96.765						
18	0.178	0.558	97.323						
19	0.16	0.499	97.821						
20	0.148	0.463	98.284						
21	0.136	0.426	98.711						
22	0.09056	0.283	98.994						
23	0.08844	0.276	99.27						
24	0.06739	0.211	99.481						
25	0.06295	0.197	99.677						
26	0.05265	0.165	99.842						
27	0.02327	0.07270	99.915						
28	0.01838	0.05743	99.972						
29	0.00467	0.01459	99.987						
30	0.00179	0.00560	99.992						
31	0.00159	0.00498	99.997						
32	0.00092	0.00286	100						

KMO and Bartlett's Test	
Kaiser-Meyer-Olkin Measure of Sampling Adequacy.	0.856
Bartlett's Test of Sphericity	9601.827
df	496
Sig.	0

Extraction Method: Principal Component Analysis.

Table 5 : Component Matrix in ROBAT KARIM sheet (1:100,000)

	Component				
	1	2	3	4	5
Nb	0.981	-0.093	0.019	-0.095	0.038
Fe	0.970	-0.176	-0.021	-0.065	0.010
V	0.964	-0.157	-0.002	-0.140	-0.034
Ti	0.963	-0.078	0.014	-0.190	-0.036
Cs	0.953	-0.131	-0.017	-0.198	-0.052
U	0.949	0.082	-0.045	-0.018	0.053
Co	0.948	-0.119	-0.095	-0.171	-0.099
Sb	0.894	-0.112	0.173	0.010	-0.045
Mn	0.855	0.212	-0.043	0.164	0.032
Hg	0.818	-0.222	0.175	-0.068	-0.134
Cr	0.814	0.017	-0.003	-0.401	-0.055
Zn	0.810	-0.063	-0.077	0.373	0.167
Bi	0.752	-0.267	0.306	0.032	0.095
Sc	0.736	0.138	-0.274	0.188	-0.256
W	0.653	0.154	-0.060	0.484	0.318
Mo	0.621	0.410	0.445	-0.088	0.010
Ag	0.510	0.259	-0.133	-0.236	0.243
Cu	0.508	0.194	-0.285	0.399	-0.503
Ni	0.484	0.005	-0.228	-0.371	0.052
Pb	0.459	-0.072	-0.163	0.452	0.017
Sn	0.440	0.028	-0.020	0.262	0.050
K	-0.140	0.868	0.165	0.037	0.154
Zr	0.293	0.791	0.290	-0.199	-0.083
P	0.197	0.761	-0.285	0.099	-0.337
Cd	0.206	-0.008	-0.634	0.473	0.032
S	-0.027	-0.181	0.580	0.142	-0.198
Sr	0.294	-0.087	0.475	0.037	0.150
Na	-0.074	-0.141	0.380	0.493	-0.221
Au	0.096	-0.023	0.253	0.277	-0.086
As	0.088	-0.158	0.001	0.378	0.605
La	0.029	0.084	-0.498	-0.281	0.560
Ba	0.227	0.364	0.454	0.209	0.458

Extraction Method: Principal Component Analysis.

a 5 components extracted.

Table 6 : Rotated Component Matrix in ROBAT KARIM sheet (1:100,000)

	Component				
	1	2	3	4	5
Ti	0.974	0.121	0.067	-0.047	0.023
V	0.974	0.150	-0.015	-0.020	0.049
Cs	0.974	0.126	0.007	-0.057	0.001
Nb	0.966	0.166	0.051	-0.024	0.134
Fe	0.960	0.199	-0.042	-0.012	0.118
Co	0.955	0.204	-0.006	-0.082	-0.042
Sb	0.879	0.139	0.057	0.179	0.128
U	0.878	0.276	0.192	-0.069	0.156
Cr	0.871	-0.031	0.146	-0.177	-0.117
Hg	0.852	0.067	-0.052	0.197	0.012
Bi	0.774	-0.030	-0.071	0.250	0.271
Mn	0.720	0.402	0.292	0.011	0.201
Zn	0.661	0.467	0.004	0.082	0.413
Sc	0.605	0.586	0.137	-0.007	-0.092
Ni	0.527	0.004	0.028	-0.372	-0.098
Ag	0.472	0.044	0.292	-0.362	0.134
Sn	0.337	0.303	0.063	0.097	0.217
Sr	0.323	-0.234	0.087	0.314	0.279
Cu	0.336	0.749	0.142	0.189	-0.245
Cd	0.007	0.748	-0.186	-0.226	0.152
Pb	0.310	0.514	-0.081	0.124	0.256
Zr	0.222	-0.061	0.881	0.008	-0.110
K	-0.285	0.009	0.851	-0.083	0.114
P	0.013	0.520	0.659	-0.140	-0.311
Mo	0.580	-0.083	0.600	0.206	0.115
La	0.010	-0.016	-0.032	-0.760	0.262
Na	-0.125	0.119	-0.070	0.646	0.100
S	0.037	-0.239	-0.025	0.608	0.007
Au	0.052	0.081	0.043	0.366	0.112
As	-0.016	0.094	-0.155	-0.041	0.712
Ba	0.119	-0.119	0.494	0.173	0.585
W	0.441	0.490	0.188	0.045	0.563

Extraction Method: Principal Component Analysis.

Rotation Method: Varimax with Kaiser Normalization.

a Rotation converged in 7 iterations.

a

با استفاده از جدول عاملی مقادیر چرخش یافته، مقدار ضریب چرخش یافته (+/-) اساس انتخاب هر متغیر در هر عامل است. لازم به ذکر است که اعداد مثبت رابطه معکوس با اعداد منفی خواهند داشت.

با توجه به مطالب فوق ، پنج عامل برگزیده شامل عناصر ذیل است:

عامل شماره F1: این عامل شامل Ti, V, Cs, Nb, Fe, Co, Sb, U, Cr, Hg, Bi, Mn, Zn, Sc, Ni, Mo

است. با توجه به همبودهای فوق به نظر می رسد این عامل بیشتر یک عامل کانسال ساز می باشد.

عامل شماره F2: این عامل شامل **Cu, Cd, Pb** با علامت مثبت است که با توجه به همیودهای ذکر شده به نظر می رسد این عامل نیز بیشتر یک عامل کانسار ساز باشد.

عامل شماره F3: این عامل شامل **Zr, K, P, Mo** با علامت مثبت است. به نظر می رسد که این عامل یک عامل سنگ ساز باشد.

عامل شماره F4: این عامل شامل **Na, S** با علامت مثبت است که معرف واحدهای تبخیری در منطقه است.

عامل شماره F5: این عامل شامل **As, Ba, W** با علامت مثبت است. این عامل می تواند معرف هیدروترمال باشد.

نقره، قلع، استرانسیوم با هیچیک از فاکتورها همبستگی خوبی نشان نمی دهند و طلا نیز رابطه ضعیفی را با فاکتور ۴ نشان داده است.

در چنین مختصاتی متغیرهایی که بار فاکتورهای آنها نزدیک به صفر است بی اهمیت هستند و هرچه فاصله آنها از مبداء مختصات بیشتر باشند، پتانسیل عنصر از نظر کانی سازی می تواند با اهمیت باشد. البته به شرطی که خطای دستگاهی و اثرات سنگی زیاد نباشد. در اینصورت چنانچه مجموعه ای از متغیرها در امتداد معینی از مبداء دور شده باشند می توانند به عنوان متغیرهایی که ارتباط پارائزی با یکدیگر دارند به حساب آیند.

پس از محاسبه مقادیر مولفه ها امتیاز هر مولفه در جدول شماره (۷) آورده شده است. برای محاسبه مقادیر امتیازات از روش رگرسیون استفاده شده است. این روش ماتریس ضرایب عاملها متغیرهای استاندارد شده را بر اساس ماتریس همبستگی **R** محاسبه می نماید.

حال همانند یکسری داده مقادیر میانگین و انحراف معیار عاملها در نرم افزار **SPSS** محاسبه می شود. سپس مقادیر $\bar{X} + S$, $\bar{X} + 2S$, $\bar{X} + 3S$, برای هر عامل مشخص می گردد. مقدار میانگین هر سه عامل به تقریب صفر و انحراف معیار هر عامل یک است. بنابراین مقادیر بالای ۱ و ۲ و ۳ به ترتیب جزء ناهمجاريهای درجه سه و دو و یک تلقی می شوند(جدول ۸).



Table 7 : Component Score Coefficient Matrix in ROBAT KARIM sheet (1:100,000)

	Component				
	1	2	3	4	5
AU	-0.011	0.035	0.014	0.161	0.033
Ag	0.035	-0.048	0.086	-0.17	0.065
As	-0.044	0.013	-0.059	-0.058	0.383
Ba	-0.025	-0.089	0.175	0.042	0.301
Bi	0.076	-0.082	-0.049	0.09	0.09
Cd	-0.067	0.297	-0.086	-0.087	0.065
Co	0.093	-0.002	-0.038	-0.034	-0.079
Cr	0.104	-0.095	0.024	-0.078	-0.1
Cs	0.099	-0.037	-0.032	-0.028	-0.055
Cu	-0.021	0.29	0.025	0.122	-0.192
Fe	0.086	-0.008	-0.051	-0.012	0.003
Hg	0.09	-0.041	-0.046	0.085	-0.055
K	-0.066	0.002	0.312	-0.037	0.079
La	-0.006	-0.042	-0.017	-0.357	0.185
Mn	0.025	0.087	0.071	0.004	0.051
Mo	0.046	-0.097	0.198	0.083	0.02
Na	-0.032	0.078	-0.02	0.288	0.019
Nb	0.086	-0.025	-0.017	-0.019	0.014
Ni	0.066	-0.054	-0.009	-0.164	-0.061
P	-0.048	0.205	0.223	-0.024	-0.183
Pb	-0.023	0.179	-0.051	0.055	0.093
S	0.022	-0.081	-0.001	0.265	-0.024
Sb	0.077	-0.022	-0.01	0.072	0.004
Sc	0.017	0.187	0.016	0.019	-0.106
Sn	-0.003	0.087	0.005	0.039	0.08
Sr	0.037	-0.128	0.027	0.116	0.123
Ti	0.096	-0.041	-0.011	-0.024	-0.044
U	0.06	0.022	0.033	-0.035	0.028
V	0.095	-0.027	-0.04	-0.013	-0.032
W	-0.031	0.136	0.04	0.002	0.256
Zn	0.01	0.119	-0.031	0.024	0.162
Zr	0.008	-0.06	0.309	0.012	-0.072

Extraction Method: Principal Component Analysis.
 Rotation Method: Varimax with Kaiser Normalization.
 Component Scores.

TABLE 8 : LIST OF X+S IN RAW DATA (FINAL) ROBATKARIM

	Au	Ag	As	Ba	Bi	Cd	Co	Cr	Cs	Cu	Fe	Hg	K	La	Mn	Mo	Na	Nb	Ni
x+s	2.25	0.54	15.62	917.15	3.33	0.37	20.99	85.10	8.65	41.74	73899	0.12	21349	27.32	1434	2.05	24740	19.64	33.64
x+2s	2.83	0.73	19.60	1222.6	4.24	0.59	26.60	108.99	12.00	52.30	96610	0.14	24417	30.53	1841	3.06	32314	24.57	39.61
x+3s	3.58	0.97	24.59	1629.7	5.15	0.92	33.71	139.60	16.65	65.54	126301	0.16	27484	33.74	2363	4.58	39889	30.73	46.64

	P	Pb	S	Sb	Sc	Sn	Sr	Ti	U	V	W	Zn	Zr	Fact1	Fact2	Fact3	Fact4	Fact5
x+s	800	47.41	11046	2.49	15.41	4.00	993.36	7336	6.49	246.59	1.89	136.79	439.89	1.00	1.00	1.00	1.00	1.00
x+2s	956	70.52	37465	3.77	18.22	4.77	1550.3	9834	8.17	357.09	2.21	177.37	515.35	2.00	2.00	2.00	2.00	2.00
x+3s	1143	105	127073	5.71	21.53	5.53	2419.5	13182	10.28	517.12	2.53	230.00	590.81	3.00	3.00	3.00	3.00	3.00



نقشه های ناهنجاری

۲-۳-۱ - تکنیک رسم نقشه ها

در زمینه اکتشافات ژئوشیمیایی، اهمیت تغییرات فضایی داده ها در راستای تشخیص الگوهای غیر معمول که ممکن است در ارتباط با پتانسیلهای کانی سازی باشند، بر کسی پوشیده نیست، توزیع فضایی مقادیر غلظت عناصر بصورت نقشه توصیف می شود که طبیعت و مقیاس این نقشه به هدف مورد نظر بستگی دارد. نقشه های ژئوشیمیایی را می توان به دو گروه بخش کرد:

- ۱ نقشه هایی که غلظت عناصر را در محل نمونه هایشان نشان می دهند(نقشه های نمادین یا **Symbol map**)
- ۲ نقشه هایی که تاکید بر الگوی توزیع عناصر در مقیاس ناحیه ای و محلی دارند (نقشه های کنتوری و طیفی).

عوامل موثر در تغییر سطح پردازش شده نهایی عبارتند از:

الف - شمار نمونه ها : هرچه سطح پردازش شده دارای پیچیدگی بیشتری باشد، شمار داده های بیشتری برای توصیف آن مورد نیاز است این شمار داده ها از پیش شناخته شده نیستند و در اکتشافات ژئوشیمیایی چگالی نمونه برداری از پیش و بر پایه مفهوم اولیه ابعاد هدف مورد نظر تعیین می شود. کمترین شماره نمونه های طراحی شده در مقیاس ناحیه ای در بسیاری از کشورهای دنیا با توجه به کلیه موارد به مراتب بیشتر از نمونه های طراحی شده در این پژوهش است.

ب- توزیع فضایی نمونه ها: وضعیت نقاط نمونه برداری بر پایه سرشت جستجو و محیط نمونه برداری تغییر می کند. داده های با توزیع فضایی نامنظم در نمونه برداری رسوبات آبراهه ای امری عادی است. چونکه طراحی شبکه نمونه برداری بر پایه الگوی حوضه آبریز انجام می گیرد.

ج - ابعاد شبکه: هر چه شبکه تخمین بکار رفته در اینترپولاسیون داده ها چگالترا باشد، مقادیر نمایش داده شده به حقیقت نزدیکتر خواهند بود. این بدليل آنست که احتمال قرار گرفتن هر منطقه داده منفرد در کنار گره های شبکه بیشتر خواهد شد. همچنین یک محدودیت عملی که بطور عام با آن مواجه هستیم. شمار کل نقاط شبکه است که در نرم افزارهای موجود با محدودیت روبرو است. چنین می نماید که شبکه های با چگالی تخمین از ۴ تا ۱۰ برابر چگالی نمونه ها منطقی باشد. این را همواره باید به یاد سپرد که اعتبار پردازش نهایی همیشه تحت تاثیر شرایط و سرشت داده های اولیه خواهد بود.

د- شمار داده های شرکت کننده در تخمین نقاط بدون اطلاعات : اگر یک گره شبکه منطبق بر یک نقطه دارای داده نباشد آنگاه مقدار آن باید از نقاط همچوار با آن تخمین زده شود. بطور مشخص ممکن است این تخمین از روی ۴ تا ۱۶ داده همچوار نقطه مجھول صورت پذیرد. تصمیم درباره ترکیب های گوناگون ابعاد شبکه و شمار داده های همچوار (تعیین شاعع

جستجو و جهت آن) کاری بس دشوار است ، در هر منطقه بستگی به سرشت داده های همان منطقه دارد. عبارت دیگر اگر یک شبکه باز انتخاب شود و شعاع جستجوی کوچکی در این باره بکار برده شود، شماری از داده ها ممکن است هیچگاه در تخمین مورد استفاده قرار نگیرند.

از این رو بایستی حالات گوناگون تخمین را مورد بررسی قرار داد و از میان آنها بهترین انتخاب را که بیشترین تطابق را با مشاهدات صحرایی داشته باشد، انجام داد.

آنچه که در بالا به آن اشاره شد خلاصه ای از الگوریتم تکنیک رسم نقشه ها در پروژه مورد نظر است. نرم افزار بکار رفته برای رسم نقشه ها **Surfer7** است که تحت سیستم عامل ویندوز کار می کند. فایل داده های اولیه با فرمت **XLS** (ساخته شده در نرم افزار **Excel**) به نرم افزار **Surfer** منتقل و برای هر متغیر مورد نظر، فایل تخمین مربوطه با پسوند **GRD** ساخته می شود. در این فایل مختصات چهار گوشه منطقه مورد مطالعه تکنیک تخمین بکار رفته(که در اینجا روش عکس فاصله با مرتبه ۴ بوده است) ابعاد سلولهای مورد تخمین عموما (200×200 متر) و شعاع جستجو برای یافتن نقاط دیگر و تخمین بر پایه همه داده های موجود در همسایگی تعریف شده، انتخاب و بر پایه همه این داده ها، برای تک تک عناصر تخمین انجام میگیرد . فایل حاصل از این بخش با پسوند **GRD** به بخش رسم نقشه نرم افزار منتقل و نوع نقشه انتخاب می شود. در این بروزه از تکنیک رسم نقشه ها بصورت طیفی (**Spectral**) بهره جویی شده است. رنگها مرز مشخصی ندارد و بصورت طیفی ، از یک رنگ به رنگ دیگر تغییر میابند که یکی از روشهای نوبن در ارایه نقشه ها به شمار می آید.

در این تکنیک حدود رنگها بوسیله مقادیر نرمال شده عناصر موردنظر $\bar{X} + 3S$ و در $\bar{X} + S$ تا $\bar{X} - S$ و در $\bar{X} - 3S$ تا \bar{X} در شرح زیر تعریف شده اند:

دانمنه مقادیر	رنگ
$\bar{X} + 3S$	بنفس
$\bar{X} + 3S - \bar{X} + 2S$	قرمز
$\bar{X} + 2S - \bar{X} + S$	سبزروشن
$\bar{X} - S$	زرد روشن

این نقشه ها سپس از محیط نرم افزار **Autocad map2007** به نرم افزار **Surfer7** منتقل می شود و تصحیحات نهایی در محیط این نرم افزار بر روی آن اعمال می گردد. در این نرم افزار فایل آبراهه ها بهمراه نمونه ها بر روی نقشه تخمین و منعکس می شود، پس از تنظیم راهنمای برای آن و معرفی حدود غلظتی رنگها، نقشه نهایی بصورت پلات فایل برای چاپ آماده می شوند. در این پروژه 30° نقشه تک متغیره شامل:



Ag,As,Au,Ba,Bi,Cd,Co,Cr,Cs,Cu,Fe,Hg,K,La,Mn,Mo,Na,Nb,Pb,S,Sb,Sc,Sn,Sr,Ti,U,V,W,
و Zn,Zr ۵ نقشه چند متغیره تجزیه عاملی برای فاکتورها F1,F2,F3,F4, F5 رسم شده است.

در بخش راهنمای نقشه ها موارد زیر به چشم می خورد:

۱- حدود رنگها (Color Scale) و دامنه مقادیر

۲- نمادهای بکار رفته در نقشه ها اعم از راه، آبادی، محل نقاط نمونه های

ژئوشیمی و کانی سنگین، آبراهه، اندیسهای معدنی، معادن فعال و متروکه.

۳- نام عنصر .

۴- شماره نقشه.

۵- تاریخ تهیه نقشه.

۶- مقیاس عددی و خطی.

۷-

.(UTM,Hayford 1909) سیستم مورد استفاده در تبدیل مختصات

۲-۳-۲- شرح ناهنجاریهای ژئوشیمیایی

مقدمه :

در محدوده ورقه ۱:۱۰۰۰۰۰ رباط کریم ۱۹۲ نمونه ژئوشیمی از آبرفت‌های گسترش یافته در این محدوده برداشت شد.

بر پایه نمونه برداری اولیه، تراکم نمونه برداری به تعداد ۱ نمونه در هر ۱۳ کیلومتر مربع بوده که به تبع تراکم نمونه برداری در نواحی رخنمون دار از تعداد بیشتری برخوردار است.

بر پایه محاسبات و داده پردازیهای انجام شده، تعداد ۳۲ عنصر مورد محاسبات و داده پردازی قرار گرفته که متغیر های

پردازش شده شامل: عناصر———

Ag,As,Au,Ba,Bi,Cd,Co,Cr,Cs,Cu,Fe,Hg,K,La,Mn,Mo,Na,Nb,Pb,S,Sb,Sc,Sn,Sr,Ti,U,V,W,

و Zn,Zr ۵ نقشه ی فاکتوری می باشد که بصورت ۳۵ برگ نقشه ناهنجاری در جلد دوم گزارش ارایه شده است.

توصیف ناهنجاریهای ژئوشیمیایی بدست آمده برای عناصر گوناگون (جدول های ۹-۳۷) به قرار زیراست:

جدول ۹: شرح ناهنجاریهای Ag

نمونه های کانی سنگین		نمونه های ژئوشیمیابی		آنومالیهای دیگر متغیرها	لیتوژوژی	موقعیت	درجه آنومالی	متغیر	ردیف
کانیهای با ارزش	شماره نمونه	مقدار متغیر (PPm)	شماره نمونه						
-	-	0.93	89	Co, Cr,Cs, Cu, Fe, Hg, Mn, Nb, Pb, Sc, Ti, U, V, W, Zn, F1	Q ^t	شمال باختر برگه‌ی آراد	2	Ag	1
باریت، سلسین خانواده سرب	109 111 108	0.78	128	W	Q,E ^v	شمال خاور برگه‌ی آراد	2		2
پیریت اکسید، اسفن، هماتیت، سلسین	9 11 14 3 2	0.74	13	As, Bi,Co,Cs, Fe, Hg, Mn, Nb, Sr, Ti, U, V, W, Zn, F1, F5	Q ^t , P ^{L-Q}	باختر برگه‌ی رباط	2		3
خانواده سرب	169 170	0.72	169	Cd, Sc, W, Zn,F2	M ₂	مرکزبرگه‌ی امین آباد	2		4

جدول ۱۰: شرح ناهنجاریهای As

نمونه های کانی سنگین		نمونه های ژئوشیمیایی		آنومالیهای دیگر متغیرها	لیتولوژی	موقعیت	درجه آنومالی	متغیر	ردیف
کانیهای با ارزش	شماره نمونه	مقدار متغیر (PPm)	شماره نمونه						
باریت، سلسین خانواده سرب	109 111 108	78.3	109	Ba, Pb, W, Zn, F2, F5	P ^{l-Q} , Q ^t , M ₃	مرکز تا شمال خاور برگه‌ی آراد	2	As	1
باریت، اسفن، آندالوزیت، هماتیت	174 69 191 90	25.61	174	Ba, Fe, La, Mn, Nb, U, W, Zn, F5	Q ^t , M ₂	جنوب برگه‌ی رباط	2		2
پیریت اکسید، اسفن، هماتیت، سلسین	9 11 14 3 2	25.05 21.21	13 5	Ag, Bi, Co, Cs, Fe, Hg, Mn, Nb, Sr, Ti, U, V, W, Zn, F1, F5	Q ^t , P ^{l-Q}	باختر برگه‌ی رباط	2		3

جدول ۱۱: شرح ناهنجاریهای Au

نمونه های کانی سنگین		نمونه های ژئوشیمیایی		آنومالیهای دیگر متغیرها	لیتولوژی	موقعیت	درجه آنومالی	متغیر	ردیف
کانیهای با ارزش	شماره نمونه	مقدار متغیر (PPb)	شماره نمونه						
سلسیتن، اسفن	34 18	3.4	21	Na, F4	M ₃	باختر برگه‌ی رباط	2	Au	1
-	-	3.1	119	-	Q ^t , P ^{l-Q}	شمال خاور برگه‌ی اسدآباد	2		2
پیریت اکسید، اسفن، هماتیت، سلسیتن	3 2 9 11 14	3 3	3 6	-	P ^{l-Q}	باختر برگه‌ی رباط	2		3
-	-	2.9	184	-	M ₂	مرکز برگه‌ی امین آباد	2		4

جدول ۱۲: شرح ناهنجاریهای Ba

نمونه های کانی سنگین		نمونه های ژئوشیمیایی		آنومالیهای دیگر متغیرها	لیتولوژی	موقعیت	درجه آنومالی	متغیر	ردیف
کانیهای با ارزش	شماره نمونه	مقدار متغیر (PPm)	شماره نمونه						
-	-	2152	104	F3	M ₂	خاور برگه‌ی آراد	1	Ba	1
-	-	1416	75	-	Q, M ₂	جنوب خاور برگه‌ی رباط	2		2
پیریت اکسید، اسفن، هماتیت، سلستین	3 2 14	1366	9	-	P ^{I-Q} , Q	باخته برگه‌ی رباط	2		3
-	-	1340	121	Cr	P ^{I-Q}	شمال برگه‌ی اسدآباد	2		4
طلاء، سلسنتین، آندازیت	82 66	1338 1330	81 66	-	M ₃	جنوب برگه‌ی آراد	2		5
باریت، اسفن، آندازیت، هماتیت	174 69 191 90	1328	174	As, Fe, La, Mn, Nb, U, W, Zn, F5	Q ^t , M ₂	جنوب برگه‌ی رباط	2		6
-	-	1266	120	Bi, Cr, Nb	P ^{I-Q}	شمال برگه‌ی اسدآباد	2		7
باریت، سلسنتین خانواده سرب	109 111 108	1245	109	As, Pb, W, Zn, F2, F5	P ^{I-Q} , Q ^t , M ₃	مرکز تا شمال خاور برگه‌ی آراد	2		8

جدول ۱۳: شرح ناهنجاریهای Bi

نمونه های کانی سنگین		نمونه های ژئوشیمیایی		آنومالیهای دیگر متغیرها	لیتولوژی	موقعیت	درجه آنومالی	متغیر	ردیف
کانیهای با ارزش	شماره نمونه	مقدار متغیر (PPm)	شماره نمونه						
پیریت اکسید، اسفن، هماتیت، سلسیتین	11	12.62	13	Ag, As, Co, Cs, Fe, Hg, Mn, Nb, Sr, Ti, U, V, W, Zn, F1, F5	Q ^t , P ^{L-Q}	باخته برگه‌ی رباط	1	1	
	14	6.42	11						
	9	5.29	10						
	3	6.68	4						
	2								
-	-	6.84 5.84	145 120	Bi, Co, Cr, Cs, Fe, Nb, Ti, U, V, W, F1 Ba, Bi, Cr, Nb	P ^{L-Q} , M ₃	شمال برگه‌ی اسدآباد	1	2	
باریت، سلسیتین، گارنت، آندالوزیت، خانواده سرب، خانواده مس	152			-	M ₂	مرکز برگه‌ی اسدآباد	1	3	Bi
	151								
	150								
	149								
	148								
	155								
	157								
	160								
	161								
	162								
hstk	48	6.11	41	-	Q ^t	مرکز به سمت جنوب خاوری برگه‌ی رباط	1	4	
طلاء، آندالوزیت، سلسیتین	66 81 82	6.55	76	Bi, Cs, Fe, Hg, Na, Nb, Pb, Ti, V, W, Zn, F4	M ₂	جنوب خاوری برگه‌ی رباط	1	5	

جدول ۱۴: شرح ناهنجاریهای Cd

نمونه های کانی سنگین		نمونه های ژئوشیمیایی		آنومالیهای دیگر متغیرها	لیتولوژی	موقعیت	درجه آنومالی	متغیر	ردیف
کانیهای با ارزش	شماره نمونه	مقدار متغیر (PPm)	شماره نمونه						
-	-	0.76	102	Mn, Sr, U	Q, E ^v	مرکزبرگه‌ی آراد	2	Cd	1
خانواده سرب و روی، باریت	169 170	0.64	169	Ag, Sc, W, Zn, F2	M ₂	مرکزبرگه‌ی امین آباد	2		2
خانواده سرب و روی، باریت، سلسیتین	111 109 108	0.62	127	Cu	Q, E ^v	شمال خاور برگه‌ی آراد	2		3

جدول ۱۵: شرح ناهنجاریهای Co

نمونه های کانی سنگین		نمونه های ژئوشیمیایی		آنومالیهای دیگر متغیرها	لیتولوژی	موقعیت	درجہ آنومالی	متغیر	ردیف
کانیهای با ارزش	شماره نمونه	مقدار متغیر (PPm)	شماره نمونه						
-	-	120.84	89	Ag, Cr, Cs, Cu, Fe, Hg, Mn, Nb, Pb, Sc, Ti, U,V, W, Zn, F1	Q ^t	شمال باختربرگه‌ی آراد	1	Co	1
پیریت اکسید، اسفن، هماتیت، سلسیتین	11 14 9 3 2	42.67	13	Ba,Hg,Mn, Zn,U,W,Cu	Q ^t , P ^{I-Q}	باختر برگه‌ی رباط	1		2
-	-	39.15	145	Bi, Cr,Cs,Fe,Nb,Ti, U,V, F1	M ₃	شمال برگه‌ی اسدآباد	1		3

جدول ۱۶: شرح ناهنجاریهای Cr

نمونه های کانی سنگین		نمونه های ژئوشیمیایی		آنومالیهای دیگر متغیرها	لیتولوژی	موقعیت	درجه آنومالی	متغیر	ردیف
کانیهای با ارزش	شماره نمونه	مقدار متغیر (PPm)	شماره نمونه						
-	-	502 144	89 90	Ag,Co, Cs, Cu, Fe, Hg, Mn, Nb, Pb, Sc, Ti, U, V, W, Zn, F1	Q ^t	شمال باختر برگه ی آراد	1	Cr	1
آندالوزیت	148 63	305.4 217.6 206.1 168.3 161.1 148.6	145 58 120 116 142 121	Ba, Bi, Co, Cs,Fe,Nb,Ti, U,V	P ^{I-Q} , M ₃ , Q	شمال برگه ی اسدآباد	1		2

جدول ۱۷: شرح ناهنجاریهای Cs

نمونه های کانی سنگین		نمونه های ژئوشیمیایی		آنومالیهای دیگر متغیرها	لیتولوژی	موقعیت	درجه آنومالی	متغیر	ردیف
کانیهای با ارزش	شماره نمونه	مقدار (PPm) متغیر	شماره نمونه						
-	-	55.5	89	Ag, Co, Cr, Cu, Fe, Hg, Mn, Nb, Pb, Sc, Ti, U, V, W, Zn, F1	Q ^t	شمال باختر برگه‌ی آراد	1		1
پیریت اکسید، اسفن، هماتیت، سلسیتین	14	20.75	13	Ag, As, Bi, Co, Fe, Hg, Mn, Nb, Sr, Ti, U, V, W, Zn, F1, F5	Q ^t , P ^{L-Q}	باختر برگه‌ی رباط	1	Cs	2
	11 9 3 2								3
-	-	20.35	145	Bi, Co, Cr, Fe, Nb, Ti, U, V, F1	M ₃	شمال برگه‌ی اسدآباد	1		4
-گارنت، سلسیتین	77 79	17.07	76	Bi, Fe, Hg, Na, Nb, Pb, Ti, V, W, Zn, F4	M ₂	جنوب خاوری برگه‌ی رباط	1		

جدول ۱۸: شرح ناهنجاریهای Cu

جدول ۱۹: شرح ناهنجاریهای Fe

نمونه های کانی سنگین		نمونه های ژئوشیمیابی		آنومالیهای دیگر متغیرها	لیتولوژی	موقعیت	درجه آنومالی	متغیر	ردیف
کانیهای با ارزش	شماره نمونه	مقدار متغیر (PPm)	شماره نمونه						
-	-	364000	89	Ag, Co, Cr, Cs, Cu, Hg, Mn, Nb, Pb, Sc, Ti, V, W, Zn, F1	Q ^t	شمال باختر برگه‌ی آراد	1	Fe	1
گارنت، سلسین	77 79	167600	76	Bi, Cs, Hg, Na, Nb, Pb, Ti, V, W, Zn, F4	M ₂	جنوب خاوری برگه‌ی رباط	1		2
پیریت اکسید، اسفن، هماتیت، سلسین	14 11 9 3 2	195400	13	Ag, As, Bi, Co, Cs, Hg, Mn, Nb, Sr, Ti, U, V, W, Zn, F1, F5	Q ^t , P ^{I-Q}	باختر برگه‌ی رباط	1		3
-	-	151500	145	Bi, Co, Cr, Cs, Nb, Ti, U, V, F1	M ₃	شمال برگه‌ی اسدآباد	1		4
باریت، اسفن، آندالوزیت، هماتیت	174 69 191 90	140900	174	As, Ba, La, Mn, Nb, U, W, Zn, F5	Q ^t , M ₂	جنوب برگه‌ی رباط	1		5

جدول ۲۰: شرح ناهنجاریهای Hg

نمونه های کانی سنگین		نمونه های ژئوشیمیایی		آنومالیهای دیگر متغیرها	لیتوژوژی	موقعیت	درجه آنومالی	متغیر	ردیف
کانیهای با ارزش	شماره نمونه	مقدار متغیر (PPm)	شماره نمونه						
-	-	0.2566	89	Ag, Co, Cr, Cs, Cu, Fe, Mn, Nb, Pb, Sc, Ti, U, V, W, Zn, F1	Q ^t	شمال باختر برگه‌ی آراد	1	Hg	1
گارنت، سلسیتین	77 79	0.1768	76	Bi, Cs, Fe, Na, Nb, Pb, Ti, V, W, Zn, F4	M ₂	جنوب خاوری برگه‌ی رباط	1		2
پیریت اکسید، اسفن، هماتیت، سلسیتین	14 11 9 3 2	0.2018	13	Ag, As, Bi, Co, Cs, Fe, Mn, Nb, Sr, Ti, U, V, W, Zn, F1, F5	Q ^t , P ^{I-Q}	باختر برگه‌ی رباط	2		3

جدول ۲۱: شرح ناهنجاریهای La

نمونه های کانی سنگین		نمونه های ژئوشیمیایی		آنومالیهای دیگر متغیرها	لیتولوژی	موقعیت	درجه آنومالی	متغیر	ردیف
کانیهای با ارزش	شماره نمونه	مقدار متغیر (PPm)	شماره نمونه						
باریت، اسفن، آندالوزیت، هماتیت	174 69 191 90	35.37 34.09 33.97	221 174 175	As, Ba, Co, Fe, Hg, Mn, Nb, U,W , Zn, F5	Q ^t , M ₂	جنوب برگه‌ی رباط	2	La	1

جدول ۲۲: شرح ناهمجاريهای Mn

نمونه های کانی سنگین		نمونه های ژئوشیمیایی		آنومالیهای دیگر متغیرها	لیتولوژی	موقعیت	درجه آنومالی	متغیر	ردیف
کانیهای با ارزش	شماره نمونه	مقدار متغیر (PPm)	شماره نمونه						
-	-	3258	89	Ag, Co, Cr, Cs, Cu, Fe, Hg, Nb, Pb, Sc, Ti, U, V, W, Zn, F1	Q ^t	شمال باختر برگه ی آراد	1	Mn	1
-	-	3047	102	Cd, Sr, U	Q, E ^v	مرکز برگه ی آراد	1		2
باریت، اسفن، آنالوزیت، هماتیت	174 69 191 90	2598	174	As, Ba, Fe, La, Nb, U, W, Zn, F5	Q ^t , M ₂	جنوب برگه ی رباط	1		3
پیریت اکسید، اسفن، هماتیت، سلستین	14 11 9 3 2	2407	13	Ag, As, Bi, Co, Cs, Fe, Hg, Nb, Sr, Ti, U, V, W, Zn, F1, F5	Q ^t , P ^{L-Q}	باختر برگه ی رباط	1		4

جدول ۲۳: شرح ناهنجاریهای Na

نمونه های کانی سنگین		نمونه های ژئوشیمیایی		آنومالیهای دیگر متغیرها	لیتولوژی	موقعیت	درجه آنومالی	متغیر	ردیف
کانیهای با ارزش	شماره نمونه	مقدار متغیر (PPm)	شماره نمونه						
-گارنت، سلستین	77 79	65470	76	Bi, Cs, Fe, Hg, Nb, Pb, Ti, V, W, Zn, F4	M ₂	جنوب خاوری برگه ی رباط	1		1
طلا، آندالوزیت، سلستین، اسفن	66 81 82 70	63870 53920 48930	70 68 69	Ag,Cu,Co,Mo	Q ^t , M ₂	جنوب باختر برگه ی رباط	1	Na	2
سلستین، اسفن	34 18	54100	21	Au, F4	M ₃	باختر برگه ی رباط	1		3

جدول ۲۴: شرح ناهنجاریهای Nb

نمونه های کانی سنگین		نمونه های ژئوشیمیایی		آنومالیهای دیگر متغیرها	لیتولوژی	موقعیت	درجه آنومالی	متغیر	ردیف
کانیهای با ارزش	شماره نمونه	مقدار متغیر (PPm)	شماره نمونه						
-	-	83.54	89	Ag,Co, Cr,Cs, Cu, Fe, Hg, Mn, Pb, Sc, Ti, U, V, W, Zn, F1	Q ^t	شمال باخته برگه‌ی آراد	1	Nb	1
پیریت اکسید، اسفن، هماتیت، سلسیتن	14 11 9 3 2	50.15 33.18	13 4	Ag, As, Bi,Co,Cs, Fe, Hg, Mn, Sr, Ti, U, V, W, Zn, F1, F5	Q ^t , P ^{l-Q}	باخته برگه‌ی رباط	1		2
-	-	39.99	145	Bi,Co, Cr,Cs,Fe,Ti, U,V, F1	M ₃	شمال برگه‌ی اسدآباد	1		3
طلا، آندالوزیت، سلسیتن	66 81 82	38.29	76	Bi, Cs, Fe, Hg, Na, Pb, Ti, V, W, Zn, F4	M ₂	جنوب خاوری برگه‌ی رباط	1		4
باریت، اسفن، آندالوزیت، هماتیت	174 69 191 90	34.23	174	As, Ba, Fe,La, Mn, U, W, Zn, F5	Q ^t , M ₂	جنوب برگه‌ی رباط	1		5
-	-	32.66	120	Ba, Bi, Cr	P ^{l-Q}	شمال برگه‌ی اسدآباد	1		6

جدول ۲۵: شرح ناهنجاریهای Pb

نمونه های کانی سنگین		نمونه های ژئوشیمیایی		آنومالیهای دیگر متغیرها	لیتو لوژی	موقعیت	درجه آنومالی	متغیر	ردیف
کانیهای با ارزش	شماره نمونه	مقدار متغیر (PPm)	شماره نمونه						
باریت، سلسیتن خانواده سرب	109 111 108	219.4 145.8	126 109	As, Ba, W, Zn, F2, F5	P ^{l-Q} , Q ^t , M ₃ , Q, E ^v	مرکز تا شمال خاور برگه‌ی آراد	1	Pb	1
-	-	150.99	89	Ag, Co, Cr, Cs, Cu, Fe, Hg, Mn, Nb, Sc, Ti, U, V, W, Zn, F1	Q ^t	شمال باخته برگه‌ی آراد	1		2
-گارت، سلسیتن	77 79	110.77	76	Bi, Cs, Fe, Hg, Na, Nb, Ti, V, W, Zn, F4	M ₂	جنوب خاوری برگه‌ی رباط	1		3

جدول ۲۶: شرح ناهنجاریهای Sc

نمونه های کانی سنگین		نمونه های ژئوشیمیایی		آنومالیهای دیگر متغیرها	لیتولوژی	موقعیت	درجه آنومالی	متغیر	ردیف
کانیهای با ارزش	شماره نمونه	مقدار متغیر (PPm)	شماره نمونه						
-	-	30.48 25.65	89 94	Ag, Co, Cr, Cs, Cu, Fe, Hg, Mn, Nb, Pb, Ti, V, W, Zn, Fl	Q, Q ^t , E ^v	شمال باختر تا باختر برگه‌ی آراد	1		1
خانواده مس، باریت، آندالوزیت، سلسیتین	201 202 211 205 206 207	25.08	202	-	Q	خاور برگه‌ی اسدآباد	1	Sc	2
خانواده سرب	169 170	22.28 21.56	169 168	Ag, Cd, W, Zn, F2	M ₂	مرکزبرگه‌ی امین آباد	1		3

جدول ۲۷: شرح ناهنجاریهای Sr

نمونه های کانی سنگین		نمونه های ژئوشیمیایی		آنومالیهای دیگر متغیرها	لیتولوژی	موقعیت	درجه آنومالی	متغیر	ردیف
کانیهای با ارزش	شماره نمونه	مقدار متغیر (PPm)	شماره نمونه						
پیریت، اکسید، اسفن، هماتیت، سلسیتین	14	10510	13	Ag, As, Bi, Co, Cs, Fe, Hg, Mn, Nb, Ti, U, V, W, Zn, F1, F5	Q ^t , P ^{l-Q}	با ختر برگه‌ی رباط	1	1	Sr
	11	5038	4						
	9	3729	15						
	3	2754	14						
	2	2731	12						
		2632	16						
-	-	6302	102	Cd, Mn, U	Q, E ^v	مرکز برگه‌ی آراد	1	2	

جدول ۲۸: شرح ناهنجاریهای Ti

نمونه های کانی سنگین		نمونه های ژئوشیمیایی		آنومالیهای دیگر متغیرها	لبتولوژی	موقعیت	درجه آنومالی	متغیر	ردیف
کانیهای با ارزش	شماره نمونه	مقدار متغیر (PPm)	شماره نمونه						
خانواده مس	129	41940	89	Ag, Co, Cr, Cs, Cu, Fe, Hg, Mn, Nb, Pb, Sc, U, V, W, Zn, F1	Q ^t	شمال باخته برگه‌ی آراد	1	Ti	1
پیریت، اکسید، اسفن،	14 11 9 3	16820	13	Ag, As, Bi, Co, Cs, Fe, Hg, Mn, Nb, Sr, U, V, W, Zn, F1, F5	Q ^t , P ^{L-Q}	باخته برگه‌ی رباط	1		2
-	-	15750	145	Bi, Co, Cr, Cs, Fe, Nb, U, V, F1	M ₃	شمال برگه‌ی اسدآباد	1		3
گارنت، سلسیتن	77 79	13190	76	Bi, Cs, Fe, Hg, Na, Nb, Pb, V, W, Zn, F4	M ₂	جنوب خاوری برگه‌ی رباط	1		4

جدول ۲۹: شرح ناهنجاریهای U

نمونه های کانی سنگین		نمونه های ژئوشیمیایی		آنومالیهای دیگر متغیرها	لیتولوژی	موقعیت	درجه آنومالی	متغیر	ردیف
کانیهای با ارزش	شماره نمونه	مقدار متغیر (PPm)	شماره نمونه						
-	-	5.3	89	Ag, Co, Cr, Cs, Cu, Fe, Hg, Mn, Nb, Pb, Sc, Ti, V, W, Zn, F1	Q ^t	شمال باختر برگه‌ی آراد	2		1
باریت، اسفن، آندالوزیت، هماتیت	174 69 191 90	5.2	174	As, Ba, Fe, La, Mn, Nb, W, Zn, F5	Q ^t , M ₂	جنوب برگه‌ی رباط	2		2
پیریت اکسید، اسفن، هماتیت	14 11 9 3	5.2	13	Ag, As, Bi, Co, Cs, Fe, Hg, Mn, Nb, Sr, Ti, V, W, Zn, F1, F5	Q ^t , P ^{l-Q}	باختر برگه‌ی رباط	2	U	3
-	-	305.4	145	Bi, Co, Cr, Cs, Fe, Nb, Ti, V, F1	M ₃	شمال برگه‌ی اسدآباد	2		4
-	-	5.2	102	Cd, Mn, Sr	Q, E ^v	مرکز برگه‌ی آراد	2		5

جدول ۳: شرح ناهنجاریهای V

نمونه های کانی سنگین		نمونه های ژئوشیمیایی		آنومالیهای دیگر متغیرها	لیتولوژی	موقعیت	درجه آنومالی	متغیر	ردیف
کانیهای با ارزش	شماره نمونه	مقدار متغیر (PPm)	شماره نمونه						
-	-	1811.2	89	Ag, Co, Cr, Cs, Cu, Fe, Hg, Mn, Nb, Pb, Sc, Ti, U, W, Zn, F1	Q ^t	شمال باختر برگه‌ی آراد	1	V	1
پیریت اکسید، اسفن، هماتیت، سلسیتن	14 11 9 3 2	718.9	13	Ag, As, Bi, Co, Cs, Fe, Hg, Mn, Nb, Sr, Ti, U, W, Zn, F1, F5	Q ^t , P ^{L-Q}	باختر برگه‌ی رباط	1		2
-	-	636.8	145	Bi, Co, Cr, Cs, Fe, Nb, Ti, U, F1	M ₃	شمال برگه‌ی اسدآباد	1		3
گارنت، سلسیتن	77 79	630.5	76	Bi, Cs, Fe, Hg, Na, Nb, Pb, Ti, W, Zn, F4	M ₂	جنوب خاوری برگه‌ی رباط	1		4

جدول ۳۱: شرح ناهنجاریهای W

نمونه های کانی سنگین		نمونه های ژئوشیمیایی		آنومالیهای دیگر متغیرها	لیتولوژی	موقعیت	درجه آنومالی	متغیر	ردیف
کانیهای با ارزش	شماره نمونه	مقدار متغیر (PPm)	شماره نمونه						
باریت، اسفن، آندالوزیت، هماتیت	174 69 191 90	3.316 3.254 2.962	169 168 174	Ag, As, Ba Cd, Fe, La, Mn, Nb, Sc, U, W, Zn, F2, F5	Q ^t , M ₂	مرکز برگه‌ی امین آباد تا جنوب باختر برگه‌ی رباط	1	W	1
-کارنٹ، سلسنتین	77 79	3.242	76	Bi, Cs, Fe, Hg, Na, Nb, Pb, Ti, V, Zn, F4	M ₂	جنوب خاوری برگه‌ی رباط	1		2
باریت، سلسنتین خانواده سرب	109 111 108	3.142	109	As, Ba, Pb, Zn, F2, F5	P ^{I-Q} , Q ^t , M ₃	مرکز تا شمال خاور برگه‌ی آراد	1		3
-	-	2.79	89	Ag, Co, Cr, Cs, Cu, Fe, Hg, Mn, Nb, Pb, Sc, Ti, U, V, Zn, F1	Q ^t	شمال باختر برگه‌ی آراد	1		4
پیریت اکسید، اسفن، هماتیت، سلسنتین	14 11 9 3 2	2.575	13	Ag, As, Bi, Co, Cs, Fe, Hg, Mn, Nb, Sr, Ti, U, V, Zn, F1, F5	Q ^t , P ^{I-Q}	باختر برگه‌ی رباط	1		5
باریت، سلسنتین خانواده سرب	109 111 108	2.566	128	Ag	Q, E ^v	شمال خاور برگه‌ی آراد	1		6

جدول ۳۲: شرح ناهنجاریهای Zn

نمونه های کانی سنگین		نمونه های ژئوشیمیایی		آنومالیهای دیگر متغیرها	لیتولوژی	موقعیت	درجه آنومالی	متغیر	ردیف
کانیهای با ارزش	شماره نمونه	مقدار متغیر (PPm)	شماره نمونه						
-	-	401	89	Ag,Co, Cr,Cs, Cu, Fe, Hg, Mn, Nb, Pb, Sc, Ti,U, V, W, F1	Q ^t	شمال باختر برگه‌ی آراد	1	Zn	1
-گارنت، سلسین	77 79	351.8	76	Bi, Cs, Fe, Hg, Na, Nb, Pb, Ti, V, W, F4	M ₂	جنوب خاوری برگه‌ی رباط	1		2
باریت، اسفن، آندالوزیت، هماتیت	174 69 191 90	334.9 301.9 278.7	168 169 174	Ag, Cd, Sc, W, F2 , As, Ba, Fe, La, Mn, Nb, W, Zn, F5	Q ^t , M ₂	مرکز برگه‌ی امین آباد تا جنوب باختر برگه‌ی رباط	1		3
باریت، سلسین خانواده سرب	109 111 108	296.8	109	As,Ba, Pb, W, F2, F5	P ^{l-Q} , Q ^t , M ₃	مرکز تا شمال خاور برگه‌ی آراد	1		4
پیریت اکسید، اسفن، هماتیت، سلسین	14 11 9 3 2	264.5	13	Ag, As, Bi,Co,Cs, Fe, Hg, Mn, Nb, Sr, Ti, U, V, W, F1, F5	Q ^t , P ^{l-Q}	باختر برگه‌ی رباط	1		5

جدول ۳۳: شرح ناهنجاریهای فاکتور ا (Ti, V, Cs, Nb, Fe, Co, Sb, U, Cr, Hg, Bi, Mn, Zn, Sc, Ni, Mo)

نمونه های کانی سنگین		نمونه های ژئوشیمیایی		لیتولوژی	موقعیت	درجه آنومالی	متغیر	ردیف
کانیهای با ارزش	شماره نمونه	مقدار متغیر	شماره نمونه					
-	-	8.98	89	Q^t	شمال باختر برگه‌ی آراد	1		1
پیریت اکسید، اسفن، هماتیت، سلسیتین	14 11 9 3 2	4.32	13	Q^t, P^{l-Q}	باختر برگه‌ی رباط	1	F1	2
-	-	3.36	145	M_3	شمال برگه‌ی اسدآباد	1		3

جدول ۳۴: شرح ناهمجاريهای فاكتور ۲ (Cu, Cd ,Pb)

نمونه های کانی سنگین		نمونه های ژئوشیمیابی		لیتولوژی	موقعیت	درجه آنومالی	متغیر	ردیف
کانیهای با ارزش	شماره نمونه	مقدار متغیر	شماره نمونه					
خانواده مس، باریت، آندالوزیت، سلسین	201 202 211 205 206 207	4.69	202	Q	خاور برگه‌ی اسدآباد	1		1
باریت، سلسین خانواده سرب	109 111 108	4.02 3.68	126 109	P ^{l-Q} , Q ^t , M ₃ , Q, E ^v	مرکز تا شمال خاور برگه‌ی آراد	1	F2	2
خانواده سرب	169 170	3.82 3.41	168 169	M ₂	مرکزبرگه‌ی امین آباد	1		3
-	-	3.11	94	Q, E ^v	باخته برگه‌ی آراد	1		4

جدول ۳۵: شرح ناهمجاريهای فاكتور^۳ (Zr,K,P, Mo)

نمونه های کانی سنتکین		نمونه های ژئوشیمیایی		لیتولوژی	موقعیت	درجه آنومالی	متغیر	ردیف
کانیهای با ارزش	شماره نمونه	مقدار متغیر	شماره نمونه					
-	-	2.44	104	M ₂	خاور برگه‌ی آراد	2	F3	1

جدول ۳۶: شرح ناهنجاریهای فاکتور^۴ (Na, S)

نمونه های کانی سنگین		نمونه های ژئوشیمیایی		لیتولوژی	موقعیت	درجه آنومالی	متغیر	ردیف
کانیهای با ارزش	شماره نمونه	مقدار متغیر	شماره نمونه					
-گارنت، سلسیتن	77 79	4.25	76	M ₂	جنوب خاوری برگه‌ی رباط	1		1
گارنت، سلسیتن	34 18	3.81	21	M ₃	باختر برگه‌ی رباط	1	F4	2
باریت، خانواده مس، خانواده سرب، مونازیت	50 55 56 57	4.01	70	M ₃	جنوب باختر برگه‌ی رباط	1		3

جدول ۳۷: شرح تاهنجاریهای فاکتور ۵ (As, Ba, W)

نمونه های کانی سنگین		نمونه های ژئوشیمیایی		لیتولوژی	موقعیت	درجه آنومالی	متغیر	ردیف
کانیهای با ارزش	شماره نمونه	مقدار متغیر	شماره نمونه					
باریت، سلسین خانواده سرب	109 111 108	6.21	109	P^{l-Q}, Q^t, M_3	مرکز تا شمال خاور برگه‌ی آراد	1		1
باریت، اسفن، آندالوزیت، هماتیت	174 69 191 90	3.86	174	Q^t, M_2	جنوب برگه‌ی رباط	1	F5	2
پیریت اکسید، اسفن، هماتیت، سلسین	14 11 9 3 2	3.49	13	Q^t, P^{l-Q}	باخته برگه‌ی رباط	1		3



بخش سوم : اکتشافات کانی سنگین



۱-۳- نمونه برداری، مطالعه و محاسبه گرم در تن کانیها:

در یک پروژه اکتشافی به روش کانی سنگین طراحی ایستگاههای نمونه برداری و تعیین محل نمونه برداری نقشی انکارناپذیر در هدایت اکتشاف کانسارها با این روش ایفا می نماید. توجه به رخنمون رخساره های سنگی، نمودهای تکتونیکی، بررسی نقشه های ژئومغناطیس هوایی، گسترش پلاسراها، نوع دگرسانیها و دیگر پدیده های جالب می تواند به نحو بارزی روش اکتشافی فوق را هدفدار نماید.

در راستای طراحی و نمونه برداری از رسوبات آبرفتی آبراهه ها و به منظور دستیابی به نتایج بهتر توصیه می شود، ایستگاههای نمونه برداری بگونه ای طراحی شوند که آبراهه در این محل دارای جریان سریع بوده و با بیشترین انرژی جنبشی همراه باشد. در این محلها، جریان سریع آبریزهای دائمی یا موقتی بصورت جریانهای سیلابی مواد تخریبی را حمل می کند و در مسیر خود بصورت نهشته هایی بر جای می گذارند. بهترین محل برای انجام نمونه برداری، مرز جدایش ارتفاعات با نقاط پست است. در این نقطه ها بعلت کم شدن سرعت آب بیشترین مقدار کانی سنگین ته نشین می شود. هم چنین ضروری است در ایستگاههای تعیین شده، نمونه از تجمع های غیر جور شده رسوبی و غیر همگن برداشته شود. در بعضی موارد مشاهده شده که به این موضوع مهم توجه ویژه ای نشده و نمونه برداری از رسوبات جور شده و همگن برداشته می شود. با توجه به اینکه کانیهای اقتصادی، ارزشمند و کاسارسازی همچون طلا، پلاتین، کاسیتیریت، ایلمنیت، روتیل، زیرکن، ولفرامیت و ... دلیل وزن مخصوص بالا با رسوبات درشت دانه تراز خود ته نشین می شوند، لذا شایسته است که نمونه ها از نقاط غیر همگن، غیر جور شده و درشت دانه برداشته شوند.

در اکتشافات کانیهای سنگین انجام گرفته در این پروژه سعی شده، تا حد امکان موارد اشاره شده در هنگام نمونه برداری رعایت شود. هدف نهایی از برداشت نمونه های کانی سنگین، کنترل نتایج بدست آمده از آنالیز نمونه های ژئوشیمی است که این کنترل دو جانبه است.

۱-۳-۱- نمونه برداری

تجربیات بدست آمده در مرحله اکتشافات ژئوشیمیایی ناحیه ای و برداشت نمونه کانی سنگین ازورقه های ۱:۱۰۰۰۰ ژئوشیمیایی مناسبترین مقدار برداشته شده از رسوبات آبرفتی را در حد ۳ لیتر نمونه الک شده بدست داده است. نمونه ها در ایستگاههای نمونه برداری از عمق ۱۰ سانتی متر به پایین، با الک ۲۰ مش (کمتراز ۲ میلیمتر) و در حجم ۳ لیتر برداشته می شود. در مواردی که محل نمونه برداری خیس باشد و امکان الک کردن وجود نداشته است، نمونه ها بصورت درهم و در حجمی حدود ۷ تا ۱۰ لیترو ازمجموع رسوبات درشت و ریزدانه برداشت می شود. توجه به پارامترهایی همچون غیر همگن بودن



ذرات، محل پیچش آبراهه ها (**Junction**) ، آبشارکها (**Rapids**) ، محل اتصال آبراهه ها (**Meander**) مركز قلل آبریزها و ... ضروری است.

در مواردی که عرض بسترها عریض می باشد، سعی شده است که در عرض بستر آبراهه و از چندین محل، نمونه برداشت شود. شماره نمونه برداشته شده پس از ثبت بر روی کارت ویژه درون کیسه های مخصوص قرار داده می شود و محل نمونه برداری با رنگ مشخص می شود.

یکی از موارد رعایت شده در مرحله اکتشافات ناحیه ای به روش کانی سنگین توجه به رنگ رسوب آبراهه ها است. برداشت نمونه ها از محل تجمع رسوبات سیاهرنگ (Black sand)، قهوه ای و قرمز مایل به قهوه ای نتایج بهتری را بدست می دهد. از جمله مکانهای جالب توجه برای نمونه برداری جاهایی است که جریان آب به تقریب عمود بر روند سنگهای مسیر است. در اینجاها بهترین مکان نمونه برداری گودال هایی هستند که در مسیر آب وجود دارد. در مسیر آبراهه ها پیش یا پس از سنگهای بزرگ نیز بطور معمول عمل تغليظ رسوب بخوبی انجام می گردد. در این نقاط شدت جریان آب در برخورد با موائع طبیعی و یا مصنوعی کاسته شده موجب ته نشین شدن کانیهای سنگین می شود که پس از عمل برداشت و شستشو می توان به کانیهای سنگین قابل توجهی دست یافت.

در محدوده ورقه ۱:۱۰۰۰۰ رباط کریم با توجه به گسترش رخنمونهای سنگی، اطلاعات کلی زمین شناسی، تکتونیک، سنگ شناسی و چینه شناسی، شمار ۹۷ نمونه در مرحله اولیه و ۱۰ نمونه در مرحله کنترل آنومالی از آبرفتها گسترش یافته در محدوده این رخساره های سنگی به روش کانی سنگین برداشت شد. در این روش نمونه برداری، شبکه آبریزهای موجود در رخنمونهای سنگی زیر پوشش این روش اکتشافی قرار گرفته است. تراکم نمونه های کانی سنگین به تقریب ۱ نمونه در هر ۲۵ کیلومتر مربع است.

۲-۱-۳-آماده سازی و مطالعه نمونه ها

در بخش مطالعه نمونه های کانی سنگین نخستین مرحله از این بخش را تغليظ نمونه های آبرفتی برداشته شده تشکیل میدهد . در عملیات صحرایی اکتشافات ژئوشیمیایی در رباط کریم این گام از آماده سازی نمونه ها در آزمایشگاه صحرایی انجام شده است .

نخست نمونه های کانی سنگین برداشت شده، گل شویی می شود که هدف از این عمل جداسازی رس، سیلت و ذرات معلق است. پس از انجام عمل گل شویی نمونه به ظروف ویژه ای منتقل شده و بر پایه خاصیت اختلاف وزن مخصوص کانیها و غوطه ور نمودن نمونه ها در آب و انجام حرکات دورانی و اصل قانون نیروی گریز از مرکز، ذرات سبک جداسازی می شود و این عمل آنقدر ادامه می یابد تا به حجم دلخواه و معینی از نمونه تغليظ شده دست یابیم.

در مرحله بعدی آماده سازی، نمونه ها با محلول مایع سنگین (برموفرم) مورد جدایش قرار گرفته و سپس جدایش با آهنرباهای دستی با بار مغناطیسی معین انجام میشود. در پایان این مرحله نمونه ها به ۳ بخش کانیهای دارای خاصیت مغناطیسی شدید (AA)، کانیهای دارای خاصیت متوسط (AV) و کانیهای فاقد خاصیت مغناطیسی (NM) تقسیم بندی می



شوند، سپس با استفاده از میکروسکوپ دو چشمی (بینوکولار) مطالعات بخش‌های سه گانه نمونه‌های آماده سازی شده انجام می‌شود.

کانیهای مطالعه شده بطور عمده به دو گروه کانیهای سنگ ساز و کانسار ساز تقسیم بندی می‌شوند. از شاخص ترین کانیهای سنگ ساز می‌توان کانیهای پیروکسن، آمفیبول، اپیدوت، گارنت و هماتیت و ... را نام برد، از کانیهای کانسار ساز بجز معدودی از آنها همچون منیتیت، ایلمنیت، کرومیت، آندالوزیت و هماتیت، همگی در گروه کانیهای غیر مغناطیسی اند و از مهمترین آنها می‌توان به کانیهای طلا، نقره، سینابر، استیبنیت، زیرکن، روتیل، رآلگار، اوریپیمان، باریت، سلسیتین و کانیهای خانواده عناصر مس، سرب و روی اشاره کرد. در مطالعات کانیهای سنگین اندازه دانه‌های مطالعه شده و نوع گردش‌گی نیز می‌تواند به شناخت کانسارها و موقعیت آنها نسبت به محل نمونه برداری کمک شایان توجّهی نماید.

روشهایی کمکی نیز برای شناسایی کانیها وجود دارد که از شاخص ترین آنها می‌توان به لامپ اشعه ماوراء بمنفذ (UltraViolet)، میکروسکوپ پلاریزان جهت شناسایی خواص نوری کانیها و روشهای میکروشیمی اشاره کرد.

تاکنون در حدود دویست کانی کشف شده است که در اثر تابش لامپ ماوراء بمنفذ با وطول موج کوتاه (طول موج ۲۴۳۰ A) دارای خاصیت فلورسانس هستند، ولی برای کارهای عملی و اکتشاف در حدود بیست تاسی کانی مختلف مورد استفاده قرار می‌گیرد. یکی از کانیهای شاخص دارای خاصیت فلورسانس کانی شلیت است. واکنش بلور شلیت در برابر نور لامپ ماوراء بمنفذ به رنگ آبی آسمانی است. از کانیهای شاخص دیگر که به راحتی می‌توان از خاصیت فلورسانس در راستای شناخت و شناسایی آنها استفاده نمود، می‌توان از کانیهای زیرکن، فلوریت، کلسیت و ... نام برد.

به تقریب بیش از نیمی از کانیهای اورانیوم که تاکنون شناخته شده اند دارای خاصیت فلورسانس هستند. یکی از کانیهای دیگری که در هر حال خاصیت فلورسانس از خود نشان می‌دهد هیدروزینکیت است. این کانی در مقابل نور اشعه ماوراء بمنفذ از خود رنگ سفید مایل به آبی و یا آبی مایل به سفید نشان می‌دهد. اکتشاف روی بوسیله خاصیت فلورسانس بدليل وجود هیدروزینکیت بسیار سریع تر و حساس تر از کشف آن به روش ژئوشیمیایی است. در مواردی و بویژه در مورد کانیهای سیلیکاته که شناخت آنها بطور مستقیم دشوار است، می‌توان از میکروسکوپ پلاریزان استفاده کرد. خواص نوری گوناگون کانیها همچون زاویه خاموشی، کلیواژ، بیرفرنزنس، جداشگی، شکل بلور، برجستگی و ... کمک شایان توجّهی به شناخت این نوع کانیها می‌نماید.

بکارگیری معرفه‌ای شیمیایی در شناخت کانیها نقش بویژه و کارسازی را ایفا می‌نماید. در مواردی که شناسایی برخی از کانیها بطور مستقیم محدود نیست، می‌توان از روش میکروشیمی که همانا کاربرد انواع اسیدها و محلولهای شیمیایی است استفاده نمود. واکنشهای بدست آمده راهنمای مناسبی در شناخت کانیهای ناشناخته است.

از ویژگیهای فیزیکی کانیها از پارامترهایی همچون رنگ، سیستم تبلور، سختی، خاکه، نوع شکستگی، چکش خواری و جلا در شناخت کانیها می‌توان استفاده نمود.



۳-۲ - نتایج بدست آمده از مطالعات کانی سنگین

مقدمه :

بررسی ها و مطالعات بعمل آمده در چند سال اخیر بر روی ورقه های ۱:۱۰۰,۰۰۰ گوناگون به روش مطالعاتی کانی سنگین و نمونه برداری از آبرفت‌های گسترش یافته در محدوده یک ورقه ۱:۱۰۰,۰۰۰ به عنوان روشی کارا و سودمند در ارایه مناطق امید بخش معدنی شناخته شده است.

در محدوده ورقه ۱:۱۰۰,۰۰۰ رباط کریم تعداد ۹۷ نمونه از محلهای مناسب و بر پایه توزیع رخساره های سنگی و از شبکه های گسترش یافته آبرفتی انتخاب و مورد مطالعه قرار گرفته است. نتایج مطالعات کانی سنگین ورقه رباط کریم در پیوست شماره ۴ آورده شده است.

تراکم نمونه برداری در ورقه ۱:۱۰۰,۰۰۰ رباط کریم در ازای ۲۵ کیلومتر مربع یک نمونه کانی سنگین بوده است بدیهی است که این تراکم در نواحی رخنمون دار از درجه بالاتری برخوردار می باشد. از کانیهای شاخص و کانسار ساز در محدوده ورقه ۱:۱۰۰,۰۰۰ رباط کریم می توان به کانیهای خانواده مس، خانواده سرب، باریت، گارنت، اسفن، خانواده آهن، سلسیتین و به تاکید طلا اشاره کرد. نواحی ناهنجار بدست آمده برای کانیهای گوناگون بر روی نقشه انتشار کانیهای سنگین ثبت و درج شده است(نقشه شماره ۳۸).

چکیده ای از ناهنجاریهای گوناگون شناسایی شده در ذیل ارایه می شود:

جدول ۳۸: شرح ناهنجاریهای کانی سنگین طلا

ردیف	شماره نمونه	تعداد ذرات	شكل ذره	اندازه ذره	گردشگی	موقعیت جغرافیایی	لیتولوژی	کانی های همراه	حجم مطالعه شده (cc)
1	66	1	FILM	88-125 μ	زاویه دار	جنوب برگه رباط	M ₃	آندالوزیت، سلسیتین	13

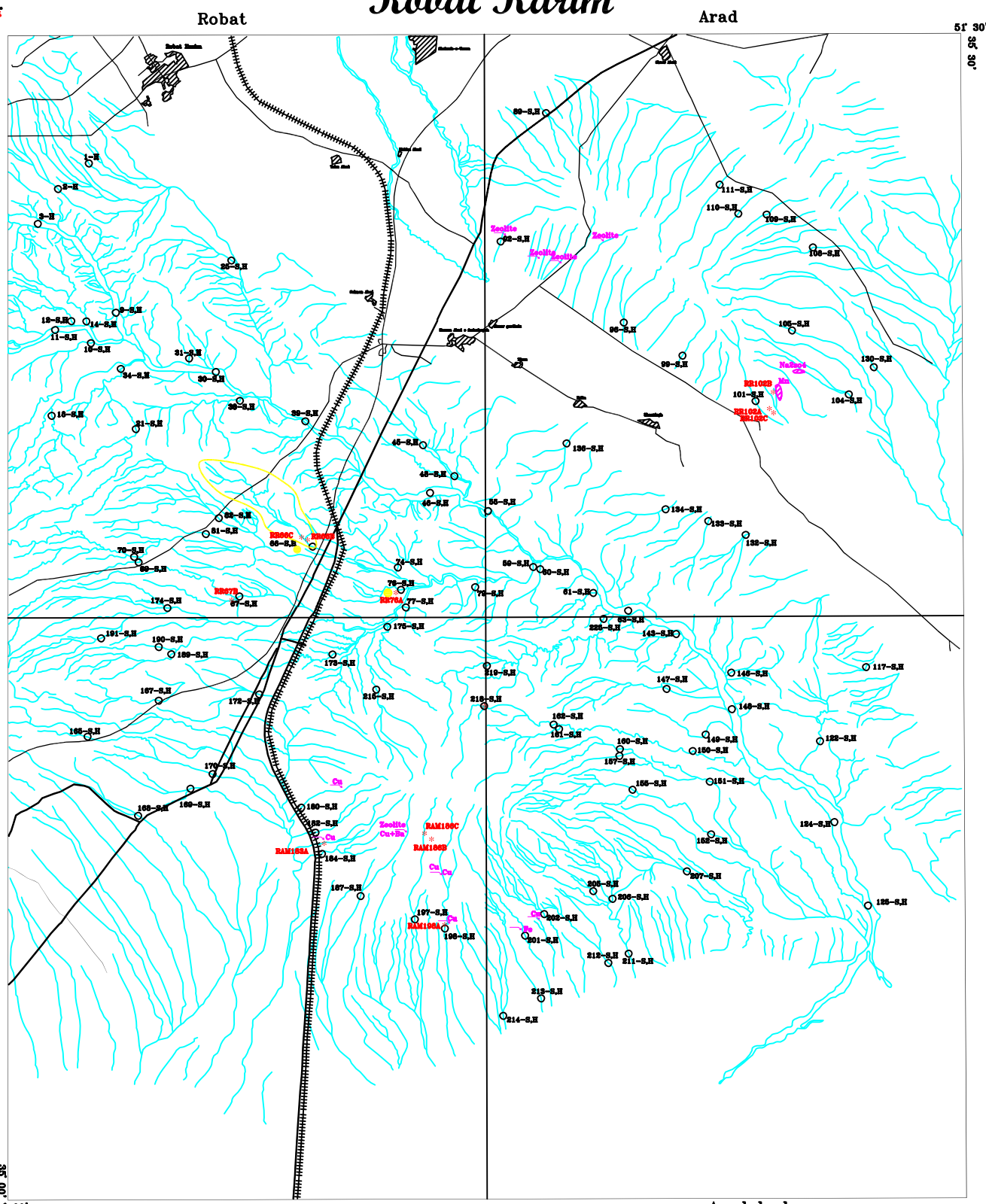
جدول ۳۹: شرح ناهنجاریهای کانی سنگین نقره در مرحله کنترل ناهنجاری

ردیف	شماره نمونه	تعداد ذرات	موقعیت جغرافیایی	لیتولوژی	کانی های همراه	حجم مطالعه شده (cc)
1	RR76A	1	جنوب خاور برگه رباط	M ₂	گارنت، خانواده مس، آهن، باریت، پیرولوزیت	7



تصویر ۳: کانی نقره مشاهده شده در نمونه کانی سنگین RR76A

Robat Karim



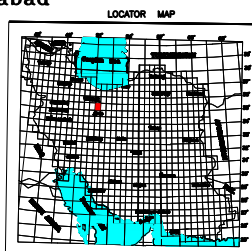
MINISTRY OF INDUSSETES & MINES
GEOLOGICAL SURVEY AND MINERAL
EXPLORATION OF IRAN
Geochemical Exploration Department
(GED)
**HEAVY MINERALS
DISTRIBUTION MAP**

Scale: 1:100,000 Date: 2008 Map No. JS



5000 0 5000 10000 m
Scale 1:100,000

Coordinate System UTM (Hayford 1909)



جدول ۴۰: شرح ناهنجاریهای کانیهای خانواده مس

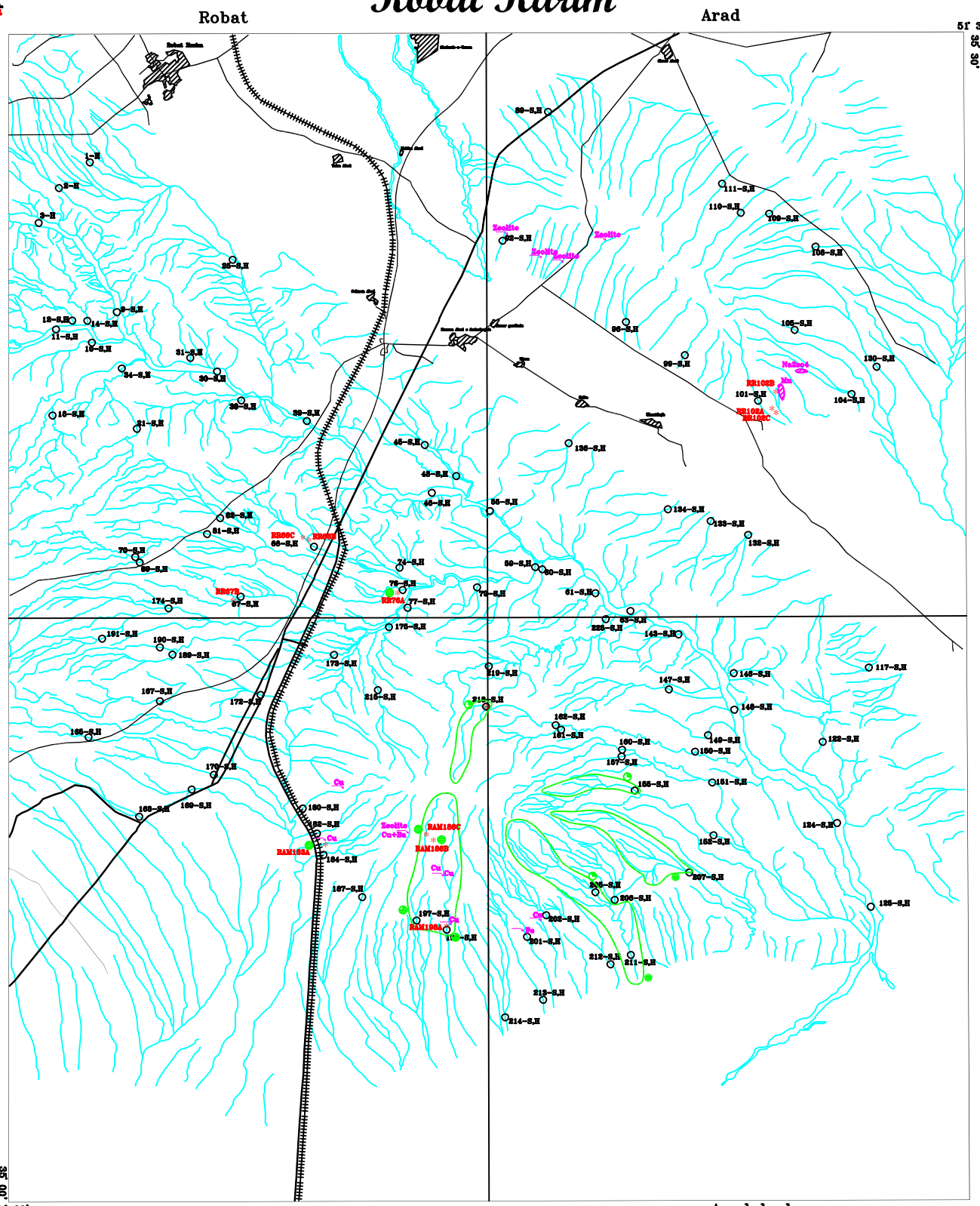
ردیف	شماره نمونه	عیار (ppm)	موقعیت جغرافیایی	لیتولوژی	کانی های همراه	حجم مطالعه شده (cc)
1	155	pts	مرکز برگه‌ی اسدآباد	M ₂	گارنت	10
2	197 198	Pts pts	خاور برگه‌ی امین آباد	Pl ^Q , Q	خانواده سرب، آهن، سلسیتن، استیننیت و پیرولوزیت	12 18
3	205 207 211	Pts Pts pts	باختر برگه‌ی اسدآباد	Q	سلسیتیت، باریت، آندالوزیت	18 10 10
4	218	pts	مرز برگه‌ها‌ی امین آباد و اسدآباد	M ₂	-	22

جدول ۴۱: شرح ناهنجاریهای کانیهای خانواده مس در مرحله کنترل ناهنجاری

ردیف	شماره نمونه	تعداد ذره	موقعیت جغرافیایی	لیتوژوژی	کانی های همراه	حجم مطالعه شده(cc)
1	RR 76A	pts	جنوب خاور برگه رباط	M ₃	گارنت، نقره، باریت؛ خانواده آهن، پیرولوزیت	7
2	RR.M 186C RAM 186B	Pts pts	خاور برگه‌ی امین آباد	PI ^Q , Q	خانواده سرب، آهن، سلسیتن، استیبنیت، باریت و پیرولوزیت	6 8
3	RAM 183A	pts	مرکز برگه‌ی امین آباد	PI ^Q , Q	خانواده آهن و سلسیتن	3



Robat Karim

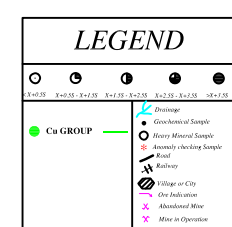


51° 00'

51°

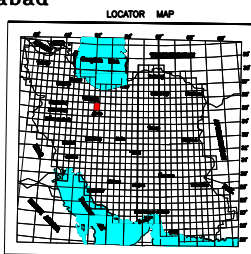
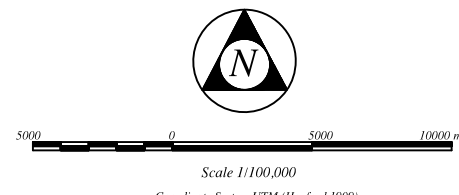
30'

35°



MINISTRY OF INDUSETRIES & MINES
GEOLOGICAL SURVEY AND MINERAL
EXPLORATION OF IRAN
Geochemical Exploration Department
(GED)
**HEAVY MINERALS
DISTRIBUTION MAP**

Scale 1:100,000 Date: 2008 Map No. JS



جدول ۴۲: شرح ناهنجاریهای کانیهای خانواده سرب

ردیف	شماره نمونه	عیار (ppm)	موقعیت جغرافیایی	لیتوژوژی	کانی های همراه	حجم مطالعه شده (cc)
1	96	pts	مرکز برگه‌ی آراد	Q	-	15
2	108	pts	شمال خاور برگه‌ی آراد	P ^{l-Q} , Q ^t , M ₃ , Q, E ^v	-	10
3	161	pts	باخته برگه‌ی اسدآباد	M ₂	گارنت	10
4	169	pts	مرکز برگه‌ی امین آباد	M ₂ , P ^{l-Q}	-	12

جدول ۴۳: شرح ناهنجاریهای کانیهای خانواده سرب در مرحله کنترل ناهنجاری

ردیف	شماره نمونه	تعداد ذره	موقعیت جغرافیایی	لیتوژوژی	کانی های همراه	حجم مطالعه شده (cc)
1	RR.M 186C RAM 186B RAM 198A	Pts pts pts	خاور برگه‌ی امین آباد	PI ^Q , Q	خانواده مس، آهن، سلسیتن، استیبنیت، باریت و پپرولوزیت	6 8 7

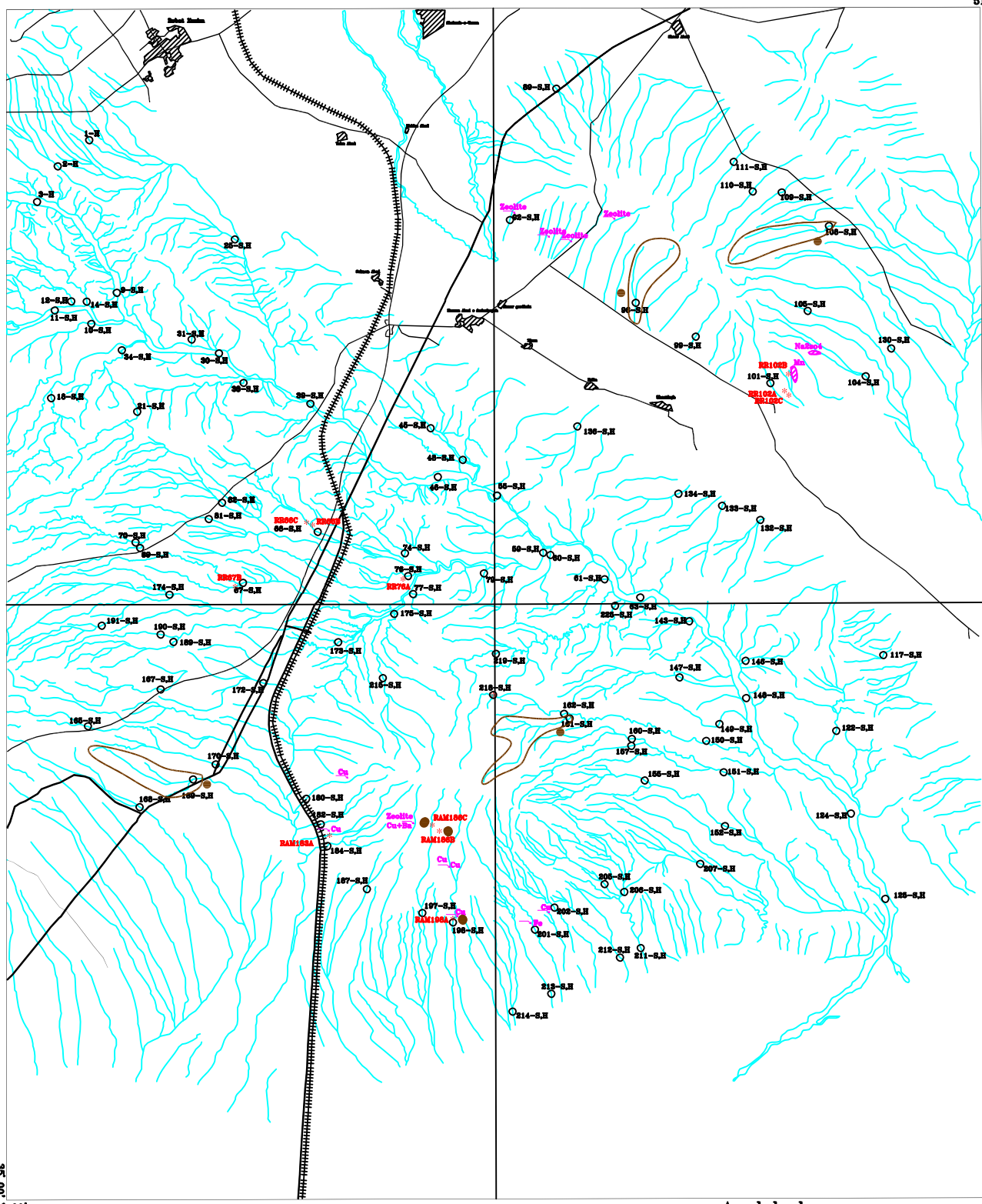


Robat Karim

Arad

51° 30'

35
30



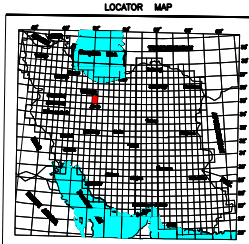
35° 00'

Aminabad

Asadabad



Scale 1/100,000



LEGEND

- Y=0.35
- X=0.25
- X+Y=35
- X+35
- X-35
- X+2.55
- X+0.35
- X-0.35
- PhZn GROUP
- Drilling
- Groundwater Sample
- Heavy Mineral Sample
- Asterisk indicating Sample
- Railway
- Village or City
- One Indication
- Abandoned Mine
- Mine in Operation

**MINISTRY OF INDUSETRIES & MINES
GEOLOGICAL SURVEY AND MINERAL
EXPLORATION OF IRAN**

*Geochemical Exploration Department
(GED)*

**HEAVY MINERALS
DISTRIBUTION MAP**

جدول ۴۴: شرح ناهنجاریهای کانی باریت

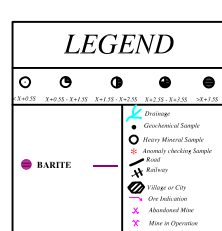
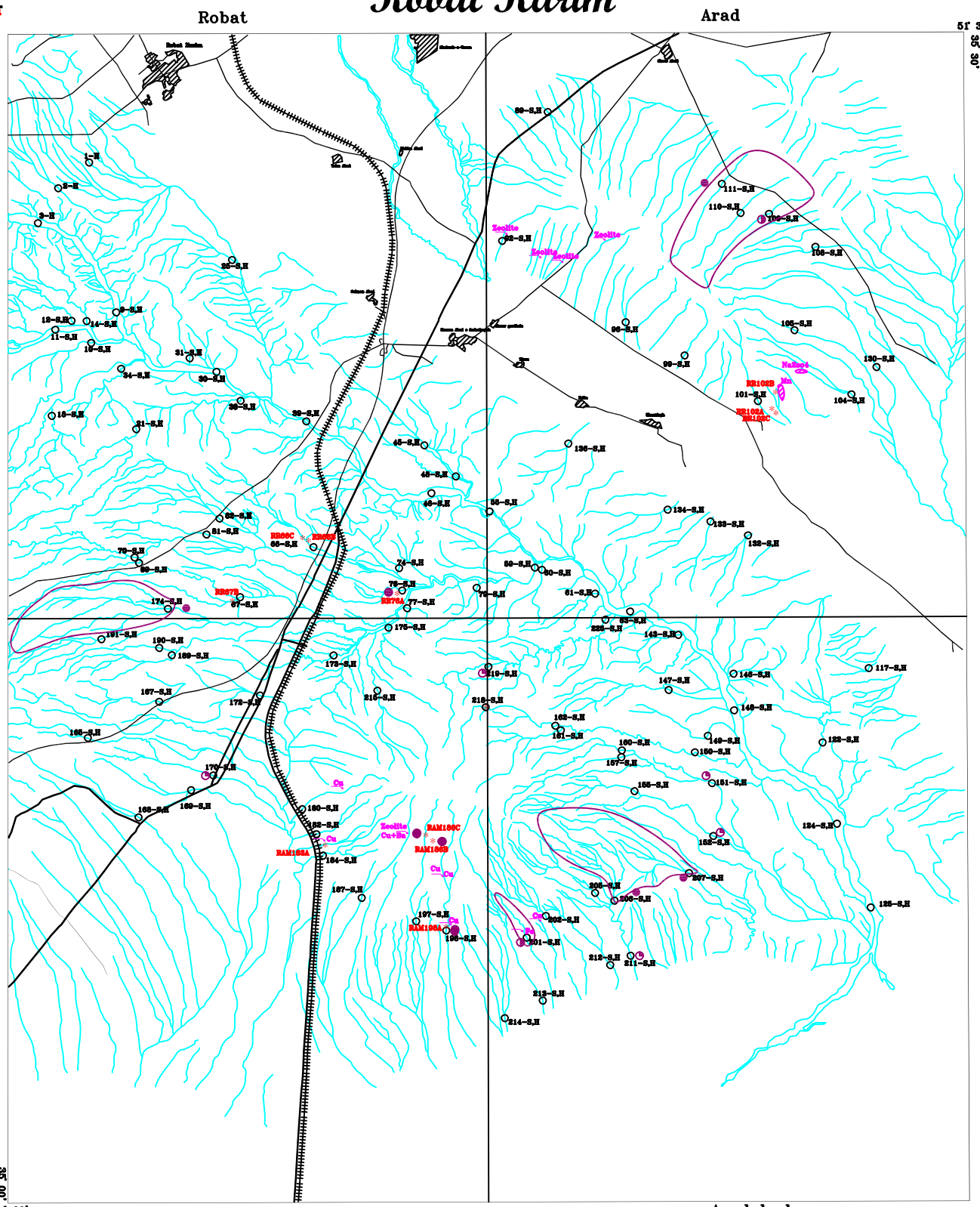
ردیف	شماره نمونه	عیار (ppm)	موقعیت جغرافیایی	لیتولوژی	کانی های همراه	حجم مطالعه شده (cc)
1	207 206	1620 1440	باختر برگه‌ی اسدآباد	Q	خانواده مس، آندالوزیت، سلسین	10 10
2	174	1421	جنوب برگه‌ی رباط	Q ^t , M ₂	اسفن، آندالوزیت، خانواده‌ی آهن	15
3	111 109 110	1344 864 54	مرکز تا شمال خاور برگه‌ی آراد	P ^{L-Q} , Q ^t , M ₃	سلسین خانواده سرب	15 15 25
4	201	816	باختر برگه‌ی اسدآباد	Q	آندالوزیت	15

جدول ۴۵: شرح ناهنجاریهای کانی باریت در مرحله کنترل ناهنجاری

ردیف	شماره نمونه	عیار (ppm)	موقعیت جغرافیایی	لیتوژری	کانی های همراه	حجم مطالعه شده (cc)
1	RR 76A	420	جنوب خاور برگه رباط	M ₂	گارنت، خانواده مس، آهن، نقره، پیرولوزیت	7
2	RAM 186B RR.M 186C RAM 198A	225 108 52	خاور برگه ای امین آباد	PI ^Q , Q	خانواده مس، سرب، آهن، سلسیتن، استیننیت و پیرولوزیت	8 6 7

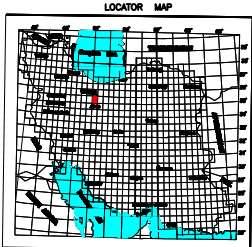
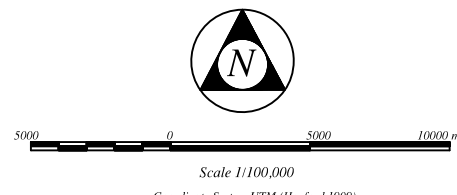


Robat Karim



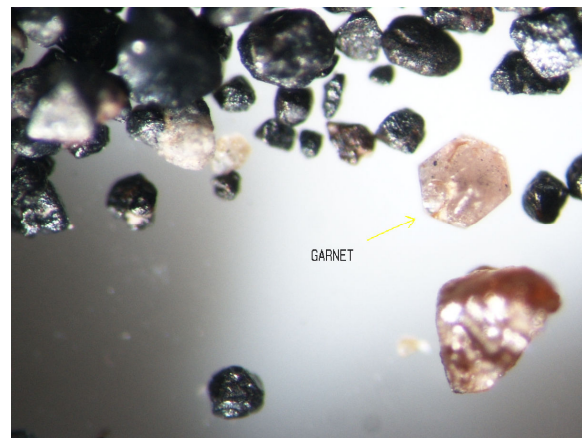
MINISTRY OF INDUSETRIES & MINES
GEOLOGICAL SURVEY AND MINERAL
EXPLORATION OF IRAN
Geochemical Exploration Department
(GED)
**HEAVY MINERALS
DISTRIBUTION MAP**

Scale 1:100,000 Date: 2008 Map No. JS



جدول ۴۶: شرح ناهنجاریهای کانی گارنت

ردیف	شماره نمونه	عیار (ppm)	موقعیت جغرافیایی	لیتوژوژی	کانی های همراه	حجم مطالعه شده (cc)
1	151	1064	مرکز برگه‌ی اسدآباد	M ₂	باریت، سلسین، آندالوزیت، خانواده سرب، خانواده مس	10
	150	560				10
	161	547				10
	157	324				10
	160	196				10
	152	166				10
	162	160				10
2	61	426	جنوب باختر برگه‌ی آراد	M ₃ , Q ^t	آندالوزیت، اسفن	15
3	219 215	349 275	شمال خاور برگه‌ی امین آباد	M ₃ , M ₂	باریت، سلسین، اسفن، پیریت اکسید	11 15



تصویرشماره ۴۵: کانی گارنت مشاهده شده در مطالعات کانی سنگین

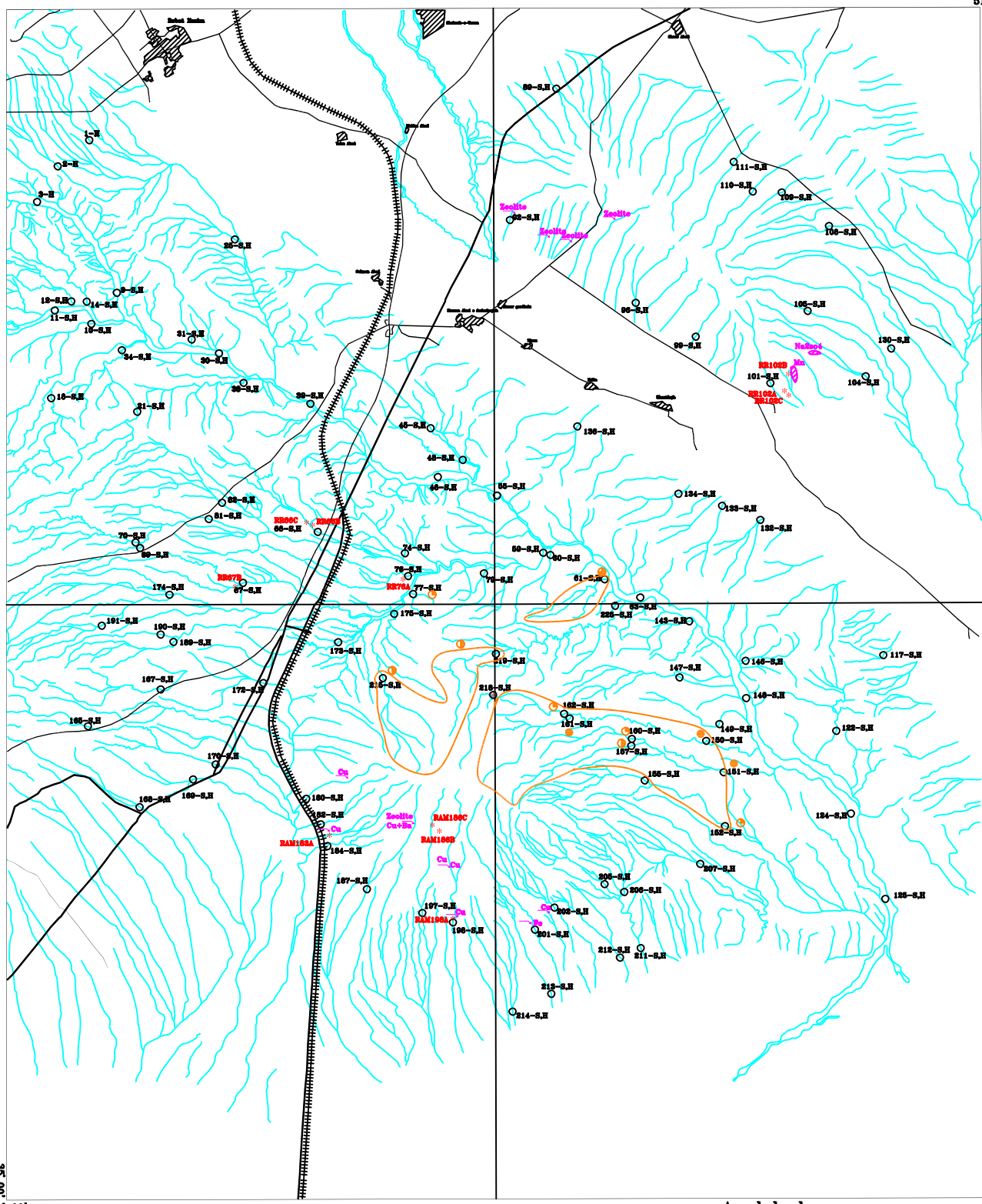


Robat Karim

Arad

51° 30'

35
30



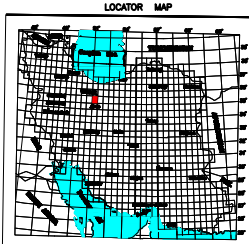
35
00'

Aminabad

Asadabad



Scale 1/100,000



LEGEND

- $X \pm 0.25$
- $X \pm 0.25, X \pm 0.35$
- $X \pm 0.35, X \pm 0.35$
- $X \pm 0.25, X \pm 0.25$
- $X \pm 0.35, X \pm 0.35$
- \downarrow Drilling
- \downarrow Groundwater Sample
- \circlearrowleft Heavy Mineral Sample
- \ast Assay - checking Sample
- \times Assay Sample
- \times Railway
- \odot Village or City
- \square One Indication
- \times Abandoned Mine
- \ast Mine in Operation

GARNET

**MINISTRY OF INDUSTRIES & MINES
GEOLOGICAL SURVEY AND MINERAL
EXPLORATION OF IRAN**

*Geochemical Exploration Department
(GED)*

**HEAVY MINERALS
DISTRIBUTION MAP**

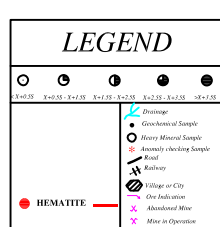
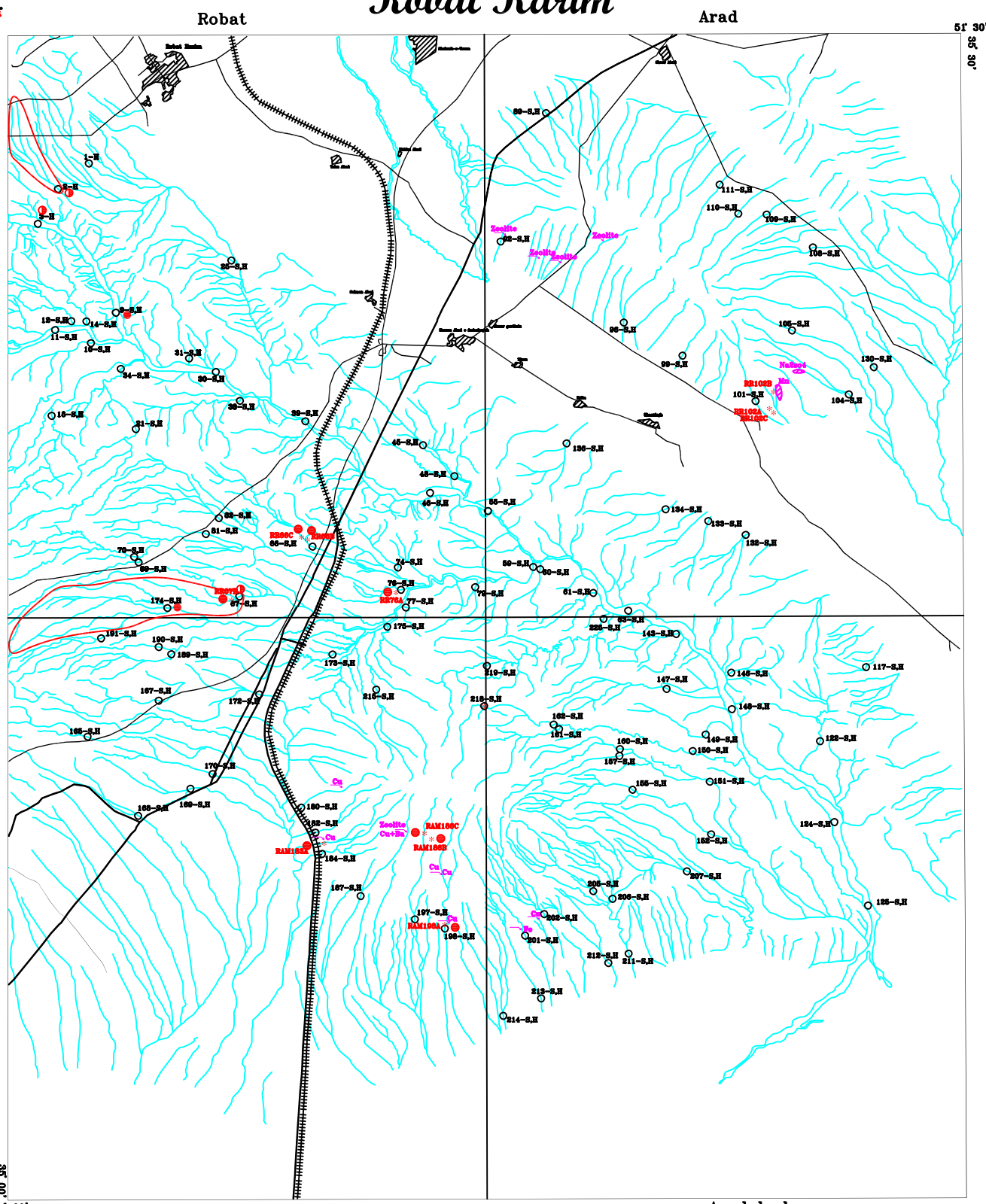
جدول ۴۷: شرح ناهنجاریهای خانواده آهن

ردیف	شماره نمونه	عیار (ppm)	موقعیت جغرافیایی	لیتولوژی	کانی های همراه	حجم مطالعه شده (cc)
1	9	55476 49682	باخترا شمال باخترا برگه رباط	P ^{I-Q} , Q ^t , M ₃	پیریت اکسید، اسفن، آندالوزیت	14 10
2	174	46915	جنوب برگه‌ی رباط	Q ^t , M ₂	باریت، اسفن، آندالوزیت	15
3	150 148	24266 16986	شمال برگه‌ی اسدآباد	M ₃ , Q ^t	آندالوزیت، گارت	10 10
4	70	18442	جنوب باخترا برگه‌ی رباط	Q ^t , M ₂	اسفن	15
5	89	17749	شمال باخترا برگه‌ی آراد	Q ^t	-	15
6	18	17472	باخترا برگه‌ی رباط	M ₃	اسفن	15
7	38	16640	مرکز برگه‌ی رباط	M ₃	-	15
8	61	16640	جنوب باخترا برگه‌ی آراد	M ₃ , Q ^t	آندالوزیت، اسفن	15

جدول ۴۸: شرح ناهنجاریهای کانیهای خانواده آهن در مرحله کنترل ناهنجاری

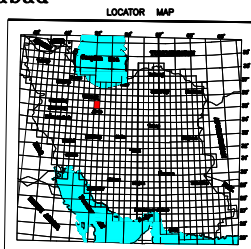
ردیف	شماره نمونه	عیار (ppm)	موقعیت جغرافیایی	لیتولوژی	کانی های همراه	حجم مطالعه شده (cc)
1	RR 66B RR 66C RR 67B	3339 3882 16224	جنوب برگه رباط	M ₃	آندالوزیت، سلسین	13.5 14 13
3	RR 76A	3494	شمال برگه‌ی اسدآباد	M ₃ , Q ^t	خانواده مس، پیرولوزیت، گارنت، باریت و نقره	7
4	RR.M 186C RAM 186B RAM 198A	1314 2995 1358	خاور برگه‌ی امین آباد	P _I ^Q , Q	خانواده مس، سرب، سلسین، استیننیت، باریت و پیرولوزیت.	6 8 7
5	RR 101A RR102C	4118 3813	مرکز برگه‌ی آراد	Q ^t	سلسین	11 10
7	RAM 183A	763	مرکز برگه‌ی امین آباد	P _I ^Q , Q	خانواده مس و سلسین	3

Robat Karim



**MINISTRY OF INDUSETRIES & MINES
GEOLOGICAL SURVEY AND MINERAL
EXPLORATION OF IRAN**
**Geochemical Exploration Department
(GED)**
**HEAVY MINERALS
DISTRIBUTION MAP**
Scale 1:100,000 Date: 2008 Map No. 38

5000 0 5000 10000 m
Scale 1:100,000
Coordinate System UTM (Hayford 1909)



جدول ۴۹: شرح ناهنجاریهای کانی پیروولوزیت

ردیف	شماره نمونه	عیار (ppm)	موقعیت جغرافیایی	لیتولوژی	کانی های همراه	حجم مطالعه شده (cc)
1	111	17.92	باخترتا شمال باختر برگه رباط	P ^{I-Q} , Q ^t , M ₃	پیریت اکسید، اسفن، آندالوزیت	7
2	96	pts	جنوب برگه‌ی رباط	Q ^t , M ₂	باریت، اسفن، آندالوزیت	4.5
3	147	pts	شمال برگه‌ی اسدآباد	M ₃ , Q ^t	آندالوزیت، گارنت	2
4	198	pts	خاور برگه‌ی امین آباد	P ^{I-Q} , Q	خانواده مس، سرب، آهن، سلسیتین و استیننیت	10
5	201	Pts	شمال باختر برگه‌ی آراد	Q ^t	-	8.5
	202	Pts				3
	205	Pts				5
	206	Pts				5
	207	pts				6

جدول ۵۰: شرح ناهنجاریهای کانی پیرولوزیت در مرحله کنترل ناهنجاری

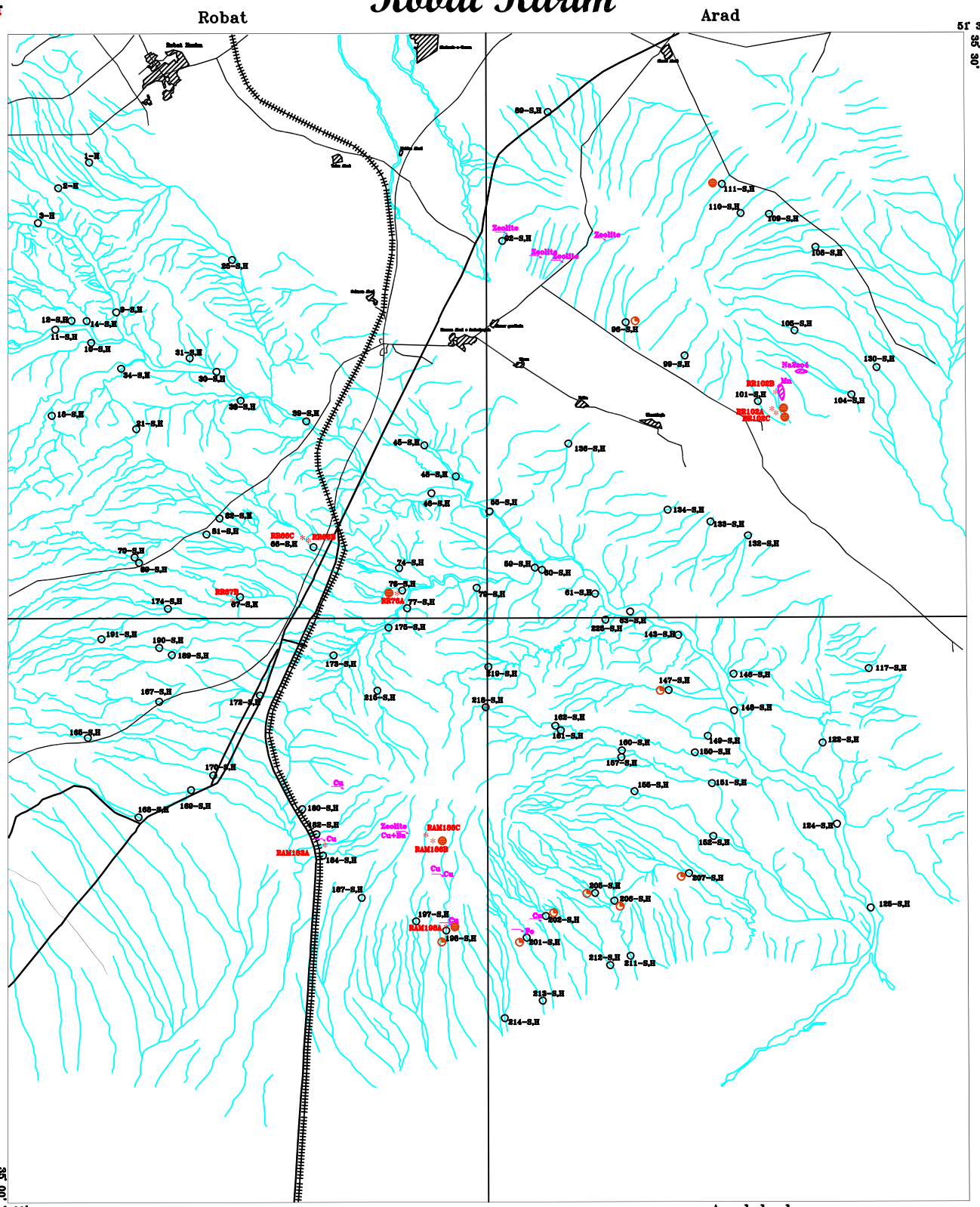
ردیف	شماره نمونه	عیار(ppm)	موقعیت جغرافیایی	لیتولوژی	کانی های همراه	حجم مطالعه شده(cc)
1	RAM 198A RAM 186B	90 pts	خاور برگه‌ی امین آباد	Pl ^Q , Q	خانواده مس، سرب، آهن، سلسیئن، استینیت و باریت	7 8
2	RR 76A	pts	شمال برگه‌ی اسدآباد	M ₃ , Q ^t	خانواده مس، آهن، باریت، نقره، گارنت	7
2	RR 101A RR102C	Pts pts	مرکز برگه‌ی آراد	Q ^t	سلسیئن، خانواده آهن	11 10



تصویرشماره ۵: کانی پیرولوزیت در نمونه RAM 198A

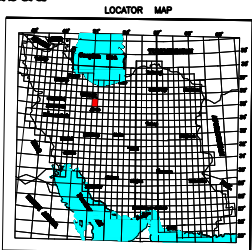
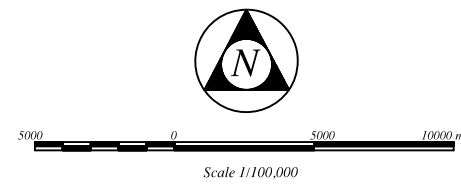


Robat Karim



MINISTRY OF INDUSTRIES & MINES
GEOLOGICAL SURVEY AND MINERAL
EXPLORATION OF IRAN
Geochemical Exploration Department
(GED)
**HEAVY MINERALS
DISTRIBUTION MAP**

Scale: 1:100,000 Date: 2008 Map No. 38



جدول ۵۱: شرح ناهمجاريهای کانی سلسستین

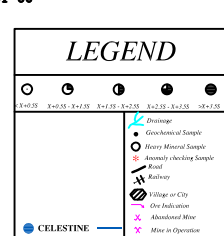
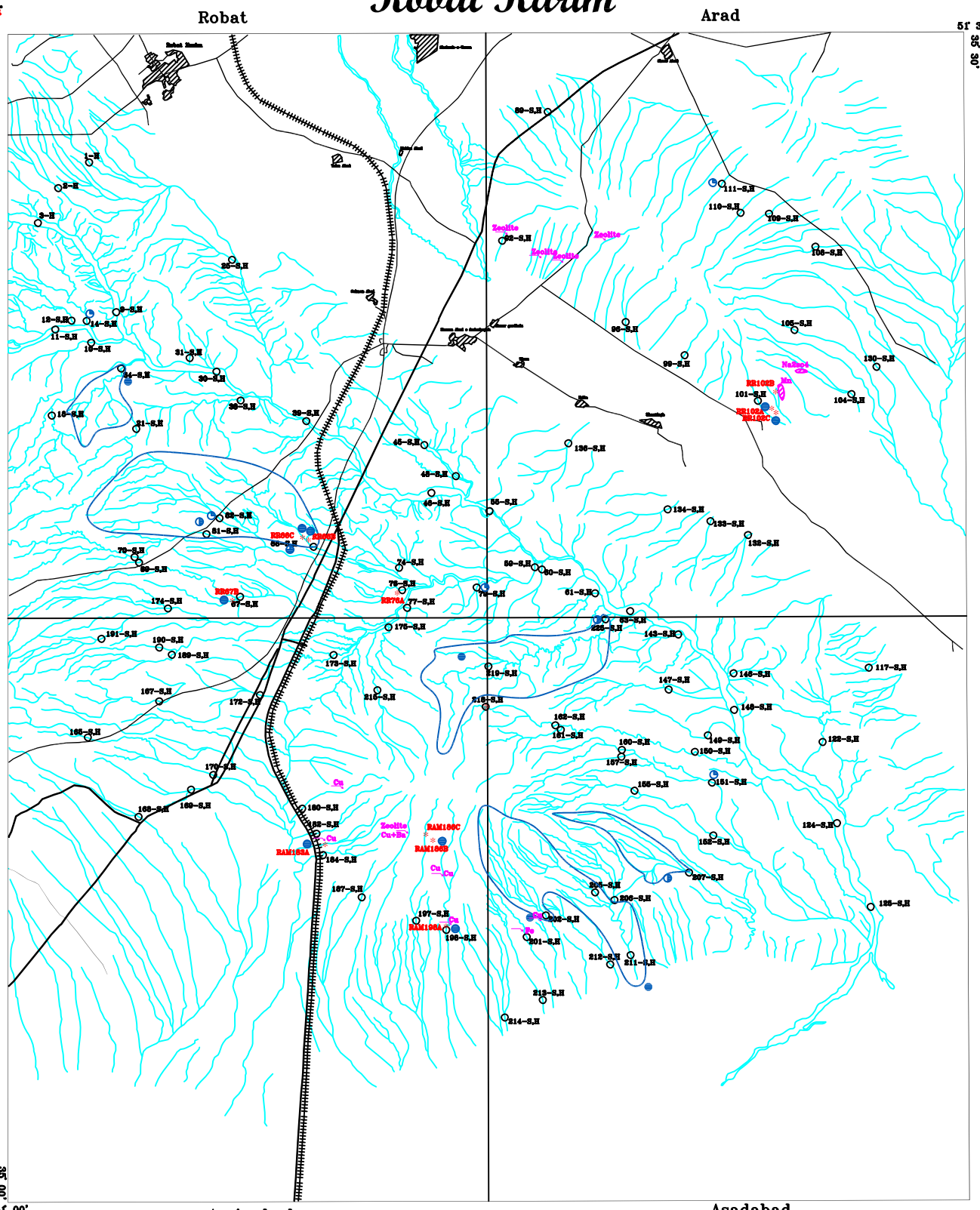
ردیف	شماره نمونه	عیار (ppm)	موقعیت جغرافیایی	لیتولوژی	کانی های همراه	حجم مطالعه شده (cc)
1	206 211 207	400 400 192	باخته برگه‌ی اسدآباد	Q	خانواده مس، باریت، آندالوزیت	10 10 10
2	219 225	349 160	شمال خاور برگه‌ی امین آباد	M ₃	باریت، گارنت، اسفن	11 15
3	34	297	باخته برگه‌ی رباط	M ₃	گارنت	17
4	66 81 82	258 213 128	جنوب برگه رباط	M ₃	آندالوزیت	13 14 18
5	111	149	مرکز تا شمال خاور برگه‌ی آراد	P ^{l-Q} , Q ^t , M ₃	باریت، خانواده سرب	15
6	79	120	جنوب خاوری برگه‌ی رباط	M ₂	گارنت	10
7	14	106	باخته برگه رباط	P ^{l-Q} , Q ^t , M ₃	-	20

جدول ۵۲: شرح ناهنجاریهای کانی سلسین در مرحله کنترل ناهنجاری

ردیف	شماره نمونه	عیار (ppm)	موقعیت جغرافیایی	لیتوژوژی	کانی های همراه	حجم مطالعه شده (cc)
1	RR 101A RR102C	2258 186	مرکز برگه‌ی آراد	Q ^t	خانواده آهن	11 10
2	RR 66C RR 66B RR 67B	821 702 520	جنوب برگه رباط	M ₃	آندالوزیت، سلسین	14 13.5 13
	RAM 198A RAM 186B	700 106	خاربرگه‌ی امین آباد	Pl ^Q , Q	خانواده مس، سرب، آهن، باریت، استیبنیت و پپرولوزیت	7 8
3	RAM183A	160	مرکز برگه‌ی امین آباد	Pl ^Q , Q	خانواده آهن و مس	3



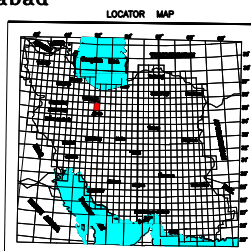
Robat Karim



MINISTRY OF INDUSETRIES & MINES
GEOLOGICAL SURVEY AND MINERAL
EXPLORATION OF IRAN
Geochemical Exploration Department
(GED)
**HEAVY MINERALS
DISTRIBUTION MAP**

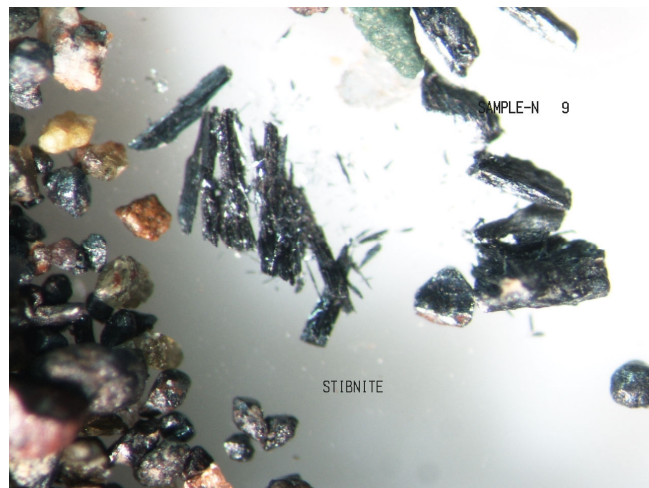
Scale 1:100,000 Date: 2008 Map No. 38

5000 0 5000 10000 m
Scale 1:100,000
Coordinate System UTM (Hayford 1909)



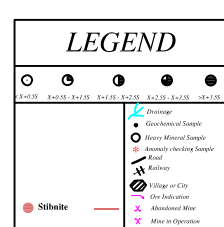
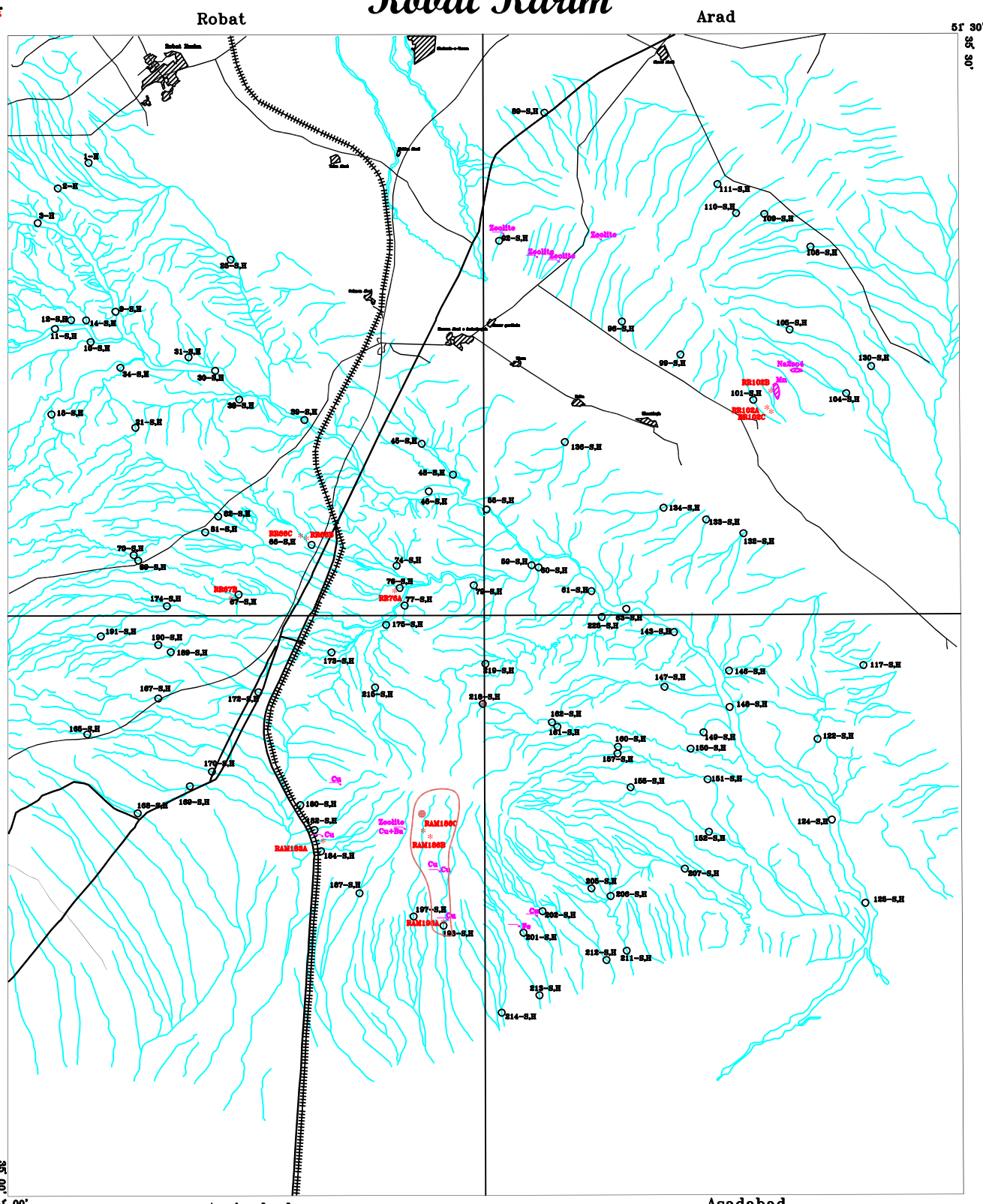
جدول ۵۳: شرح ناهنجاریهای کانی استیبنیت در مرحله کنترل ناهنجاری

ردیف	شماره نمونه	عیار (ppm)	موقعیت جغرافیایی	لیتولوژی	کانی های همراه	حجم مطالعه شده (cc)
1	RRM 198A RRM 186C RAM 186B	9.016 Pts Pts	خاور برگه‌ی امین آباد	Pl ^Q , Q	خانواده مس، سرب، آهن، باریت، سلسیتین و پیرولوزیت	7 6 8



تصویر شماره ۶ : کانی استیبنیت مشاهده شده در نمونه RAM 186B

Robat Karim



MINISTRY OF INDUSETRIES & MINES
GEOLOGICAL SURVEY AND MINERAL
EXPLORATION OF IRAN
Geochemical Exploration Department
(GED)
**HEAVY MINERALS
DISTRIBUTION MAP**

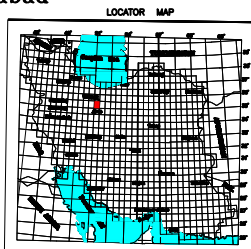
Scale 1:100,000 Date: 2008 Map No. JS

N

5000 0 5000 10000 m

Scale 1:100,000

Coordinate System UTM (Hayford 1909)





بخش چهارم: تعبیر، تفسیر و نتیجه گیری



۴-۱- تعبیر، تفسیر، نتیجه گیری

بر پایه نقشه ۱:۱۰۰۰۰۰ زمین شناسی رباط کریم رخساره های سنگی در برگیرنده دراین محدوده اکتشافی بترتیب انتشار و اهمیت زایش کانه های گوناگون، شامل واحد های سنگی زیر می باشد:

در این منطقه گدازه ها و سنگهای آذرآواری متعلق به ائوسن بالایی گسترش قابل توجهی داشته و سنگهای قدیمی تراز این زمان رخمنوی ندارند. سنگهای موجود تنوع قابل ملاحظه ای داشته و شامل انواع بازیک، میانه و اسیدی می باشند. بخش عمده ای این سنگها را آندزیت پیروکسن دار، آندزیت بازالتی، توفهای تراکیتی و رویلیتی وایگنبریت تشکیل می دهند. از نظر زمین شناسی منطقه رباط کریم متعلق به دوران ائوسن و کواترنری (دوران سوم و چهارم زمین شناسی) می باشد.

توده های بزرگی از گدازه ای آندزیتی و سنگهای آذرآواری مربوط به سازند کرج (E^7) با سن ائوسن پایانی و میانی در قسمت مرکز، شمال باختری و شمال خاوری ورقه ای یکصدهزارم رباط کریم دیده می شود. رنگ گدازه های آندزیتی تیره و توف های سازند کرج سبز تا سبز تیره می باشد.

شیل، ماسه سنگ، سنگهای تبخیری، سنگ آهک و مارن، گلسنگ گچ دار سازند قرمز فوکانی **Upper Red Formation** با سن میوسن، بخش میانی برگه ای رباط کریم را با راستای شمال باختری – جنوب خاوری پوشانده است.

کنگلومرای سازند هزار دره (M_{pl}) با سن میو-پلیوسن که در شمال خاوری ورقه رخمنون دارد و کنگلومرای سازند کهریزک (Pl_0) با سن پلیو-پلیستوسن که از باختر تا جنوب خاوری ورقه گسترش دارد.

روندهای سنگی و سازندهای موجود در ورقه رباط کریم شمال باختری – جنوب خاوری است که منطبق بر روند آلپی ایران زمین می باشد.

بررسی تاریخچه تحول ساختاری منطقه نشان می دهد که این منطقه نیز به پیروی از زون ساختاری ارومیه-دختر تحت تاثیر یک سیستم برشی راستگرد تکوین یافته است. در سیستم مذکور گسل های مختلفی به وجود آمده است که تنها در یک مورد از نوع کششی است و راستای این دسته تقریباً شمالی-جنوبی (**N10-20W**) است. مقایسه انجام شده بین ساختار منطقه و راستای رگه های منگنز نشان می دهد که ضخیم ترین و اقتصادی ترین رگه های موجود، منطبق بر گسل های کششی منطقه بوده و رگه های دیگر نیز بر گسل های دیگر از جمله گسل های نوع **R** و **P** (از گسل های اصلی سیستم برشی راستگرد) انطباق دارند. ضخامت رگه های اخیر بسیار کم بوده و فاقد ارزش اقتصادی اند. تحقیق حاضر نشان می دهد که ساختار منطقه نقشی مهم و اساسی در تمرکز ماده معدنی بر عهده داشته است و بنابراین توجه به ساختار منطقه در مناطق مشابه می تواند به عنوان ابزار مناسبی برای اکتشاف مدنظر قرار گیرد. این ابزار، به ویژه برای سایر کانسارهای رگه ای موجود در زون ارومیه-دختر حائز اهمیت است.



مطالعات کانی سنگین انجام شده آثار و شواهدی از زایش کانی های طلا، مس، سرب و روی، سلسیتین، گارنت، منگنز، هماتیت و باریت را نشان داده است.

۴-۲- معرفی مناطق امید بخش

اکتشافات ژئوشیمیایی و کانی سنگین در محدوده ورقه یکصد هزارم قم منجر به دستیابی به نواحی مستعد معدنی شد که در فاز کنترل ناهنجاری تحت بررسی های دقیق تری شامل: جستجوی مناطق دگرسانی و کانی سازی شده، بررسی لیتولوژیکی مناطق امید بخش، برداشت و مطالعه ای نمونه های کانی سنگین، برداشت و آنالیز نمونه های سنگی مینرالیزه از محدوده ای ناهنجاری های بدست آمده قرار گرفت. پی جویی های چکشی و اکتشافات نیمه تفصیلی تا تفصیلی در مراحل بعدی می تواند به شناخت دقیق تر محدوده کانساری منجر شود.

در ادامه مناطق امیدبخش به اختصار معرفی می شوند. یادآوری می شود که مناطق معرفی شده بدون اولویت بندی شماره گذاری شده است:

۱- محدوده ناهنجاری I در مرکز تا خاور برگه امین آباد با لیتولوژی رخنمون توده های ولکانیکی و پیروکلاستیک ائوسن بداخل (مارن و آهک سازند قم (میوسن).

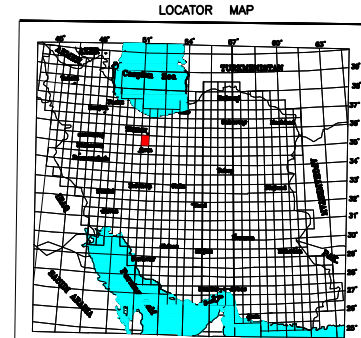
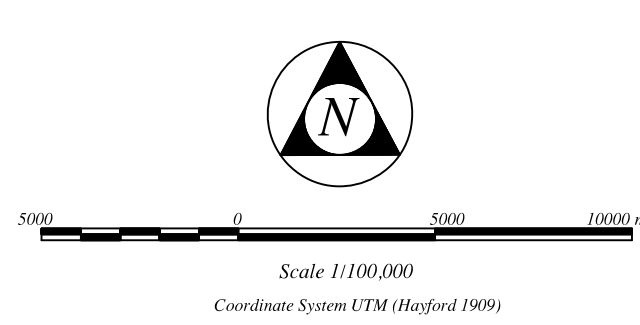
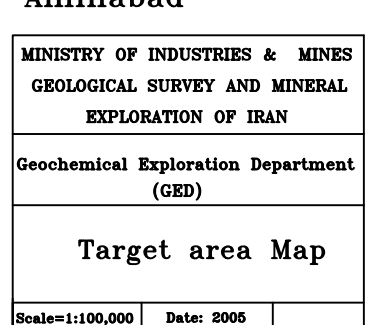
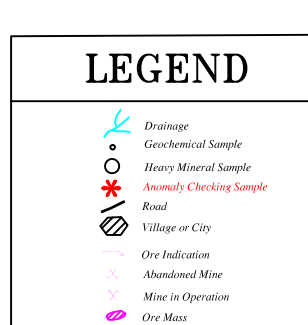
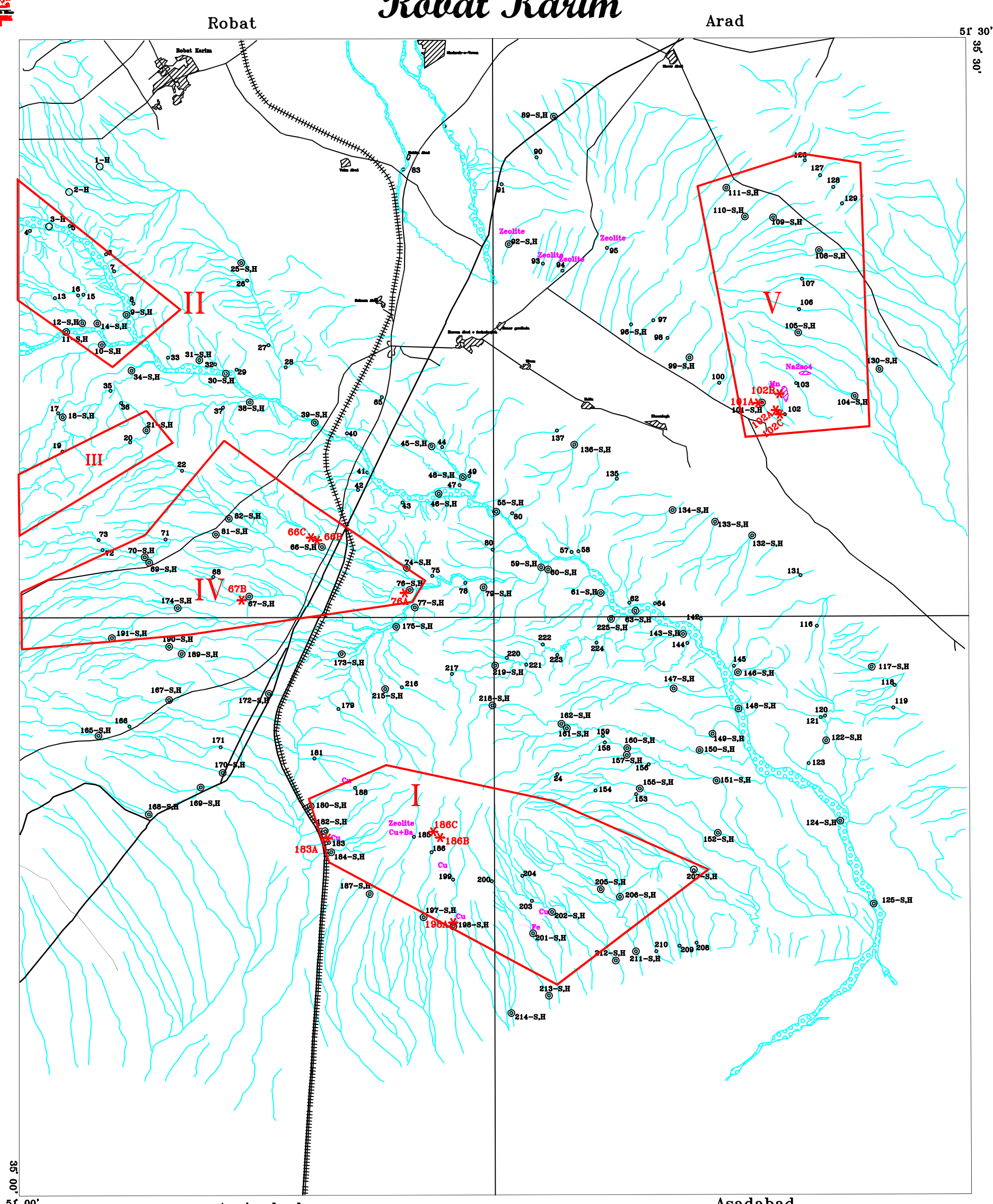
در مرحله ناحیه ای طلا با مقدار **2.9 ppb** در نمونه ژئوشیمی شماره **184** و مقدار **2.7 ppb** در نمونه ژئوشیمی شماره **197** گزارش شده است. عدم وجود ذرات طلا در نمونه های کانی سنگین مربوطه می تواند به دلایل متعددی از جمله ریز دانه بودن ذرات طلا و دوری از سنگ منشا و یا آزاد نشدن آن از ساختمان سنگ منشا و... باشد.

چندین ذره مس در محل نمونه های **197** و **198** گزارش شده است (تعداد ذرات گزارش نشده است)، ولی در آنالیز ژئوشیمی نمونه ی مذکور مقدار بالایی از عنصر مس (بالاتر از حد زمینه) گزارش نشده است. دلایل این امر می تواند مربوط به خطای آزمایشگاهی و ... باشد. چنین مواردی اهمیت و لزوم کنترل ناهنجاری را به وضوح اثبات می کند.



تصویر شماره ۷: کن tact کن توده ولکانیکی و پیروکلاستیک(ائوسن) با مارن و آهک سازند قم(میوسن)، محدوده آنومالی شماره ۱، نمونه ۱86C ، دید بسمت شمال

Robat Karim





اندیس هایی از مس در محل نمونه های ۱۹۷، ۱۸۸، ۱۸۳، ۱۹۹، ۱۹۸ و نیز اندیس مس، باریت و زئولیت در محل نمونه ۱۸۵ گزارش شده است(نقشه زمین شناسی ۱:۲۵۰۰۰ تهران). نمونه برداری های انجام شده در مرحله کنترل ناهنجاری ذرات مس، خانواده آهن، منگنز، خانواده سرب، استیبنیت را در نمونه های RAM 183A ,RAM186B, RRM186C تایید نموده است.



تصویر شماره ۱: آهک های فسیلدار (قالب داخلی گاستروپودا، الیگومیوسن)، شمال خاوری محدوده آنومالی ۱، نمونه شماره ۱۸۶B.

دید بسمت شمال خاور

همچنین در مطالعات کانی سنگین نمونه های ۲۱۸، ۲۰۷، ۲۱۱، ۱۵۵، ۲۰۵ حاوی مقادیر قابل توجهی از مس، سلسیtin، باریت و کمی پیروولوزیت بوده است.

۲- محدوده ی ناهنجاری II در باخته برگه رباط کریم، با لیتولوژی آهک مارنی (قم) و رسوبات عهد حاضر واقع شده است. گسلی با روند شمال باخته _ جنوب خاوری و ۲ گسل کوچک با روند خاوری _ باخته بر این آنومالی منطبق می باشند که آنومالی های بدست آمده در منطقه را توجیه می کند.

در فاز ناحیه ای با برداشت ۹ نمونه ی ژئوشیمی و ۷ نمونه کانی سنگین به شماره های ۱۱، ۱۰، ۱۱، ۱۲، ۱۳، ۱۴، ۱۵، ۱۶ نتایج زیر بدست آمد:

در آنالیز ژئوشیمی نمونه های ۳ و ۶ مقدار **3ppb** طلا برای هردو گزارش شده است. آنالیز ژئوشیمی در بالاترین مقادیر در این محدوده برای نمونه ۱۳ عبارتند از: **Ag=0.7, As=25.05, Fe=195400, Mn=2408, U=12.04** در مطالعات کانی سنگین نمونه های فوق کانی های خانواده ی آهن، آندالوزیت و سلسیtin در نمونه ی ۱۱ گزارش شده است.

۱- محدوده شماره III در باخته برگه رباط . در آنالیز ژئوشیمی نمونه ۲۱ مقدار **3.4ppb** طلا گزارش شده است. مطالعات کانی سنگین تنها مبنی بر وجود سلسیtin در محل می باشد و هیچگونه آنومالی دیگری را در این نمونه و نمونه های اطراف معرفی نکرده است. تنها دلیل افزایش مقدار طلا در این نمونه می تواند وجود یک گسل کوچک با روند شمال باخته-جنوب خاور باشد و هیچگونه شواهد دیگری دال بر کانی سازی در محل مشاهده نشده است.



-۴- محدوده‌ی ناهنجاری IV در جنوب با ختر برگه رباط کریم: شامل ۱۳ نمونه ژئوشیمی و ۸ نمونه کانی سنگین

$Zn=278.7$, $U=12.96$, $Hg=0.127$, $Pb=54.64$, $.Sr=1049$, آنالیز ژئوشیمی نمونه ۱۷۴ عبارتست از:

$Fe=140900$, $Ag=0.56pm$, $Cu=45.75$, $Ba=1328$,

مطالعات کانی سنگین باریت، خانواده آهن، ایلمنیت را در نمونه ۶۷، ۱۷۴، طلا را در نمونه ۶۶، سلسیتین را در نمونه‌های ۶۶، ۸۱، ۸۲، نشان داده است.

نمونه برداری‌های انجام شده در مرحله کنترل ناهنجاری خانواده آهن، سلسیتین و را در نمونه‌های ۶۶B

۶۶B, RR67B, RR76A ذرات مس، نقره و پیروولوزیت را در نمونه ۶۶B, RR67B, RR76A باریت را در نمونه‌های ۶۶B, RR76A گزارش نموده است.

باتوجه به مشاهدات صحرایی و نمونه‌های مینرالیزه‌ی برجا و نابرجای برداشت شده و مطالعه‌ی ماکروسکوپی آنها در شمال شرق برگه‌ی امین آباد وجود کانیهای خانواده‌ی مس، باریت و آهن و نیز رکه‌های سیلیسی در فواصل بین کنتاکت های آهک و توده‌های آذرین و دگرسان، وجود ناهنجاری مس و طلا در آن محدوده ناهنجاری بدست آمده تایید شده و پیشنهاد مطالعات گسترده تری در این محدوده داده می‌شود.

-۵- محدوده‌ی وسیع ناهنجاری V در شمال برگه‌ی آراد با لیتولوژی رخنمون توده‌های ولکانیکی و پیروکلاستیک ائوسن

داخل کنگلومرای سازند هزار دره (میوپلیوسن) و رسوبات عهد حاضر، با ۲۸ نمونه ژئوشیمی و ۰۰ نمونه کانی سنگین

$U=11.05$, $Mn=3047$ در نمونه ۱۰۲

$Ag=0.78$, $U=9.51$ در نمونه ۱۲۸

$As=78.34$, $Pb=145.88$, $Zn=296.8$ در محل نمونه ۱۰۹

$Cu=65.66$ در محل نمونه شماره ۱۲۷

$Fe=364000ppm$, $Pb=150.00ppm$, $Ag=0.93ppm$, $Cu=112ppm$, $Zn=401ppm$, و بالاخره،

$U=22.5ppm$ در محل نمونه ۸۹ می‌باشد.



تصویر شماره ۹: در فاصله ۴۰۰ متری نمونه ۱۰۲A، تپه‌های منگنز ژیپس دار سیاهرنگ، دید بسمت جنوب خاور

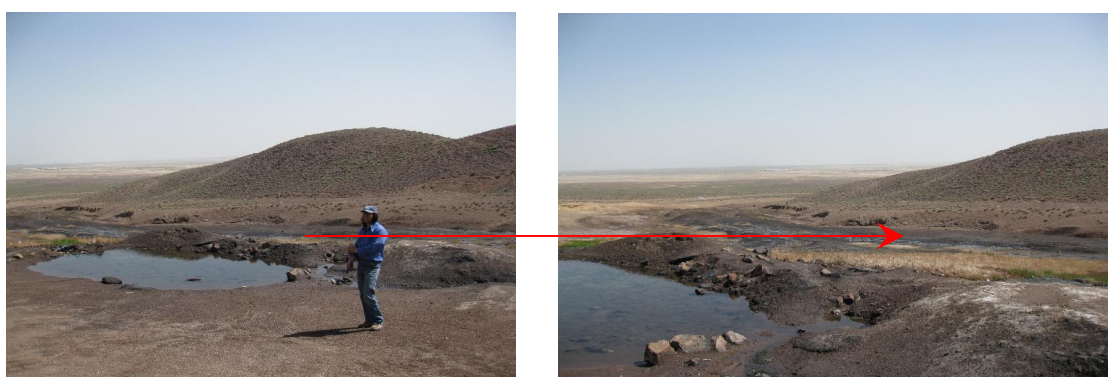


تصویر شماره ۱۰: زئولیت بفراوانی دیده می شود. هماتیت و آثار هماتیتی شدن در محل آشکار است. رگه های باریک کلسیتی مشاهده شد.
دید بسمت جنوب خاور، محل آنومالی شماره ۵ نمونه ۱۰۱A

نشانه هایی از زئولیت در محل نمونه های ۹۲، ۹۳، ۹۴، ۹۵ و نیز ان迪س های منگنز و سولفات سدیم بترقیب در محل نمونه های ۱۰۲ و ۱۰۳ دیده می شود (نقشه زمین شناسی ۱:۲۵۰۰۰۰ تهران) و (تصویر شماره ۱۰). محل ناهنجاری های معروفی شده با محل مجموعه گسله های موجود در توده آذرین (باروند های شمالی- جنوبی و خاوری- باختری) انتباق دارد که می تواند یکی از دلایل کانی سازی های احتمالی درمنطقه باشد.



تصویر شماره ۱۱: منطقه (احتمالی) منگنز و ژیپس دار سیاهرنگ، دید بسمت شمال باخته ۱۰۲A



تصویر شماره ۱۲: چشمیه میان توده های منگنز (احتمالی)، دید بسمت شمال باخته، بالا دست نمونه های شماره ۱۰۲B



در مرحله کنترل ناهنجاری نمونه های **101A, 102C** از محدوده های ناهنجاری (تصویر های ۱۰ و ۱۱) برداشت شدند. مطالعه کانی سنگین این نمونه ها وجود کانیهای خانواده آهن، سلسیتین و منگنز را تایید نموده است. نتایج بدست آمده از آزمایشگاه **XRD** کانیهای مغنتیت، زئولیت، لامونیت را برای نمونه **102A** و **FELDSPAR+GYPSUM+QUARTZ+ LAUMONTITE+ MAGNETITE** مگنتیت، لامونیت و ژپس را برای نمونه **102B** گزارش نموده ولی منگنز و سلسیتین را تایید نکرده است (ضمیمه ۶).

نتایج فاز کنترل ناهنجاری

پس از پیمایش صحرایی و مطالعه لیتولوژی و بررسی ساختارهای زمین شناسی منطقه، تعداد ۸ نمونه سنگ (مینرالیزه) نابرجا و برجا و همچنین تعداد ۱۰ نمونه کانی سنگین از محدوده های پیش بینی شده و مستعد، برداشت شد و پس از شستشو و بروموفرم گیری و جدایش توسط مگنت، در آزمایشگاه کانی سنگین سازمان زمین شناسی، مورد مطالعه قرار گرفت که نتایج حاصله از این بررسی ها و مطالعات (جدول نتایج کیفی کانی سنگین به پیوست آمده است)، آنمالی های بدست آمده را دقیقاً مورد تأیید و تکمیل قرار می دهد.

مقایسه کیفی مقادیر بدست آمده در نمونه های برداشت شده در فاز ناحیه ای، با نمونه های برداشت شده در مرحله کنترل ناهنجاری ها (جدوال پیوست ۵) به روشنی نشان می دهد که محدوده های **I, IV, V** (با توجه به نقشه های پیوست آنمالیهای کانی سنگین) از پتانسیل لازم جهت بررسی های بیشتر در فاز ۱:۲۵۰۰۰ برخوردار می باشند

۴-۳- پیشنهاد

با توجه به داده های حاصل از تجزیه ژئوشیمیایی و نیز کانی سنگین در ورقه $1:100000$ رباط کریم و اطلاعات و نقشه های بدست آمده از پردازش داده های فوق، هم چنین بررسی های کنترل ناهنجاری های معرفی شده در گزارش حاضر جهت اجرای پروژه های بعدی، موارد زیر پیشنهاد می شود:

۱. در محدوده های ناهنجار **V, IV, I** بررسی دقیق تر به منظور کوچک تر نمودن محدوده صورت گرفته و اکتشافات ژئوشیمیایی در مقیاس ۱:۲۵۰۰۰ صورت گیرد.
۲. بررسی های دقیق ژئوفیزیکی واکتشافات چکشی در محدوده های حاصل از مرحله ای قبل.

منابع و مأخذ

۱. حقی پور. علی، ۱۳۶۵، نقشه زمین شناسی ۰۰۰، ۲۵۰:۱ تهران، سازمان زمین شناسی و اکتشافات معدنی کشور.
۲. حسنی پاک. علی اصغر، شرف الدین. محمد، ۱۳۸۰، تحلیل داده های اکتشافی، انتشارات دانشگاه تهران .
۳. شرکت آمارپردازان(۱۳۷۷)، راهنمای کاربران **SPSS(6)**، مرکز فرهنگی انتشاراتی حامی.
۴. پرند. سیمین، روشهای اکتشافات ژئوشیمیایی ذخایرمعدنی (۱۳۷۶)، گزارش شماره ۶۲
۵. حسنی پاک. علی اصغر، اصول اکتشافات و ژئوشیمیایی (۱۳۷۰)، انتشاراتدانشگاه تهران.
۶. ترجمه علیرضایی. سعید ، زمین شناسی کانسارها(۱۳۷۸)، انتشارات نشردانش امروز .

1. konrad B. Krauskopf (1985): Intoduction to geochemistry, second edithion, pp.405, 482,544-545.
2. Richard .F. Stanford, Charles.T. Pierson& Robert. Acrovelli (1993): An Objective Replacement Method for Censord Geochemical Data.Mathematical Geology, Vol.25, No.10, pp59-80.
3. R. Mccab, M. Sandi lands and A. R. H. S: Swan (1975): Introduction Geological Data Analysis.
4. Howarth.A.J, and Earle.S.A.M (1979): Application of a Generalized Power Transformation to Geochemical Data, mathematical Geology, Vol.2, No.l, pp.45_ 58.
5. Govett, G.J.S (1986): Handbook of Exploration Geochemistry, Vol.2, Elsevier.
6. Joseph. F.Hair, Jr. Rolph, E.Anderson (1995): Multivariate Data Analysis, Prentic Hall International. Ino.
7. M.Thompson, R. J. Howarth (1977) A new approach to the estimation of analytical precision. Journal of geochemical exploration, vol.9, (1978), 23-30.

پیوستا

APPENDIX 1 : THE ANALYSIS RESULTS OF GEOCHEMICAL SAMPLES IN ROBATKARIM SHEET(1:100,000)

APPENDIX 1 : THE ANALYSIS RESULTS OF GEOCHEMICAL SAMPLES IN ROBATKARIM SHEET(1:100,000)

Row	Sample.No	X	Y	Au	Ag	Al	As	Ba	Be	Bi	Ca	Cd	Ce	Co	Cr	Cs	Cu	Fe	Hg	K	La	Li	Mg	Mn	Mo	Na	Nb	Ni	P	Pb	Rb	S	Sb	Sc	Sr	Te	Th	Ti	U	V	W	Y	Zn	Zr					
		ppb	ppm	ppm	ppm	ppm	ppm	ppm	ppm	ppm	ppm	ppm	ppm	ppm	ppm	ppm	ppm	ppm	ppm	ppm	ppm	ppm	ppm	ppm	ppm	ppm	ppm	ppm	ppm	ppm	ppm	ppm	ppm	ppm	ppm	ppm	ppm	ppm											
89	RA_91	523112	3921630	1.7	0.3517	64610	5.098	480.8	1.36	2.615	75220	0.3503	42.67	24.05	110.4	9.325	53.93	73400	0.125	14040	19.56	17.59	12420	1275	1.444	14030	19.95	25.81	798.9	28.8	41.39	392	2.163	18.48	3.8	675.1	0.3738	18.42	8146	1.196	5.828	259.8	1.468	25.62	95.98	411.1			
90	RA_92	523453	3918760	2.4	0.3782	66430	6.217	476	1.369	3.2	70740	0.3712	43.69	24.15	80.91	8.319	104.6	80400	0.1415	14030	19.96	22.73	15700	1410	1.009	16000	20.85	26.58	1003	28.1	43.04	529.4	2.498	20.57	4.7	555.9	0.3482	19.49	7385	1.193	6.761	248	1.323	27.35	106	454.3			
91	RA_93	525088	3917820	1.7	0.3372	70010	6.742	448.8	1.399	2.447	57870	0.3097	44.06	19.24	59.66	5.821	71.55	64330	0.1363	16310	20.23	23.18	17270	1136	1.224	19290	16.99	30.64	1028	30.8	51.73	340.3	1.761	17.61	3.9	491.5	0.274	16.07	5378	1.087	4.687	167.5	1.218	26.43	98.86	446.8			
92	RA_94	526025	3917480	2.1	0.3316	74800	5.584	494	1.42	3.736	67300	0.3635	49.59	31.58	1107	11.45	109.2	107500	0.1512	14660	21.47	20.35	19210	1694	1.171	16990	27.54	32.08	1166	42.22	42.22	486.4	3.301	25.65	3.5	600.1	0.4539	25.3	3.981	1.443	7.352	386.2	1.66	29.09	149.9	408.3			
93	RA_95	528158	3918570	1.7	0.3231	59600	12.53	572	1.413	2.561	82720	0.2632	48.7	14.52	60.17	5.098	27.23	51740	0.1109	15370	24.55	25.19	8449	1019	1.189	14790	14.32	26.44	607.1	2.56	53.45	4890	2.112	11.47	3.1	624.1	0.1784	13.58	4812	0.9229	4.789	141.2	1.402	22.23	84.33	361			
94	RA_96	529312	3914910	1.2	0.2572	68420	8.314	542	1.668	1.949	68110	0.2667	46.32	14.99	59.83	5.335	37.41	51380	0.1044	21110	23.97	25.97	12750	1099	1.364	16290	14.44	30.95	848	30	68.89	1141	1.628	13.73	3	392.6	0.1726	13.59	4851	0.9964	4.193	140	1.568	26.99	103.6	416.4			
95	RA_97	530376	3915100	1.5	0.4451	67590	7.917	540.1	1.804	1.853	59260	0.3121	49.52	13.98	66.28	4.834	37.97	47450	0.0972	2430	25.59	28.69	13600	1084	1.658	15230	14.35	37.43	1054	46.31	77.14	793.3	1.611	12.42	3.6	323.7	0.1506	13.14	4487	0.9499	4.455	115.5	1.722	27.78	119	417.6			
96	RA_98	531058	3914260	2.2	0.3369	63650	7.884	599	1.767	1.795	52650	0.2699	47.35	12.43	59.66	4.947	30.37	44820	0.0925	23720	25.4	23.47	10210	1124	1.817	16060	13.18	26.78	881.8	43.1	79.1	622	1.345	10.95	3.9	306.1	0.1831	13.04	4377	0.8978	4.897	108.8	1.793	26.57	126.6	424			
97	RA_99	532109	3913320	1.3	0.2684	63710	9.019	678.5	1.673	1.647	61880	0.3211	48.02	13.47	57.08	4.61	33.92	46460	0.0981	20890	24.11	26.33	13100	1102	1.288	14680	13.24	31.5	1029	3.43	70	803	1.161	12.02	3.6	398.6	0.1417	12.29	4419	0.9203	5.067	115.9	1.71	26.73	118.5	366.5			
98	RA_100	533534	3912110	1.3	0.3478	70390	8.134	537	1.771	1.933	63670	0.3107	52.31	13.49	61.23	5.019	35.41	45950	0.1038	23410	26.64	29.38	13160	1012	1.466	16940	14.3	31.54	1007	28.4	83.4	471.9	1.298	13.29	3.4	343.1	0.1635	13.15	4444	0.9486	4.594	117.6	1.61	29.37	106.5	486.5			
99	RA_101	535588	3911160	1.1	0.5031	72750	11.31	103	1.829	2.715	73520	0.3378	50.46	17.21	47.38	5.963	49.62	67410	0.1184	2880	23.89	31.21	11530	1719	1.441	17260	18.34	23.37	973.5	39.9	81.44	388.3	2.29	17.76	2.32	76.76	0.232	17.46	5749	1.27	45.79	17.4	106	2.991	20.06	1.409	28.58	149.6	456.8
100	RA_102	536678	3910600	2.3	0.4143	70710	6.17	564.4	1.804	2.973	79760	0.7561	51.41	21.61	57.87	7.357	57.24	69930	0.1262	17130	22.84	25.55	12760	3047	1.51	16550	19.61	25.34	104	45.8	57.92	16060	1.837	19.14	3.5	6302	0.2961	18.08	6631	1.211	21.05	1.501	29.29	131.3	399.9				
101	RA_103	537223	3912090	1.4	0.276	69240	7.735	610	2.193	1.805	63430	0.5241	50.86	16.24	57.17	5.783	55.29	53360	0.1061	12100	25.73	23.4	11570	1751	1.566	16350	15.75	26.36	888.7	40.98	75.04	1344	1.809	13.61	4	581.7	0.2376	14.2	5420	1.045	6.424	148	2.04	30.19	124.1	415.1			
102	RA_104	540024	3911480	1.6	0.3676	70170	11.98	2152	1.877	2.217	51490	0.2983	53.31	16.98	54.47	5.263	41.66	60820	0.1043	22720	26.15	24.5	12460	1377	1.631	15910	17.93	28.15	90.7	50.9	74.77	1753	1.987	24.29	15.61	126.9	1.837	28.55	113.5	485.9									
103	RA_105	537321	3914950	1.2	0.3292	63150	12.61	806	1.781	2.659	65260	0.2903	48.86	19.92	62.59	5.744	7.84	40.87	65710	0.2082	25.07	28.25	11430	1711	2.049	12990	20	28.27	802	4.74	70.07	876.6	2.176	6.966	1.112	7.575	176.6	1.844	26.15	102	37.91								
104	RA_106	536441	3915900	1.2	0.3743	62600	15.25	828.8	1.852	2.252	68660	0.3022	45.06	16.65	67.04	6.254	48.83	63850	0.1163	2070	26.15	30.07	11900	2016	2.025	13740	20.63	29.47	836.4	66.1	78.39	917.5	1.211	17.82	1.78	18.46	2.052	27.68	109.7	412.9									
105	RA_107	509744	3933396	1.4	0.2491	52980	11.7	584.5	1.4	2.343	101000	0.1891	39.74	13.74	64.14	4.52	31.04	45460	0.1057	14230	19.02	27.28	10380	8704	1.354	1305	8492	12.91	26.99	38.7	36.99	61.14	2.95	50.91	81320	2.199	11.16	4.2	852.2	0.277	11.95	4727	0.8441	4.028	119.3				
106	RA_108	538546	3918470	1.2	0.386	66890	11.93	672.5	1.834	2.358	56220	0.336	52.11	17.34	58.92	7.388	36.73	59730	0.113	23260	26.97	25.51	10350	1471	2.354	16300	19.88	28.1	795.7	47.58	81.99	502.4	2.386	16.45	6734	1.102	2.452	155.5	1.907	27.26	449.6								
107	RA_109	536152	3920040	2.3	0.2915	64750	78.34	1245	1.4	2.984	65420	0.5678	45.08	22.97	70.8	8.385	57.6	77500	0.1279	21.01	22.91	13060	1520	1.135	16960	21.17	27.58	88.1	2.54	55.42	888.1	2.54	39.35	1.403	2.048	358.8													
108	RA_110	534765	3920080	1.5	0.2476	61710	12.5	507.6	1.618	2.448	80400	0.2093	44.96	12.56	54.9	4.52	30.86	107300	0.2202	22060	27.07	28.78	10730	87093	1.044	1305	8497	12.87	21.35	305.8	1.04	21.35	3.81	35.88	1.054	2.085	1.054	2.058	1.054	2.058									
109	RA_111	533876	3914989	1.2	0.2564	65860	10.53	1340	1.56	3.925	70280	0.3033	50.98	20.9	14.86	8.73	27.32	59150	0.1233	19290	24.29	31.80	6510	20.69	32.08	16.53	2.023	11.71	16.93	2.023	1.051	2.023	1.051	2.023	1.051	2.023													
110	RA_112	537828	3922830	2.7	0.645	71570	8.143	717.2	1.771	2.716	66780	0.3046	43.87	12.56	66.68	5.927	32.37	51740	0.1233	19290	24.29	31.84	67400	2.111	2.74	1.2	656.3	0.2237	1.877	2.12	678.2	0.1282	1.76	2.2	672	0.1282	1.76	2.2	672	0.1282	1.76	2.2	672	0.1282					
111	RA_113	5																																															

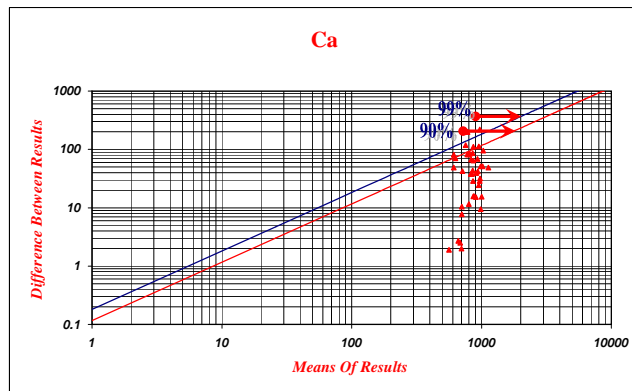
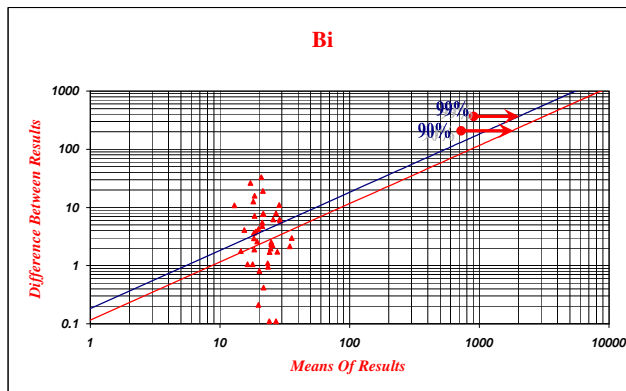
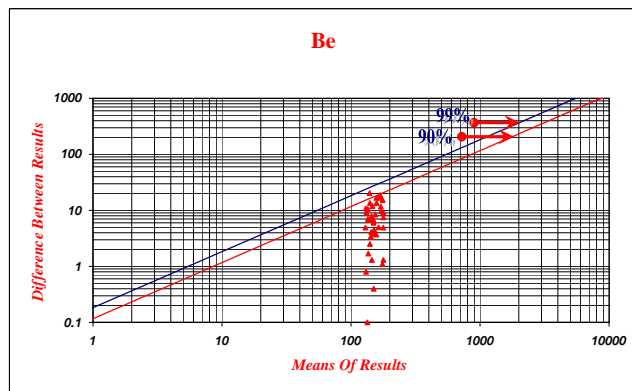
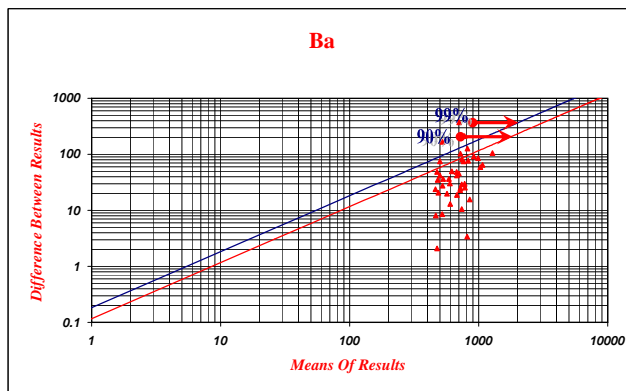
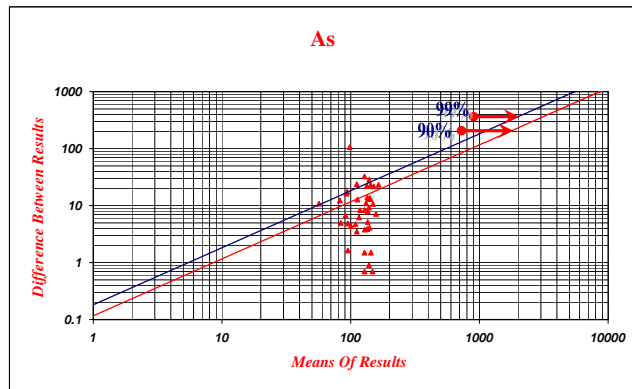
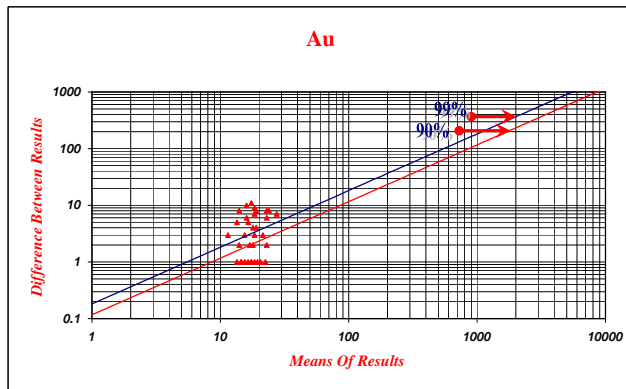
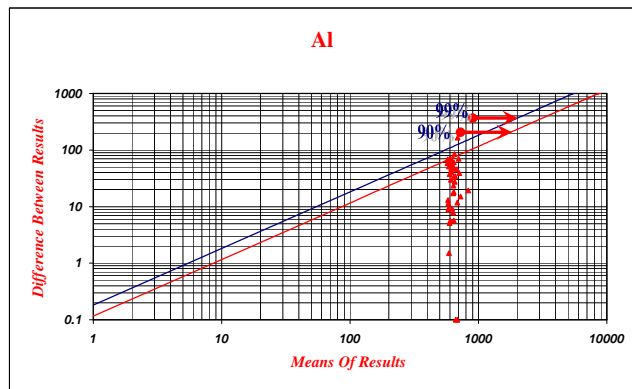
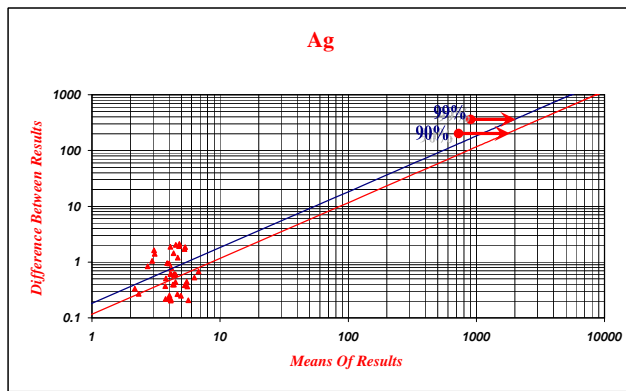
APPENDIX 1 : THE ANALYSIS RESULTS OF GEOCHEMICAL SAMPLES IN ROBATKARIM SHEET(1:100,000)

Row	Sample.No	X	Y	Au	Ag	Al	As	Ba	Be	Bi	Ca	Cd	Ce	Co	Cr	Cs	Cu	Fe	Hg	K	La	Li	Mg	Mn	Mo	Na	Nb	Ni	P	Pb	Rb	S	Sb	Sc	Sr	Te	Th	Ti	U	V	W	Y	Zn	Zr				
		ppb	ppm	ppm	ppm	ppm	ppm	ppm	ppm	ppm	ppm	ppm	ppm	ppm	ppm	ppm	ppm	ppm	ppm	ppm	ppm	ppm	ppm	ppm	ppm	ppm	ppm	ppm	ppm	ppm	ppm	ppm	ppm	ppm	ppm	ppm	ppm											
178	R AM-179	515294	3896460	1.6	0.4496	63660	9.752	438.5	1.426	1.563	96760	0.3321	59.54	17.25	69.41	6.093	30.87	57640	0.0837	13230	28.87	26.91	8639	890.5	0.7266	16890	15.8	27.41	596.9	21.61	45.67	447.4	0.8716	13.48	3	364.6	0.1243	15.43	5399	0.9848	4.175	172.1	1.423	24.39	96.73	309.8		
179	R AM-180	513965	3891800	1.7	0.3518	63850	9.252	498.2	1.32	1.357	115200	0.3347	45.24	12	48.65	4.146	33.28	41210	0.0965	15910	21.67	32.53	9877	761.4	0.5631	26710	11.53	25.11	583.8	21.49	56.02	3636	0.6818	11.77	3	877.2	0.1005	11.3	9667	0.8584	3.959	106.4	1.527	24.08	72.27	298.8		
180	R AM-181	514143	3894090	2.2	0.4525	66670	15.29	515.4	1.581	2.35	106700	0.4801	63.14	24.71	92.57	8.752	37.08	81500	0.1112	15960	29.34	32.39	11550	1237	0.9854	14310	21.6	35.63	788.9	27.84	54.94	4242	1.511	17.16	3.2	671.6	0.2303	20.63	7611	1.176	6.463	276.4	1.64	28.39	128.4	344.5		
181	R AM-182	514664	3890600	1.7	0.6261	59410	15.34	8907	1.478	1.581	85900	0.2569	53.9	21.76	80.55	8.665	32.84	79860	0.09	17450	26.21	27.63	8288	1347	1.707	16550	20.53	27.87	666.5	32.64	57.61	6538	1.547	13.16	2.7	1485	0.1227	20.26	7524	1.107	6.502	271.3	1.871	25.38	131.5	331.5		
182	R AM-183	514842	389050	2.8	0.5544	63200	13.85	704.8	1.506	1.839	95700	0.2968	53.88	20.24	83.79	7.289	34.36	69460	0.098	16880	26.14	30.13	11100	1225	1.05	15220	17.96	30.51	770	25.27	58.88	4800	1.558	16.37	3.9	709.6	0.2069	17.77	6327	1.043	6.582	220.1	1.773	27.35	141.4	325.9		
183	R AM-184	514952	3896600	2.9	0.5212	59330	13.96	881.6	1.481	2.775	86110	0.23	54.9	21.56	80.8	8.623	33.38	80130	0.1051	17220	26.09	27.65	8220	1343	1.67	16520	20.41	27.86	658.2	28.75	58.28	6488	1.711	13.26	4.8	1458	0.2444	20.31	7553	1.092	7.532	272.6	2.176	25.72	133.2	327		
184	R AM-185	518738	389020	1.4	0.5569	50910	18.03	501.8	1.394	2.924	155700	0.2657	50.13	23.1	102.9	8.701	34.52	77370	0.1213	14280	23.06	28.95	13610	1504	0.8888	10930	19.43	30.43	800.9	20.51	49.08	845.8	1.275	16.22	3.4	462.4	0.2579	18.96	7372	1.062	7.143	260.6	1.756	24.83	131.2	293		
185	R AM-186	519753	3898600	1.8	0.5472	64540	13.84	564.3	1.651	1.599	100200	0.248	54.61	17.5	71.61	5.968	33.98	60380	0.1011	16650	26.94	42.45	11010	1119	0.7883	14040	15.79	34.24	721.5	30.7	66.29	2809	1.298	481.8	0.1447	16.16	5148	0.9865	5.901	167.1	1.468	25.11	103.3	340.1				
186	R AM-187	516790	387590	2.1	0.5102	63500	14.43	581.2	1.49	2.353	88910	0.2842	52.66	17.65	71.55	6.649	32.66	64970	0.0953	18360	26.6	26.69	10330	1160	1.011	17240	16.97	25.5	833.9	22.01	62.43	465.6	0.9774	15.01	3.6	379.2	0.1722	16.58	5688	1.007	5.408	188.9	1.586	26.99	112.9	335.5		
187	R AM-188	516091	3892680	1.7	0.259	39100	9.983	314	0.8886	2.1	243600	0.1781	30.69	9.717	47.75	4.12	22.95	37740	0.12	9021	14.08	32.46	9598	669.3	1.037	8200	9.426	19.22	492.9	13.67	24.42	2865	0.482	9.42	2.3	2159	0.1	9.579	3133	0.7266	2.915	115.8	0.3	17.34	59.02	203.4		
188	R AM-189	507780	3899100	2.2	0.3575	63470	12.57	423	1.525	1.413	94050	0.4417	50.99	13.85	61.36	4.51	28.47	46380	0.0939	16150	24.52	38.75	9805	894.3	0.9218	14380	12.49	33.82	620.5	30.03	66.99	1949	1.417	12.99	2.8	501	0.1193	12.65	3874	0.8867	3.565	113.6	1.668	24.36	116.4	239.6		
189	R AM-190	507182	3899450	2	0.5347	62280	13.37	535.9	1.494	3.145	87910	0.3899	53.56	20.6	63.36	8.76	33.77	8470	0.1138	16170	25.37	33.79	8397	1323	0.9051	17200	20.11	27.15	555.3	33.84	60.7	3075	2.259	14.22	3.9	647.2	0.2811	20.96	7224	1.105	7.201	278.1	2.443	24.17	207.1	306.2		
190	R AM-191	504439	3899860	2.4	0.4522	63360	14.78	558.5	1.41	1.969	83560	0.297	48.26	15.12	51.25	5.177	41.55	52640	0.098	18180	23.39	34.74	9862	1100	1.066	17650	13.33	26.65	637.5	31.59	65.11	954.4	1.312	13.75	2.8	468.9	0.1694	13.86	4546	0.9291	5.065	144.6	2.028	25.66	144.3	296.6		
191	R AM-192	519375	3886480	2.7	0.3843	60660	14.15	699.2	1.44	2.145	96430	0.1764	45.86	15.16	61.24	5.297	29.95	54300	0.0938	16930	23.12	30.77	8826	1027	1.011	16240	14.08	25.93	643.2	21.12	32.76	1.0	643.2	0.1325	14.58	4628	0.913	4.752	155.8	1.315	24.2	94.07	304.1					
192	R AM-193	520801	3866040	2.2	0.3519	59120	14.49	698	1.414	1.68	91340	0.2403	49.31	14.3	55.48	4.928	27.59	49350	0.1076	16990	24.73	29.55	8413	9729	1.161	16000	13.08	26.9	606	24.37	59.36	11080	1.32	24.76	675.6	0.1576	13.27	4374	0.8818	4.185	136.5	0.9812	24.37	88.21	299.9			
193	R AM-194	520563	3889380	1.4	0.4209	63010	16.19	486.8	1.521	1.82	101700	0.1844	48.16	13.42	56.47	4.284	28.57	45800	0.0884	17050	24.08	36.75	9547	923.9	0.8391	14280	12.25	31.3	653.7	19.1	45.17	7677	0.9788	12.3	2.6	436.2	0.1101	12.62	3656	0.864	4.262	111.2	1.059	24.01	88.38	282.3		
194	R AM-200	522415	3888620	2	0.44	61380	16.17	497.9	1.518	1.487	107000	0.2217	53.51	14.63	62.91	4.71	25.06	48790	0.093	16930	26.34	38.85	9251	947.3	0.6983	15200	13.13	31.49	613.9	27.53	45.68	3711	0.6751	12.9	2.5	456.5	0.1038	13.49	4066	0.8961	4.69	128	1.348	24.86	92.24	316.5		
200	R AS-201	524618	3885700	1.8	0.3547	58710	15.4	522.1	1.389	2.01	100900	0.2108	48.49	12.82	51.7	4.3	23.05	43890	0.1038	16260	24.79	33.05	7902	900.2	0.6959	16280	11.43	24.94	594.2	18.46	59.8	4558	0.8011	11.31	2.8	519.4	0.1206	11.67	3725	0.8395	4.635	110	1.866	23.54	160.2	275.6		
201	R AS-202	525525	3886730	1.8	0.6136	76390	4.496	440.8	1.332	2.361	68240	0.4391	44.48	29.77	57.32	9.509	16.69	99450	0.1204	13660	18.87	28.34	21070	1903	0.6044	15830	22.76	30.1	1004	48.81	42.18	382	1.652	25.08	4.61	533.8	0.251	23.65	7931	1.307	9.306	349.1	1.617	28.39	145.5	308.6		
202	R AS-203	524563	3887260	1.3	0.5065	68810	17.4	552.7	1.68	0.268	110500	0.2626	55.06	14.03	62.29	4.536	28.7	46540	0.0934	19810	27.14	42.74	10320	16550	12.61	24.76	708.4	30.64	12.05	1655.6	0.2048	12.95	498.9	0.1	13.09	3887.3	0.9243	5.452	108	1.012	26.89	84.38	34.3					
203	R AS-204	524104	3888460	1.5	0.5071	63030	14.82	548.1	1.479	1.801	95690	0.2175	53.06	15.27	53.25	5.111	25.28	55450	0.0931	18150	26.58	35.97	8816	1123	0.8648	16480	12.45	24.24	676.8	27.17	52.51	947.4	1.5115	4.183	147.1	4.374	3.59	574.9	0.1115	12.43	3802	0.8443	4.18	111.3	1.293	23.65	79.59	306.8
205	R AS-206	526781</td																																														

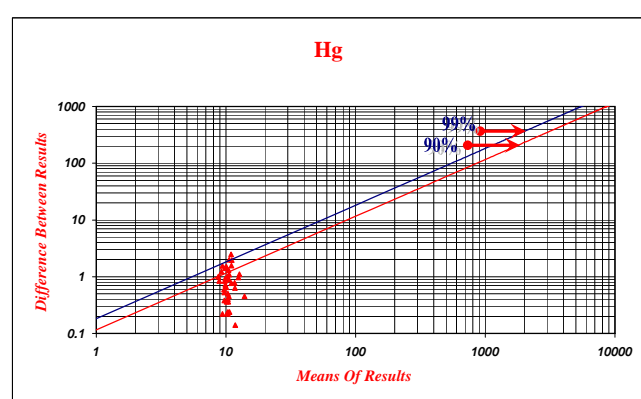
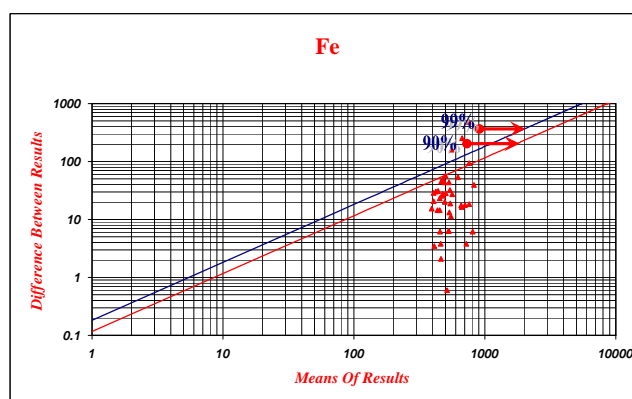
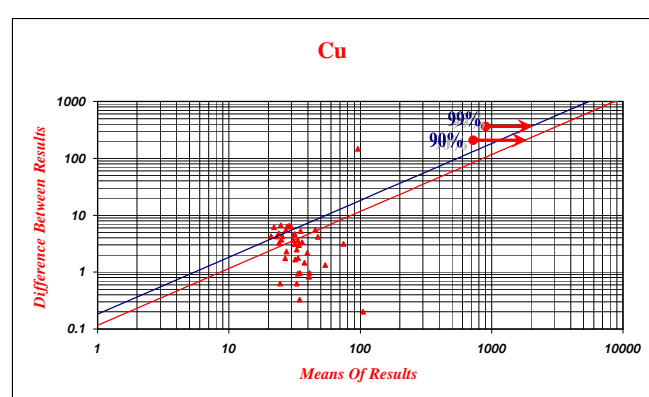
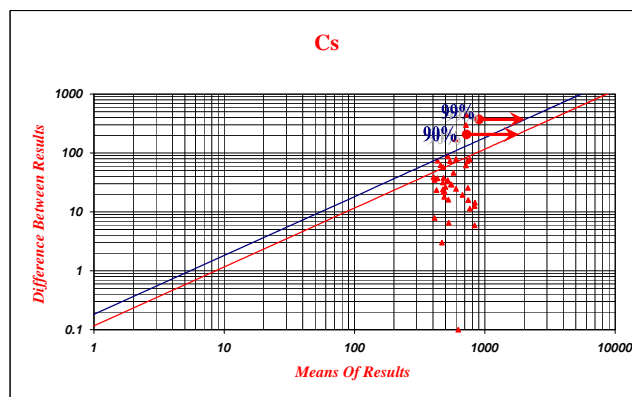
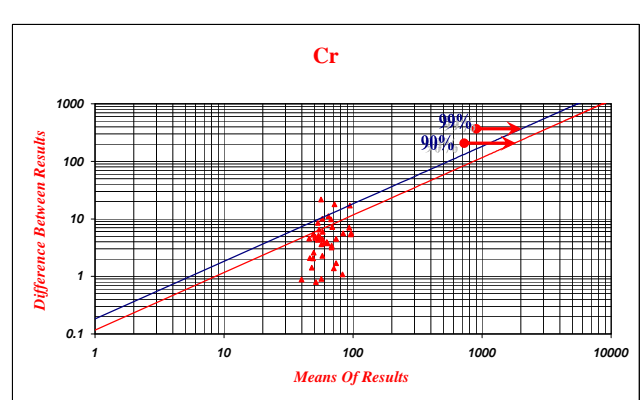
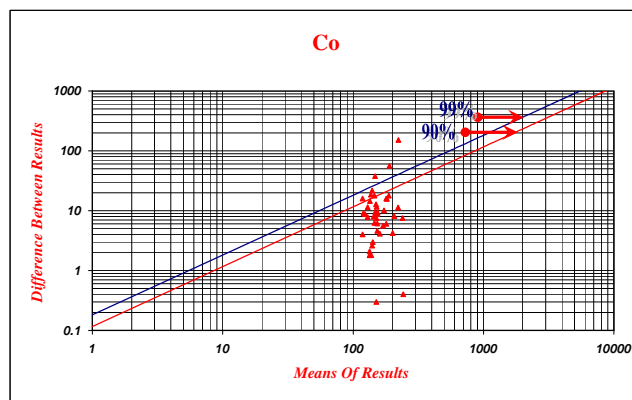
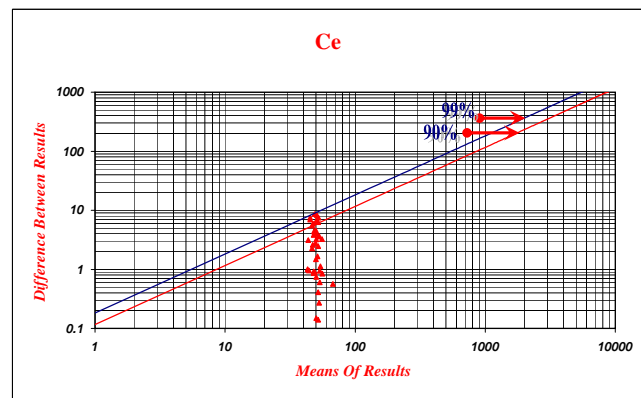
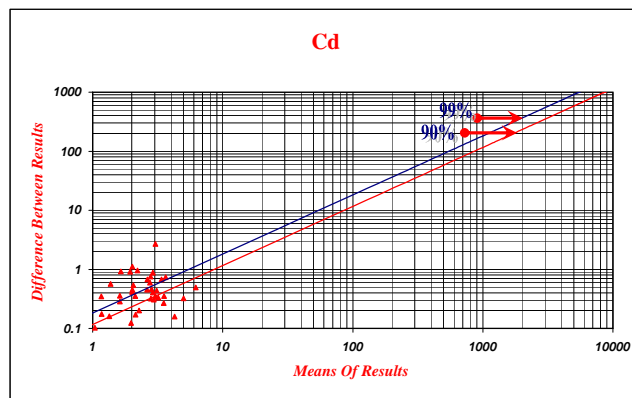
روشهای آنالیز برای عناصر مختلف با حدود حساسیت آنها

پیوست

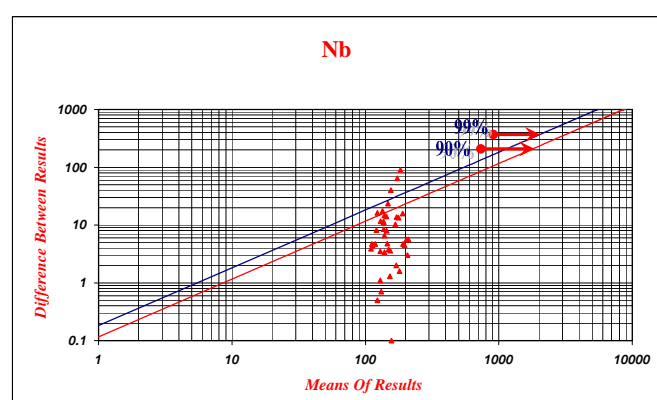
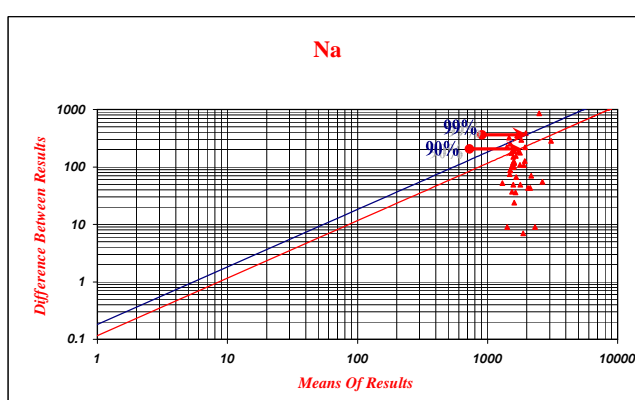
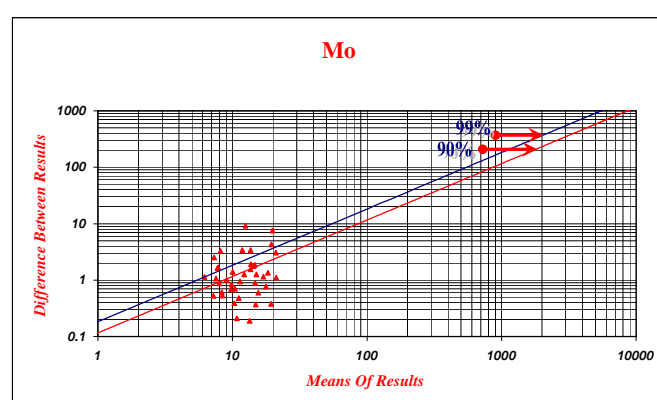
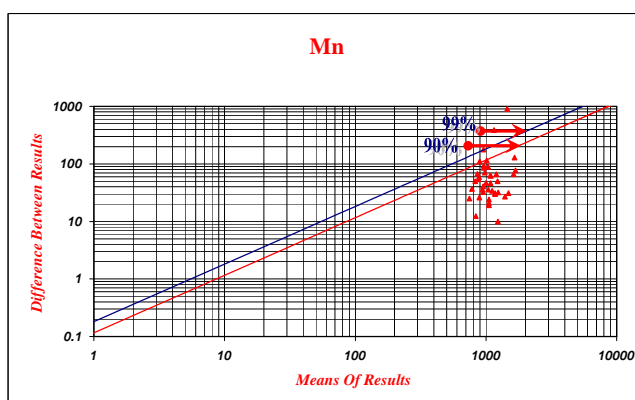
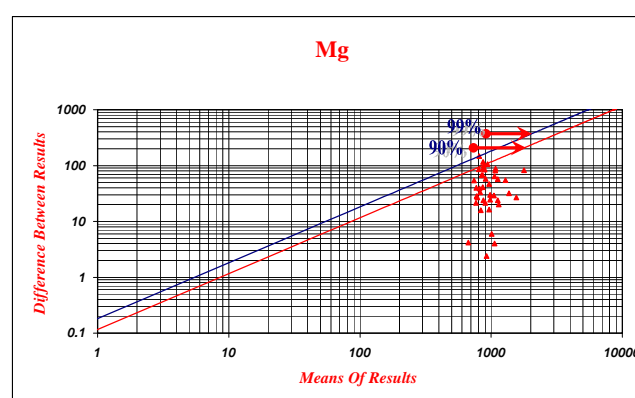
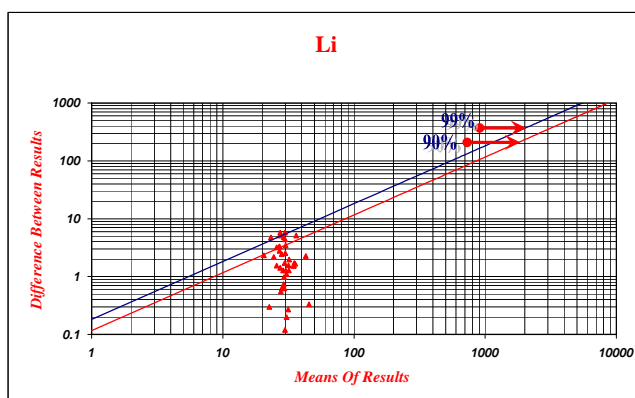
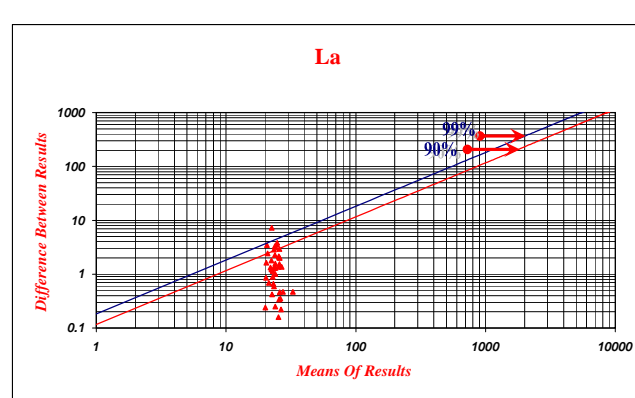
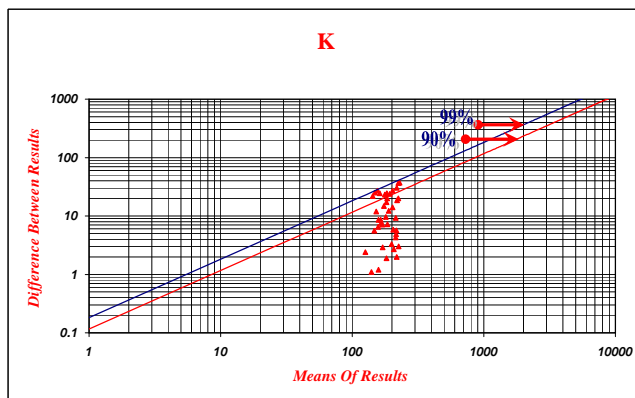
APPENDIX 2 : ERROR CHARTS OF FIELD-REPLICATE (10%)DATA IN ROBAT KARIM SHEET (1:100,000)



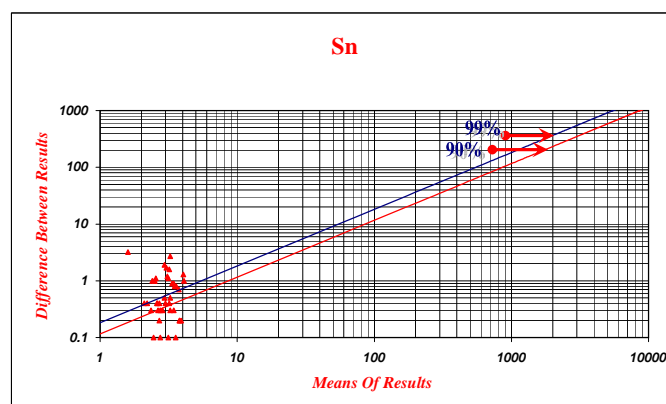
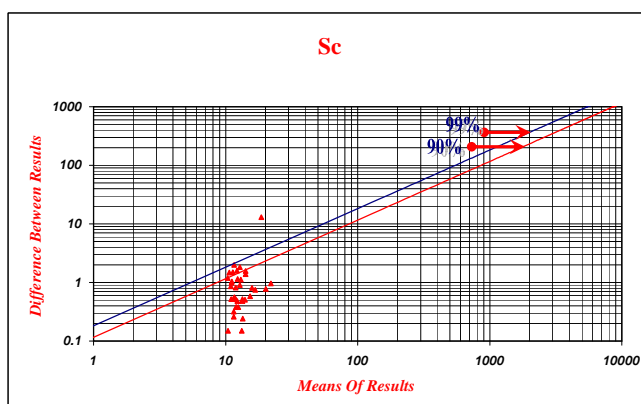
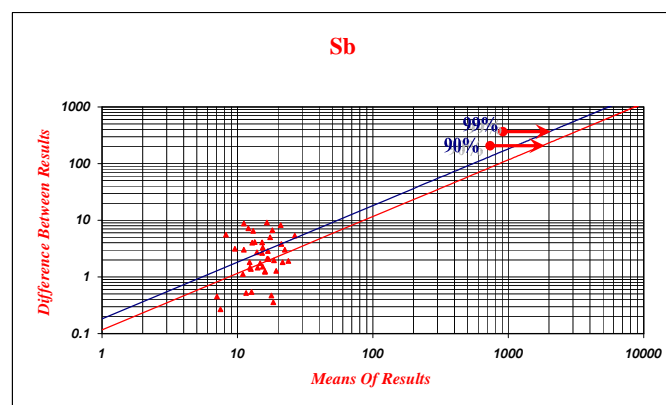
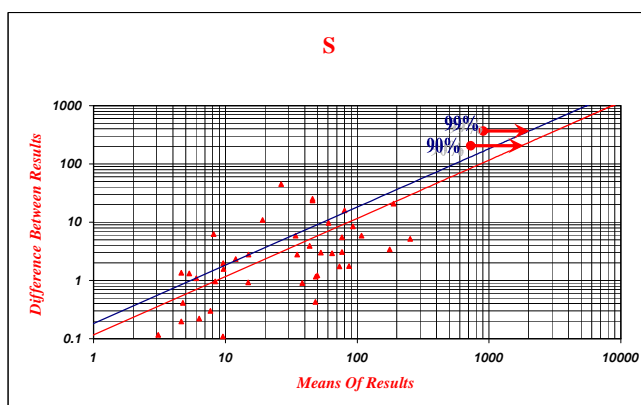
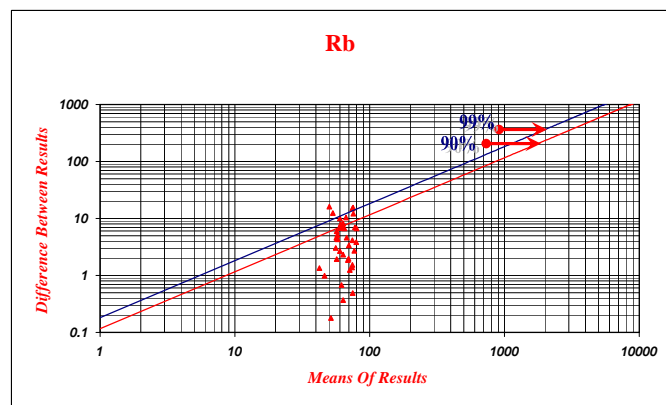
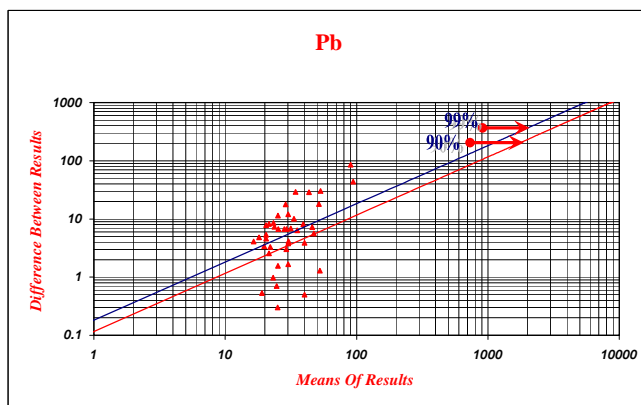
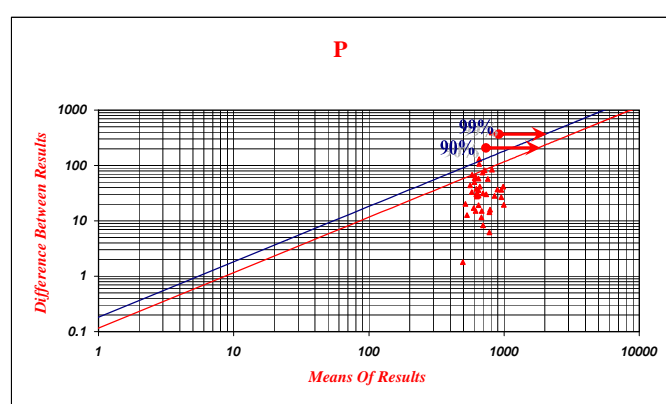
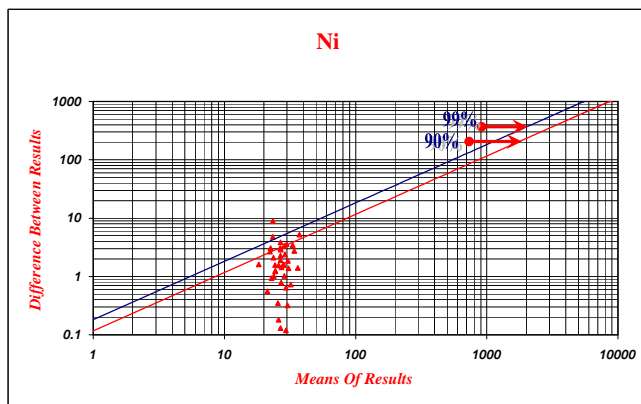
APPENDIX 2 : ERROR CHARTS OF FIELD-REPLICATE (10%)DATA IN ROBAT KARIM SHEET (1:100,000)



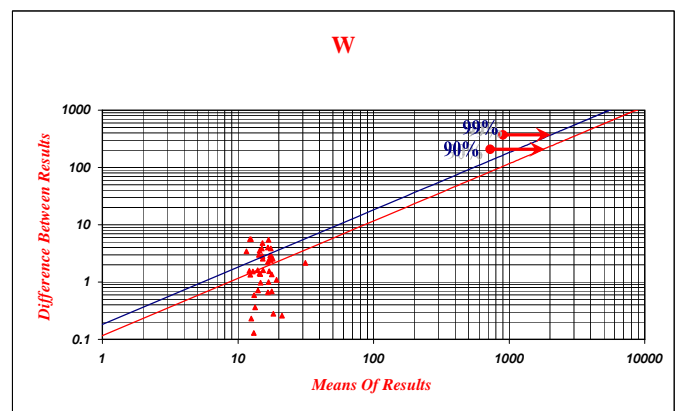
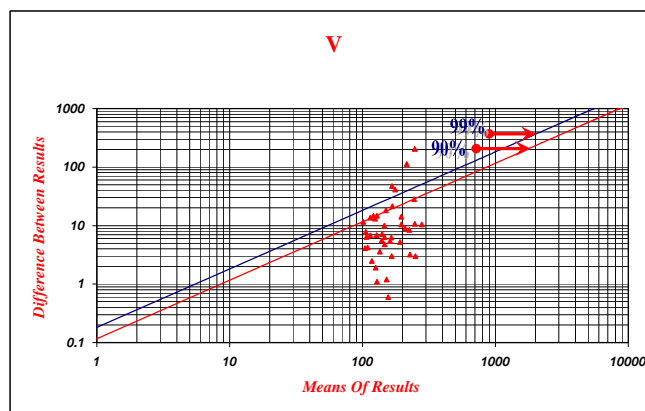
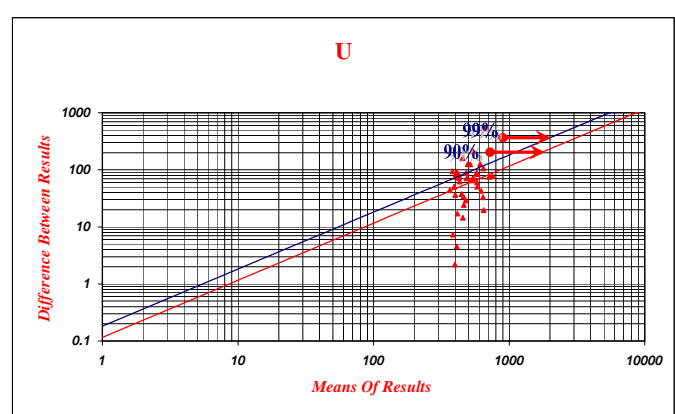
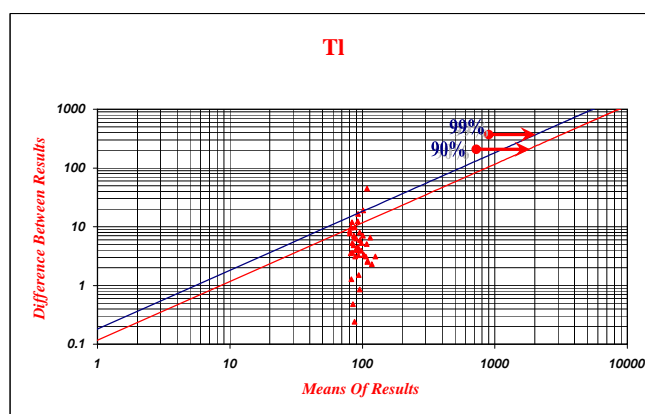
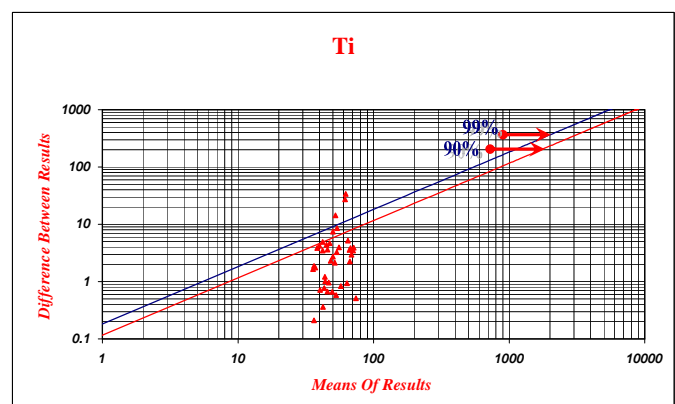
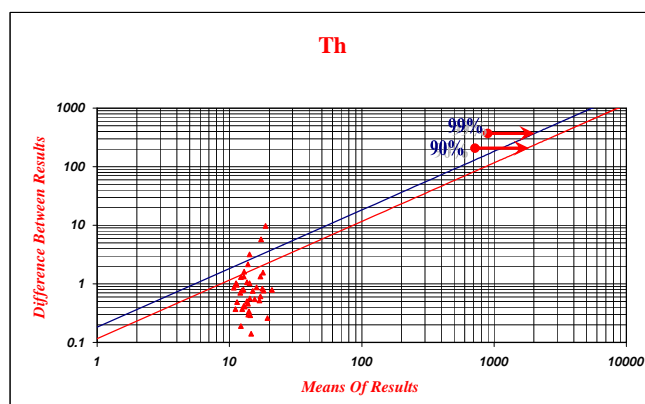
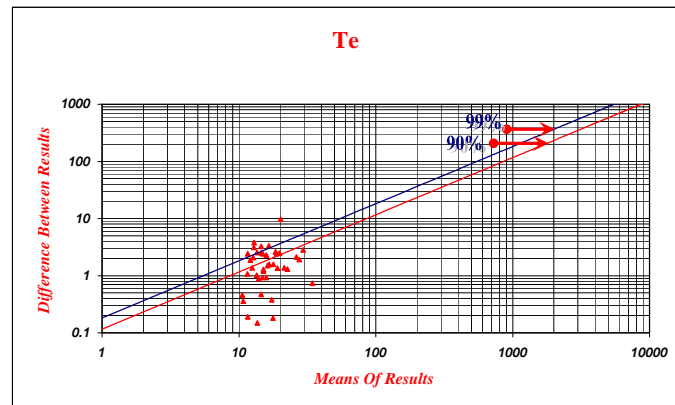
APPENDIX 2 : ERROR CHARTS OF FIELD-REPLICATE (10%)DATA IN ROBAT KARIM SHEET (1:100,000)



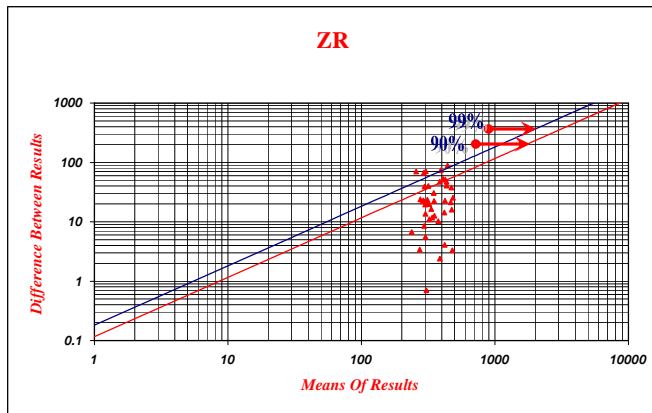
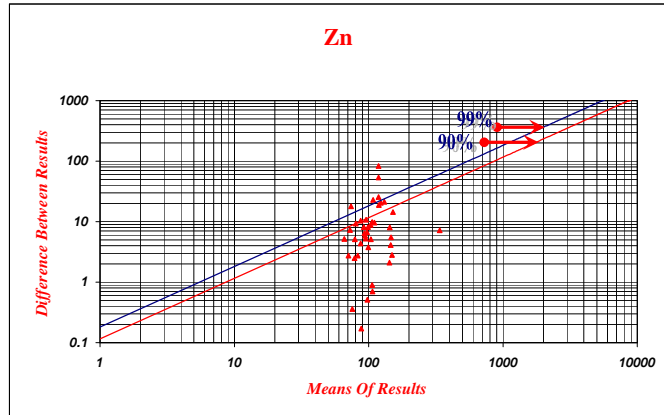
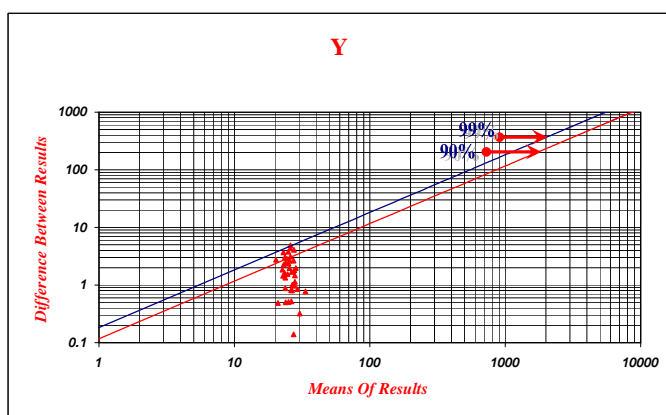
APPENDIX 2 : ERROR CHARTS OF FIELD-REPLICATE (10%)DATA IN ROBAT KARIM SHEET (1:100,000)



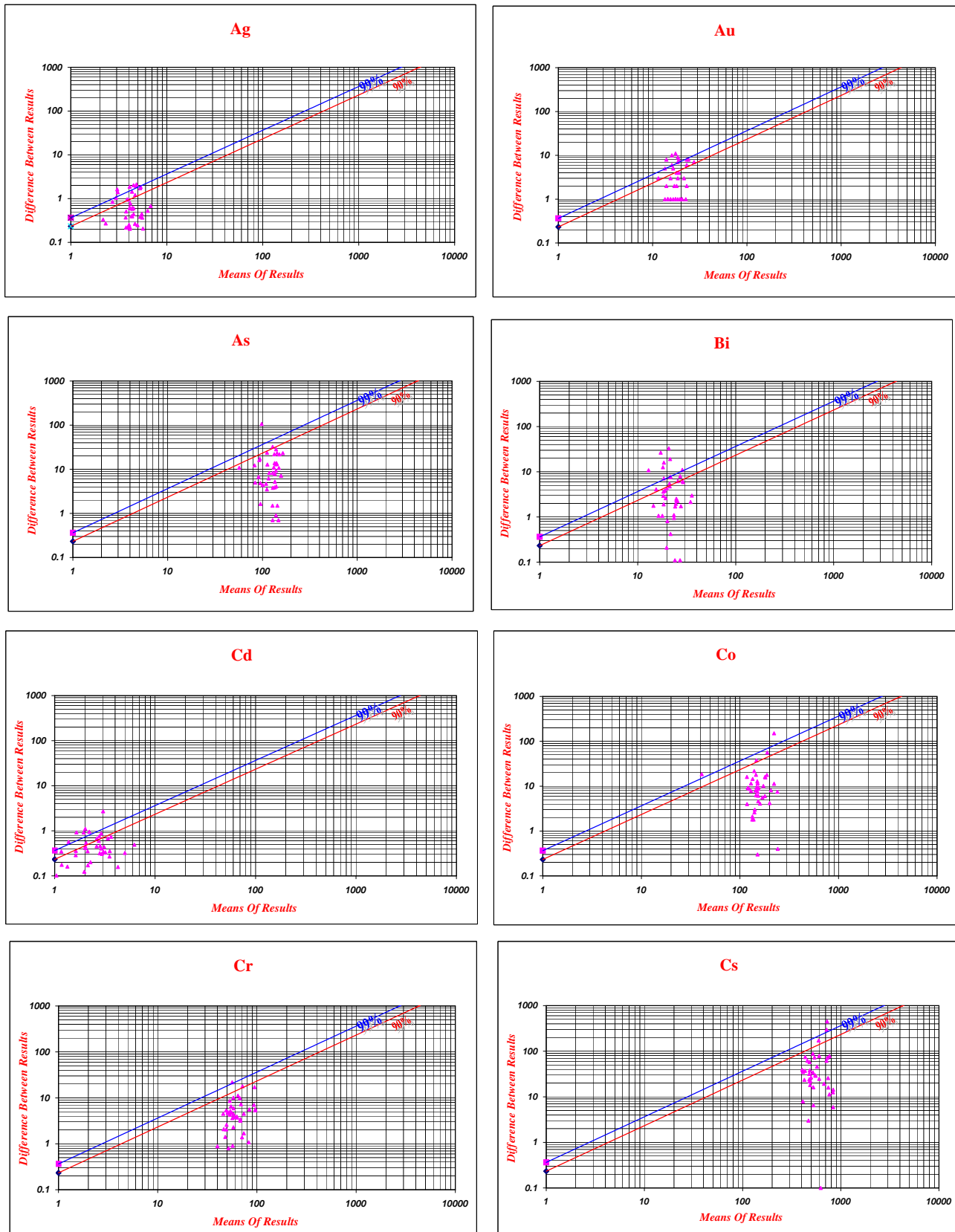
APPENDIX 2 : ERROR CHARTS OF FIELD-REPLICATE (10%)DATA IN ROBAT KARIM SHEET (1:100,000)



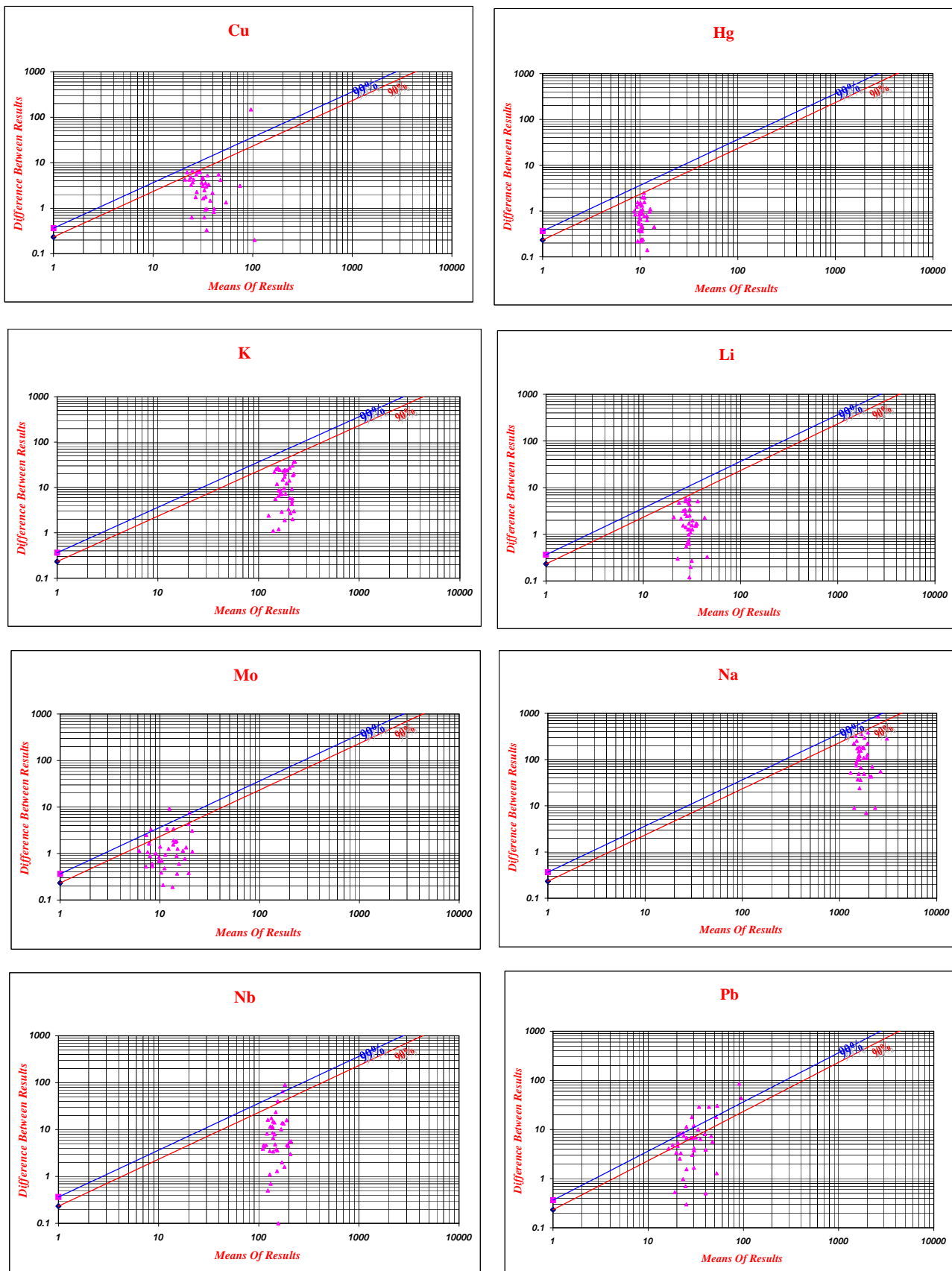
APPENDIX 2 : ERROR CHARTS OF FIELD-REPLICATE (10%)DATA IN ROBAT KARIM SHEET (1:100,000)



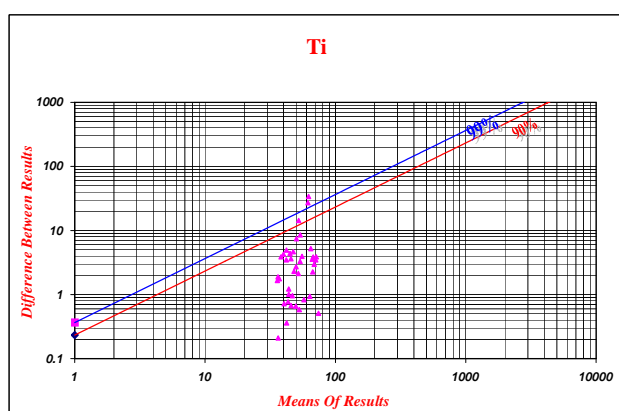
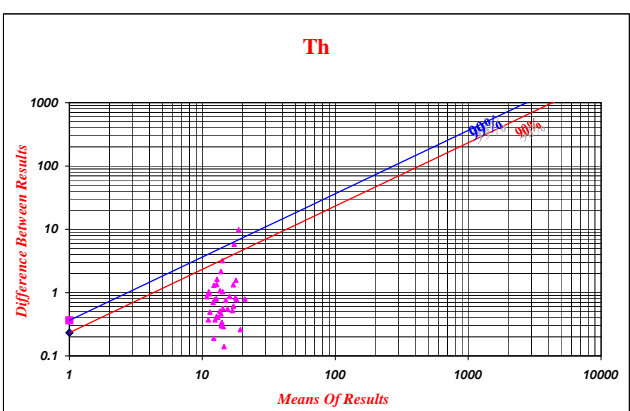
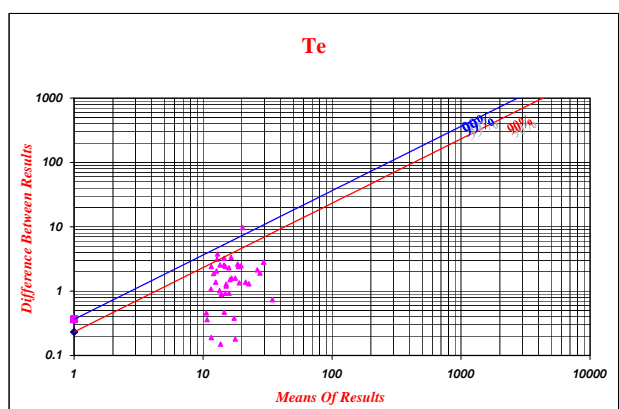
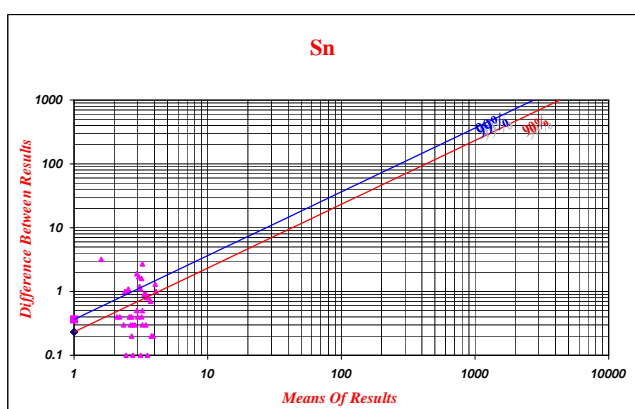
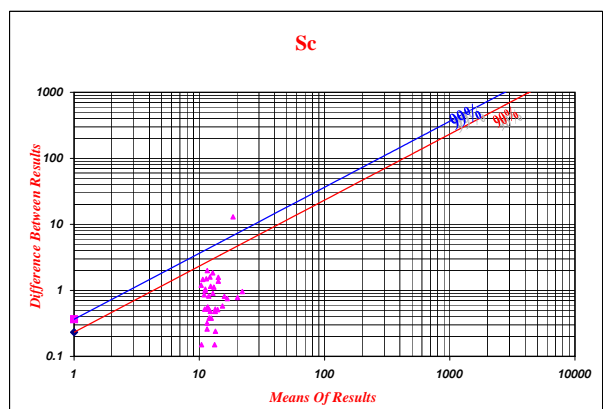
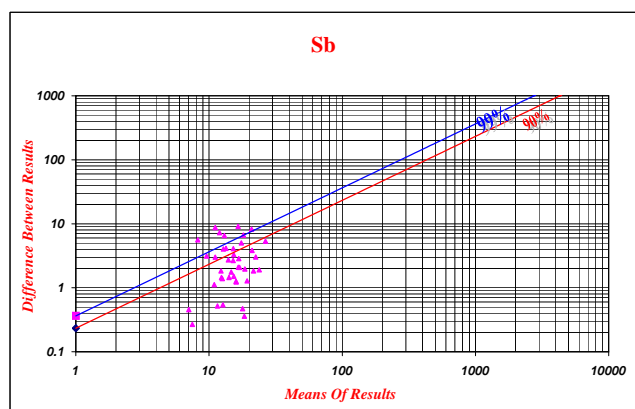
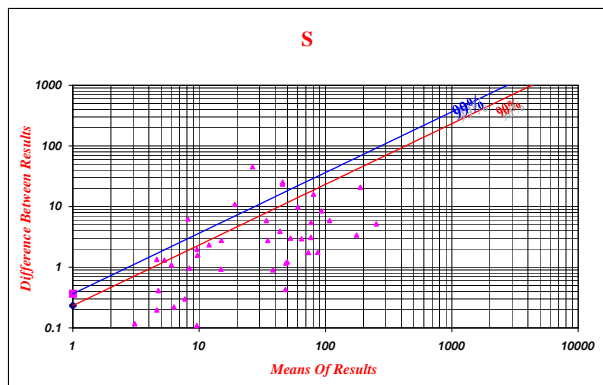
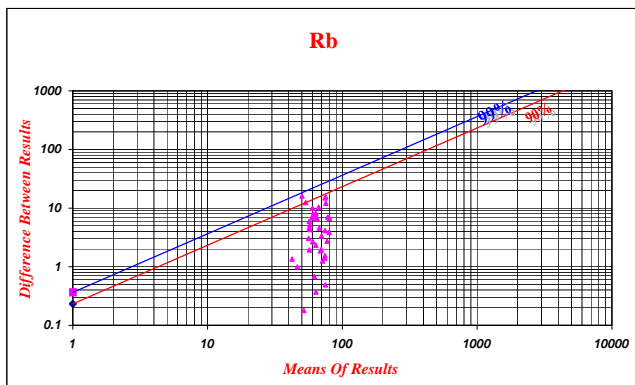
APPENDIX 2 : ERROR CHARTS (20%) OF FIELD-REPLICATE DATA IN ROBAT KARIM SHEET (1:100,000)



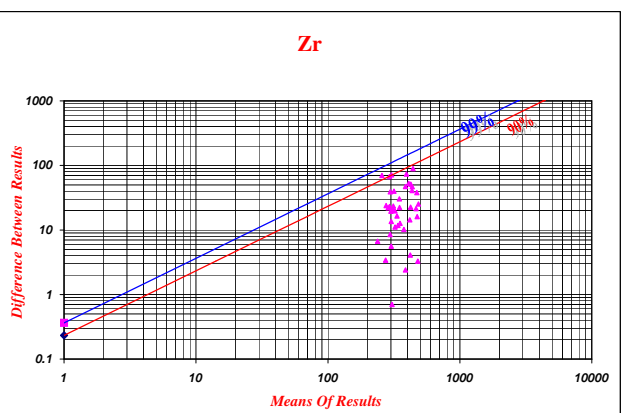
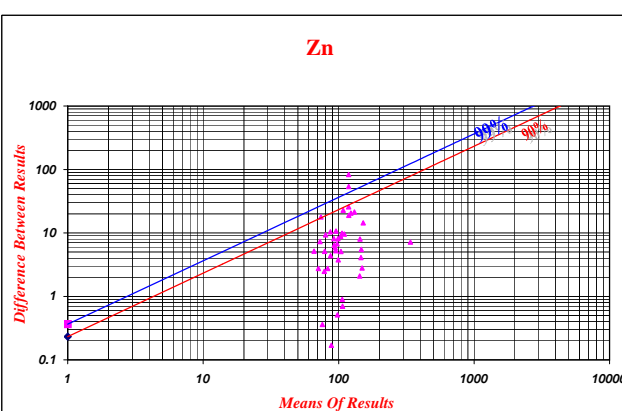
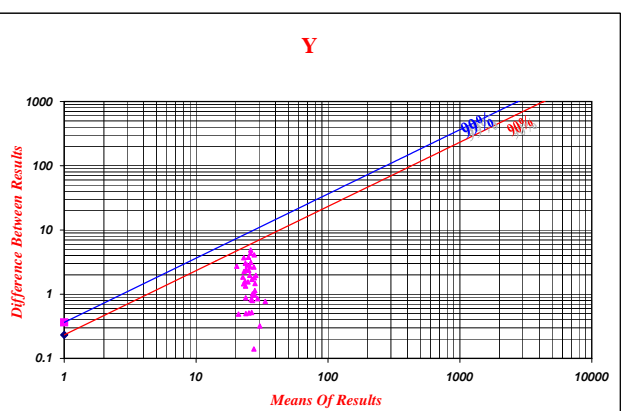
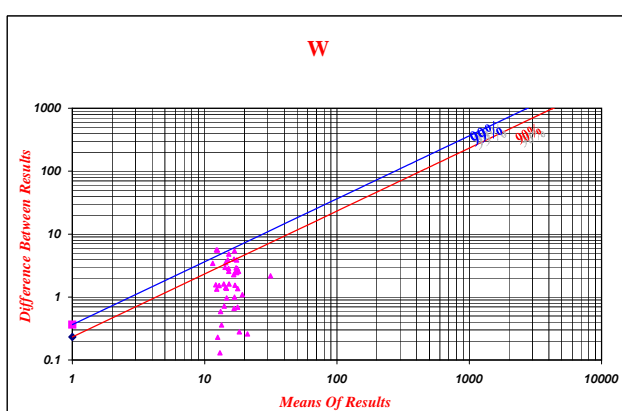
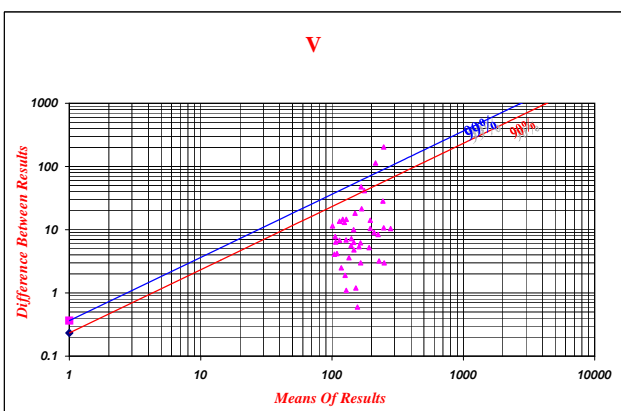
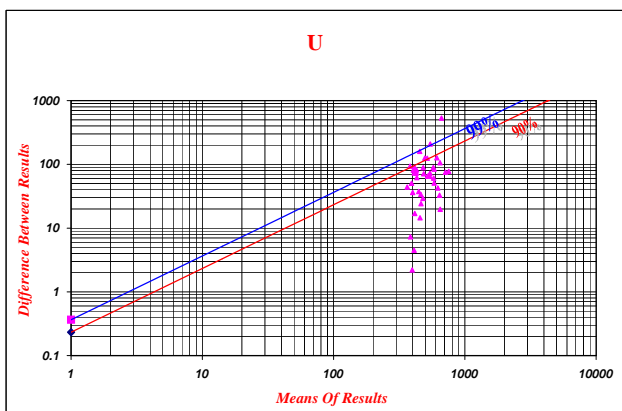
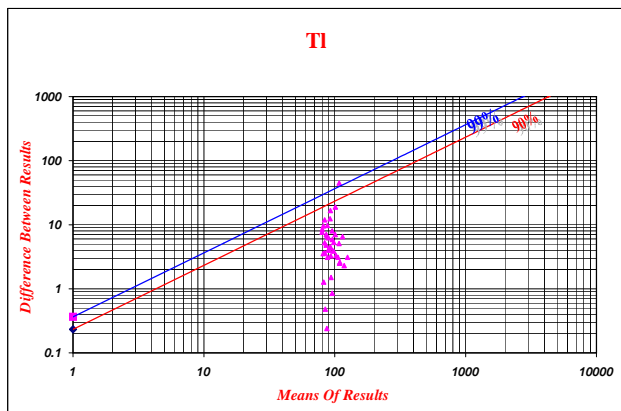
APPENDIX 2 : ERROR CHARTS (20%) OF FIELD-REPLICATE DATA IN ROBAT KARIM SHEET (1:100,000)



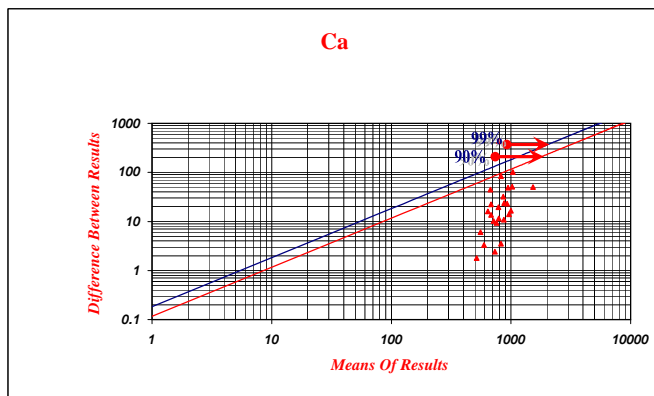
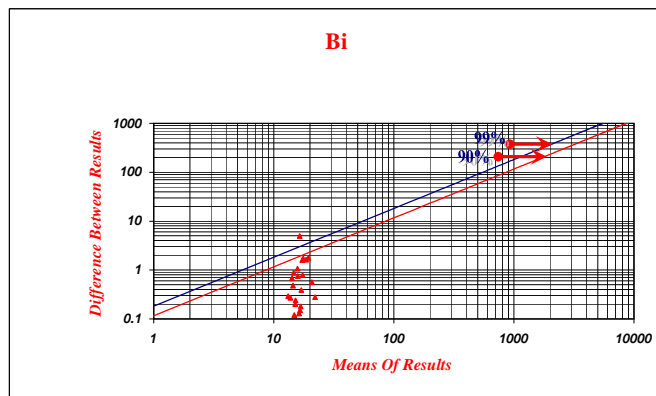
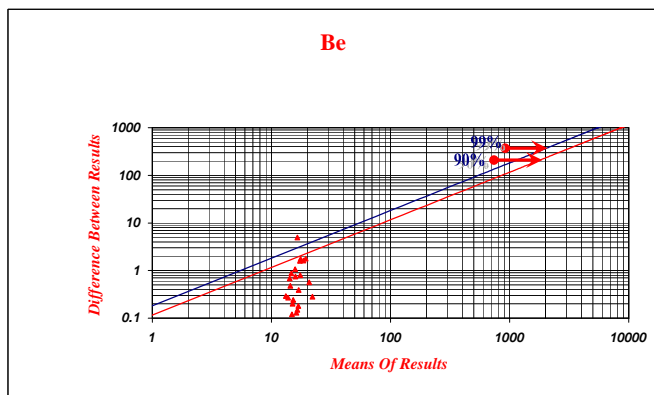
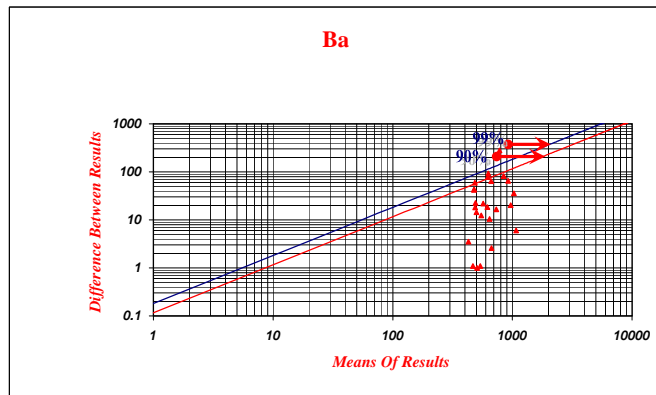
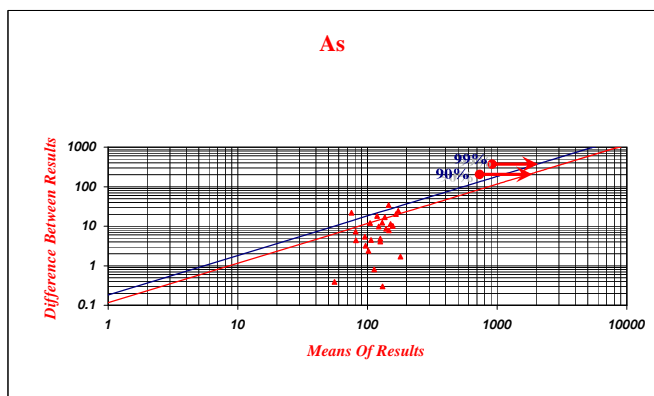
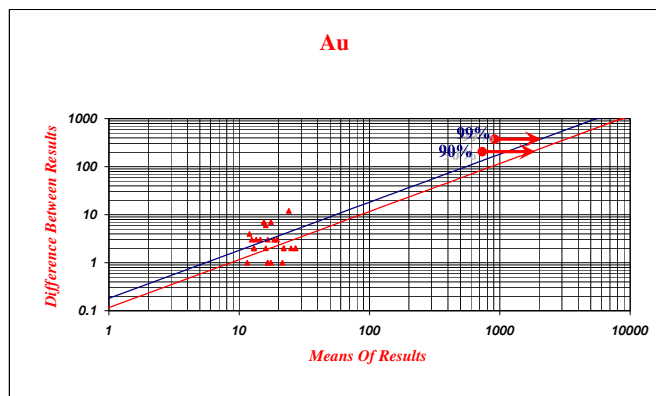
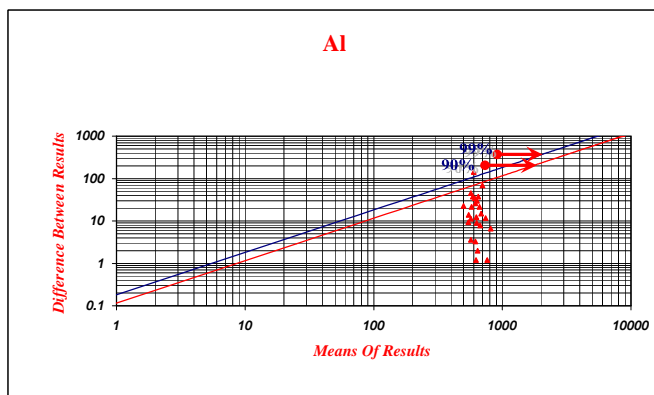
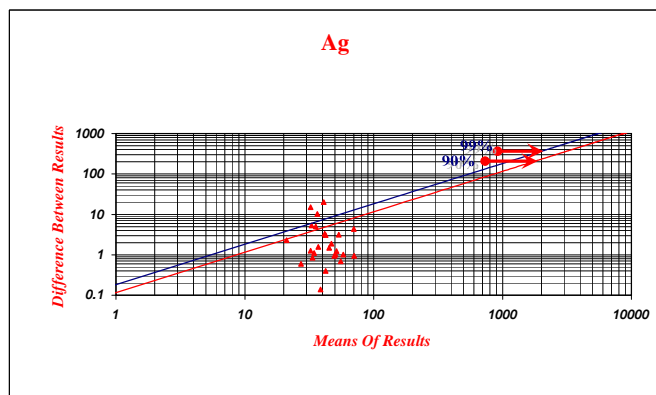
APPENDIX 2 : ERROR CHARTS (20%) OF FIELD-REPLICATE DATA IN ROBAT KARIM SHEET (1:100,000)



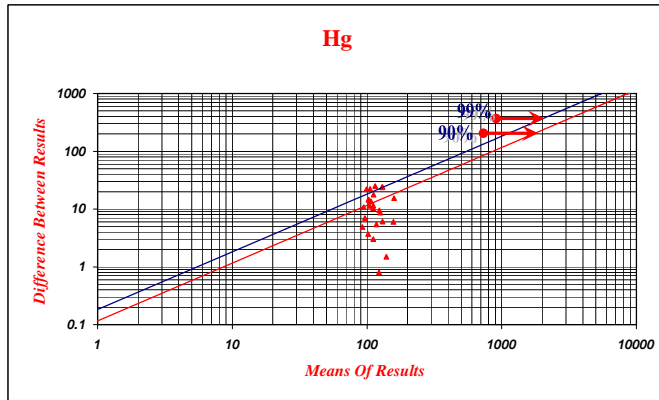
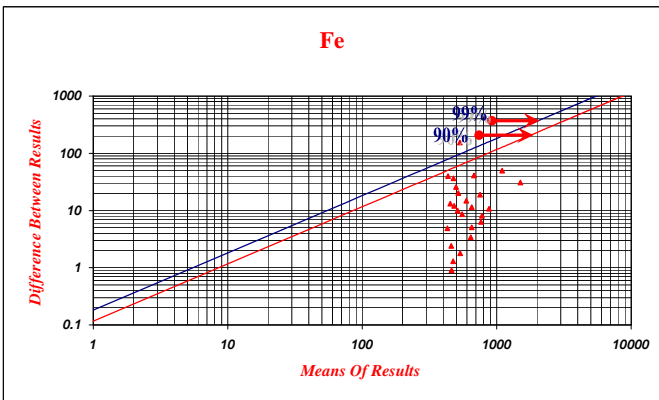
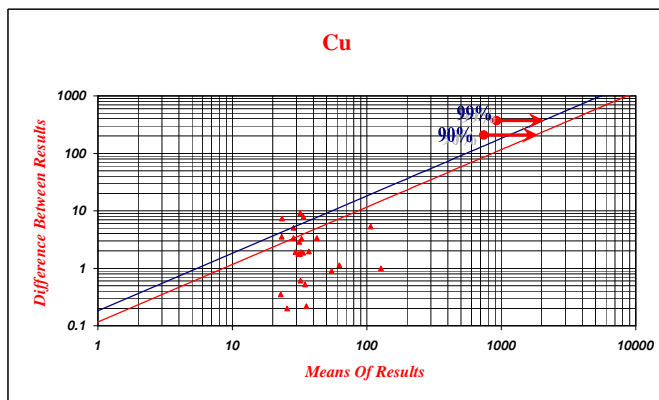
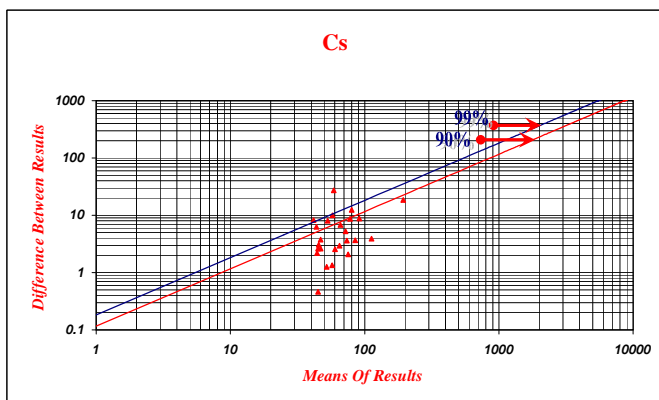
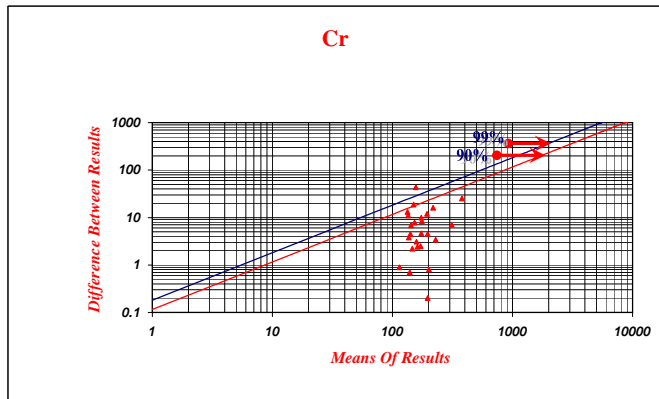
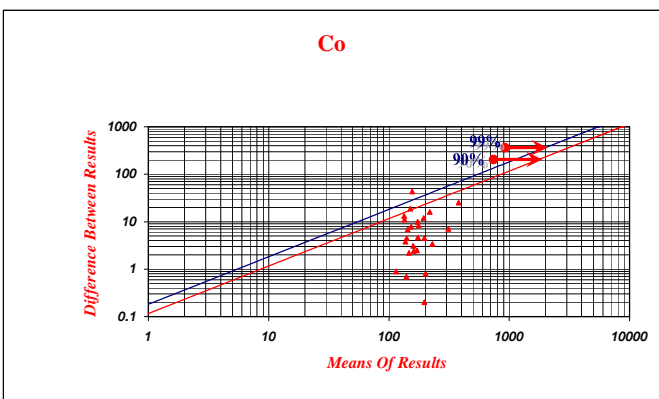
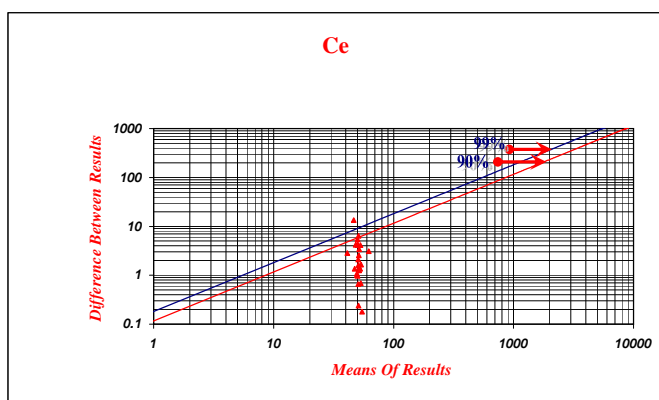
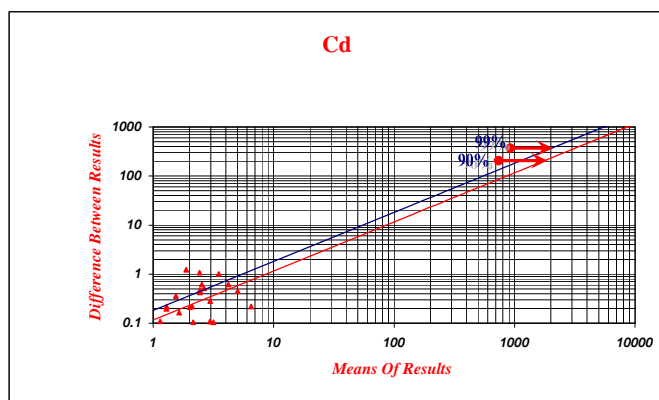
APPENDIX 2 : ERROR CHARTS (20%) OF FIELD-REPLICATE DATA IN ROBAT KARIM SHEET (1:100,000)



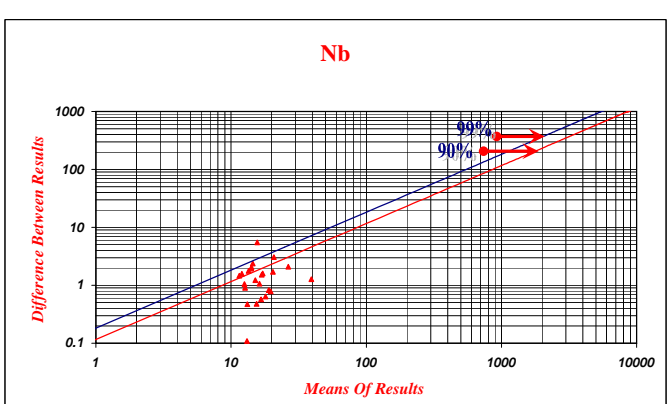
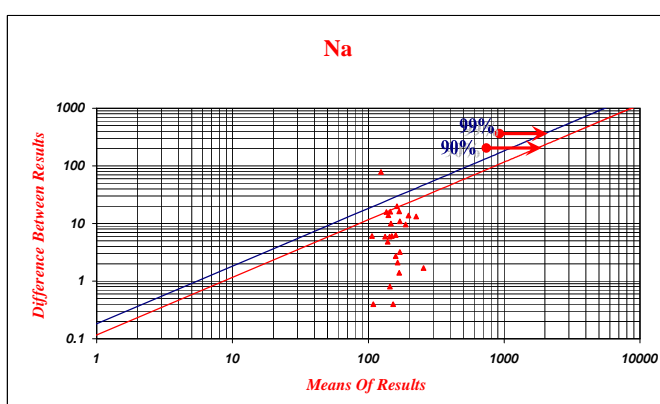
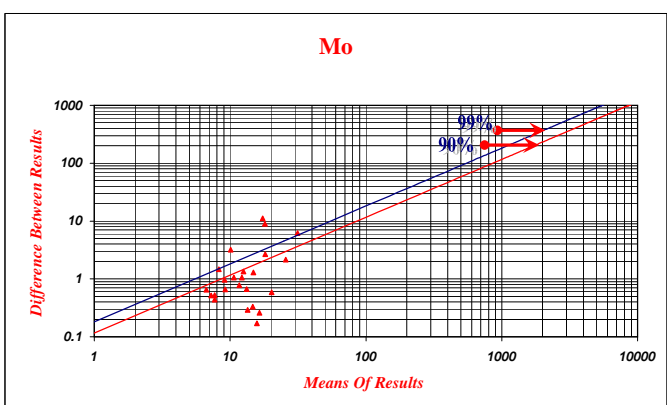
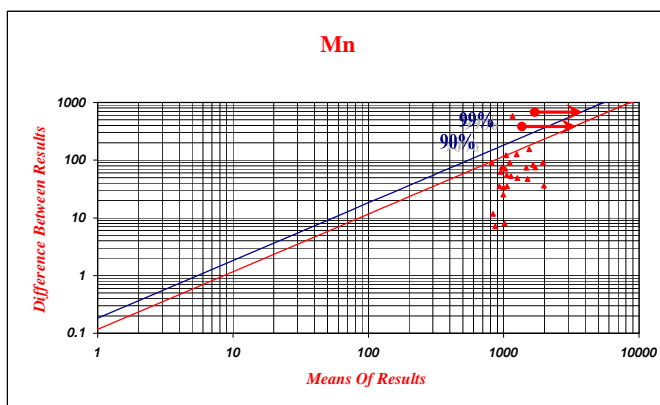
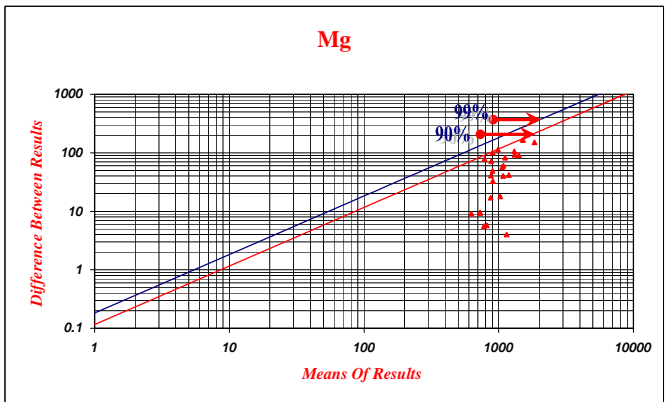
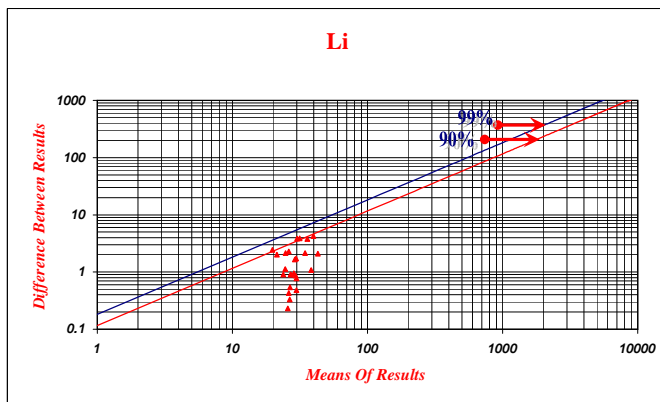
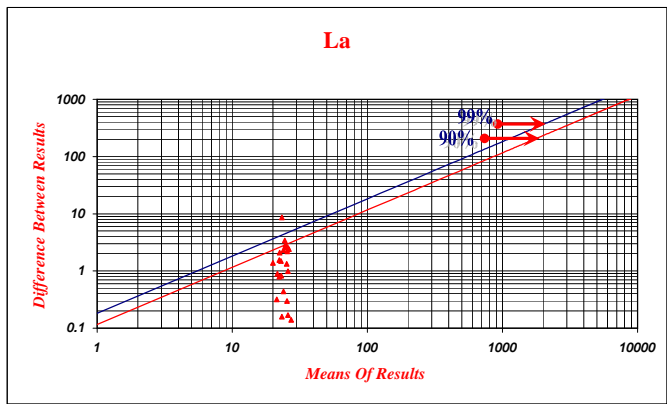
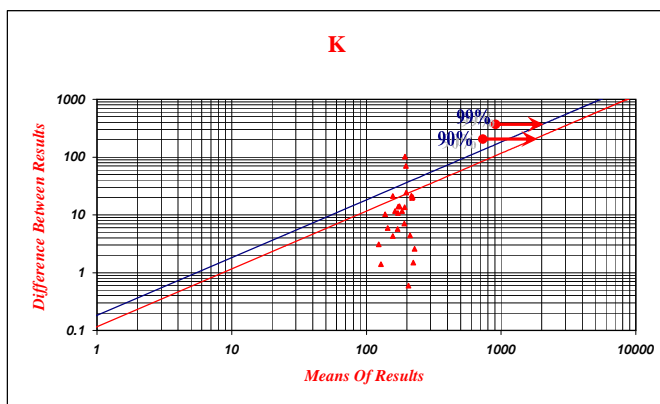
APPENDIX 2 : ERROR CHARTS(10%) OF LAB-DUPLICATE DATA IN ROBAT KARIM SHEET (1:100,000)



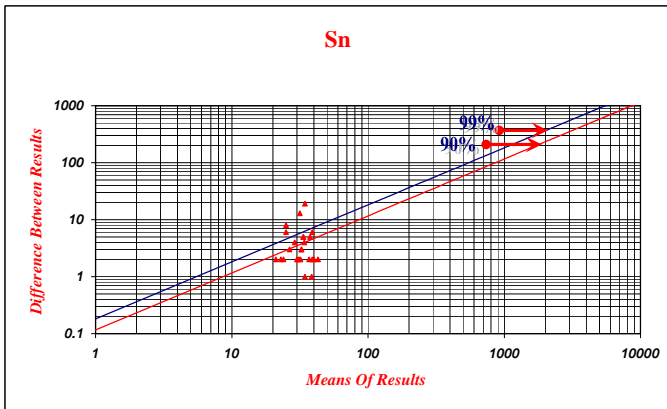
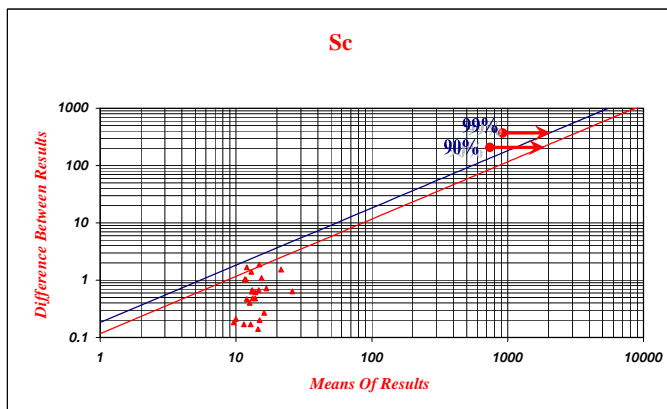
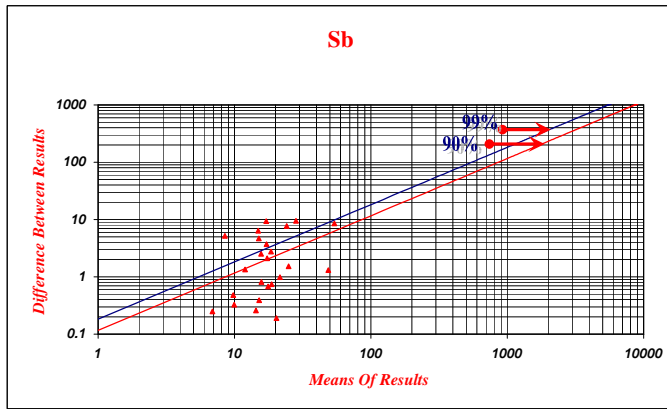
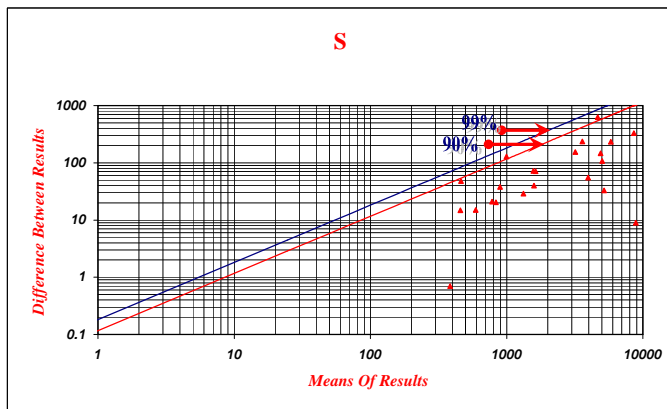
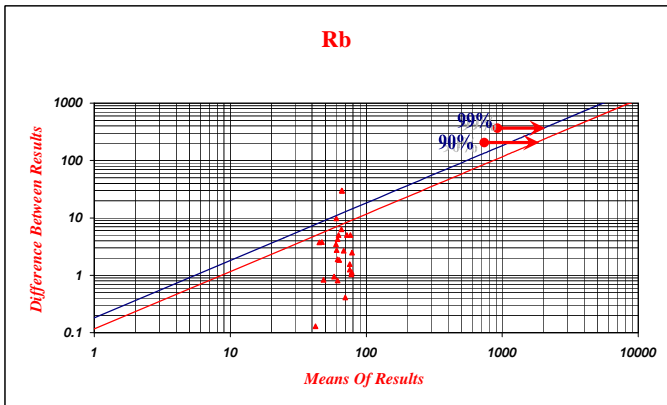
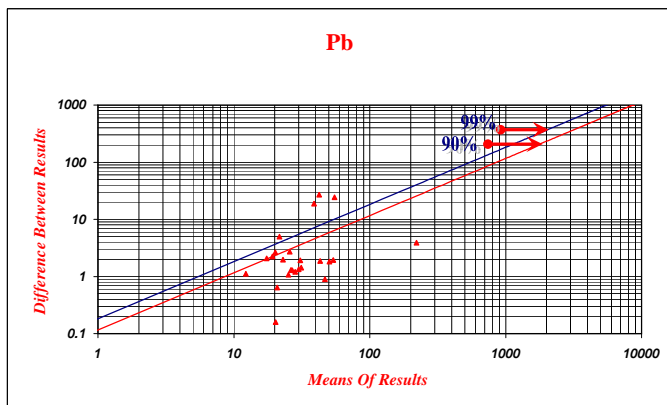
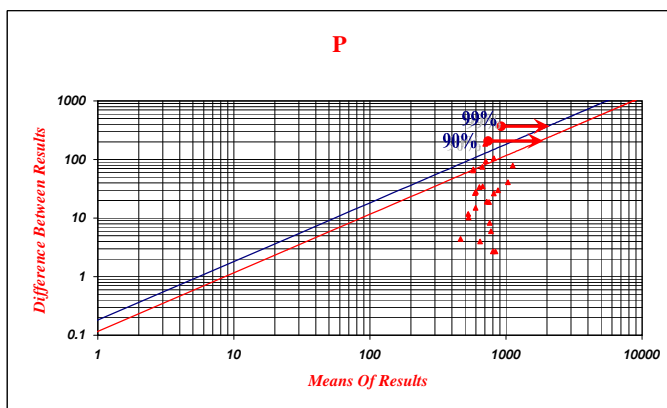
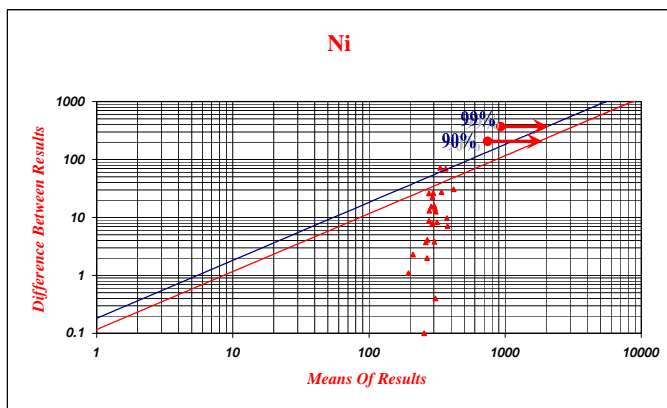
APPENDIX 2 : ERROR CHARTS(10%) OF LAB-DUPLICATE DATA IN ROBAT KARIM SHEET (1:100,000)



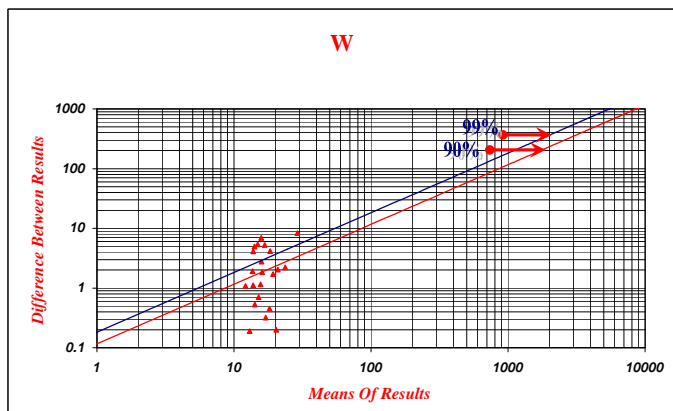
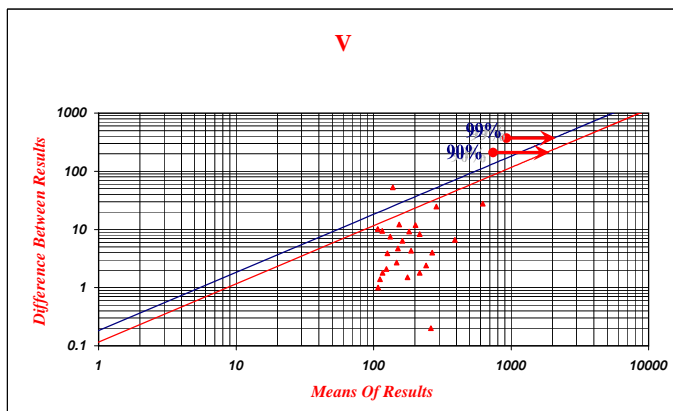
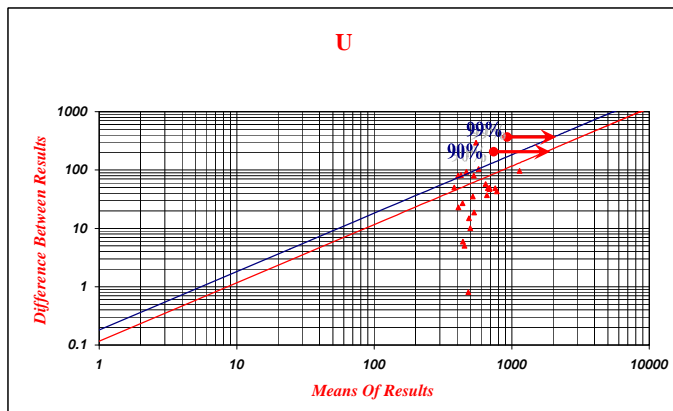
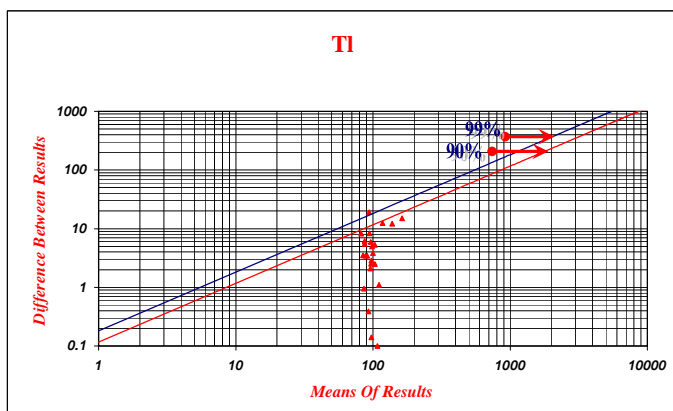
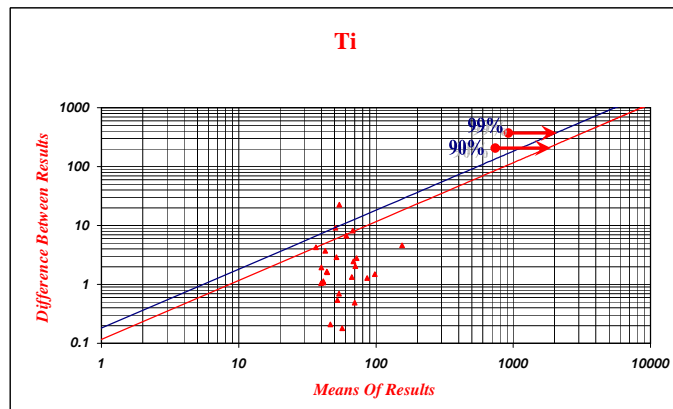
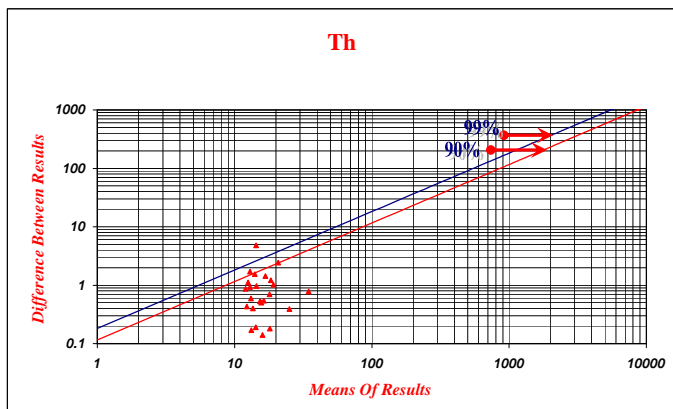
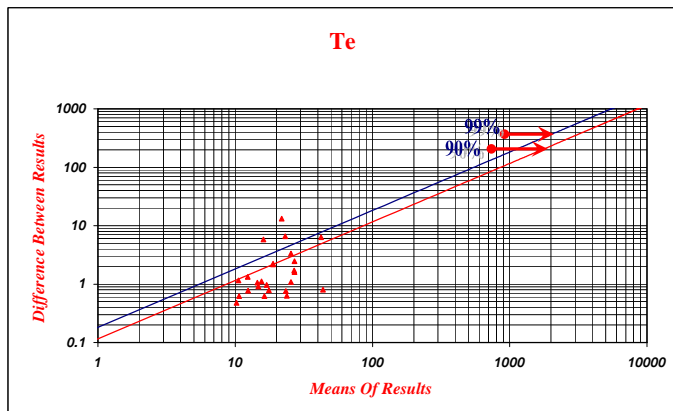
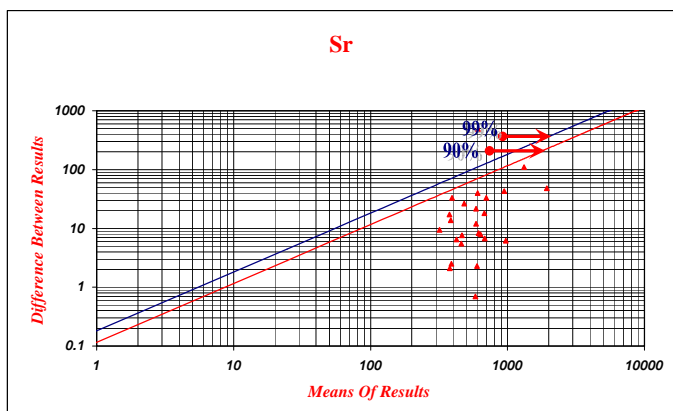
APPENDIX 2 : ERROR CHARTS(10%) OF LAB-DUPLICATE DATA IN ROBAT KARIM SHEET (1:100,000)



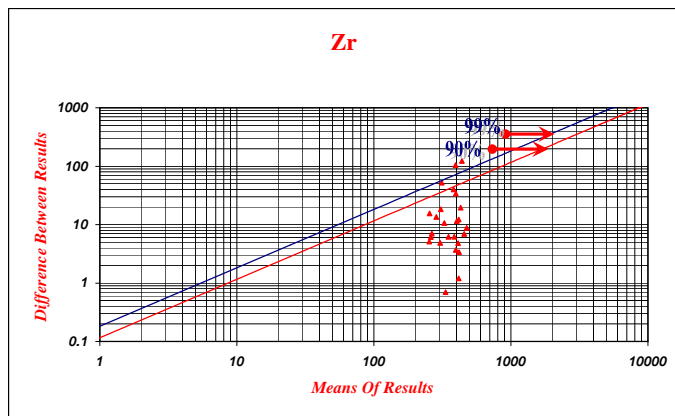
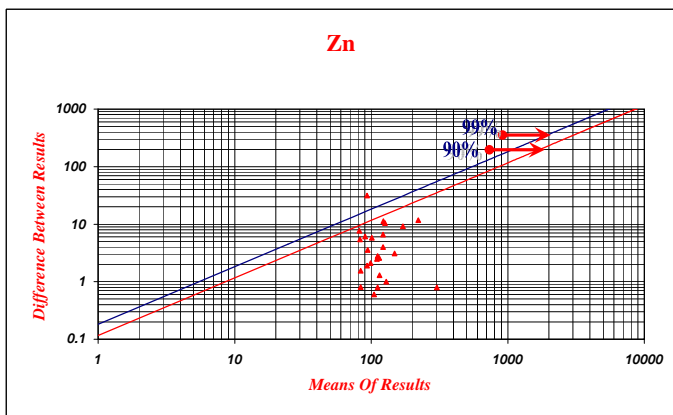
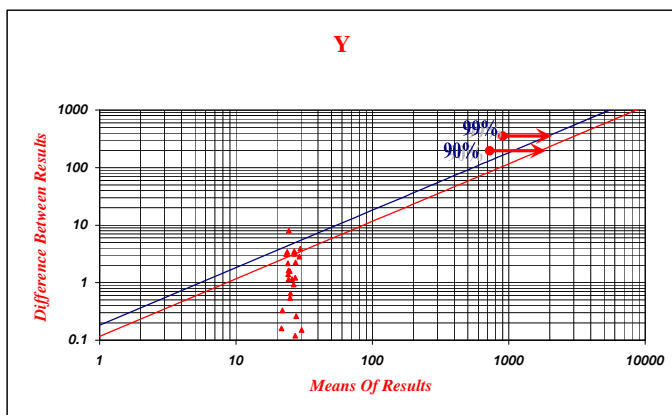
APPENDIX 2 : ERROR CHARTS(10%) OF LAB-DUPLICATE DATA IN ROBAT KARIM SHEET (1:100,000)



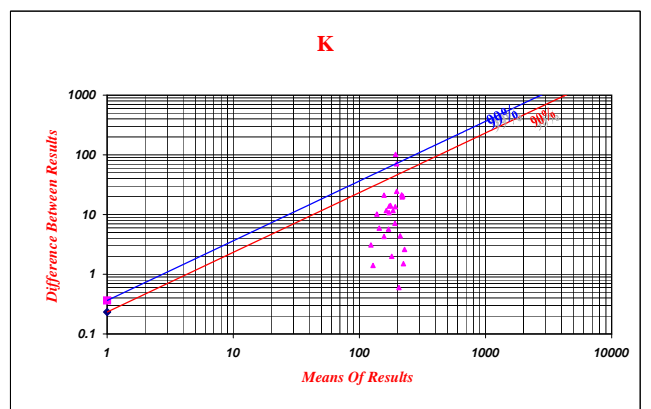
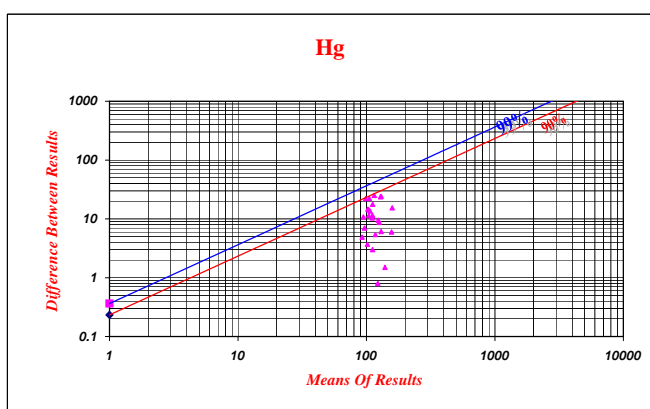
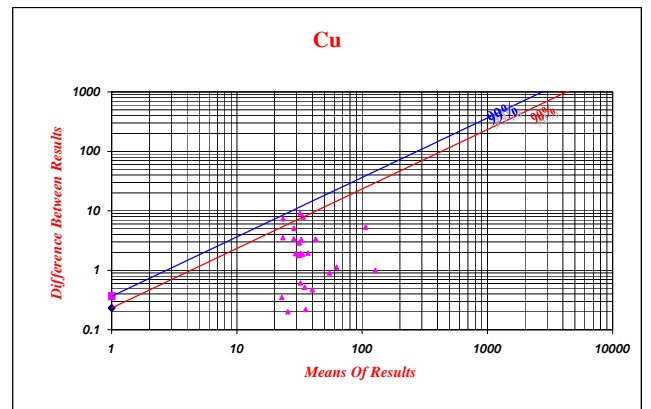
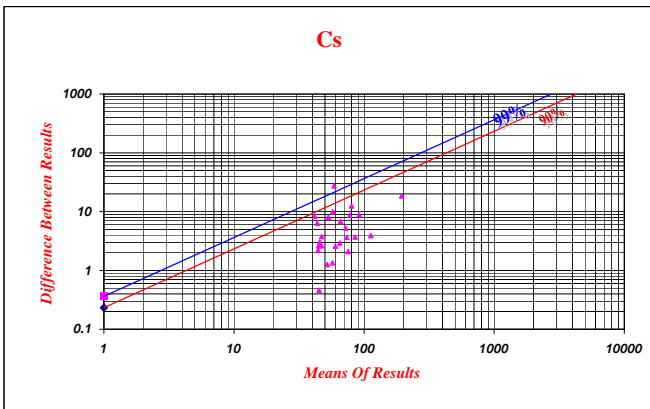
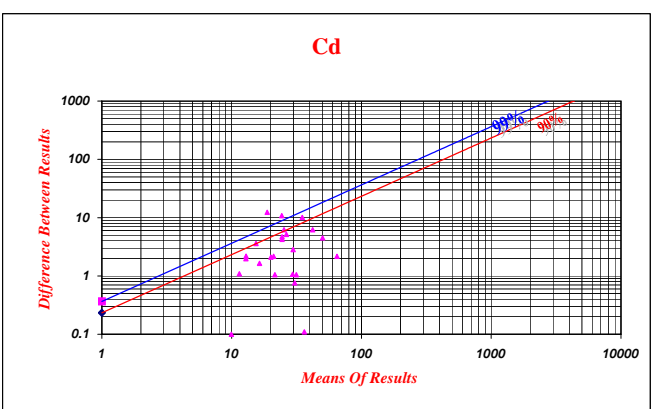
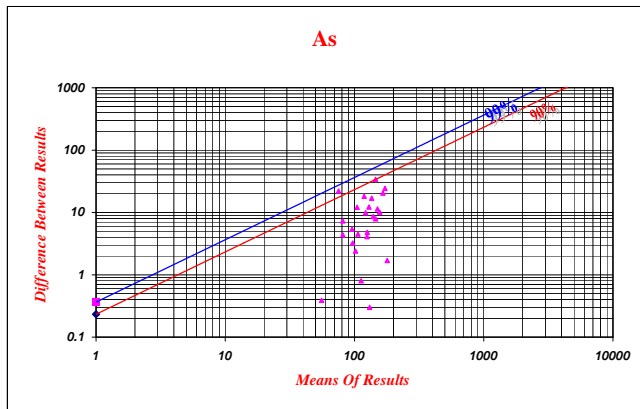
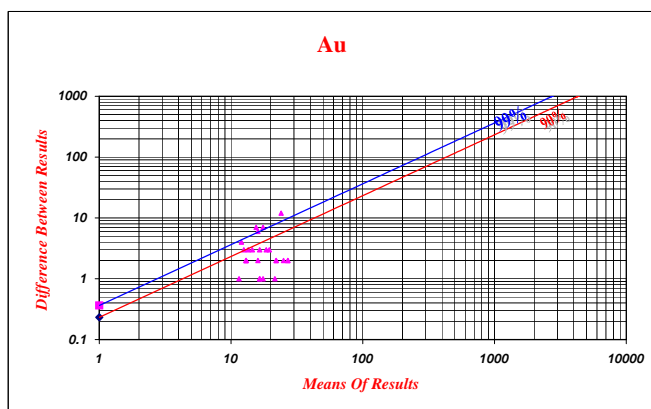
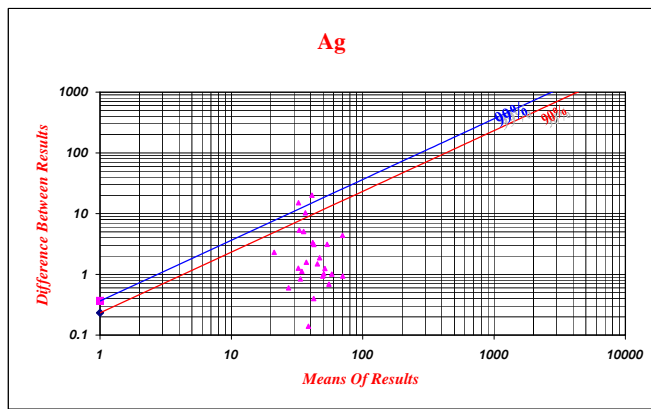
APPENDIX 2 : ERROR CHARTS(10%) OF LAB-DUPLICATE DATA IN ROBAT KARIM SHEET (1:100,000)



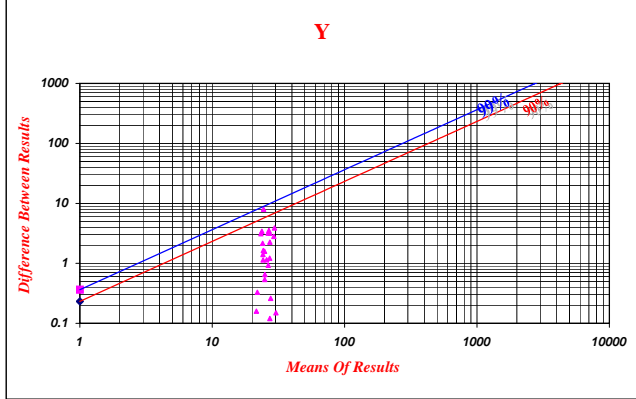
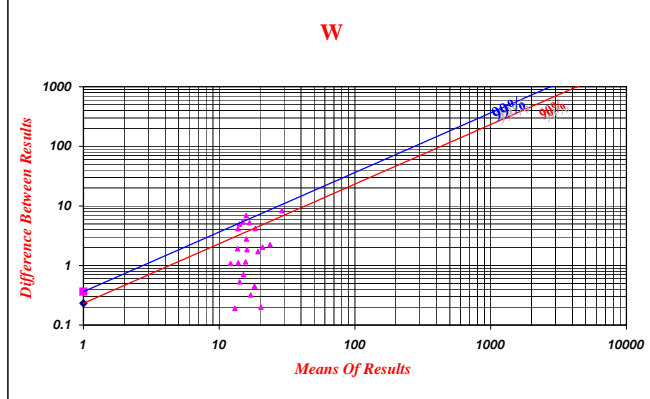
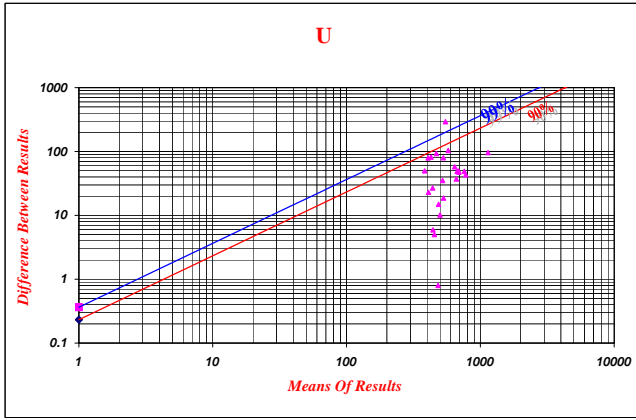
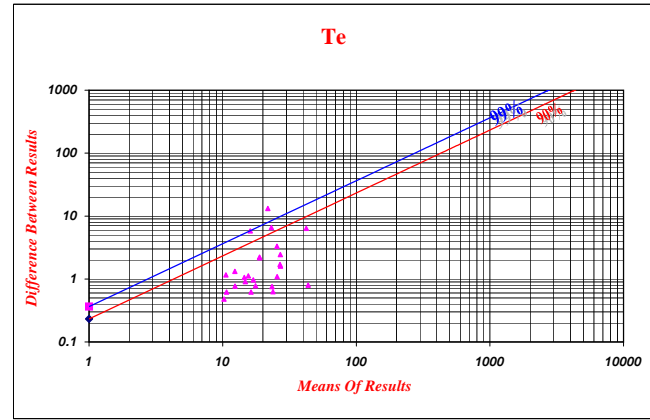
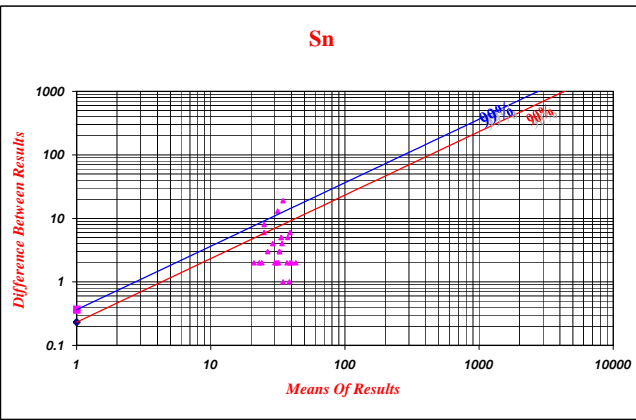
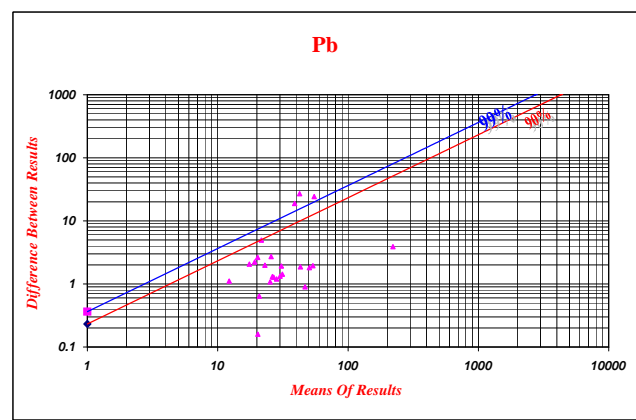
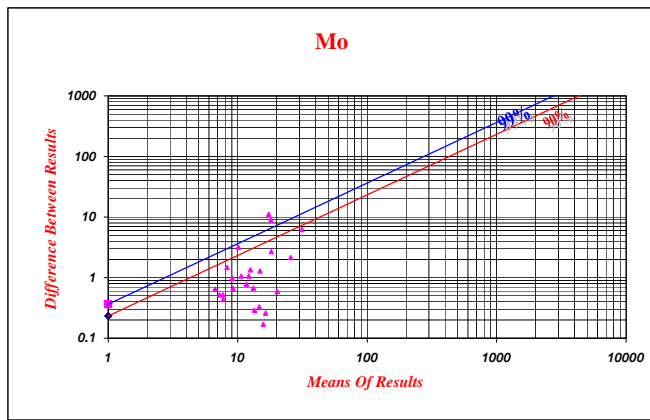
APPENDIX 2 : ERROR CHARTS(10%) OF LAB-DUPLICATE DATA IN ROBAT KARIM SHEET (1:100,000)



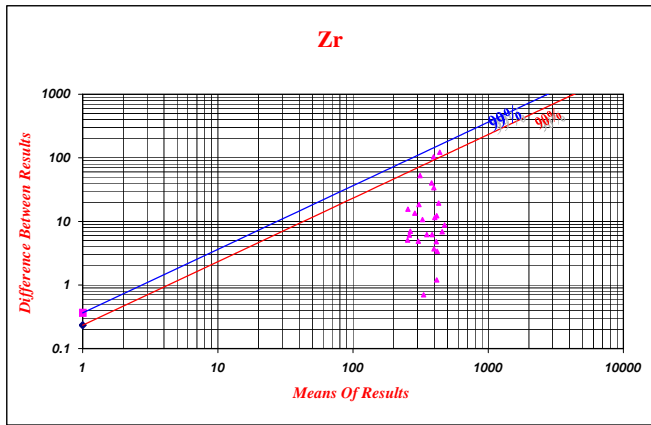
APPENDIX 2 : ERROR CHARTS(15%) OF LAB-DUPLICATE DATA IN ROBAT KARIM SHEET (1:100,000)



APPENDIX 2 : ERROR CHARTS(15%) OF LAB-DUPLICATE DATA IN ROBAT KARIM SHEET (1:100,000)

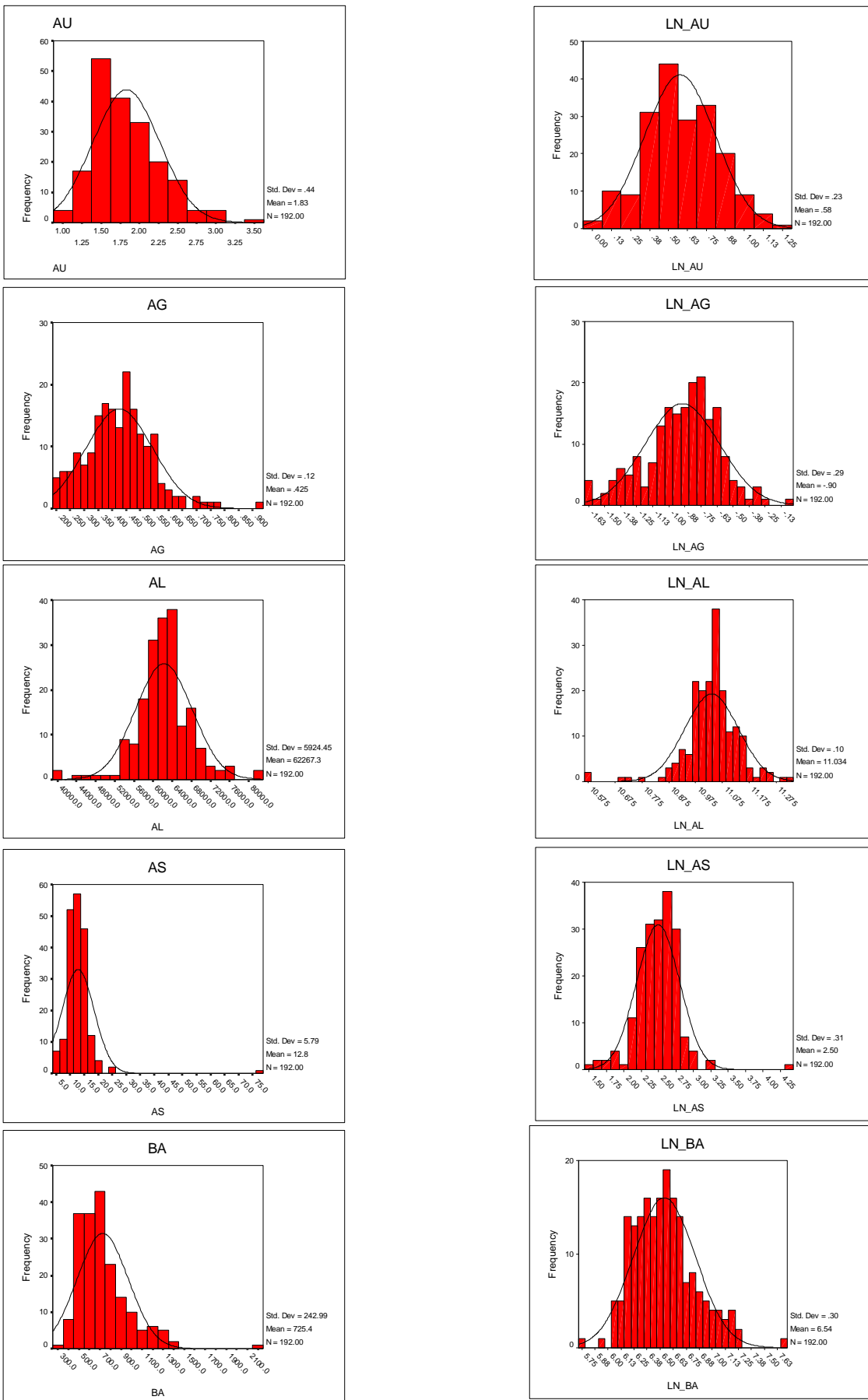


APPENDIX 2 : ERROR CHARTS(15%) OF LAB-DUPLICATE DATA IN ROBAT KARIM SHEET (1:100,000)



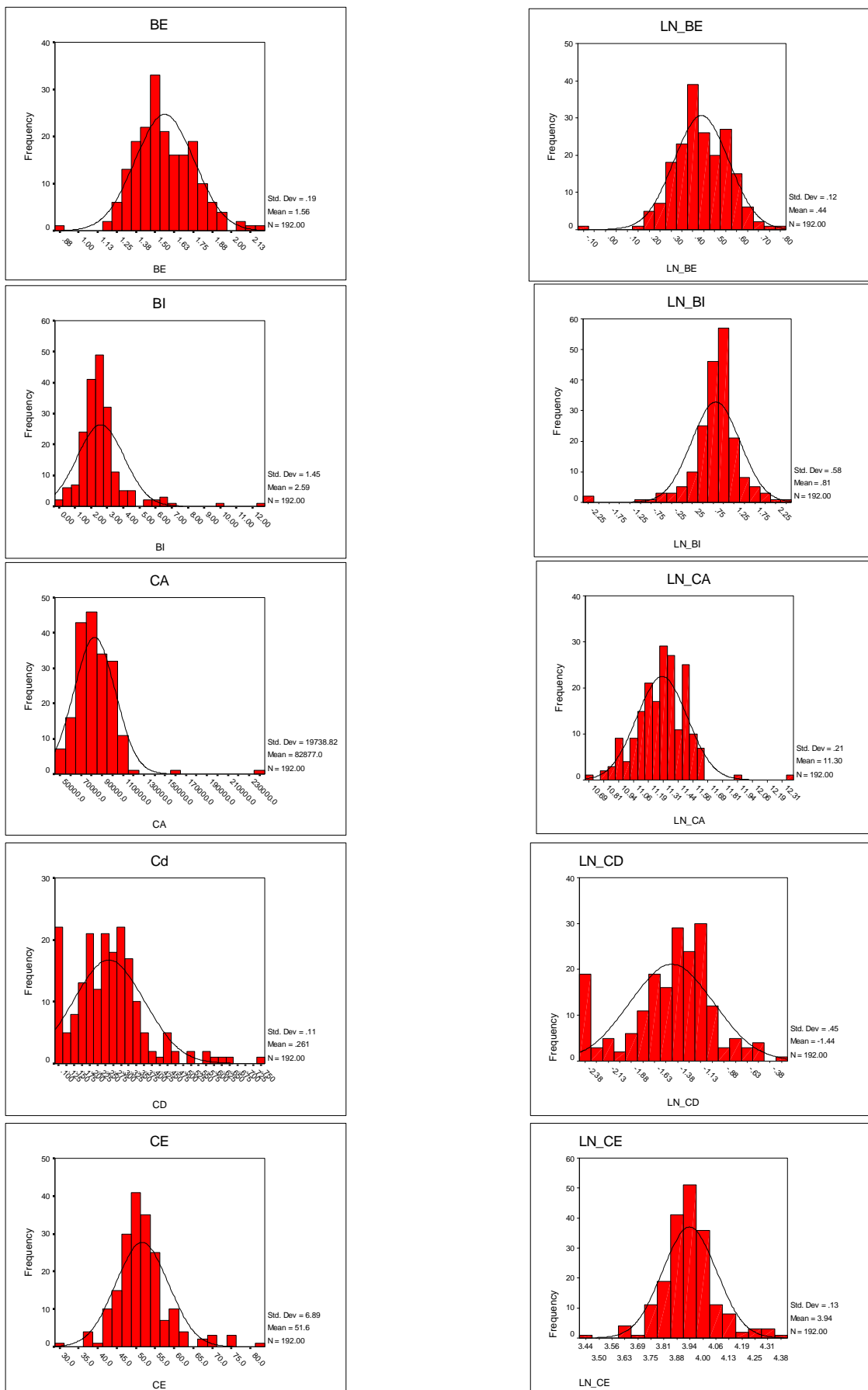
پیوست

Appendix 3 :Histograms of all variables for Raw data & Ln data in ROBAT KARIM 1:100,000 sheet

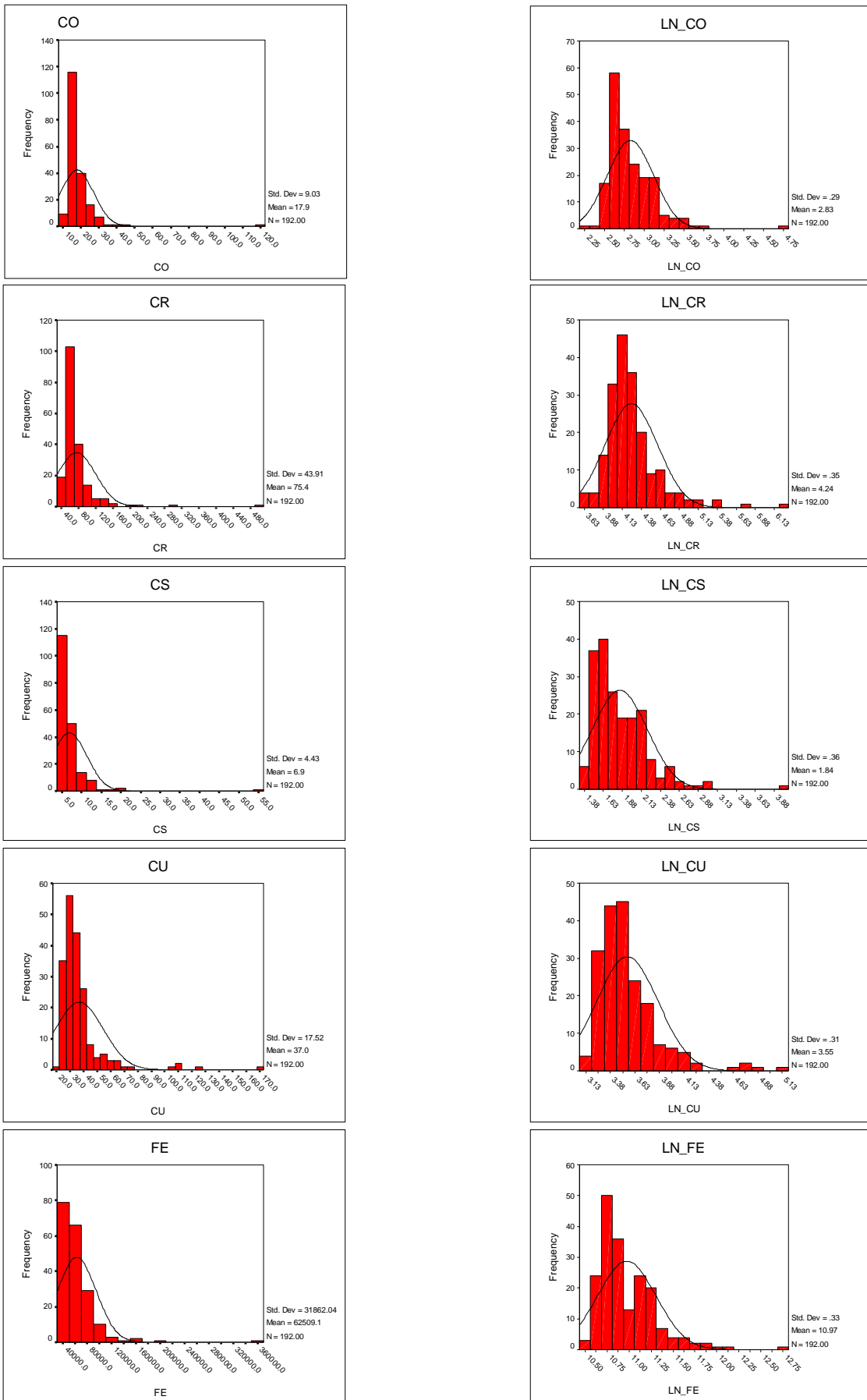


پیوست

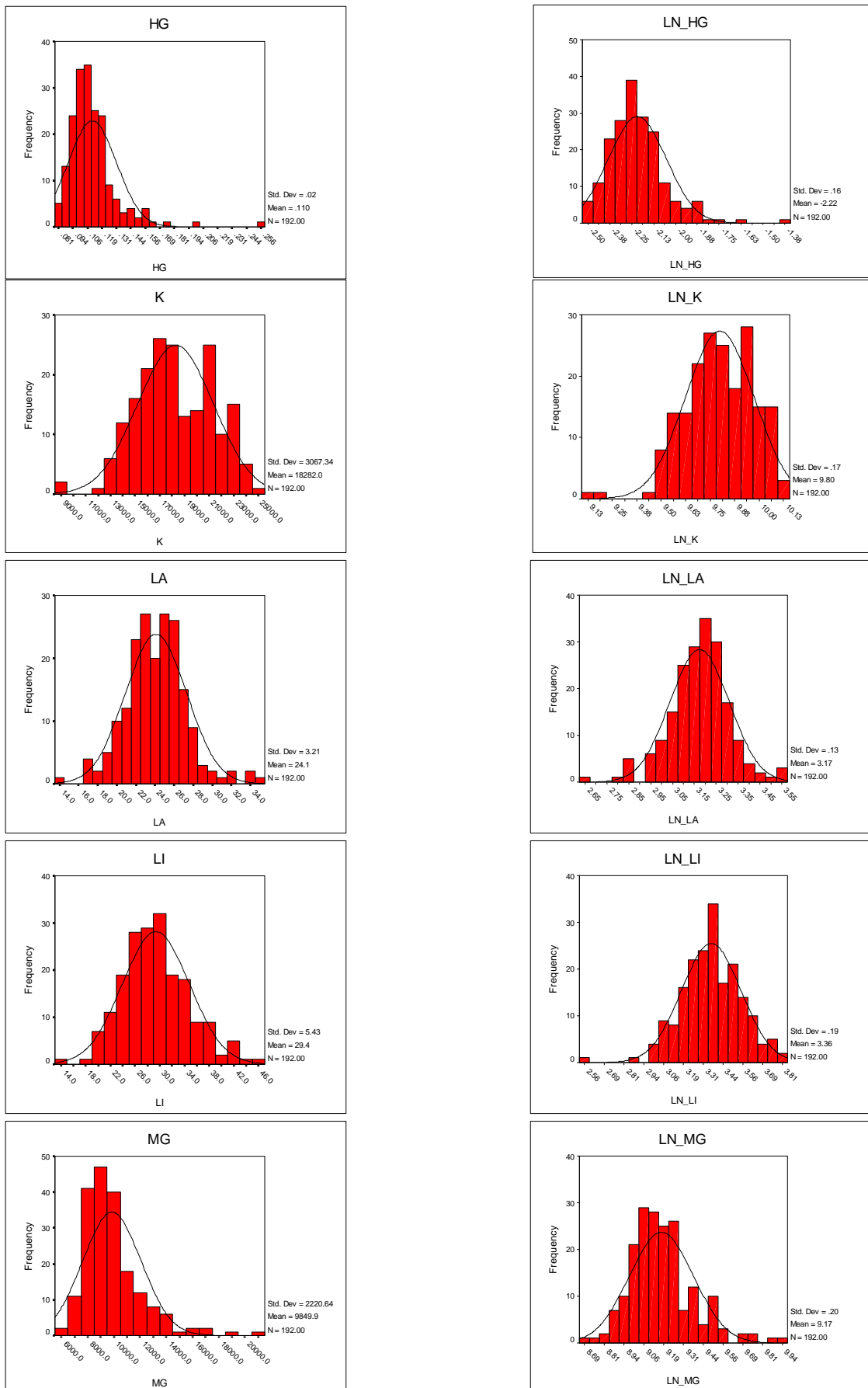
Appendix 3 :Histograms of all variables for Raw data & Ln data in ROBAT KARIM 1:100,000 sheet



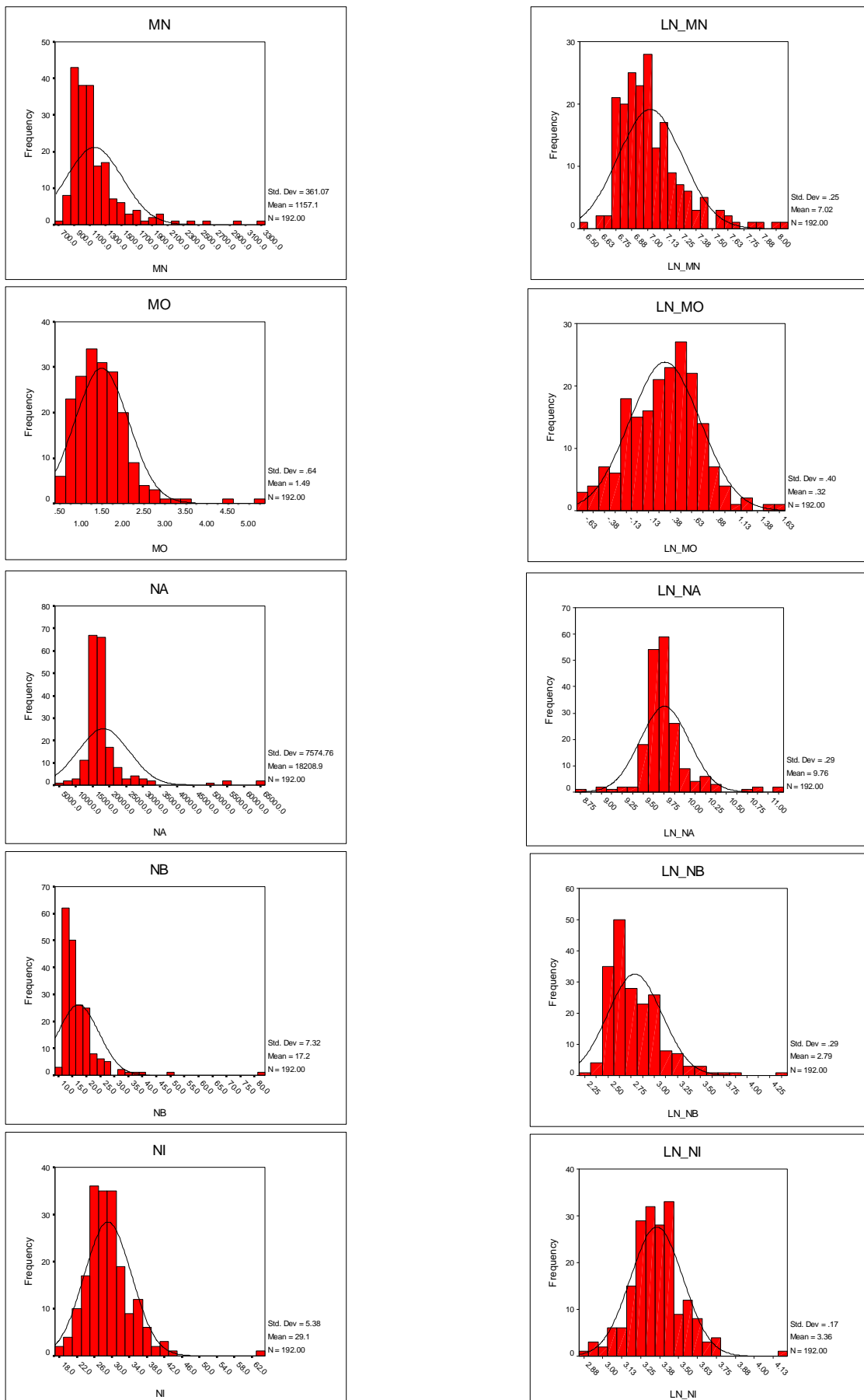
Appendix 3 :Histograms of all variables for Raw data & Ln data in ROBAT KARIM 1:100,000 sheet



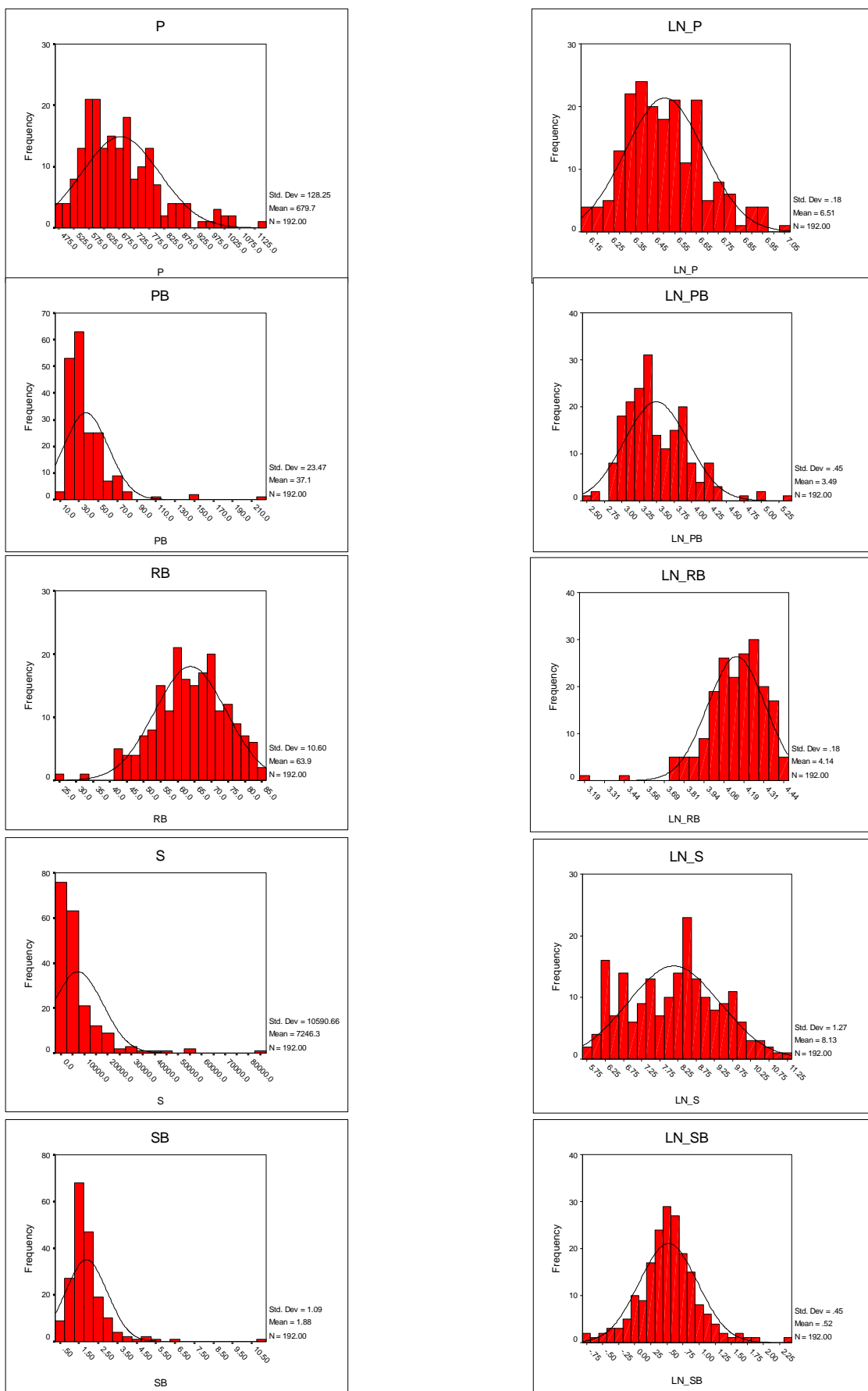
Appendix 3 :Histograms of all variables for Raw data & Ln data in ROBAT KARIM 1:100,000 sheet



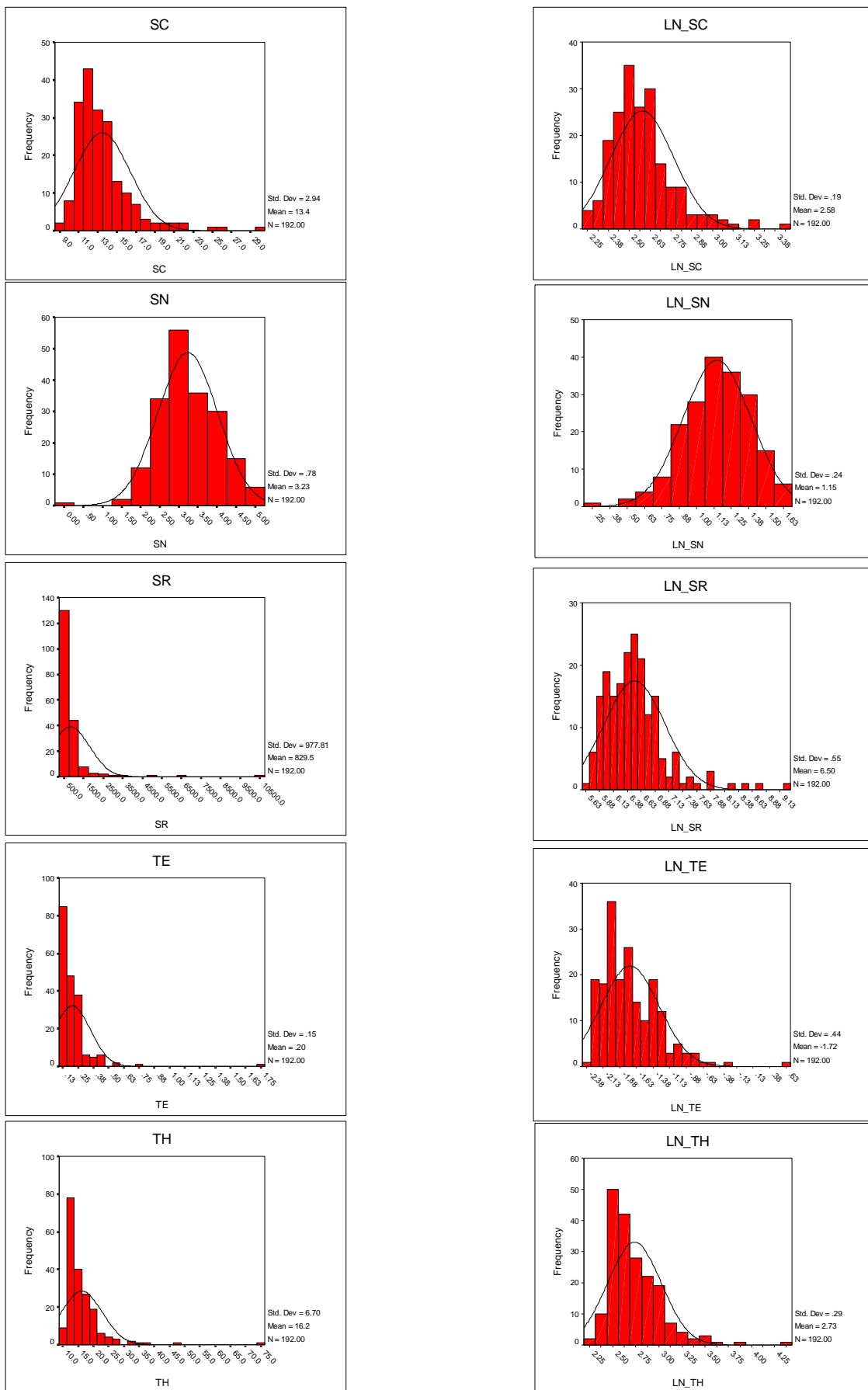
Appendix 3 :Histograms of all variables for Raw data & Ln data in ROBAT KARIM 1:100,000 sheet



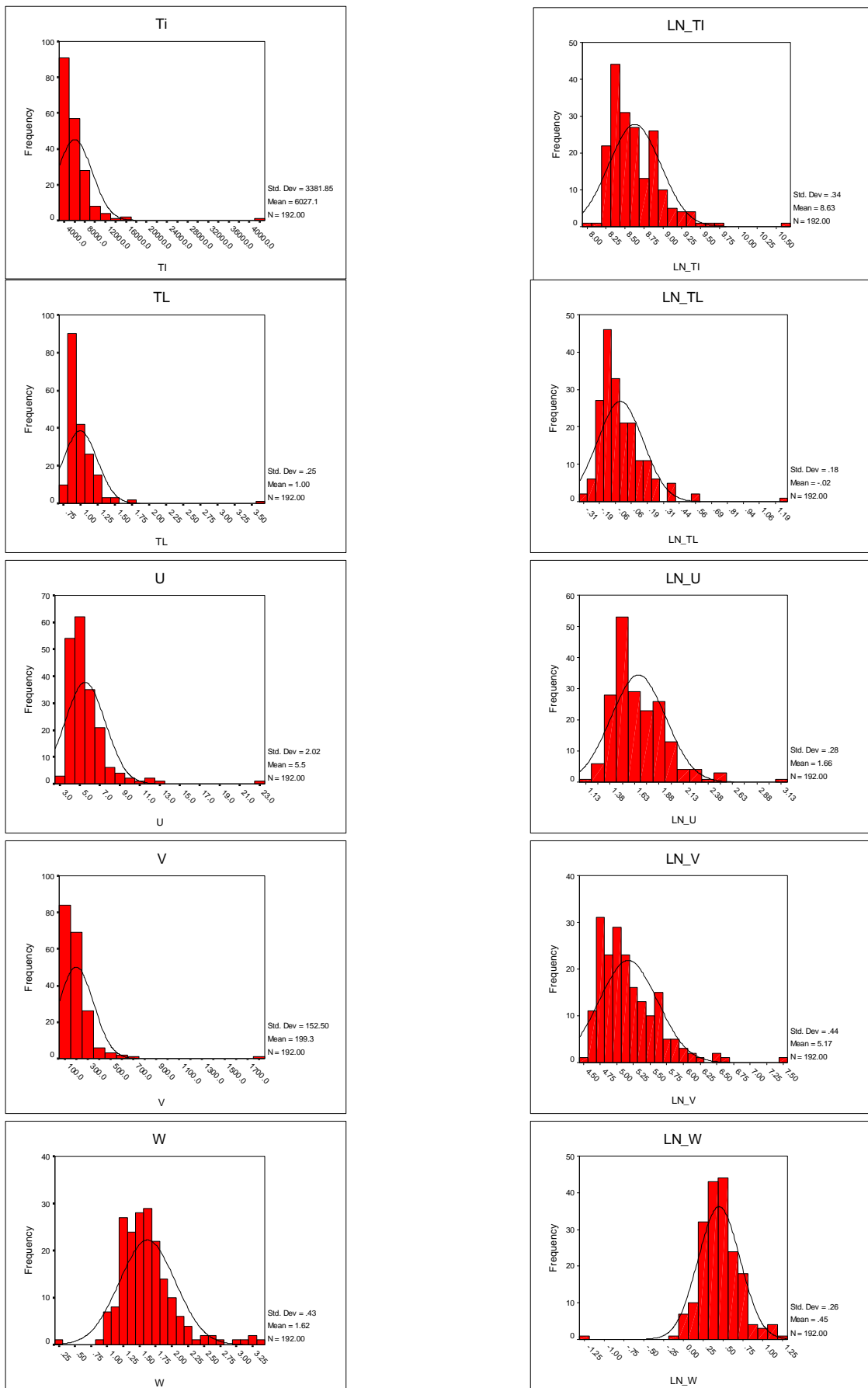
Appendix 3 :Histograms of all variables for Raw data & Ln data in ROBAT KARIM 1:100,000 sheet



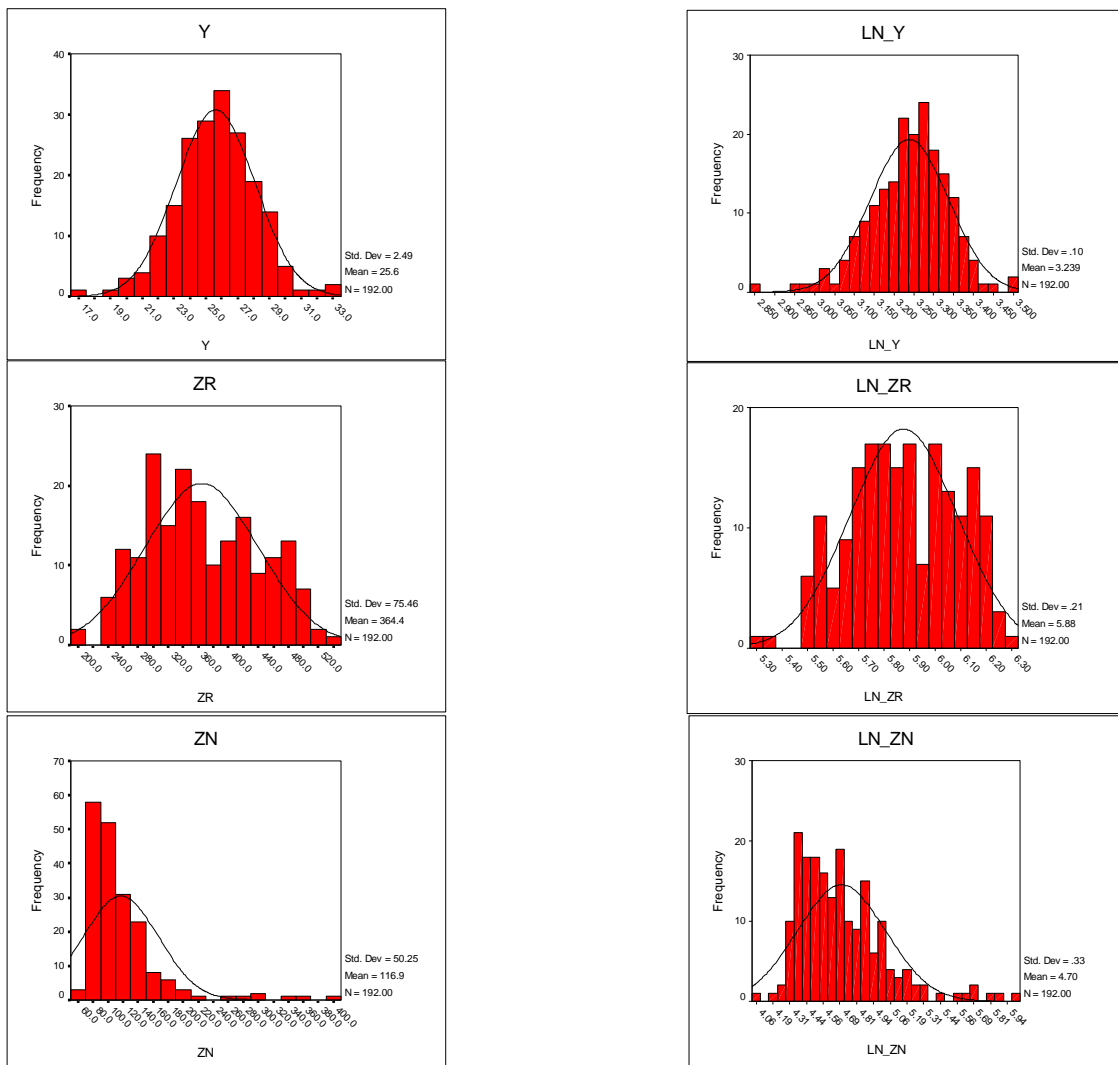
Appendix 3 :Histograms of all variables for Raw data & Ln data in ROBAT KARIM 1:100,000 sheet



Appendix 3 :Histograms of all variables for Raw data & Ln data in ROBAT KARIM 1:100,000 sheet



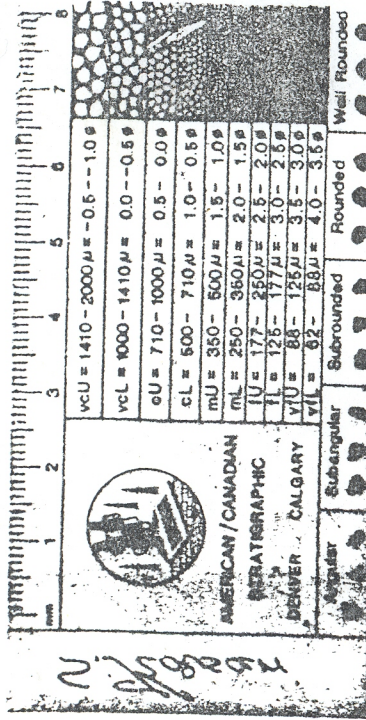
Appendix 3 :Histograms of all variables for Raw data & Ln data in ROBAT KARIM 1:100,000 sheet



پیوست

محل سنت قنطرہ دہلی کی طلا درخت زرگانی سکنی

ریز
ریز



Sample Number	Gold grain size 8 №	Roundness	Shape
	4	A	F.
	3	X	
	2		
24 (R.R.)	1		

Field in cretaceous	Well rounded	Angular	Subangular	Surrounded	Rounded	Well Rounded
Filamentous						
Lumpy						
Films						
Spongy						

عکس ایجاد کنید

(عکس) Roundness. Ab.

(عکس) Shape . Ab.

Angular	A
subangular	SA
subrounded	SR
Rounded	R
well Rounded	WR

Fibrous	FL
Lumpy	Lu
Films	Fi
spongy	SP



کزارش مطالعه کاتی سنگین

ک امور:

Field No	RR	RR	RR	RR	RR	RR	RR	RR	RR	RR	RR
Lab No.	1	2	3	4	5	6	7	8	9	10	11
T.W	65	80	66	220	46	60	84	60	60	50	10
S.W	20	15	15	14	23	15	21	20	15	25	15
H.W	13	9	9	8	5	5	8	4	9	3	3

TA>90%

A=60%-90%

M=30%-60%

PA=10%-30%

Pts=1 grain

a<=1%

T.W=Total weight of samples

S.W=Study weight

H.W=Heavy minerals weight

	RR	RR									
Magnetite	28.5	8.0	52.2	57	45	42.7	60	45	70	54	
Hematite	5	18	43.2	41	17.5	46.2	36	36.5	21	17	
Ilmenite	6.3	0.01	-	-	-	-	-	-	-	-	
Chromite	-	-	0.01	-	-	0.01	-	0.01	-	-	
Garnet											
Pyroxene	0.35	1	2.25	0.2	27.5	2.75	2	4.5	7.5	10	
Amphibole											
Peridots											
Biotite											
Tourmaline											
Staurolite											
Chlorite											
Limonite	-	-	0.22	-	0.25	2.75	0.2	2.25	0.15	2	
Pyrite(oxide)	0.01	0.01	0.22	0.2	-	0.27	0.01	-	0.01	0.01	
Epidote	-	-	0.22	0.2	0.25	0.27	0.01	2.25	0.01	0.2	
Oligist	-	-	-	-	-	0.01	-	-	0.01	-	
Gold											
Scheelite											
Cinnabar											
Thonite											
Zircon	0.025	-	0.01	0.01	0.01	0.01	0.01	0.025	0.01	0.025	
Apatite	-	-	-	0.01	-	0.01	-	-	-	0.01	
Rutile	0.01	-	0.01	-	0.01	-	0.01	0.01	-	0.01	
Chalcopyrite											
Galena											
Pyrite											
Banite	0.025	0.01	0.025	0.025	0.025	0.01	0.01	-	0.01	0.025	
Fluorite											
Anatase											
Sphene	-	0.01	0.01	0.01	0.01	-	-	0.01	0.01	-	
Sapphire	-	-	-	-	-	-	-	-	-	0.01	
Andalusite											
Celestite	-	0.025	-	0.01	0.025	0.025	0.025	2.5	0.025	0.01	
Malachite											
Leucoxene	-	-	-	-	0.01	0.01	0.01	0.01	0.01	0.01	
Muscovite	-	-	-	-	-	-	-	-	0.01	-	
Uvaritite	-	-	0.22	0.2	-	-	-	-	-	0.15	
Allanite	-	-	-	-	0.01	-	-	-	-	-	
Light min.	0.025	0.12	0.025	0.025	5.02	0.29	0.025	3.5	0.025	0.01	
altered min.	-	-	-	-	2.5	2.9	-	0.22	-	-	

مسئول از مایشگاه

مطالعه کنند: صلحی شعبوی



مطالعه کنندگان
کارخانه مطالعه کنندگان

www.gsi-iran.org

گزارش مطالعه کانی سنگین

ک امور:

Field No.	R.R.25	R.R.30	R.R.31	R.R.34	R.R.38	R.R.39	R.R.45	R.R.46	R.R.48	R.A.59
Lab No.	11	12	13	14	15	16	17	18	19	20
T.W	60	40	50	32	60	48	50	52	48	40
S.W	15	20	25	17	15	24	25	13	24	10
H.W	1	4	0.25	8	10	7.5	4	6	3.5	9

Volumetric estimation

TA>90%

PA=10%-30%

T.W=Total weight of samples

A=60%-90%

Pts= 1 grain

S.W=Study weight

M=30%-60%

a<=1%

H.W=Heavy minerals weight

Magnetite	15	31.5	0.025	47.5	60	52.2	28	45	36	54
Hematite	22.5	33.7	0.025	22.7	30	36.4	18	50	20	30
Ilmenite	10.5	0.01	0.025	4.5	2	-	30	0.01	-	0.01
Chromite	-	-	0.01	-	-	-	-	0.01	-	0.2
Garnet	-	-	0.01	-	-	-	-	-	-	-
Pyroxene	3.5	22	0.025	18	6	6.75	9	2.5	38.5	14
Amphibole	-	-	-	-	-	-	-	-	-	-
Peridots	-	-	-	0.01	-	-	-	-	-	-
Biotite	-	-	-	-	-	-	-	-	-	-
Tourmaline	-	-	-	-	-	-	-	-	-	-
Staurolite	-	-	0.01	-	-	-	-	-	-	-
Chlonte	-	5.5	0.01	0.27	-	2.25	-	0.25	2.75	-
Limonite	-	-	-	0.01	-	-	-	-	-	-
Pyrite(oxide)	-	-	-	-	-	-	-	-	-	-
Epidote	0.01	0.27	-	0.22	0.01	0.01	-	0.01	0.27	0.01
Oligist	-	-	-	0.01	-	-	-	-	-	0.01
Gold	-	-	-	-	-	-	-	-	-	-
Scheelite	-	-	-	-	-	-	-	-	-	-
Cinnabar	-	-	-	-	-	-	-	-	-	-
Thonite	-	-	-	-	-	-	-	-	-	-
Zircon	0.01	0.01	0.01	0.01	0.01	0.01	0.01	0.025	0.025	0.025
Apatite	-	0.01	-	-	0.01	0.01	-	-	-	0.01
Rutile	-	0.01	-	0.01	0.01	0.01	-	0.01	0.01	0.01
Chalcooynte	-	-	-	-	-	-	-	-	-	-
Galena	-	-	-	-	-	-	-	-	-	-
Pyrite	-	-	0.01	-	-	-	-	-	-	-
Bante!	0.01	0.01	-	0.75	0.025	0.01	-	0.01	0.01	-
Fluonte	-	-	-	-	-	-	-	-	-	-
Anatase	-	-	-	-	-	-	-	-	-	-
Sphene	-	0.01	-	0.01	-	0.01	0.01	0.01	0.01	0.01
Sapphire	-	-	-	-	-	-	-	-	-	-
Andalusite	-	-	0.01	-	-	-	-	-	-	-
Celestite	0.025	0.025	0.01	3.7	0.025	0.01	0.01	-	0.01	0.01
Malachite	-	-	-	-	-	-	-	-	-	-
Leucoxene	-	-	-	0.01	0.01	-	-	0.01	-	-
Allanite	0.01	-	-	0.01	-	-	0.01	-	-	-
Martite	-	-	-	0.01	-	-	-	-	-	-
Light min.	0.025	0.025	0.025	0.24	0.025	0.025	0.32	0.025	0.025	0.025
altered min.	12.5	4.5	-	-	-	-	12	-	-	-

مسنول از مایشگاه:

مطالعه کنندگان: حسن پیری



گزارش مطالعه کانی سنگین

Field No.	R.R.60	R.R.67	R.R.63	R.R.66	R.R.67	R.R.69	R.R.70	R.R.76	R.R.77	R.R.79
Lab No.	21	22	23	24	25	26	27	28	29	30
T.W	30	60	30	28	80	30	60	30	20	20
S.W	15	15	15	13	20	15	15	15	10	10
H.W	5	10	6	5	10	5	10	6	2	3

Volumetric estimation

TA>=90%

PA=10%-30%

T.W=Total weight of samples

A=60%-30%

Pts=1 grain

S.W=Study weight

M=30%-60%

a<=1%

H.W=Heavy minerals weight

3

Magnetite	54	60	47.5	38	57	34	66.5	57	36	24
Hematite	25	34	42.5	17	41	42	30.5	29	20	15.7
Ilmenite										
Chromite										
Garnet	0.01	2	0.01	-	0.01	-	-	0.01	8.25	0.01
Pyroxene	16	2	7.5	32.5	0.2	18	1.5	10	27.5	48.7
Amphibole										
Peridots										
Biotite	0.01	-	-	-	-	-	-	-	-	-
Tourmaline										
Staurolite										
Chlonte										
Limonite	0.2	-	0.25	0.25	0.01	3	-	2	0.27	0.32
Pyrite(oxide)										
Epidote	0.2	0.01	0.01	-	0.01	-	0.01	-	5.5	0.32
Oligist	-	0.2	0.01	0.01	0.2	0.3	0.3	0.01	0.01	-
Gold	-	-	-	0.01	-	-	-	-	"	-
Scheelite										
Cinnabar										
Thonte										
Zircon	0.025	0.025	0.025	-	0.025	0.01	0.01	0.01	0.025	0.25
Apatite	0.01	-	0.01	-	-	-	-	0.01	-	-
Rutile	0.01	0.01	0.01	0.01	0.01	0.01	0.01	0.01	0.01	0.01
Chalcooynte										
Galena										
Pyrite										
Bante'	0.01	0.01	0.025	0.01	0.01	0.01	0.01	-	0.01	0.05
Fluontite										
Anatase										
Sphene	0.01	0.01	0.01	0.01	0.01	0.01	0.01	0.01	0.01	0.01
Sapphire										
Andalusite	0.01	0.01	0.01	0.01	-	-	-	-	0.01	-
Celestite	0.01	0.01	-	4.5	0.01	0.025	0.025	0.01	0.01	3.75
Malachite										
Leucoxene	0.01	0.01	0.01	0.01	0.01	0.01	-	-	-	0.01
Disthene	0.01	-	-	0.01	-	-	0.01	0.01	-	-
Nigrite	-	0.01	-	-	-	-	-	-	-	-
Siderite	-	-	-	-	-	-	-	-	-	0.01
Light min.	0.025	0.025	-	5	0.025	0.025	-	0.025	0.025	0.57
altered min.	-	-	-	-	-	0.3	-	-	0.27	3.25

مسنون از مایشگاه

مطالعه کنند: صلحمند بورسی



سپاراد

دریج

بررسی

کارخانه ریاضی شناسی راهنمایی نهضت

گروه آماری

گزارش مطالعه کائی سنگین

ک امور:

Field No.	R.R.81	R.R.82	R.A.89	R.A.92	R.A.96	R.A.99	R.A.101	R.A.104	R.A.105	R.A.108
Lab No.	31	32	33	34	35	36	37	38	39	40
T.W.	32	36	120	28	30	20	32	34	20	20
S.W.	14	18	15	14	15	10	15	16	10	10
H.W.	10	6	8	6	4.5	3	8	5	4	5

Volumetric estimation

TA>=90%

PA=10%-30%

T.W. Total weight of samples

A=60%-30%

Pts= 1 grain

R: 1-6-10%

S.W. Study weight

M=30%-60%

a<=1%

H.W. Heavy minerals weight

Magnetite	60	65	40	47.5	28.5	5	27	27	30	30
Hematite	17.5	19.5	6	7.5	7	27	19.5	3.2	9.75	10.5
Ilmenite	-	-	-	-	-	0.45	3.25	0.32	-	3.5
Chromite										
Garnet										
Pyroxene	5.25	3	51	37.5	48	45	19.5	39	39	28
Amphibole	-	-	-	0.01	-	-	0.01	-	0.01	-
Pendots	-	-	-	-	0.35	-	-	-	-	-
Biotite	-	-	-	-	-	0.01	-	-	0.32	-
Tourmaline										
Staurolite										
Chlorite										
Limonite	-	-	0.01	0.01	-	-	-	-	-	-
Pyritel(oxide)	-	-	-	-	-	-	4.01	-	-	-
Epidote	0.01	0.01	0.01	-	-	-	-	-	0.01	0.01
Oligist	7	6	-	2.5	3.5	-	12.5	6.5	3.25	14
Gold										
Scheelite										
Cinnabar										
Thorite										
Zircon	0.025	4.025	0.01	0.01	0.025	0.25	0.025	0.01	0.5	0.01
Apatite	-	-	0.01	0.01	0.01	0.01	0.01	-	1	0.01
Rutile	0.01	0.01	0.01	-	0.01	0.01	0.01	0.01	0.01	0.01
Chalcopyrite										
Galena										
Pyrite	10.25	0.25	0.01	0.01	0.01	2.25	2.5	4	0.5	0.025
Fluonte										
Anatase										
Sphene	-	-	-	0.01	0.01	-	-	0.01	-	-
Sapphire										
Andalusite										
Celestite	1.75	2	0.01	0.025	0.01	0.01	0.025	-	0.025	0.01
Malachite										
Leucoxene	-	-	-	-	0.01	-	-	-	0.01	0.01
Stibnite	-	-	-	-	-	-	0.01	-	-	-
Pyrolusite	-	-	-	-	0.01	-	-	-	-	-
Native lead	-	-	-	-	0.01	-	-	-	-	0.01
Light min.	5.25	2.5	0.32	2.7	7.5	6.75	2	7	12.25	7.17
altered min.	-	-	-	2	5	9	3	9.75	-	2.5

مسنون از مایشگاه

مطالعه کنند: حسن
مدیر فرماندهی زمین

مطالعه کنند: حسن



سازمان اسناد و اسناید
کارخانه اسناید
گزارش مطالعه کانی سنگین

گزارش مطالعه کانی سنگین

ک امور:

گزارش مطالعه کانی سنگین

Field No	R.A.109	R.A.110	R.A.111	R.A.117	RAS122	RAS124	RAS125	R.A.130	R.A.132	R133
Lab No.	41	42	43	44	45	46	47	48	49	50
T.W	60	25	30	19	40	60	58	23	23	23
S.W	15	25	15	19	20	15	14	16	23	23
H.W	9	2	7	3	9	9	5	5	2	7

Volumetric estimation

TA>90%

PA=10%-30%

T.W Total weight of samples

A=60%-90%

Pts= 1 grain

R: 5-10%

S.W Study weight

M=30%-60%

a<1%

H.W Heavy minerals weight

Magnetite	55	24	36	50	40	50	30	50	40	50
Hematite	14	72	12	25	24.7	35	45.5	36	12	25
Ilmenite	2	0.3	4	-	-	-	0.32	2.25	-	-
Chromite	-	-	-	-	-	-	-	-	-	-
Garnet	-	-	-	-	-	0.01	0.01	0.01	-	-
Pyroxene	1.85	36	24	17.5	8.25	2.5	6.5	2.25	27	15
Amphibole	-	-	-	-	0.01	-	-	-	0.01	-
Pandots	0.01	-	0.01	-	-	-	-	0.01	-	-
Biotite	-	0.01	-	-	-	-	-	-	-	0.01
Tourmaline	-	-	-	-	-	-	-	-	-	-
Staurolite	-	-	-	-	-	-	-	-	-	-
Chlonte	-	-	-	-	-	-	-	-	-	-
Limonite	0.01	0.01	-	4.25	-	-	-	-	0.3	0.25
Pyrite(oxide)	-	-	-	-	-	-	0.01	-	0.01	-
Epidote	-	0.01	-	0.01	0.01	2.5	0.01	0.01	-	0.25
Oligist	4	-	0.2	0.25	16.5	10	9.7	2.25	0.3	2.5
Gold	-	-	-	-	-	-	-	-	-	-
Scheelite	-	-	-	-	-	-	-	-	-	-
Cinnabar	-	-	-	-	-	-	-	-	-	-
Thonte	-	-	-	-	-	-	-	-	-	-
Zircon	0.01	0.01	0.01	0.025	0.75	0.01	0.5	1.25	0.01	0.025
Apatite	-	-	-	-	0.01	-	-	0.01	-	0.01
Rutile	0.01	-	-	0.01	0.01	0.01	0.01	0.01	0.01	0.01
Chalcooynte	-	-	-	-	-	-	-	-	-	-
Galena	-	-	-	-	-	-	-	-	-	-
Pyrite	Bante'	4	4.5	16	0.01	0.25	0.025	2	2.5	0.025
Fluonite	-	-	-	-	-	-	-	-	-	-
Anatase	-	-	-	-	-	-	-	-	-	-
Sphene	-	-	-	-	-	-	0.01	0.01	-	-
Sapphire	-	-	-	-	-	-	-	-	-	-
Andalusite	-	-	-	-	-	-	-	-	-	-
Celestite	-	4.5	2	-	4.25	0.01	0.01	0.01	-	-
Malachite	-	-	-	-	-	-	-	-	-	-
Leucoxene	-	-	-	0.01	0.01	-	0.01	0.01	0.01	0.01
Goethite	-	-	-	-	-	-	-	-	-	-
Stibnite	-	-	-	-	-	-	-	0.01	-	-
Pyralusite	-	-	0.2	-	-	-	-	-	-	-
Nigrine	-	-	-	0.01	-	-	-	-	-	-
Light min.	0.75	0.05	1	5.02	0	0.025	2.25	1.22	15	5
altered min.	-	0.05	0	0.01	-	-	0.025	-	3	-

مسنون از مایشگاه:

مطالعه کنند: حسن



گزارش مطالعه کانی سنگین

ک امور:

	AA	RR	RA	RAS						
Field No.	55	134	136	193	147	146	148	149	150	151
Lab No.	SI	52	53	54	55	56	57	58	59	60
T.W.	40	30	25	40	24	32	70	40	50	38
S.W.	20	15	15	10	10	10	10	10	10	10
H.W.	15	2.5	1.5	4	2	7	10	7.5	7	7.5

Volumetric estimation

TA=90% PA=10%-30%

A=60%-90%

M=30%-60%

Pts= 1 grain

R: 1.6-10%

a<1%

T.W: Total weight of samples

S.W: Study weight

H.W: Heavy minerals weight

Magnetite	50	50	50	40	38	50	50	60	70	60
Hematite	30	-	-	-	-	-	-	-	-	-
Ilmenite	-	-	-	-	-	22.5	-	-	-	-
Chromite	-	-	-	-	-	-	-	-	-	-
Garnet	-	0.01	0.01	0.01	0.01	-	-	0.2	3	7
Pyroxene	2.5	17.5	20	27	24	15	2.5	2	1.5	1.75
Amphibole	-	-	-	-	-	0.01	-	-	-	-
Peridots	-	0.01	-	-	-	-	-	-	-	-
Biotite	-	0.01	-	-	-	-	-	-	-	-
Tourmaline	-	-	-	-	-	-	-	-	-	-
Staurolite	-	0.01	-	-	-	-	-	-	-	-
Chlonte	-	-	-	-	-	-	-	-	-	-
Limonite	0.25	0.25	-	-	-	-	0.01	-	-	-
Pyrite(oxide)	-	0.01	-	-	-	-	-	0.01	-	-
Epidote	-	0.25	0.25	-	3	-	0.01	0.01	0.15	0.1
Oligist	15	5	-	-	3	-	17.5	4	4.5	5.25
Gold	-	-	-	-	-	-	-	-	-	-
Scheelite	-	-	-	-	-	-	-	-	-	-
Cinnabar	-	-	-	-	-	-	-	-	-	-
Thonite	-	-	-	-	-	-	-	-	-	-
Zircon	0.01	0.01	0.025	0.01	0.01	0.01	0.01	0.01	0.01	0.025
Apatite	0.01	0.01	0.01	0.01	0.01	0.01	0.01	0.01	0.01	0.01
Rutile	-	0.01	0.01	0.01	0.01	0.01	0.01	-	0.01	0.01
Chalcopyrite	-	-	-	-	-	-	-	-	-	-
Galena	-	-	-	-	-	-	-	-	-	-
Pyrite	-	-	-	-	-	-	-	-	-	-
Bante'	0.025	0.025	0.025	0.025	0.025	0.025	0.025	0.025	0.025	2.5
Fluonte	-	-	-	-	-	-	-	-	-	-
Anatase	-	-	-	-	-	-	-	-	-	-
Sphene	-	-	-	-	-	-	-	0.01	-	-
Sapphire	-	-	-	-	-	-	-	-	-	-
Andalusite	-	-	-	0.01	-	0.01	0.01	0.01	0.01	-
Celestite	-	-	0.01	0.01	-	-	0.01	0.01	0.01	0.5
Malachite	-	-	-	-	-	-	-	-	-	-
Leucoxene	-	0.01	0.01	0.01	0.01	-	-	-	-	-
Goethite	0.01	22.5	20	27	27	10	27.5	32	19.5	19.2
Ditroisite	-	-	0.01	-	-	-	-	-	-	-
Stibnite	-	-	-	-	-	0.25	-	-	-	-
Pyrolusite	-	-	-	-	0.01	-	-	-	-	-
Mgirine	-	-	-	-	0.01	-	-	-	-	-
Chalcocite	-	-	-	-	0.01	-	-	-	-	-
Disphenite	-	-	-	-	-	-	-	0.01	0.01	-
Light min.	0.025	2.5	5	0.025	2	0.025	0.025	0.025	0.17	2
altered min.	-	-	2.5	-	-	-	-	-	-	-

مسنون از مایشگاه:

مطالعه کنندۀ: ۰۰۰۰۰۰۰۰۰۰۰۰۰
مدیر امور زمین‌سنجی

مطالعه کنندۀ: ۰۰۰۰۰۰۰۰۰۰۰۰۰

ک امور:

گزارش مطالعه کانی سنگین

	RAS	RAS	RAS	KAS	RAS	RAS	RAM	RAM	RAM	RAM
Field No.	152	155	157	160	161	162	165-H	167-H	168-H	169
Lab No.	61	62	63	64	65	66	67	68	69	70
T.W	25	18	30	30	38	29	40	30	40	23
S.W	10	10	10	10	10	10	10	10	10	12
H.W	5	2	4.5	7	4.5	6	3.5	1.5	2.5	5

Volumetric estimation

TA>=90%

PA=10%-30%

T.W: Total weight of samples

A=60%-30%

Pts = 1 grain

S.W: Study weight

M=30%-60%

a<=1%

H.W: Heavy minerals weight

Magnetite	9.0	40.5	63	60	48	45	38	45	40	45
Hematite	1.5	9	22	15.7	38	25	18	20	10	5
Ilmenite	0.01	-	-	-	-	-	-	-	-	-
Chromite	-	-	-	-	-	-	-	-	-	-
Garnet	2.5	2.25	4.5	10.75	6	2.5	-	-	-	-
Pyroxene	2.5	22.5	6	8.7	8	15	36	15	32	40
Amphibole	-	-	-	-	-	-	-	-	0.01	0.01
Peridots	-	-	-	-	0.01	-	-	-	-	-
Biotite	-	-	-	-	-	-	-	-	-	0.01
Tourmaline	-	-	-	-	-	-	-	-	-	-
Staurolite	-	-	-	-	-	-	-	-	-	-
Chlone	-	-	-	-	-	-	-	-	0.01	-
Limonite	0.15	40.5	0.15	0.17	-	-	-	-	0.01	-
Pyrite(oxide)	-	0.22	-	-	-	-	-	-	0.01	0.01
Epidote	0.01	0.01	0.01	0.01	0.01	-	-	-	0.01	-
Oligist	2.5	4.5	3	7	-	5	3	10	5	2.5
Gold	-	-	-	-	-	-	-	-	-	-
Scheelite	-	-	-	-	-	-	-	-	-	-
Cinnabar	-	-	-	-	-	-	-	-	-	-
Thonte	-	-	-	-	-	-	-	-	-	-
Zircon	1	0.01	0.025	0.5	0.01	1.5	0.1	0.01	0.01	0.01
Apatite	-	-	0.01	0.025	0.01	0.025	-	-	-	-
Rutile	0.01	-	0.01	0.01	0.01	0.01	-	-	-	-
Chalcopyrite	-	-	-	-	-	-	-	-	-	-
Galena	-	-	-	-	-	-	-	-	-	-
Pyrite	-	-	-	-	-	-	-	-	-	-
Bante'	5	5	0.025	2	0.025	1.5	0.01	0.025	0.01	0.01
Fluontite	-	-	-	-	-	-	-	-	-	-
Anatase	-	-	-	-	-	0.01	-	-	-	-
Sphene	-	-	-	-	-	-	-	-	-	-
Sapphire	-	-	-	-	-	-	-	-	-	-
Andalusite	-	-	-	-	-	-	-	-	-	-
Celestite	0.05	1	-	0.025	0.01	0.25	0.01	0.01	0.01	0.025
Malachite	-	0.01	-	-	-	-	-	-	-	-
Leucoxene	0.01	-	0.01	0.01	-	-	-	-	-	-
Goethite	-	-	-	-	-	-	-	-	-	-
Pyrophyllite	-	-	-	-	-	0.01	-	-	-	-
Jerasite	0.01	-	-	-	-	-	-	-	-	-
Nigrite	-	-	-	-	-	0.01	-	-	-	0.01
Disthene	0.01	-	-	-	0.01	-	-	-	-	-
Himelite	-	-	-	-	-	-	-	-	-	0.01
Native lead	-	-	-	-	-	-	-	-	-	-
Light min.	5.5	50.5	0.01	2.25	0.025	1.5	0.025	0.025	10.02	0.025
altered min.	0.5	-	-	-	-	4	7.5	-	5.02	-

مسنون از مایشگاه

مطالعه کنند: هریل
مدیر لیور آر زیستی پژوهش



سازمان اسناد و کتابخانه ملی
جغرافیا و علم زمین

www.gsi-iran.org

گزارش مطالعه کائی سنگین

کامور:

RAM

"

"

"

"

"

"

"

"

"

"

"

"

"

	170-H	172-H	173-H	174-H	175-H	181-H	182-H	184-H	187-H	189-H
Field No.	71	72	73	74	75	76	77	78	79	80
T.W	40	20	40	145	25	24	30	26	28	42
S.W	10	10	10	15	12.5	12	15	12	14	12
H.W	6	9	2.5	14	4	8	5	2.5	6	7.5

Volumetric estimation

TA>=90%

PA=10%-30%

T.W: Total weight of samples

A=60%-90%

Pts= 1 grain

S.W: Study weight

M=30%-60%

a<=1%

H.W: Heavy minerals weight

Magnetite	3.6	4.8	5.0	5.0	5.0	6.0	2.8	3.6	5.5	5.0
Hematite	9.5	30	12.5	20.2	7.5	8	16.5	6	22.5	27.5
Ilmenite	-	-	-	0.5	-	0.01	0.01	0.01	-	-
Chromite										
Garnet	-	0.01	-	-	0.25	0.2	0.32	0.01	0.01	-
Pyroxene	30.2	5	27.5	22.5	32.5	24	42.2	42	9	2.5
Amphibole	-	-	0.01	-	-	-	-	-	-	-
Peridots	0.01	-	-	0.01	-	-	-	-	-	-
Biotite										
Tourmaline										
Staurolite										
Chlorite	-	0.01	-	-	-	-	-	-	-	-
Limonite	-	-	-	-	-	-	-	0.22	-	-
Pyrite(oxide)										
Epidote	-	0.01	0.01	0.01	0.01	0.01	0.01	0.01	0.22	-
Oligist	5.5	7.5	5	15.7	0.25	-	-	-	11.2	20
Gold										
Scheelite										
Cinnabar										
Thonte										
Zircon	0.5	0.01	0.025	0.025	0.01	0.01	0.01	0.01	0.01	0.01
Apatite	9.0	-	0.01	-	-	0.01	-	-	-	-
Rutile	0.0	0.01	0.01	0.01	0.01	0.01	-	-	-	0.01
Chalcopyrite										
Galena										
Pyrite										
Bante'	2	0.01	4.0	10.75	0.025	0.025	0.01	0.025	0.01	0.01
Fluonte										
Anatase										
Sphene										
Sapphire										
Andalusite										
Celestite	-	-	0.01	-	0.01	0.025	-	0.01	-	0.025
Malachite										
Leucoxene	0.01	-	0.01	-	-	0.01	-	-	-	-
Goethite	-	0.01	-	-	-	-	-	-	-	0.01
Aragonite	-	0.01	-	-	-	-	-	-	-	-
Light min.	7.7	2.7	2.7	3	7.7	4	6.5	9.02	0.025	0.025
altered min.	5.5	5	0.01	-	-	2	3	4.03	-	-

مسنون از مایشگاه:

مدیریت زیرزمین و معدن

مطالعه کنندگان:



سازمان ریاضی و آماری

webpage: www.gsi-iran.org

کارشناس

گزارش مطالعه کانی سنگین

	RAM	RAM	RAM	RAM	RAS	RAS	RAS	RAS	RAS	RAS
Field No.	190-H	191-H	197-H	198-H	201-H	202-H	205-H	206-H	207-H	211-H
Lab No.	81	82	83	84	85	86	87	88	89	90
T.W	36	32	24	18	30	30	18	30	20	30
S.W	12	11	12	18	15	15	18	10	10	10
H.W	7	5	5	10	8.5	3	5	5	6	10

Volumetric estimation

TA>=90%

PA=10%-30%

T.W: Total weight of samples

A=60%-90%

Pts= 1 grain

S.W: Study weight

M=30%-60%

a<=1%

H.W: Heavy minerals weight

Magnetite	44	48	40	40	52.2	38.5	22.5	32	28	42.7
Hematite	26.2	28	25	32.5	22	19	19	18	19.25	42.7
Ilmenite	-	-	-	2.25	3.5	0.22	0.25	0.2	0.01	-
Chromite										
Garnet	0.01	-	0.01	0.01	0.01	0.01	-	0.01	-	0.01
Pyroxene	24.7	22	27.5	18	10.5	22.5	36.75	22	19.25	22.5
Amphibole										
Peridots										
Biotite										
Tourmaline										
Staurolite	-	-	-	0.01	-	0.01	0.01	-	-	-
Chlomite										
Limonite	2.75	-	5	0.25	-	17.7	13.5	2	1.75	-
Pyrite(oxide)										
Epidote	-	-	0.25	0.01	-	0.01	-	-	0.01	0.01
Oligist										
Gold										
Scheelite										
Cinnabar										
Thonte										
Zircon	0.025	0.025	0.01	0.01	0.05	0.01	0.025	0.1	0.01	0.5
Apatite	-	0.01	-	0.01	-	0.01	0.01	-	-	0.01
Rutile	0.01	0.01	0.01	0.01	0.01	0.01	0.01	0.01	-	0.01
Chalcopyrite										
Galena										
Pyrite										
Bante'	0.025	0.025	0.025	3.25	8	0.025	0.5	16	22.5	2.5
Fluontite										
Anatase										
Sphene	0.01	0.01	-	0.01	0.01	0.01	0.01	0.01	0.01	0.01
Sapphire										
Andalusite	0.01	0.01	-	-	0.01	-	-	-	0.01	-
Celestite	0.025	0.01	0.01	1	0.05	0.01	0.25	5	3	2.5
Malachite	-	-	0.01	0.01	-	-	0.01	-	0.01	0.01
Leucoxene	-	0.01	0.01	0.01	-	0.01	0.01	-	0.01	0.01
Muscovite	-	-	-	-	-	-	0.01	-	-	0.01
Nigrine	-	-	-	-	-	-	-	-	-	0.01
Massicote	-	-	-	-	-	-	-	-	-	0.01
Pyroclastite	-	-	-	0.01	0.01	0.01	0.01	0.01	0.01	-
Light min.	0.025	0.025	0.025	0.5	1.5	0.025	4	2	3	4
altered min.										

مسنون از مایشگاه

مطالعه کنند



سازمان

گریج

سازمان ریاضی شناسی راهنمایی

www.gsi-iran.org

کد اسیر:

گزارش مطالعه کانی سنگین

میرداماد

	RAS	RAS	RAM	RAM	RAS	RAS	RR	RR	RR	RR
Field No.	2124	2134	215-H	218-H	219-H	225-H	302	303	304	305
Lab No.	91	92	93	94	95	96	97	98	99	100
T.W	32	38	31	22	30	30	100	100	110	110
S.W	15	18	15	22	11	15	10	10	11	10
H.W	1	1	5	3	10	6	10	9	10	10

Volumetric estimation

TA>=90%

PA=10%-30%

T.W: Total weight of samples

A=60%-90%

Pts= 1 grain

S.W: Study weight

M=30%-60%

a<=1%

H.W Heavy minerals weight

Magnetite	30	16	35	36	55	50	80	75	80	80
Hematite	13	15	30	33.7	34	33.7	18	22.5	18	18
Ilmenite	-	0.01	0.01	0.01	0.01	-	-	-	-	-
Chromite	-	-	-	-	0.01	-	0.01	0.01	0.01	-
Garnet	0.01	0.01	5	0.27	2	0.22	0.01	0.01	0.01	-
Pyroxene	48	62	27.5	27.5	2	9	1	1.25	1	1
Amphibole	-	-	-	-	-	-	-	-	-	-
Pseudots	-	-	-	-	-	-	-	-	-	0.01
Biotite	-	-	-	-	-	-	-	-	-	-
Tourmaline	-	0.01	-	-	-	-	-	-	-	-
Staurolite	-	0.01	-	-	-	-	-	-	-	-
Chlorite	-	-	-	-	-	-	-	-	-	-
Limonite	2	0.5	0.25	0.27	-	-	0.01	0.01	-	-
Pyritofoxide)	-	0.01	0.25	0.27	-	-	0.01	0.01	-	-
Epidote	0.02	0.01	0.01	0.01	0.01	0.01	-	-	-	0.01
Oligist	-	0.01	0.01	-	0.01	0.01	-	0.01	0.01	-
Gold	-	-	-	-	-	-	-	-	-	-
Scheelite	-	-	-	-	-	-	-	-	-	-
Cinnabar	-	-	-	-	-	-	-	-	-	-
Thonte	-	-	-	-	-	-	-	-	-	-
Zircon	0.025	0.01	0.025	0.01	0.025	0.025	0.01	-	0.01	0.01
Apatite	-	0.01	-	-	0.01	-	-	-	0.01	-
Rutile	0.01	0.01	0.01	0.01	0.01	0.01	0.01	-	-	-
Chalcooyrite	-	-	-	-	-	-	-	-	-	-
Galena	-	-	-	-	-	-	-	-	-	-
Pyrite	-	-	-	-	-	-	-	-	-	-
Bante'	0.025	0.025	0.025	0.025	1.5	1	-	0.025	0.025	0.025
Fluonte	-	-	-	-	-	-	-	-	-	-
Anatase	-	-	-	-	-	-	-	-	-	-
Sphene	0.01	0.01	0.01	0.01	0.02	0.01	0.01	0.01	0.01	-
Sapphire	-	-	-	-	-	-	-	-	-	-
Andalusite	0.01	0.01	-	-	-	-	0.01	-	-	-
Celestite	0.025	0.025	-	0.025	2	2.5	0.025	0.025	0.025	0.025
Malachite	-	-	-	0.01	-	-	-	-	-	-
Leucoxene	0.01	0.01	0.01	0.01	0.01	0.01	0.01	-	0.01	-
Disthene	0.01	-	-	-	-	-	-	-	-	-
Nigrine	-	-	-	-	0.01	-	-	-	-	-
Muscovite	-	-	-	0.01	0.01	0.01	-	-	0.01	-
Light min.	0.01	0.025	0.025	0.025	1.25	1.25	0.025	0.025	0.025	0.025
altered min.	4	4	-	-	-	-	-	-	-	-

مسنول از مایشگاه:

مطالعه کنند: صاحب سمت برج

عزمی
مدیر امور اسناد



سازمان اسناد و کتابخانه ملی
جمهوری اسلامی ایران

کتابخانه ملی ایران

سپاه

قریب

۱۰۱/۲۰۱

کد اسرار:

گزارش مطالعه کانی سنگین

R R RAS

Field No.	RR	RAS						
306	214							
Lab No.	101	102						
T.W.	80	20						
S.W.	10	10						
H.W.	8	3						

Volumetric estimation

TA>=90%

PA=10%-30%

T.W: Total weight of samples

A=60%-90%

Pts: 1 grain

S.W: Study weight

M=30%-60%

a<=1%

H.W: Heavy minerals weight

Magnetite	70	36						
Hematite	28.5	17.2						
Ilmenite	-	0.01						
Chromite								
Garnet	0.01	0.01						
Pyroxene	0.15	44						
Amphibole								
Pendots								
Biotite								
Tourmaline								
Staurolite								
Chlonte								
Limonite								
Pyritefoxide	0.01	-						
Epidote	0.01	0.01						
Oligist	0.01	-						
Gold								
Scheelite								
Cinnabar								
Thonte								
Zircon	0.01	0.025						
Apatite	-	0.01						
Rutile								
Chalcopyrite								
Galena								
Pyrite								
Bante'	0.01	0.01						
Fluonte								
Anatase								
Sphene								
Sapphire								
Andalusite	-	0.01						
Celestite	0.025	0.01						
Malachite								
Leucoxene								
Light min.	0.025	0.025						
altered min.	=	0.22						

مسئول از مایشگاه:

۱۰۱

وزارت آموزش و پرورش
دستگاه اسناد و کتابخانه ملی
جمهوری اسلامی ایران

مطالعه کنندگان
کتابخانه ملی ایران

کد امور: AA/۰۵/۲۷
تاریخ: صفحه:

گزارش مطالعه کانی سنگین منطقه ... (برگ)

	RR	RR	RR	PR	RR-M	RR	RR	RAM	RAM	RAM
FIELD NO.	66B	56-C	57-B	75-A	186-C	101A	102C	183-A	185-B	198A
LAB NO.	1	2	3	4	5	6	7	8	9	10
TOTAL VOLUME	28	27	60	40	20	30	25	27	25	26
STUDY VOLUME	28	27	20	20	20	15	25	27	25	26
HEAVY VOLUME	13.5	14	13	7	6	11	10	3	8	7

Magnetite	35	40	60	36	28	27	55	24	54	28
Goethite	-	-	-	0.01	-	-	-	-	-	0.01
Hematite	35	25	22.75	31.5	31	15.5	24	36	29	27
Limonite	0.25	0.25	0.01	0.25	3	0.25	0.7	0.3	0.2	2
Pyrite Oxide	0.01	0.01	-	-	-	-	0.01	0.01	-	-
Pyroxene Group	7.5	10	3.5	17.5	27	30	6	12	10	10
Amphibole Group	-	0.01	-	-	-	0.01	0.01	0.01	0.01	0.01
Epidot Group	2.5	5	1.75	-	-	0.01	4	6	2	0.2
Garnet Group	-	-	0.01	-	-	-	0.01	-	-	2
Peridot	-	-	-	-	-	-	0.01	-	0.01	-
Oligist	2.5	2.5	1.75	2.5	3	5	6	6	2	2
Ilmenite										
Chromite										
Tourmaline										
Biotite	-	-	0.01	-	0.01	-	-	-	0.01	-
Chlorite										
Staurolite										
ocher	0.01	0.01	-	-	-	-	-	-	0.01	-
Zircon	0.01	0.05	0.5	0.01	0.01	0.01	0.25	0.5	0.5	1.25
Apatite	0.01	0.01	0.25	0.01	0.01	-	0.01	-	-	0.01
Barite	0.01	-	0.025	5	3	0.01	0.01	1	4.5	1.25
Celestine	9.75	11	2.5	0.01	0.5	19.75	3.5	10	2.5	18.75
Rutile	0.01	0.01	0.01	0.01	0.01	0.01	0.01	0.01	0.05	0.01
Leucoxene	--	--	0.01	0.01	0.01	0.01	0.01	0.01	0.01	0.01
Sphene	0.01	0.01	0.01	-	-	-	0.01	0.01	0.01	0.01
Anatase										
Cinnabar										
Scheelite										
Gold										
Sapphire										
Galena										
Fluorite										
Malachite	-	-	-	0.01	0.01	-	-	0.01	0.01	-
Andalusite	0.01	-	-	-	0.01	-	0.01	-	-	-
Pyrite										
Pyrite - Limonite										
Disphenite	-	0.01	0.01	-	0.01	-	0.01	-	0.01	0.01
Pyrochlore	-	-	-	0.01	-	0.01	0.01	-	0.01	2.01
Silver	-	-	-	0.01	-	-	-	-	-	-
Stibnite	-	-	-	-	0.01	-	-	-	0.01	0.21
Mimelite	-	-	-	-	0.01	-	-	-	0.01	0.01
Pseudomorph	-	-	-	-	0.01	-	-	-	-	-
Wulfenite	-	-	-	-	0.01	-	-	-	-	0.01
Nigrite	-	-	-	-	-	0.01	-	-	-	0.01
Muscovite	-	-	-	-	-	-	-	-	0.01	-
Tourmaline	-	-	-	-	0.01	-	-	-	-	0.01
Light minerals	4.5	3.5	1.5	4.5	1.55	0.1	1	1	2	2.5
Altered minerals							0.1	-	0.01	0.125

مسئول از میلگاه: حسن

مطالعه کنندہ:

پیوست

APPENDIX 5: THE RESULTS OF HEAVY MINERAL STUDY IN ROBATKARIM AREA (ALL CONTENTS IN PPM)

SAM.NO.	RR 1	RR 2	RR 3	RR 9	RR 10	RR 11	RR 12	RR 14	RR 18
T.V. (cc) (A)	3000	3000	3000	3000	3000	3000	3000	3000	3000
P.V. (cc) (B)	65	100	66	220	46	60	84	40	60
S.V. (cc) (C)	20	10	15	14	23	15	21	20	15
H.V. (cc) (Y)	13	10	9	8	5	5	8	4	9
ALLANITE	0	0	0	0	pts	0	0	0	0
ALT.SIL.	0	0	0	0	90	208.8	0	6.336	0
AMPHIBOL	0	0	0	0	0	0	0	0	0
ANDALUSITE	0	pts	0	0	0	0	0	0	0
ARAGONITE	0	0	0	0	0	0	0	0	0
APATITE	0	0	0	pts	0	pts	0	0	0
BARITE	6.3375	0	5.94	18.85714	1.5	pts	pts	48	pts
BIOTITE	0	0	0	0	0	0	0	0	0
CELESTINE	0	13.33333	0	pts	1.333333	2.666667	4.266667	106.6667	4.8
CHROMITE	0	pts	pts	0	0	pts	0	pts	0
CHIASTOLITE	0	0	0	0	0	0	0	0	0
CHLORITE	0	0	0	0	0	0	0	0	0
EPIDOTS	0	0	39.4944	113.981	11.33333	24.48	pts	81.6	pts
GARNET	0	pts	0	0	0	0	0	0	0
GOLD	0	0	0	0	0	0	0	0	0
GOETHITE	0	0	0	0	0	0	0	0	0
HEMATITE	1492.833	12720	12089.09	36423.62	1236.667	6529.6	8140.8	2046.507	5342.4
ILMENITE	16680.3	0	0	0	0	0	0	0	0
JARUSITE	0	0	0	0	0	0	0	0	0
KIANITE	0	0	0	0	0	0	0	0	0
LEUCOXENE	0	pts	0	0	pts	pts	pts	pts	pts
LIMONITE	0	0	44.1408	0	12.66667	278.6667	32.42667	91.2	27.36
MAGNETITE	8348.6	55466.67	14332.03	49682.29	3120	5921.067	13312	2496	17472
MALACHITE	0	0	0	0	0	0	0	0	0
MARTITE	0	0	58.08	167.619	0	0	0	0	36
MASSICOT	0	0	0	0	0	0	0	0	0
MIMETITE	0	0	0	0	0	0	0	0	0
MOSCOVITE	0	0	0	0	0	0	0	0	pts
NATIVE LEAD	0	0	0	0	0	0	0	0	0
NIGRINE	0	0	0	0	0	0	0	0	0
OLIGISITE	0	0	0	0	0	pts	0	0	pts
OLIVINE	0	0	0	0	0	0	0	0	0
PYROLUSITE	0	0	0	0	0	0	0	0	0
PYRITE	0	0	0	0	0	0	0	0	0
PYRITE(OXIDE)	pts	pts	58.08	167.619	0	36	pts	0	pts
PYROXENES	63.09333	426.6667	380.16	107.2762	1173.333	234.6667	273.0667	153.6	1152
RUTILE	pts	pts	pts	0	pts	0	pts	pts	0
SAPHIRE	0	0	0	0	0	0	0	0	0
SPHENE	0	pts	pts	pts	pts	0	0	pts	pts
STIBNTIE	0	0	0	0	0	0	0	0	0
STAOURLITE	0	0	0	0	0	0	0	0	0
ZIRCON	6.478333	pts	pts	pts	pts	pts	pts	1.226667	pts

PTS : ISOLATED GRAIN

APPENDIX 5: THE RESULTS OF HEAVY MINERAL STUDY IN ROBATKARIM AREA (ALL CONTENTS IN PPM)

SAM.NO.	RR 21	RR 25	RR 30	RR 31	RR 34	RR 38	RR 39	RR 45	RR 46
T.V. (cc) (A)	3000	3000	3000	3000	3000	3000	3000	3000	3000
P.V. (cc) (B)	50	60	40	50	32	60	48	50	52
S.V. (cc) (C)	25	15	20	25	17	15	24	25	13
H.V. (cc) (Y)	3	1	4	0.25	8	10	7.5	4	6
ALLANITE	0	pts	0	0	pts	0	0	pts	0
ALT.SIL.	0	180	129.6	0	0	0	0	345.6	0
AMPHIBOL	0	0	0	0	0	0	0	0	0
ANDALUSITE	0	0	0	pts	0	0	0	0	0
ARAGONITE	0	0	0	0	0	0	0	0	0
APATITE	pts	0	pts	0	0	pts	pts	0	0
BARITE	0.9	pts	pts	0	6.776471	6	pts	0	pts
BIOTITE	0	0	0	0	0	0	0	0	0
CELESTINE	pts	0.533333	1.066667	pts	297.1608	5.333333	pts	pts	0
CHROMITE	0	0	0	0	0	0	0	0	0
CHIASTOLITE	0	0	0	0	0	0	0	0	0
CHLORITE	0	0	0	0	0	0	0	0	0
EPIDOTS	5.44	pts	9.792	0	15.01867	pts	pts	0	pts
GARNET	0	0	0	pts	0	0	0	0	pts
GOLD	0	0	0	0	0	0	0	0	0
GOETHITE	0	0	0	0	0	0	0	0	0
HEMATITE	720.8	636	1905.173	0.088333	2415.636	8480	3858.4	1017.6	8480
ILMENITE	451.2	263.2	5.013333	0.783333	424.6588	501.3333	0	1504	15.04
JARUSITE	0	0	0	0	0	0	0	0	0
KIANITE	0	0	0	0	0	0	0	0	0
LEUCOXENE	pts	0	0	0	0	pts	pts	0	0
LIMONITE	60.8	0	222.9333	pts	16.78557	0	171	0	30.4
MAGNETITE	2246.4	416	1747.2	0.086667	4959.373	16640	5428.8	1553.067	7488
MALACHITE	0	0	0	0	0	0	0	0	0
MARTITE	0	0	0	0	pts	0	0	0	0
MASSICOT	0	0	0	0	0	0	0	0	0
MIMETITE	0	0	0	0	0	0	0	0	0
MOSCOVITE	0	0	0	0	0	0	0	0	0
NATIVE LEAD	0	0	0	0	0	0	0	0	0
NIGRINE	0	0	0	0	0	0	0	0	0
OLIGISITE	0	0	0	0	pts	0	0	0	0
OLIVINE	0	0	0	0	pts	0	0	0	0
PYROLUSITE	0	0	0	0	0	0	0	0	0
PYRITE	0	0	0	pts	0	0	0	0	0
PYRITE(OXIDE)	pts	0	0	0	pts	0	0	0	0
PYROXENES	256	597.3333	750.9333	0.053333	1156.518	1024	432	307.2	256
RUTILE	pts	0	pts	0	pts	pts	pts	0	pts
SAPHIRE	pts	0	0	0	0	0	0	0	0
SPHENE	0	0	pts	0	pts	0	pts	pts	pts
STIBNTIE	0	0	0	0	0	0	0	0	0
STAOURLITE	0	0	0	pts	0	0	0	0	0
ZIRCON	0.92	pts	pts	pts	pts	pts	pts	pts	3.68

PTS : ISOLATED GRAIN

APPENDIX 5: THE RESULTS OF HEAVY MINERAL STUDY IN ROBATKARIM AREA (ALL CONTENTS IN PPM)

SAM.NO.	RR 48	RA 59	RR 60	RR 61	RR 63	RR 66	RR 67	RR 69	RR 70
T.V. (cc) (A)	3000	3000	3000	3000	3000	3000	3000	3000	3000
P.V. (cc) (B)	48	40	30	60	30	28	80	30	60
S.V. (cc) (C)	24	10	15	15	15	13	20	15	15
H.V. (cc) (Y)	3.5	9	5	10	6	5	10	5	10
ALLANITE	0	0	0	0	0	0	0	0	0
ALT.SIL.	0	0	0	0	0	0	0	10.8	0
AMPHIBOL	0	0	0	0	0	0	0	0	0
ANDALUSITE	0	0	pts	pts	pts	pts	0	0	0
ARAGONITE	0	0	0	0	0	0	0	0	0
APATITE	0	pts	pts	0	pts	0	0	0	0
BARITE	pts	0	pts	pts	1.8	pts	pts	pts	pts
BIOTITE	0	0	pts	0	0	0	0	0	0
CELESTINE	pts	pts	pts	pts	0	258.4615	pts	1.333333	5.333333
CHROMITE	0	0	0	0	0	0	0	0	0
CHIASTOLITE	0	0	0	0	0	0	0	0	0
CHLORITE	0	0	0	0	0	0	0	0	0
EPIDOTS	8.568	pts	9.066667	pts	pts	0	pts	0	pts
GARNET	0	38.4	pts	426.6667	pts	0	pts	0	0
GOLD	0	0	0	0	0	pts	0	0	0
GOETHITE	0	0	0	0	0	0	0	0	0
HEMATITE	989.3333	7632	1766.667	9610.667	3604	1293.744	11589.33	2968	8621.333
ILMENITE	0	22.56	0	0	0	0	0	0	0
JARUSITE	0	0	0	0	0	0	0	0	0
KIANITE	0	0	pts	0	0	pts	0	0	pts
LEUCOXENE	pts	0	pts	pts	pts	pts	pts	pts	0
LIMONITE	97.53333	0	10.13333	0	15.2	13.64103	pts	152	0
MAGNETITE	1747.2	13478.4	3744	16640	3952	2837.333	15808	2357.333	18442.67
MALACHITE	0	0	0	0	0	0	0	0	0
MARTITE	0	0	0	0	0	0	0	0	0
MASSICOT	0	0	0	0	0	0	0	0	0
MIMETITE	0	0	0	0	0	0	0	0	0
MOSCOVITE	0	0	0	0	0	0	0	0	0
NATIVE LEAD	0	0	0	0	0	0	0	0	0
NIGRINE	0	0	0	0	0	0	pts	0	0
OLIGISITE	0	pts	0	53.33333	pts	pts	53.33333	20	80
OLIVINE	0	0	0	0	0	0	0	0	0
PYROLUSITE	0	0	0	0	0	0	0	0	0
PYRITE	0	0	0	0	0	0	0	0	0
PYRITE(OXIDE)	0	0	0	0	0	0	0	0	0
PYROXENES	1149.867	2150.4	682.6667	341.3333	384	1493.333	34.13333	768	256
RUTILE	pts	pts	pts	pts	pts	pts	pts	pts	pts
SAPHIRE	0	0	0	0	0	0	0	0	0
SPHENE	pts	pts	pts	pts	pts	pts	pts	pts	pts
STIBNTIE	0	0	0	0	0	0	0	0	0
STAOURLITE	0	0	0	0	0	0	0	0	0
ZIRCON	1.073333	5.52	1.533333	6.133333	1.84	0	6.133333	pts	pts

PTS : ISOLATED GRAIN

APPENDIX 5: THE RESULTS OF HEAVY MINERAL STUDY IN ROBATKARIM AREA (ALL CONTENTS IN PPM)

SAM.NO.	RR 76	RR 77	RR 79	RR 81	RR 82	RA 89	RA 92	RA 96	RA 99
T.V. (cc) (A)	3000	3000	3000	3000	3000	3000	3000	3000	3000
P.V. (cc) (B)	30	20	20	32	36	120	28	30	20
S.V. (cc) (C)	15	10	10	14	18	15	14	15	10
H.V. (cc) (Y)	6	2	3	10	6	8	6	4.5	3
ALLANITE	0	0	0	0	0	0	0	0	0
ALT.SIL.	0	3.888	70.2	0	0	0	0	162	194.4
AMPHIBOL	0	0	0	0	0	0	pts	0	0
ANDALUSITE	0	pts	0	0	0	0	0	0	0
ARAGONITE	0	0	0	0	0	0	0	0	0
APATITE	pts	0	0	0	0	pts	pts	pts	pts
BARITE	0	pts	18	171.4286	18	pts	pts	pts	81
BIOTITE	0	0	0	0	0	0	0	0	pts
CELESTINE	pts	pts	120	213.3333	128	pts	1.6	pts	pts
CHROMITE	0	0	0	0	0	0	0	0	0
CHIASTOLITE	0	0	0	0	0	0	0	0	0
CHLORITE	0	0	0	0	0	0	0	0	0
EPIDOTS	0	99.73333	8.704	pts	pts	pts	0	0	0
GARNET	pts	176	pts	0	0	0	0	0	0
GOLD	0	0	0	0	0	0	0	0	0
GOETHITE	0	0	0	0	0	0	0	0	0
HEMATITE	2459.2	565.3333	665.68	2826.667	1653.6	2713.6	636	445.2	1144.8
ILMENITE	0	0	0	0	0	0	0	0	16.92
JARUSITE	0	0	0	0	0	0	0	0	0
KIANITE	pts	0	0	0	0	0	0	0	0
LEUCOXENE	0	0	pts	0	0	0	0	pts	0
LIMONITE	121.6	5.472	9.728	0	0	pts	pts	0	0
MAGNETITE	4742.4	998.4	998.4	9508.571	5408	17749.33	3952	1778.4	208
MALACHITE	0	0	0	0	0	0	0	0	0
MARTITE	0	0	0	0	0	0	0	0	0
MASSICOT	0	0	0	0	0	0	0	0	0
MIMETITE	0	0	0	0	0	0	0	0	0
MOSCOVITE	0	0	0	0	0	0	0	0	0
NATIVE LEAD	0	0	0	0	0	0	0	pts	0
NIGRINE	0	0	0	0	0	0	0	0	0
OLIGISITE	pts	pts	0	1066.667	480	0	200	210	0
OLIVINE	0	0	0	0	0	0	0	15.96	0
PYROLUSITE	0	0	0	0	0	0	0	pts	0
PYRITE	0	0	0	0	0	0	0	0	0
PYRITE(OXIDE)	0	0	0	0	0	0	0	0	0
PYROXENES	512	469.3333	1246.72	512	153.6	13926.4	1920	1728	1152
RUTILE	pts	pts	pts	pts	pts	pts	0	pts	pts
SAPHIRE	0	0	0	0	0	0	0	0	0
SPHENE	pts	pts	pts	0	0	0	pts	pts	0
STIBNTIE	0	0	0	0	0	0	0	0	0
STAOURLITE	0	0	0	0	0	0	0	0	0
ZIRCON	pts	0.613333	0.92	3.504762	1.84	pts	pts	1.38	9.2

PTS : ISOLATED GRAIN

APPENDIX 5: THE RESULTS OF HEAVY MINERAL STUDY IN ROBATKARIM AREA (ALL CONTENTS IN PPM)

SAM.NO.	RA 101	RA 104	RA 105	RA 108	RA 109	RA 110	RA 111	RA 117	RAS 122
T.V. (cc) (A)	3000	3000	3000	3000	3000	3000	3000	3000	3000
P.V. (cc) (B)	32	34	20	20	60	25	30	19	40
S.V. (cc) (C)	15	16	10	10	15	25	15	19	20
H.V. (cc) (Y)	8	5	4	5	9	2	7	3	9
ALLANITE	0	0	0	0	0	0	0	0	0
ALT.SIL.	184.32	372.9375	0	126	0	43.2	100.8	pts	0
AMPHIBOL	pts	0	pts	0	0	0	0	0	pts
ANDALUSITE	0	0	0	0	0	0	0	0	0
ARAGONITE	0	0	0	0	0	0	0	0	0
APATITE	pts	0	34.13333	pts	0	0	0	0	pts
BARITE	256	255	24	1.5	864	54	1344	pts	27
BIOTITE	0	0	11.2	0	0	pts	0	0	0
CELESTINE	2.275556	0	1.066667	pts	0	48	149.3333	0	24
CHROMITE	0	0	0	0	0	0	0	0	0
CHIASTOLITE	0	0	0	0	0	0	0	0	0
CHLORITE	0	0	0	0	0	0	0	0	0
EPIDOTS	0	0	pts	pts	0	pts	0	pts	pts
GARNET	0	0	0	0	0	0	0	0	0
GOLD	0	0	0	0	0	0	0	0	0
GOETHITE	0	0	0	0	0	0	0	0	0
HEMATITE	2351.787	240.2667	551.2	742	3561.6	169.6	1187.2	530	3141.84
ILMENITE	347.5911	21.30667	0	219.3333	451.2	3.76	350.9333	0	0
JARUSITE	0	0	0	0	0	0	0	0	0
KIANITE	0	0	0	0	0	0	0	0	0
LEUCOXENE	0	0	pts	pts	0	0	0	pts	pts
LIMONITE	0	0	0	0	pts	pts	0	3.8	0
MAGNETITE	3194.88	1989	1664	2080	13728	332.8	3494.4	1040	4992
MALACHITE	0	0	0	0	0	0	0	0	0
MARTITE	0	0	0	0	0	0	0	0	0
MASSICOT	0	0	0	0	0	0	0	0	0
MIMETITE	0	0	0	0	0	0	0	0	0
MOSCOVITE	0	0	0	0	0	0	0	0	0
NATIVE LEAD	0	0	0	pts	0	0	0	0	0
NIGRINE	0	0	0	0	0	0	0	0	pts
OLIGISITE	1422.222	460.4167	173.3333	933.3333	960	0	18.66667	5	1980
OLIVINE	0	0	0	0	pts	0	pts	0	0
PYROLUSITE	0	0	0	0	0	0	17.92	0	0
PYRITE	0	0	0	0	0	0	0	0	0
PYRITE(OXIDE)	pts	0	0	0	0	0	0	0	0
PYROXENES	1419.947	1768	1331.2	1621.333	2764.8	307.2	1433.6	224	633.6
RUTILE	pts	pts	pts	pts	pts	0	0	pts	pts
SAPHIRE	0	0	0	0	0	0	0	0	0
SPHENE	0	pts	0	0	0	0	0	0	0
STIBNTIE	pts	0	0	0	0	0	0	0	0
STAOURLITE	0	0	0	0	0	0	0	0	0
ZIRCON	2.616889	pts	24.53333	pts	pts	pts	pts	0.46	82.8

PTS : ISOLATED GRAIN

APPENDIX 5: THE RESULTS OF HEAVY MINERAL STUDY IN ROBATKARIM AREA (ALL CONTENTS IN PPM)

SAM.NO.	RAS 124	RAS 125	RA 130	RA 132	R 133	AA 55	RR 134	RA 136	RAS 143
T.V. (cc) (A)	3000	3000	3000	3000	3000	3000	3000	3000	3000
P.V. (cc) (B)	60	58	23	23	23	40	30	25	40
S.V. (cc) (C)	15	14	16	23	23	20	15	15	10
H.V. (cc) (Y)	9	5	5	2	7	15	2.5	1.5	4
ALLANITE	0	0	0	0	0	0	0	0	0
ALT.SIL.	0	1.864286	0	21.6	0	0	0	22.5	0
AMPHIBOL	0	0	0	pts	0	0	0	0	0
ANDALUSITE	0	0	0	0	0	0	0	0	0
ARAGONITE	0	0	0	0	0	0	0	0	0
APATITE	0	0	pts	0	pts	pts	pts	pts	pts
BARITE	5.4	248.5714	107.8125	0.3	1.05	4.5	0.75	0.375	2.4
BIOTITE	0	0	0	0	pts	0	pts	0	0
CELESTINE	pts	pts	pts	0	0	0	0	0	pts
CHROMITE	0	0	0	0	0	0	0	0	0
CHIASTOLITE	0	0	0	0	0	0	0	0	0
CHLORITE	0	0	0	0	0	0	0	0	0
EPIDOTS	408	pts	pts	0	7.933333	0	5.666667	2.833333	0
GARNET	pts	pts	pts	0	0	0	pts	pts	pts
GOLD	0	0	0	0	0	0	0	0	0
GOETHITE	0	0	pts	0	0	pts	660	293.3333	2534.4
HEMATITE	8904	6660.333	1828.5	169.6	1236.667	6360	0	0	0
ILMENITE	0	41.53905	101.3438	0	0	0	0	0	0
JARUSITE	0	0	0	0	0	0	0	pts	0
KIANITE	0	0	0	0	0	0	0	0	0
LEUCOXENE	0	pts	pts	pts	pts	0	pts	pts	pts
LIMONITE	0	0	0	3.04	0.886667	38	6.333333	0	0
MAGNETITE	12480	4308.571	2491.667	554.6667	2426.667	10400	1733.333	866.6667	4437.333
MALACHITE	0	0	0	0	0	0	0	0	0
MARTITE	0	0	0	0	0	0	0	0	0
MASSICOT	0	0	0	0	0	0	0	0	0
MIMETITE	0	0	0	0	0	0	0	0	0
MOSCOVITE	0	0	0	0	0	0	0	0	0
NATIVE LEAD	0	0	0	0	0	0	0	0	0
NIGRINE	0	0	0	0	0	0	0	0	0
OLIGISITE	2400	1339.524	107.8125	4	116.6667	3000	166.6667	0	0
OLIVINE	0	0	pts	0	0	0	pts	0	0
PYROLUSITE	0	0	0	0	0	0	0	0	0
PYRITE	0	0	0	0	0	0	0	0	0
PYRITE(OXIDE)	0	pts	0	pts	0	0	pts	0	0
PYROXENES	384	574.4762	69	230.4	448	320	373.3333	213.3333	1843.2
RUTILE	pts	pts	pts	pts	pts	0	pts	pts	pts
SAPHIRE	0	0	0	0	0	0	0	0	0
SPHENE	0	pts	pts	0	0	0	0	0	0
STIBNTIE	0	0	pts	0	0	0	0	0	0
STAOURLITE	0	0	0	0	0	0	pts	0	0
ZIRCON	pts	63.52381	55.10417	pts	1.073333	pts	pts	0.383333	pts

PTS : ISOLATED GRAIN

APPENDIX 5: THE RESULTS OF HEAVY MINERAL STUDY IN ROBATKARIM AREA (ALL CONTENTS IN PPM)

SAM.NO.	RAS 147	RAS 146	RAS 148	RAS 149	RAS 150	RAS 151	RAS 152	RAS 155	RAS 157
T.V. (cc) (A)	3000	3000	3000	3000	3000	3000	3000	3000	3000
P.V. (cc) (B)	24	32	70	40	50	38	25	18	30
S.V. (cc) (C)	10	10	10	10	10	10	10	10	10
H.V. (cc) (Y)	2	7	10	7.5	7	7.5	5	2	4.5
ALLANITE	0	0	0	0	0	0	0	0	0
ALT.SIL.	0	0	0	0	0	0	22.5	0	0
AMPHIBOL	0	pts	0	0	0	0	0	0	0
ANDALUSITE	pts	0	pts	pts	pts	0	0	0	0
ARAGONITE	0	0	0	0	0	0	0	0	0
APATITE	pts	pts	pts	pts	pts	pts	0	0	pts
BARITE	0.72	3.36	10.5	4.5	5.25	427.5	375	108	2.025
BIOTITE	0	0	0	0	0	0	0	0	0
CELESTINE	pts	0	0	pts	pts	76	3.333333	19.2	0
CHROMITE	0	0	0	0	0	0	0	0	0
CHIASTOLITE	pts	0	0	0	0	0	0	0	0
CHLORITE	0	0	0	0	0	0	0	0	0
EPIDOTS	65.28	0	pts	pts	23.8	pts	pts	pts	pts
GARNET	pts	0	0	32	560	1064	166.6667	43.2	324
GOLD	0	0	0	0	0	0	0	0	0
GOETHITE	760.32	1314.133	11293.33	5632	4004	3210.24	0	0	pts
HEMATITE	0	0	0	0	0	0	1325	228.96	2098.8
ILMENITE	0	3158.4	0	0	0	0	pts	0	0
JARUSITE	0	0	0	0	0	0	pts	0	0
KIANITE	0	0	0	pts	pts	0	pts	0	0
LEUCOXENE	pts	0	0	0	0	0	pts	0	pts
LIMONITE	0	0	pts	0	0	0	9.5	82.08	10.26
MAGNETITE	1264.64	7765.333	24266.67	12480	16986.67	11856	3466.667	1010.88	5896.8
MALACHITE	0	0	0	0	0	0	0	pts	0
MARTITE	0	0	0	0	0	0	0	0	0
MASSICOT	0	0	0	0	0	0	0	0	0
MIMETITE	0	0	0	0	0	0	0	0	0
MOSCOVITE	0	0	0	0	0	0	0	0	0
NATIVE LEAD	0	0	0	0	0	0	0	0	0
NIGRINE	pts	0	0	0	0	0	0	0	0
OLIGISITE	96	0	8166.667	800	1050	997.5	208.3333	108	270
OLIVINE	0	0	0	0	0	0	0	0	0
PYROLUSITE	pts	0	0	0	0	0	0	0	0
PYRITE	0	0	0	0	0	0	0	0	0
PYRITE(OXIDE)	0	0	0	pts	0	0	0	5.28	0
PYROXENES	491.52	1433.6	746.6667	256	224	212.8	1333.333	345.6	345.6
RUTILE	pts	pts	pts	0	pts	pts	pts	0	pts
SAPHIRE	0	0	0	0	0	0	0	0	0
SPHENE	0	0	0	pts	0	0	0	0	0
STIBNTIE	0	34.34667	0	0	0	0	0	0	0
STAOURLITE	0	0	0	0	0	0	0	0	0
ZIRCON	pts	pts	pts	pts	pts	4.37	76.66667	pts	2.07

PTS : ISOLATED GRAIN

APPENDIX 5: THE RESULTS OF HEAVY MINERAL STUDY IN ROBATKARIM AREA (ALL CONTENTS IN PPM)

SAM.NO.	RAS 160	RAS 161	RAS 162	RAM 165	RAM 167	RAM 168	RAM 169	RAM 170	RAM 172
T.V. (cc) (A)	3000	3000	3000	3000	3000	3000	3000	3000	3000
P.V. (cc) (B)	30	38	20	40	30	40	23	40	20
S.V. (cc) (C)	10	10	10	10	10	10	12	10	10
H.V. (cc) (Y)	7	4.5	6	3.5	1.5	2.5	5	6	4
ALLANITE	0	0	0	0	0	0	0	0	0
ALT.SIL.	0	0	0	201.6	121.5	0	173.19	475.2	144
AMPHIBOL	0	0	0	0	0	0	0	0	0
ANDALUSITE	0	0	0	0	0	0	0	0	0
ARAGONITE	0	0	0	0	0	0	0	0	pts
APATITE	2.24	pts	1.28	0	0	0	0	pts	0
BARITE	252	2.565	108	pts	0.675	pts	pts	288	pts
BIOTITE	0	pts	0	0	0	0	0	0	0
CELESTINE	2.8	pts	16	pts	pts	pts	1.277778	0	0
CHROMITE	0	0	0	0	0	0	0	0	0
CHIASTOLITE	0	0	0	0	0	0	0	0	0
CHLORITE	0	0	0	0	0	0	0	0	pts
EPIDOTS	pts	pts	0	0	pts	pts	0	0	pts
GARNET	196	547.2	160	0	0	0	0	0	pts
GOLD	0	0	0	0	0	0	0	0	0
GOETHITE	pts	pts	0	0	0	0	0	0	pts
HEMATITE	2329.88	4350.24	2120	1780.8	636	706.6667	338.6111	1611.2	1696
ILMENITE	0	0	0	0	0	0	0	0	0
JARUSITE	0	0	pts	0	0	0	0	0	0
KIANITE	0	0	pts	pts	0	0	pts	0	0
LEUCOXENE	pts	0	0	0	pts	0	0	pts	0
LIMONITE	18.088	0	0	0	0	pts	0	0	0
MAGNETITE	8736	5690.88	3744	3494.4	1404	2773.333	2990	5990.4	2496
MALACHITE	0	0	0	0	0	0	0	0	0
MARTITE	0	0	0	0	0	0	0	0	0
MASSICOT	0	0	0	0	0	0	0	0	0
MIMETITE	0	pts	0	0	0	0	0	0	0
MOSCOVITE	0	0	0	0	0	0	0	0	0
NATIVE LEAD	0	0	0	0	0	0	pts	0	0
NIGRINE	0	0	pts	0	0	0	0	0	0
OLIGISITE	980	0	400	280	300	333.3333	159.7222	880	400
OLIVINE	0	0	0	0	0	pts	pts	pts	0
PYROLUSITE	0	0	0	0	0	0	0	0	0
PYRITE	0	0	0	0	0	0	0	0	0
PYRITE(OXIDE)	0	0	0	0	pts	0	0	0	0
PYROXENES	779.52	583.68	768	2150.4	288	1365.333	1635.556	3092.48	170.6667
RUTILE	pts	pts	pts	0	0	0	0	pts	pts
SAPHIRE	0	0	0	0	0	0	0	0	0
SPHENE	0	0	pts	0	0	0	0	0	0
STIBNTIE	0	0	0	0	0	0	0	0	0
STAOURLITE	0	0	0	0	0	0	pts	0	0
ZIRCON	64.4	pts	110.4	pts	pts	pts	pts	73.6	pts

PTS : ISOLATED GRAIN

APPENDIX 5: THE RESULTS OF HEAVY MINERAL STUDY IN ROBATKARIM AREA (ALL CONTENTS IN PPM)

SAM.NO.	RAM 173	RAM 174	RAM 175	RAM 181	RAM 182	RAM 184	RAM 187	RAM 189	RAM 190
T.V. (cc) (A)	3000	3000	3000	3000	3000	3000	3000	3000	3000
P.V. (cc) (B)	40	145	25	24	30	26	28	42	36
S.V. (cc) (C)	10	15	12.5	12	15	12	14	12	12
H.V. (cc) (Y)	2.5	14	4	8	5	2.5	6	7.5	7
ALLANITE	0	0	0	0	0	0	0	0	0
ALT.SIL.	pts	0	0	115.2	108	78.585	0	0	0
AMPHIBOL	pts	0	0	0	0	0	0	0	0
ANDALUSITE	0	0	0	0	0	0	0	0	pts
ARAGONITE	0	0	0	0	0	0	0	0	0
APATITE	pts	0	0	pts	0	0	0	0	0
BARITE	pts	1421	1.2	2.4	pts	0.8125	pts	pts	3.15
BIOTITE	0	0	0	0	0	0	0	0	0
CELESTINE	pts	0	pts	2.133333	0	pts	0	3.5	2.8
CHROMITE	0	0	0	0	0	0	0	0	0
CHIASTOLITE	0	0	0	0	0	0	0	0	0
CHLORITE	0	0	0	0	0	0	0	0	0
EPIDOTS	pts	pts	pts	pts	pts	pts	11.968	0	0
GARNET	0	0	10.66667	17.06667	17.06667	pts	pts	0	pts
GOLD	0	0	0	0	0	0	0	0	0
GOETHITE	0	0	0	0	0	0	0	pts	0
HEMATITE	883.3333	19318.38	424	904.5333	1166	229.6667	1908	5101.25	3888.08
ILMENITE	0	3816.4	0	pts	pts	pts	0	0	0
JARUSITE	0	0	0	0	0	0	0	0	0
KIANITE	0	0	0	0	0	0	0	0	0
LEUCOXENE	pts	0	0	pts	0	0	0	0	0
LIMONITE	0	0	0	0	0	0	13.376	0	292.6
MAGNETITE	3466.667	46915.56	2773.333	6656	1941.333	1352	4576	9100	6406.4
MALACHITE	0	0	0	0	0	0	0	0	0
MARTITE	0	0	0	0	0	0	0	0	0
MASSICOT	0	0	0	0	0	0	0	0	0
MIMETITE	0	0	0	0	0	0	0	0	0
MOSCOVITE	0	0	0	0	0	0	0	0	0
NATIVE LEAD	0	0	0	0	0	0	0	0	0
NIGRINE	0	0	0	0	0	0	0	0	0
OLIGISITE	333.3333	14164.89	13.33333	0	0	0	896	3500	0
OLIVINE	0	pts	0	0	0	0	0	0	0
PYROLUSITE	0	0	0	0	0	0	0	0	0
PYRITE	0	0	0	0	0	0	0	0	0
PYRITE(OXIDE)	0	0	0	0	0	0	0	0	0
PYROXENES	1173.333	1299.2	1109.333	1638.4	1800.533	970.6667	460.8	280	2213.12
RUTILE	pts	pts	pts	pts	0	0	0	pts	pts
SAPHIRE	0	0	0	0	0	0	0	0	0
SPHENE	0	0	0	0	0	0	0	0	pts
STIBNTIE	0	0	0	0	0	0	0	0	0
STAOURLITE	0	0	0	0	0	0	0	0	0
ZIRCON	1.533333	20.75111	pts	pts	pts	pts	pts	pts	3.22

PTS : ISOLATED GRAIN

APPENDIX 5: THE RESULTS OF HEAVY MINERAL STUDY IN ROBATKARIM AREA (ALL CONTENTS IN PPM)

SAM.NO.	RAM 191	RAM 197	RAM 198	RAS 201	RAS 202	RAS205	RAS 206	RAS 207	RAS 211
T.V. (cc) (A)	3000	3000	3000	3000	3000	3000	3000	3000	3000
P.V. (cc) (B)	32	24	18	30	30	18	30	20	30
S.V. (cc) (C)	11	12	18	15	15	18	10	10	10
H.V. (cc) (Y)	5	5	10	8.5	3	5	5	6	10
ALLANITE	0	0	0	0	0	0	0	0	0
ALT.SIL.	0	0	0	0	0	0	0	0	0
AMPHIBOL	0	0	0	0	0	0	0	0	0
ANDALUSITE	pts	0	0	pts	0	0	0	pts	0
ARAGONITE	0	0	0	0	0	0	0	0	0
APATITE	pts	0	pts	0	pts	pts	0	0	pts
BARITE	2.181818	1.5	195	816	0.9	15	1440	1620	450
BIOTITE	0	0	0	0	0	0	0	0	0
CELESTINE	pts	pts	53.33333	4.533333	pts	6.666667	400	192	400
CHROMITE	0	0	0	0	0	0	0	0	0
CHIASTOLITE	0	0	0	0	0	0	0	0	0
CHLORITE	0	0	0	0	0	0	0	0	0
EPIDOTS	0	1133.333	pts	0	pts	0	0	pts	pts
GARNET	0	pts	pts	pts	pts	0	pts	0	pts
GOLD	0	0	0	0	0	0	0	0	0
GOETHITE	0	0	0	0	0	0	0	0	0
HEMATITE	2878.061	1766.667	2261.333	2642.933	805.6	671.3333	1908	1632.4	9052.4
ILMENITE	0	0	141	372.8667	8.272	7.833333	18.8	pts	0
JARUSITE	0	0	0	0	0	0	0	0	0
KIANITE	0	0	0	0	0	0	0	0	0
LEUCOXENE	pts	pts	pts	0	pts	pts	0	pts	pts
LIMONITE	0	253.3333	12.66667	0	538.08	342	152	106.4	0
MAGNETITE	4840.727	2773.333	2773.333	6152.64	1601.6	780	3328	2329.6	8881.6
MALACHITE	0	pts	pts	0	0	pts	0	pts	pts
MARTITE	0	0	0	0	0	0	0	0	0
MASSICOT	0	0	0	0	0	0	0	0	pts
MIMETITE	0	0	0	0	0	0	0	0	0
MOSCOVITE	0	0	0	0	0	pts	0	0	pts
NATIVE LEAD	0	0	0	0	0	0	0	0	0
NIGRINE	0	0	0	0	0	0	0	0	pts
OLIGISITE	0	0	0	0	0	0	0	0	0
OLIVINE	0	0	0	0	0	0	0	0	0
PYROLUSITE	0	0	pts	pts	pts	pts	pts	pts	0
PYRITE	0	0	0	0	0	0	0	0	0
PYRITE(OXIDE)	0	0	0	0	0	0	0	0	0
PYROXENES	1365.333	1186.133	768	761.6	576	784	1408	985.6	288
RUTILE	pts	pts	pts	pts	pts	pts	pts	0	pts
SAPHIRE	0	0	0	0	0	0	0	0	0
SPHENE	pts	0	pts	pts	pts	pts	pts	pts	pts
STIBNTIE	0	0	0	0	0	0	0	0	0
STAOURLITE	0	0	pts	0	pts	pts	0	0	0
ZIRCON	2.230303	pts	pts	2.606667	pts	0.766667	9.2	pts	92

PTS : ISOLATED GRAIN

APPENDIX 5: THE RESULTS OF HEAVY MINERAL STUDY IN ROBATKARIM AREA (ALL CONTENTS IN PPM)

SAM.NO.	RAS 212	RAS 213	RAM 215	RAM 218	RAS 219	RAS 225	RAS 214
T.V. (cc) (A)	3000	3000	3000	3000	3000	3000	3000
P.V. (cc) (B)	32	38	31	22	36	30	20
S.V. (cc) (C)	15	18	15	22	11	15	10
H.V. (cc) (Y)	1	1	5	3	10	6	3
ALLANITE	0	0	0	0	0	0	0
ALT.SIL.	30.72	30.4	0	0	0	0	0.4752
AMPHIBOL	0	0	0	0	0	0	0
ANDALUSITE	pts	pts	0	0	0	0	pts
ARAGONITE	0	0	0	0	0	0	0
APATITE	0	pts	0	0	pts	0	pts
BARITE	0.32	0.316667	1.55	0.45	294.5455	72	pts
BIOTITE	0	0	0	0	0	0	0
CELESTINE	0.284444	0.281481	0	0.4	349.0909	160	pts
CHROMITE	0	0	0	0	pts	0	pts
CHIASTOLITE	0	0	0	0	0	0	0
CHLORITE	0	0	0	0	0	0	0
EPIDOTS	0.193422	pts	pts	pts	pts	pts	pts
GARNET	pts	pts	275.5556	4.32	349.0909	14.08	pts
GOLD	0	0	0	0	0	0	0
GOETHITE	0	0	0	0	0	0	0
HEMATITE	195.9822	223.7778	2190.667	714.44	7863.273	2857.76	729.28
ILMENITE	0	pts	pts	pts	pts	0	pts
JARUSITE	0	0	0	0	0	0	0
KIANITE	pts	0	0	0	0	0	0
LEUCOXENE	pts	pts	pts	pts	pts	pts	0
LIMONITE	21.61778	5.348148	13.08889	4.104	0	0	0
MAGNETITE	443.7333	234.1926	2507.556	748.8	12480	4160	1497.6
MALACHITE	0	0	0	pts	0	0	0
MARTITE	0	0	0	0	0	0	0
MASSICOT	0	0	0	0	0	0	0
MIMETITE	0	0	0	0	0	0	0
MOSCOVITE	0	0	0	pts	pts	pts	0
NATIVE LEAD	0	0	0	0	0	0	0
NIGRINE	0	0	0	0	pts	0	0
OLIGISITE	0	pts	pts	0	pts	pts	0
OLIVINE	0	0	0	0	0	0	0
PYROLUSITE	0	0	0	0	0	0	0
PYRITE	0	0	0	0	0	0	0
PYRITE(OXIDE)	0	pts	17.22222	5.4	0	0	0
PYROXENES	436.9067	558.4593	1212.444	352	279.2727	460.8	1126.4
RUTILE	pts	pts	pts	pts	pts	pts	0
SAPHIRE	0	0	0	0	0	0	0
SPHENE	pts	pts	pts	pts	2.967273	pts	0
STIBNTIE	0	0	0	0	0	0	0
STAOURLITE	0	pts	0	0	0	0	0
ZIRCON	0.327111	pts	1.584444	pts	5.018182	1.84	0.92

PTS : ISOLATED GRAIN

APPENDIX 5 : THE RESULTS OF HEAVY MINERAL STUDY IN ANIMALY CHECKING SATAGE(ALL CONTENTS IN PPM)

SAM.NO.	RR 66B	RR 66C	RR 67B	RR 76A	RR.M 186C
T.V. (cc) (A)	3000	3000	3000	3000	3000
P.V. (cc) (B)	28	27	60	40	20
S.V. (cc) (C)	28	27	20	20	20
H.V. (cc) (Y)	13.5	14	13	7	6
AMPHIBOL	0	pts	0	0	0
ANDALUSITE	pts	0	0	0	pts
APATITE	pts	pts	41.6	pts	pts
BARITE	pts	0	5.85	420	108
BIOTITE	0	0	10.92	0	1.68
CELESTINE	702	821.333333	520	pts	16
DISTHENE	0	pts	pts	0	pts
EPIDOTS	153	317.333333	309.4	0	0
GARNET	0	0	pts	0	0
GOETHITE	0	0	0	pts	0
HEMATITE	3339	2473.33333	6256.12	3116.4	1314.4
JARUSITE	0	0	0	0	pts
LEUCOXENE	0	0	pts	pts	pts
LIMONITE	17.1	17.7333333	pts	17.7333333	91.2
MAGNETITE	3276	3882.66667	16224	3494.4	1164.8
MALACHITE	0	0	0	pts	pts
MIMETITE	0	0	0	0	pts
MOSCOVITE	0	0	0	0	0
NIGRINE	0	0	0	0	0
OLIGISITE	225	233.333333	455	233.333333	120
PERIDOT	0	0	0	0	0
PYROLUSITE	0	0	0	pts	0
PHYROMORPHITE	0	0	0	0	pts
PYRITE(OXIDE)	pts	pts	0	0	0
PYROXENES	432	597.333333	582.4	1045.33333	691.2
RUTILE	pts	pts	pts	pts	pts
SILVER	0	0	0	pts	0
SPHENE	pts	pts	pts	0	0
STIBNTIE	0	0	0	0	pts
WULFENITE	0	0	0	0	pts
ZIRCON	pts	4.29333333	119.6	pts	pts

PTS : ISOLATED GRAIN

APPENDIX 5 : THE RESULTS OF HEAVY MINERAL STUDY IN ANIMALY CHECKING SATAGE(ALL CONTENTS IN PPM)

SAM.NO.	RR 101A	RR102C	RAM 183A	RAM 186B	RAM 198A
T.V. (cc) (A)	3000	3000	3000	3000	3000
P.V. (cc) (B)	30	25	27	25	26
S.V. (cc) (C)	15	25	27	25	26
H.V. (cc) (Y)	11	10	3	8	7
AMPHIBOL	pts	pts	pts	pts	pts
ANDALUSITE	0	pts	0	0	0
APATITE	0	pts	0	0	pts
BARITE	pts	pts	18	225.6	52.5
BIOTITE	0	0	0	pts	0
CELESTINE	2258.666667	186.666667	160	106.666667	700
DISTHENE	0	pts	0	pts	pts
EPIDOTS	pts	181.333333	81.6	72.5333333	6.34666667
GARNET	0	pts	0	0	74.6666667
GOETHITE	0	0	0	0	pts
HEMATITE	2409.73333	1696	763.2	1639.46667	1335.6
JARUSITE	0	0	0	0	pts
LEUCOXENE	pts	pts	pts	pts	pts
LIMONITE	27.8666667	10.1333333	4.56	8.10666667	70.9333333
MAGNETITE	4118.4	3813.33333	499.2	2995.2	1358.93333
MALACHITE	0	0	pts	pts	0
MIMETITE	0	0	0	pts	pts
MOSCOVITE	0	0	0	pts	0
NIGRINE	0	pts	0	pts	0
OLIGISITE	733.333333	400	120	106.666667	93.3333333
PERIDOT	0	pts	0	0	0
PYROLUSITE	pts	pts	0	pts	90.048
PHYROMORPHITE	0	0	0	0	0
PYRITE(OXIDE)	0	pts	pts	0	0
PYROXENES	2816	256	153.6	341.333333	1194.66667
RUTILE	pts	pts	pts	2.24	pts
SILVER	0	0	0	0	0
SPHENE	0	pts	pts	pts	pts
STIBNTIE	0	0	0	pts	9.016
WULFENITE	0	0	0	0	pts
ZIRCON	pts	15.3333333	9.2	24.5333333	53.6666667

PTS : ISOLATED GRAIN

پیوست ۶

بسمه تعالیٰ
امور آزمایشگاهها
گروه آزمایشگاههای کانی شناسی
(XRD)

تعداد نمونه : ۲ عدد

درخواست کننده : حسن باستانی

کد امور : ۸۸-۹۵۴

تاریخ گزارش : ۸۸/۷/۲۲

پهای تجزیه : -/- ۸۰۰۰۰ ریال

شماره گزارش : ۸۸-۳۰۸

LAB . NO	FIELD. NO	XRD RESULTS
907	RB-102A	FELDSPAR+LAUMONTITE+QUARTZ+ZEOLITE+MAGNETITE.
908	RB-102B	FELDSPAR+GYPSUM+QUARTZ+ LAUMONTITE+ MAGNETITE.

سپرست آزمایشگاه : حاجی نوروزی

تجزیه کننده : فرانک پورنوربخش



Ministry of Industries and Mines
Geological Survey of Iran

***Geological basic information combination & indication of
promising area program***

Geochemical Exploration department (GED)

Geochemical and Heavy mineral Exploration

in Robat Karim Scale 1: 100,000

First volume

Executive: N. Abedian

By:

H. Bastani

F. Farjandi

OCT. 2009